

สำนักหอสมุดกลาง พระจอมเกล้าลาดกระบัง

การจำลองการตกรางเนื่องจากล้อปีนรางด้วยระเบียบวิธีไฟไนต์เอลิเมนต์

SIMULATION OF DERAILMENT DUE TO WHEEL CLIMB USING
FINITE ELEMENT METHOD



T141260



จน.

๘ 849 ก

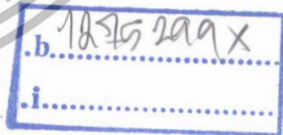
200๘

เลขหมู่.....

141260

เลขทะเบียน.....

วัน,เดือน,ปี. - 8 มี.ค. 2559



วิทยานิพนธ์นี้เป็นส่วนหนึ่งของการศึกษาตามหลักสูตรปริญญาวิศวกรรมศาสตรมหาบัณฑิต

สาขาวิชาวิศวกรรมเครื่องกล

คณะวิศวกรรมศาสตร์

สถาบันเทคโนโลยีพระจอมเกล้าเจ้าคุณทหารลาดกระบัง

พ.ศ.2558

เอกสารนี้เป็นเอกสารที่สงวนไว้สำหรับ KMITL-2015-EN-TH-030-187 ไม่อนุญาตให้นำไปใช้ประโยชน์ด้านการค้า
ไม่ว่ากรณีใดๆทั้งสิ้น อีกทั้งห้ามมิให้ตัดแปลงเนื้อหา และต้องอ้างอิงถึงเจ้าของเอกสารทุกครั้งที่มีการนำไปใช้

SIMULATION OF DERAILMENT DUE TO WHEEL CLIMB USING
FINITE ELEMENT METHOD



A THESIS SUBMITTED IN PARTIAL FULFILLMENT
OF THE REQUIREMENT FOR THE DEGREE OF
MASTER OF ENGINEERING IN MECHANICAL ENGINEERING
FACULTY OF ENGINEERING
KING MONGKUT'S INSTITUTE OF TECHNOLOGY LADKRABANG
2015

เอกสารนี้เป็นเอกสารที่สงวนไว้สำหรับใช้ภายในเท่านั้น ไม่อนุญาตให้นำไปใช้ประโยชน์ด้านการค้า
ไม่ว่ากรณีใดๆทั้งสิ้น อีกทั้งห้ามมิให้ตัดแปลงเนื้อหา และต้องอ้างอิงถึงเจ้าของเอกสารทุกครั้งที่มีการนำไปใช้



COPYRIGHT 2015

FACULTY OF ENGINEERING

KING MONGKUT'S INSTITUTE OF TECHNOLOGY LADKRABANG

เอกสารนี้เป็นเอกสารที่สงวนไว้สำหรับการใช้งานเพื่อการศึกษาเท่านั้น ไม่อนุญาตให้นำไปใช้ประโยชน์ด้านการค้า
ไม่ว่ากรณีใดๆทั้งสิ้น อีกทั้งห้ามมิให้ดัดแปลงเนื้อหา และต้องอ้างอิงถึงเจ้าของเอกสารทุกครั้งที่มีการนำไปใช้

| | |
|-----------------------------|--|
| หัวข้อวิทยานิพนธ์ | การจำลองการตกรางเนื่องจากล้อปีนรางด้วยระเบียบวิธีไฟไนต์เอลิเมนต์ |
| นักศึกษา | นายสุรทัศน์ กองสุข |
| รหัสประจำตัว | 55610903 |
| ปริญญา | วิศวกรรมศาสตรมหาบัณฑิต |
| สาขาวิชา | วิศวกรรมเครื่องกล |
| พ.ศ. | 2558 |
| อาจารย์ที่ปรึกษาวิทยานิพนธ์ | ผศ.ดร.มนต์ศักดิ์ พิมสาร |

บทคัดย่อ

ความปลอดภัยขั้นพื้นฐานของการขนส่งทางรถไฟ คือการตกรางไม่ควรจะเกิดขึ้นในระหว่างการวิ่งของขบวนรถไฟ การทดลองเพื่อศึกษาปฏิสัมพันธ์ระหว่างล้อและรางจึงมีความสำคัญอย่างยิ่งต่อความปลอดภัยจากการตกราง แต่ต้องใช้งบประมาณการลงทุนสูง การศึกษาปฏิสัมพันธ์โดยพื้นฐานทั่วไปตามพิกัดความปลอดภัยของนาดาล (Nadal's safety limit) จะมาจากหลักสมดุลง่ายในสองมิติที่มีความสัมพันธ์เฉพาะมุมบังใบล้อและสัมประสิทธิ์ความเสียดทานเท่านั้น แต่ไม่นำผลของมุมปะทะของชุดล้อมาพิจารณา งานวิจัยนี้เป็นการศึกษาปฏิสัมพันธ์ระหว่างล้อและราง และการตกรางเนื่องจากบังใบล้อปีนราง (Wheel flange climb derailment) ด้วยระเบียบวิธีไฟไนต์เอลิเมนต์ โดยโปรแกรม Altair HyperWorks 11.0 และ LS-Dyna 971 ถูกนำมาช่วยในการจำลองการปีนรางของชุดล้อภายใต้กระบวนการสถิตย์เสมือน (Quasi-static) ซึ่งตัวแปรสำคัญที่ใช้การศึกษาการปีนรางประกอบด้วยมุมปะทะของล้อ มุมของบังใบล้อสัมผัส และค่าสัมประสิทธิ์ความเสียดทานระหว่างล้อและราง ค่ามุมปะทะของล้อที่ใช้ในการศึกษามีค่า 0° 0.25° 0.50° 0.75° 1.0° 1.25° และ 1.50° มุมบังใบล้อสัมผัสที่ใช้มีค่า 60° 65° และ 70° ส่วนค่าสัมประสิทธิ์ความเสียดทานระหว่างล้อและรางที่ใช้ในการศึกษามีค่า 0.15 0.25 และ 0.35 ตามลำดับ ผลของการจำลองจากโปรแกรมไฟไนต์เอลิเมนต์จะให้ค่าพิกัดความปลอดภัยของการตกรางมีมากกว่าพิกัดความปลอดภัยของนาดาลในกรณีมุมปะทะของล้อมีค่าเข้าใกล้ศูนย์ และจะมีค่าสอดคล้องกันเมื่อมุมปะทะของล้อมีค่าเพิ่มขึ้น ส่วนมุมของบังใบล้อสัมผัสที่มากขึ้น ค่าสัมประสิทธิ์ความเสียดทานระหว่างล้อและรางที่ลดลงจะช่วยลดความเสี่ยงการตกรางเนื่องจากล้อปีนราง ซึ่งให้ผลสอดคล้องกับงานวิจัยปฏิสัมพันธ์ระหว่างล้อและราง ที่ได้ทำการทดลองเปรียบเทียบกับการใช้สูตรของนาดาล

คำสำคัญ : การตกราง ล้อปีนราง ระเบียบวิธีไฟไนต์เอลิเมนต์

เอกสารนี้เป็นเอกสารที่สงวนไว้สำหรับการใช้งานเพื่อการศึกษาเท่านั้น ไม่อนุญาตให้นำไปใช้ประโยชน์ด้านการค้า ไม่ว่าจะกรณีใดๆทั้งสิ้น อีกทั้งห้ามมิให้ตัดแปลงเนื้อหา และต้องอ้างอิงถึงเจ้าของเอกสารทุกครั้งที่มีการนำไปใช้

| | |
|----------------|---|
| Thesis Title | Simulation of Derailment Due to Wheel Climb Using Finite Element Method |
| Student | Mr. Surathad Gongsuk |
| Student ID | 55610903 |
| Degree | Master of Engineering |
| Program | Mechanical Engineering |
| Year | 2015 |
| Thesis Advisor | Asst.Prof.Dr. Monsak Pimsarn |

ABSTRACT

The basic requirement for the safety of railway transportation is that derailment during the running of train should be never permitted. An experiment to study on the wheel/rail interaction is important to the derailment safety, but it requires a large investment budget. Normally, the Nadal's safety limit, based on two dimension equilibrium equations of simple wheel/rail contact and only related to the wheel flange contact angle and friction coefficient. It was found that the Nadal's formula is quite conservative and not related to a wheel attack angle. This research is aimed to investigate on the wheel/rail interaction and wheel flange climb derailment using finite element method. The Altair HyperWorks 11.0 and LS-Dyna 971 software were employed in wheel flange climb derailment simulation of a single wheelset based on the quasi-static process. The important parameters of derailment simulation study are wheel attack angle, flange contact angle and wheel/rail friction coefficient. The wheelset attack angles used in this study are 0°, 0.25°, 0.50°, 0.75°, 1.0°, 1.25° and 1.50°. A flange contact angles used are 60°, 65° and 70° and wheel/rail friction coefficients are 0.15, 0.25, and 0.35, respectively. The simulation results show that the derailment criteria lead to less conservative values than Nadal's safety limit for zero or close to zero wheelset attack angles. If the wheelset attack angle increases, the results are converged to those predicted by Nadal's safety limit. The flange contact angle increase and the reduction of wheel/rail friction coefficient is of advantage to prevent wheel climb derailment. This is consistent with research of the wheel/rail interaction by the experiment compare with Nadal's formula.

Keywords : Derailment, Wheel climb, Finite element method

กิตติกรรมประกาศ

วิทยานิพนธ์ฉบับนี้สำเร็จลุล่วงได้ด้วยคำแนะนำ คำปรึกษา และความกรุณาเป็นอย่างยิ่งจากท่าน ผู้ช่วยศาสตราจารย์ ดร.มนต์ศักดิ์ พิมสาร อาจารย์ที่ปรึกษาวิทยานิพนธ์ ที่ได้ให้ความรู้ในเชิงวิชาการ อันเป็นแนวทางในการทำวิจัย ชี้จุดข้อบกพร่องและแนวทางในการแก้ไข ปลุกฝังให้ผู้วิจัยมีความมานะ พยายาม และเป็นแบบอย่างที่ดีแก่ผู้วิจัยมาโดยตลอด รวมถึงการให้ความเอาใจใส่ดูแล ติดตามการ ดำเนินงานการทำวิทยานิพนธ์อย่างสม่ำเสมอ ผู้วิจัยรู้สึกซาบซึ้งในความกรุณาและขอขอบพระคุณเป็นอย่างสูงไว้ ณ โอกาสนี้

ขอขอบพระคุณ บิดา มารดา ผู้ที่มีพระคุณอันหาที่สุดไม่ได้ ที่ได้เลี้ยงดู อบรมสั่งสอน ขอขอบคุณ ทุกๆ คนในครอบครัวที่คอยให้กำลังใจเสมอมา ขอขอบคุณพี่ๆ นักศึกษาปริญญาโท เอก ทุกท่านที่ได้ให้ คำแนะนำ ความรู้ และการช่วยเหลือทุกอย่าง ที่ทำให้วิทยานิพนธ์ฉบับนี้สำเร็จลุล่วงด้วยดี ความสำเร็จ ใดๆ ที่เกิดขึ้นขอมอบให้แก่ผู้มีพระคุณทุกท่านที่ได้กล่าวมาข้างต้น

สุรทัสน์ กองสุข



เอกสารนี้เป็นเอกสารที่สงวนไว้สำหรับการใช้งานเพื่อการศึกษาเท่านั้น ไม่อนุญาตให้นำไปใช้ประโยชน์ด้านการค้า ไม่ว่ากรณีใดๆทั้งสิ้น อีกทั้งห้ามมิให้ดัดแปลงเนื้อหา และต้องอ้างอิงถึงเจ้าของเอกสารทุกครั้งที่มีการนำไปใช้

สารบัญ

หน้า

| | |
|--|------|
| บทคัดย่อภาษาไทย..... | I |
| บทคัดย่อภาษาอังกฤษ..... | II |
| กิตติกรรมประกาศ..... | III |
| สารบัญ..... | IV |
| สารบัญตาราง..... | VII |
| สารบัญรูป..... | VIII |
| รายการสัญลักษณ์..... | XI |
| บทที่ 1 บทนำ..... | 1 |
| 1.1 ความสำคัญและที่มาของปัญหา..... | 1 |
| 1.2 วัตถุประสงค์ของการศึกษา..... | 3 |
| 1.3 ขอบเขตการวิจัย..... | 3 |
| 1.4 ระเบียบวิธีการวิจัย..... | 3 |
| 1.5 ประโยชน์ที่คาดว่าจะได้รับ..... | 4 |
| บทที่ 2 ทบทวนวรรณกรรม..... | 5 |
| 2.1 บทนำ..... | 5 |
| 2.2 งานวิจัยที่เกี่ยวข้อง..... | 5 |
| บทที่ 3 ทฤษฎีที่เกี่ยวข้อง..... | 11 |
| 3.1 บทนำ..... | 11 |
| 3.2 ปฏิสัมพันธ์ระหว่างล้อและราง..... | 11 |
| 3.2.1 รางรถไฟ..... | 13 |
| 3.2.2 ชุดล้อ..... | 14 |
| 3.2.3 การเคลื่อนที่ของรถไฟและองศาอิสระของชุดล้อ..... | 15 |
| 3.2.4 กลไกการสัมผัสและแรงที่กระทำระหว่างล้อและราง..... | 16 |
| 3.2.5 การเคลื่อนที่ของรถไฟและองศาอิสระของชุดล้อ..... | 20 |
| 3.2.6 พิกัดความปลอดภัยของการทรงตัวของรถไฟเนื่องจากล้อป็นราง..... | 20 |
| 3.2.6.1 พิกัดความปลอดภัยของนาดาล (Nadal's safety limit)..... | 21 |
| 3.2.6.2 พิกัดความปลอดภัยของไวน์สต็อค (Weinstock's safety limit)..... | 23 |
| 3.2.6.3 พิกัดความปลอดภัยจากการประมาณจากสูตร..... | 24 |
| 3.3 ทฤษฎีพื้นฐานกลศาสตร์ของแข็ง..... | 26 |
| 3.3.1 สมการเงื่อนไขขอบเขต..... | 27 |
| 3.3.2 สมการสมดุลเชิงอนุพันธ์..... | 28 |
| 3.4 หลักพื้นฐานของระเบียบวิธีไฟไนต์เอลิเมนต์..... | 29 |

เอกสารนี้เป็นเอกสารที่สงวนไว้สำหรับการใช้งานเพื่อการศึกษาเท่านั้น ไม่อนุญาตให้นำไปใช้ประโยชน์ด้านการค้า
ไม่ว่ากรณีใดๆทั้งสิ้น อีกทั้งห้ามมิให้ดัดแปลงเนื้อหา และต้องอ้างอิงถึงเจ้าของเอกสารทุกครั้งที่มีการนำไปใช้

สารบัญ (ต่อ)

| | หน้า |
|---|------|
| 3.4.1 การวิเคราะห์กลศาสตร์ของแข็งด้วยระเบียบวิธีไฟไนต์เอลิเมนต์..... | 30 |
| 3.4.2 การวิเคราะห์แบบวิธีปริยายสถิตย์ (Static implicit method) ด้วยโปรแกรม LS-Dyna 971..... | 39 |
| บทที่ 4 วิธีการดำเนินงานวิจัย | 42 |
| 4.1 บทนำ | 42 |
| 4.2 แบบจำลองของล้อและราง | 43 |
| 4.3 วิธีการจำลองการป็นรางด้วยระเบียบวิธีไฟไนต์เอลิเมนต์ | 43 |
| 4.3.1 กระบวนการจำลองด้วยโปรแกรมสำเร็จรูป | 44 |
| 4.3.2 การสร้างแบบจำลองสามมิติของล้อและราง | 45 |
| 4.3.3 การนำแบบจำลองล้อและรางเข้าสู่โปรแกรม Altair HyperWorks 11.0..... | 45 |
| 4.3.4 การสร้างเอลิเมนต์ให้แบบจำลอง..... | 46 |
| 4.3.5 การกำหนดวัสดุให้แบบจำลอง..... | 48 |
| 4.3.6 การกำหนดเงื่อนไขขอบเขตให้แบบจำลอง..... | 49 |
| 4.3.7 การนำแบบจำลองไฟไนต์เอลิเมนต์ออกจากโปรแกรม Altair HyperWorks 11.0.. | 52 |
| 4.3.8 การประมวลผลแบบจำลองด้วยโปรแกรม LS-Dyna 971..... | 52 |
| 4.3.9 การแสดงผลการจำลองด้วยโปรแกรม Altair HyperWorks 11.0..... | 53 |
| 4.4 การพิสูจน์ความถูกต้อง..... | 55 |
| บทที่ 5 ผลการวิจัยและการวิเคราะห์ผล | 58 |
| 5.1 การศึกษาผลการพิสูจน์ความถูกต้องของแบบจำลองล้อเดี่ยวสัมผัส | 58 |
| 5.2 การศึกษาพิกัดความปลอดภัยของการตรวงจากอิทธิพลของมุมบังใบล้อสัมผัส ค่าสัมประสิทธิ์ความเสียหายระหว่างล้อและราง..... | 59 |
| 5.2.1 ผลการวิเคราะห์แรงสัมผัสระหว่างล้อและรางจากการจำลอง | 59 |
| 5.2.2 ผลการวิเคราะห์พิกัดความปลอดภัยของการตรวงจากการจำลอง..... | 62 |
| 5.3 การศึกษาพิกัดความปลอดภัยของการตรวงจากอิทธิพลของมุมปะทะของล้อ | 63 |
| บทที่ 6 สรุปผลและข้อเสนอแนะ..... | 68 |
| 6.1 บทสรุป..... | 68 |
| 6.2 ข้อเสนอแนะ..... | 68 |
| เอกสารอ้างอิง | 70 |
| ภาคผนวก..... | 72 |

เอกสารนี้เป็นเอกสารที่สงวนไว้สำหรับการใช้งานเพื่อการศึกษาเท่านั้น ไม่อนุญาตให้นำไปใช้ประโยชน์ด้านการค้าไม่ว่ากรณีใดๆทั้งสิ้น อีกทั้งห้ามมิให้ดัดแปลงเนื้อหา และต้องอ้างอิงถึงเจ้าของเอกสารทุกครั้งที่มีการนำไปใช้

สารบัญ (ต่อ)

| | หน้า |
|--|------|
| ภาคผนวก ก. การสร้างแบบจำลองสามมิติ ด้วยโปรแกรม UniGraphics NX7.5 | 73 |
| ภาคผนวก ข. การกำหนดเงื่อนไขขอบเขตของล้อและรางด้วยโปรแกรม Altair HyperWork 11.0..... | 75 |
| ภาคผนวก ค. ตัวอย่างการคำนวณ | 78 |
| ภาคผนวก ง. การตรวจสอบกระบวนการสตีตย์เสมือนของแบบจำลอง..... | 82 |
| ภาคผนวก จ. ผลงานวิจัยที่ได้รับการตีพิมพ์เผยแพร่..... | 85 |
| ประวัติผู้เขียน..... | 95 |



เอกสารนี้เป็นเอกสารที่สงวนไว้สำหรับการใช้งานเพื่อการศึกษาเท่านั้น ไม่อนุญาตให้นำไปใช้ประโยชน์ด้านการค้า
ไม่ว่ากรณีใดๆทั้งสิ้น อีกทั้งห้ามมิให้ตัดแปลงเนื้อหา และต้องอ้างอิงถึงเจ้าของเอกสารทุกครั้งที่มีการนำไปใช้

สารบัญตาราง

| ตารางที่ | หน้า |
|---|------|
| 1.1 แสดงสถิติขบวนรถตารางระหว่างปีงบประมาณ พ.ศ. 2551 – 2555..... | 2 |
| 3.1 แสดงรายละเอียดของส่วนประกอบของแคร่รถไฟแบบ 2 เพลา..... | 12 |
| 3.2 แสดงเส้นผ่านศูนย์กลางตามมาตรฐานของ รฟท..... | 15 |
| 4.1 แสดงจำนวนเอลิเมนต์ในแต่ละรายการ..... | 48 |
| 4.2 แสดงค่าสมบัติเชิงกลของวัสดุจำลองยึดหยุนของล้อและราง..... | 48 |
| 4.3 แสดงผลการคำนวณแรงสัมผัสของเฮิร์ดซ์กับการยุบตัวระหว่างล้อและราง..... | 55 |



เอกสารนี้เป็นเอกสารที่สงวนไว้สำหรับการใช้งานเพื่อการศึกษาเท่านั้น ไม่อนุญาตให้นำไปใช้ประโยชน์ด้านการค้า
ไม่ว่ากรณีใดๆทั้งสิ้น อีกทั้งห้ามมิให้ตัดแปลงเนื้อหา และต้องอ้างอิงถึงเจ้าของเอกสารทุกครั้งที่มีการนำไปใช้

สารบัญรูป

| รูปที่ | หน้า |
|--|------|
| 1.1 แสดงการวิ่งของการรถไฟแห่งประเทศไทย..... | 2 |
| 2.1 แสดงชุดล้อและแรงในการปีนรางที่บังใบล้อ..... | 5 |
| 2.2 ค่าสัมประสิทธิ์การตกรางทั้งสองล้อกับมุมปะทะของล้อ..... | 6 |
| 2.3 ค่าสัมประสิทธิ์การตกรางแบบสองมิติ และสามมิติ..... | 6 |
| 2.4 ค่าสัมประสิทธิ์การตกราง L_r ที่มุมสัมผัสบังใบล้อต่างๆ..... | 7 |
| 2.5 แสดงที่มาของเกณฑ์การตกรางจากการวิเคราะห์แบบสองมิติของนาตาล..... | 7 |
| 2.6 แสดงที่มาของเกณฑ์การตกรางจากสูตรการวิเคราะห์แบบสามมิติ..... | 8 |
| 2.7 แสดงผลเปรียบเทียบของเกณฑ์การตกรางจากสูตรวิเคราะห์กับการทดลอง..... | 8 |
| 2.8 แสดงผลจากการจำลองด้วยระเบียบวิธีไฟไนต์เอลิเมนต์ของล้อสัมผัส..... | 9 |
| 2.9 แสดงผลของแรงในแนวด้านข้างกับระยะการปีนรางที่สภาพทางต่างๆ..... | 10 |
| 2.10 แสดงผลของแรงสัมผัสตั้งฉากกับระยะการยุบตัวของวัตถุทรงกลมยืดหยุ่น..... | 10 |
| 3.1 แสดงรูปแครงด้านหน้าและด้านข้างของรถไฟแบบ 2 เฟลา..... | 11 |
| 3.2 แสดงส่วนประกอบและการรับน้ำหนักของแครงรถไฟแบบ 2 เฟลา..... | 12 |
| 3.3 แสดงขนาดและมิติของราง UIC 50 และ UIC 60..... | 13 |
| 3.4 แสดงความกว้างของทางรถไฟ..... | 14 |
| 3.5 แสดงการรับน้ำหนักบังใบล้อและรางบังคับให้ขบวนรถไฟวิ่งไปตามราง..... | 14 |
| 3.6 แสดงรูปร่างของล้อตามมาตรฐานของ รฟท..... | 15 |
| 3.7 แสดงทิศทางการเคลื่อนที่ต่างๆ ของตัวรถไฟ..... | 16 |
| 3.8 แสดงการเคลื่อนที่แบบสายตัวของชุดล้อ และมุมปะทะของล้อ..... | 16 |
| 3.9 แสดงรูปทั่วไปของกลไกการสัมผัสของเฮิร์ตซ์..... | 17 |
| 3.10 แสดงกลไกการสัมผัสระหว่างล้อและราง..... | 18 |
| 3.11 แสดงรูปแบบการสัมผัสเสียดทานของคูลอมบ์ กับ การสัมผัสเสียดทานกลิ้ง..... | 19 |
| 3.12 แสดงรูปแบบต่างๆ ของการสัมผัสเสียดทานกลิ้ง..... | 19 |
| 3.13 ปฏิสัมพันธ์ระหว่างล้อและราง แรงกระทำบนชุดล้อ..... | 20 |
| 3.14 แสดงแรงกระทำที่บังใบล้อของพิกัดความปลอดภัยของนาตาล..... | 21 |
| 3.15 แสดงพิกัดความปลอดภัยของนาตาล ที่มุมบังใบและค่าสัมประสิทธิ์ความเสียดทานต่างๆ..... | 22 |
| 3.16 แสดงผลของมุมปะทะของล้อต่อพิกัดอัตราส่วนของ L/V | 22 |
| 3.17 แสดงผลของระยะการปีนรางที่พื้นล้อกับอัตราส่วนของ L/V ที่มุมบังใบล้อ 75° | 23 |
| 3.18 แสดงผลเปรียบเทียบพิกัดของนาตาลกับไวน์สตัด็อค..... | 23 |
| 3.19 แสดงความสมดุลตำแหน่งใดๆ ในของแข็งและเงื่อนไขขอบเขต..... | 26 |
| 3.20 แสดงส่วนประกอบความเค้นในสามมิติ..... | 28 |
| 3.21 แสดงแบบจำลองไฟไนต์เอลิเมนต์ออกเป็นส่วนย่อยด้วยเอลิเมนต์สามมิติทรงสี่หน้า..... | 30 |
| 3.22 แสดงจุดต่อของเอลิเมนต์ทรงสี่หน้าในพิกัดรวม (Global coordinate system)..... | 31 |
| 3.23 แสดงการคำนวณเพื่อหาเมทริกซ์ความแข็ง (K_e)..... | 41 |

เอกสารนี้เป็นเอกสารที่สงวนไว้สำหรับการใช้งานเพื่อการศึกษาเท่านั้น ไม่อนุญาตให้นำไปใช้ประโยชน์ด้านการค้า
ไม่ว่ากรณีใดๆทั้งสิ้น อีกทั้งห้ามมิให้ดัดแปลงเนื้อหา และต้องอ้างอิงถึงเจ้าของเอกสารทุกครั้งที่มีการนำไปใช้

สารบัญรูป (ต่อ)

| รูปที่ | หน้า |
|--|------|
| 4.1 แสดงแผนภูมิของงานวิจัย..... | 42 |
| 4.2 แสดงรูปร่างหน้าตัดของล้อตามมาตรฐาน รพท. และร่างตามมาตรฐาน UIC 60..... | 43 |
| 4.3 แสดงกระบวนการวิเคราะห์ปัญหาด้วยโปรแกรมสำเร็จรูป..... | 44 |
| 4.4 แสดงแบบจำลองของชุดล้อและรางจากโปรแกรม UniGraphics NX7.5..... | 45 |
| 4.5 แสดงการนำแบบสามมิติเข้าสู่โปรแกรม Altair HyperWorks 11.0..... | 45 |
| 4.6 แสดงการเตรียมผิวตรงบริเวณจุดสัมผัสของล้อเพื่อการสร้างเม็ช (Meshing)..... | 46 |
| 4.7 แสดงการสร้างเอลิเมนต์แบบทรงสี่หน้า..... | 46 |
| 4.8 แสดงการสร้างเม็ช (Meshing) ของล้อด้วยโปรแกรม Altair HyperWorks 11.0..... | 47 |
| 4.9 แสดงแบบจำลองไฟไนต์เอลิเมนต์ด้วยการแบ่งออกเป็นส่วนย่อยๆ (Discretization)..... | 47 |
| 4.10 แสดงการกำหนดวัสดุให้แบบจำลองของล้อและราง..... | 48 |
| 4.11 แสดงขอบเขตเงื่อนไขของแบบจำลองการป็นราง..... | 49 |
| 4.12 แสดงการกำหนดเงื่อนไขขอบเขตให้รางถูกยึดอยู่กับที่..... | 49 |
| 4.13 แสดงเงื่อนไขขอบเขตการกำหนดน้ำหนักกดเพลลาทั้งสองด้านให้แบบจำลอง..... | 50 |
| 4.14 แสดงการสร้างเส้นโหลดเพื่อกำหนดการเคลื่อนที่ในแนวด้านข้างของโหนดน้ำ..... | 50 |
| 4.15 แสดงเส้นโหลด (Load curve) ของการเคลื่อนที่ในแนวด้านข้างกับช่วงเวลา (Step time)..... | 51 |
| 4.16 แสดงการกำหนดให้โหนดน้ำ (Pivot node) เคลื่อนที่ในแนวด้านข้าง 30 มิลลิเมตร..... | 51 |
| 4.17 แสดงการนำแบบจำลองไฟไนต์เอลิเมนต์ออกจากโปรแกรม Altair HyperWorks 11.0..... | 52 |
| 4.18 แสดงการนำแบบจำลองไฟไนต์เอลิเมนต์เข้าสู่การประมวลผลด้วยโปรแกรม Ls Manager..... | 52 |
| 4.19 แสดงการประมวลผลด้วยโปรแกรม Ls-Dyna 971..... | 53 |
| 4.20 แสดงชนิดของไฟล์ที่ได้จากการประมวลผล..... | 53 |
| 4.21 แสดงการแสดงผลจากภาพเคลื่อนไหวด้วยโปรแกรม HyperView..... | 54 |
| 4.22 แสดงการแสดงผลกราฟของแรงสัมผัสด้วยโปรแกรม HyperGrap..... | 54 |
| 4.23 แสดงแบบจำลองการตรวจสอบของล้อเดี่ยวสัมผัส..... | 55 |
| 4.24 กราฟแสดงแรงสัมผัสของเอิร์ตซ์กับระยะยุบตัวระหว่างล้อและราง..... | 56 |
| 4.25 แสดงการจำลองแรงสัมผัสของเอิร์ตซ์กับระยะยุบตัวระหว่างล้อและราง..... | 56 |
| 4.26 แสดงแบบจำลองการตรวจสอบของล้อเดี่ยวสัมผัส..... | 56 |
| 4.27 แสดงแผนภูมิการจำลองด้วยระเบียบวิธีไฟไนต์เอลิเมนต์..... | 57 |
| 5.1 กราฟแสดงการเปรียบเทียบแรงสัมผัสกับระยะยุบตัวของล้อเดี่ยว..... | 58 |
| 5.2 แสดงผลการจำลองที่สภาวะเริ่มต้นการป็นรางของชุดล้อ..... | 59 |
| 5.3 แสดงผลการจำลองที่สภาวะสุดท้ายการป็นรางของชุดล้อ..... | 59 |
| 5.4 กราฟแสดงผลการจำลองของแรงกับระยะการเคลื่อนที่ในแนวด้านข้าง ที่มุม $\delta = 60^\circ$ | 60 |
| 5.5 กราฟแสดงผลการจำลองของแรงกับระยะการเคลื่อนที่ในแนวด้านข้าง ที่มุม $\delta = 65^\circ$ | 60 |
| 5.6 กราฟแสดงผลการจำลองของแรงกับระยะการเคลื่อนที่ในแนวด้านข้าง ที่มุม $\delta = 70^\circ$ | 61 |

เอกสารนี้เป็นเอกสารที่สงวนไว้สำหรับการใช้งานเพื่อการศึกษาเท่านั้น ไม่อนุญาตให้นำไปใช้ประโยชน์ด้านการค้า
ไม่ว่ากรณีใดๆทั้งสิ้น อีกทั้งห้ามมิให้ดัดแปลงเนื้อหา และต้องอ้างอิงถึงเจ้าของเอกสารทุกครั้งที่มีการนำไปใช้

สารบัญรูป (ต่อ)

| รูปที่ | หน้า |
|---|------|
| 5.7 กราฟเปรียบเทียบผลการจำลองของแรง L และ V กับระยะเวลาเคลื่อนที่ในแนวด้านข้าง ที่ค่าสัมประสิทธิ์ความเสียดทาน 0.15 0.25 และ 0.35 | 61 |
| 5.8 กราฟเปรียบเทียบพิสัยการตกของ L/V กับพิสัยความปลอดภัยของนาตาล ที่ค่าสัมประสิทธิ์ความเสียดทาน 0.15 0.25 และ 0.35 ของมุม $\delta = 60^\circ$ | 62 |
| 5.9 กราฟเปรียบเทียบพิสัยการตกของ L/V กับพิสัยความปลอดภัยของนาตาล ที่ค่าสัมประสิทธิ์ความเสียดทาน 0.15 0.25 และ 0.35 ของมุม $\delta = 65^\circ$ | 62 |
| 5.10 กราฟเปรียบเทียบพิสัยการตกของ L/V กับพิสัยความปลอดภัยของนาตาล ที่ค่าสัมประสิทธิ์ความเสียดทาน 0.15 0.25 และ 0.35 ของมุม $\delta = 70^\circ$ | 63 |
| 5.11 กราฟแสดงผลของแรงสัมผัสกับระยะเวลาเคลื่อนที่ในแนวด้านข้างที่มุม $\psi = 0.25^\circ$ | 64 |
| 5.12 กราฟแสดงผลของแรงสัมผัสกับระยะเวลาเคลื่อนที่ในแนวด้านข้างที่มุม $\psi = 0.50^\circ$ | 64 |
| 5.13 กราฟแสดงผลของแรงสัมผัสกับระยะเวลาเคลื่อนที่ในแนวด้านข้างที่มุม $\psi = 0.75^\circ$ | 64 |
| 5.14 กราฟแสดงผลของแรงสัมผัสกับระยะเวลาเคลื่อนที่ในแนวด้านข้างที่มุม $\psi = 1.00^\circ$ | 65 |
| 5.15 กราฟแสดงผลของแรงสัมผัสกับระยะเวลาเคลื่อนที่ในแนวด้านข้างที่มุม $\psi = 1.25^\circ$ | 65 |
| 5.16 กราฟแสดงผลของแรงสัมผัสกับระยะเวลาเคลื่อนที่ในแนวด้านข้างที่มุม $\psi = 1.50^\circ$ | 65 |
| 5.17 กราฟเปรียบเทียบพิสัยการตกของ L/V ที่มุมปะทะของล้อย่างต่างๆ | 66 |
| 5.18 แสดงความสัมพันธ์ระหว่างพิสัยการตกของ L/V กับมุมปะทะของล้อ | 66 |

เอกสารนี้เป็นเอกสารที่สงวนไว้สำหรับการใช้งานเพื่อการศึกษาเท่านั้น ไม่อนุญาตให้นำไปใช้ประโยชน์ด้านการค้า
ไม่ว่ากรณีใดๆทั้งสิ้น อีกทั้งห้ามมิให้ดัดแปลงเนื้อหา และต้องอ้างอิงถึงเจ้าของเอกสารทุกครั้งที่มีการนำไปใช้

รายการสัญลักษณ์

| สัญลักษณ์ / คำย่อ | ชื่อ / ความหมาย |
|-------------------|---|
| A | ค่าสัมประสิทธิ์ของฟังก์ชันรูปร่างตามแนวยาวที่ตัดผ่านจุดสัมผัส |
| $[A]$ | เมทริกซ์การแปลงรูปจากระบบพิกัดรวม ไปยังพิกัดจุดสัมผัส |
| B | ค่าสัมประสิทธิ์ของฟังก์ชันรูปร่างตามด้านข้างที่ตัดผ่านจุดสัมผัส |
| $[D]$ | เมทริกซ์ความสัมพันธ์ของความเค้นและความเครียด |
| E | ค่าความยืดหยุ่นของวัสดุ (MPa) |
| F | แรงลัพธ์สัมผัสระหว่างล้อและราง (N) |
| F_n | แรงตั้งฉากที่จุดสัมผัสระหว่างล้อและราง (N) |
| F_{cx} | แรงสัมผัสในแนวยาวระหว่างล้อและราง (N) |
| F_{cy} | แรงสัมผัสในแนวด้านข้างระหว่างล้อและราง (N) |
| $\{f\}$ | เมทริกซ์แรงภายนอกทั้งหมด (N) |
| f_y | ค่าสัมประสิทธิ์ปรับแก้ (Corresponding coefficient) |
| G | ค่ามอดูลัสความเค้นเฉือน (Shear modulus) (MPa) |
| g_N | ช่องว่างการสัมผัสตั้งฉาก (mm) |
| H | แรงในแนวยาวที่จุดสัมผัสระหว่างล้อและราง (N) |
| h | ค่าสัมประสิทธิ์ของเฮิร์ตซ์ (Hertz's coefficient) |
| $[J]$ | เมทริกซ์จาโคเบียน (Jacobian matrix) |
| $[K]$ | เมทริกซ์เอกฐาน (Singular matrix) |
| $[K_r]$ | เมทริกซ์ความแข็ง (Stiffness matrix) |
| L | แรงในแนวด้านข้างที่จุดสัมผัสระหว่างล้อและราง (N) |
| L/V | พิกัดความปลอดภัยของการตกราง |
| N_m | ฟังก์ชันรูปร่าง (Shape function) |
| P_L | แรงจากน้ำหนักในแนวตั้งกระทำบนชุดล้อด้านซ้าย (N) |
| P_R | แรงจากน้ำหนักในแนวตั้งกระทำบนชุดล้อด้านขวา (N) |
| $P(x^n)^{n+1}$ | เวกเตอร์ของภาระภายนอกที่ $n + 1$ |
| p_N | ความเค้นสัมผัสตั้งฉาก (N/mm ²) |
| R_w | รัศมีความโค้งหลักตามแนวขวางของล้อ (mm) |
| R_T | รัศมีเส้นขอบของรางตามแนวขวาง (mm) |
| r_0 | รัศมีล้อที่จุดสัมผัส (mm) |
| r_L | รัศมีการกึ่งที่จุดสัมผัสล้อซ้าย (N) |
| r_R | รัศมีการกึ่งที่จุดสัมผัสล้อขวา (N) |
| r'_e | แรงปฏิกิริยาที่จุดสัมผัส (N) |
| S_y | ระยะการเคลื่อนที่ในแนวด้านข้างของชุดล้อ (mm) |

เอกสารนี้เป็นเอกสารที่สงวนไว้สำหรับการใช้งานเพื่อการศึกษาเท่านั้น เมื่อนำไปใช้ประโยชน์ด้านการค้า
ไม่ว่ากรณีใดๆทั้งสิ้น อีกทั้งห้ามมิให้ตัดแปลงเนื้อหา และต้องอ้างอิงถึงเจ้าของเอกสารทุกครั้งที่มีการนำไปใช้

รายการสัญลักษณ์ (ต่อ)

| สัญลักษณ์ / คำย่อ | ชื่อ / ความหมาย |
|-------------------|---|
| \bar{T}_S | แรงต่อหนึ่งหน่วยพื้นที่ที่พื้นผิว (N) |
| t_x | ค่าสัมประสิทธิ์ของแรงคืบในแกน x |
| t_y | ค่าสัมประสิทธิ์ของแรงคืบในแกน y |
| Δt | ช่วงเวลา (Step time) |
| U | พลังงานศักย์ความเครียดภายในเนื้อวัสดุ (J) |
| u | การกระจัดตามแนว x (mm) |
| V | แรงในแนวตั้งที่จุดสัมผัสระหว่างล้อและราง (N) |
| V_e | ปริมาตรของเอลิเมนต์แบบทรงสี่หน้า |
| v | การกระจัดตามแนว y (mm) |
| w | การกระจัดตามแนว z (mm) |
| z_1 | ฟังก์ชันรูปร่าง (Shape function) ของวัตถุ 1 |
| z_2 | ฟังก์ชันรูปร่าง (Shape function) ของวัตถุ 2 |
| ψ | มุมปะทะของล้อ (°) |
| δ_L | มุมสัมผัสของจุดสัมผัสที่ล้อซ้าย (°) |
| δ_R | มุมสัมผัสของจุดสัมผัสที่ล้อขวา (°) |
| δ_n | ระยะยุบตัวของล้อในแนวตั้งฉาก (mm) |
| ν | ค่าอัตราส่วนปัวซอง (Poisson's ratio) |
| θ | มุมการกลิ้งของล้อ (°) |
| $\{\sigma\}$ | เมทริกซ์ความเค้น (N/mm ²) |
| $\{\varepsilon\}$ | เมทริกซ์ความเครียด |
| ϕ | ฟังก์ชันพารามิเตอร์ |
| α_i | ค่าสัมประสิทธิ์ฟังก์ชันรูปร่าง α_i |
| β_i | ค่าสัมประสิทธิ์ฟังก์ชันรูปร่าง β_i |
| δ_i | ค่าสัมประสิทธิ์ฟังก์ชันรูปร่าง δ_i |
| $\{\phi\}$ | ฟังก์ชันการกระจัด |
| $\{\rho\}$ | เมทริกซ์ความหนาแน่นจำเพาะของวัตถุ |
| Ω_p | พลังงานศักย์ของแรงกระทำเป็นจุด (Concentrated force) (J) |
| Ω_s | พลังงานศักย์ของแรงต่อหนึ่งหน่วยพื้นที่ที่พื้นผิว (J) |
| Π | พลังงานศักย์รวม (J) |
| Δu_0 | ช่วงการเพิ่มของการกระจัด (Increment in displacement) |
| μ | ค่าสัมประสิทธิ์ความเสียดทานระหว่างล้อและราง |

เอกสารนี้เป็นเอกสารที่สงวนไว้สำหรับการใช้งานเพื่อการศึกษาเท่านั้น ไม่อนุญาตให้นำไปใช้ประโยชน์ด้านการค้า
ไม่ว่ากรณีใดๆทั้งสิ้น อีกทั้งห้ามมิให้ตัดแปลงเนื้อหา และต้องอ้างอิงถึงเจ้าของเอกสารทุกครั้งที่มีการนำไปใช้

บทที่ 1

บทนำ

1.1 ความสำคัญและที่มาของปัญหา

ตามที่ประเทศไทยประกาศตัวเข้าร่วม ASEAN Economic Community; AEC หรือประชาคมเศรษฐกิจอาเซียน และจะเป็นศูนย์กลางการเชื่อมโยงการขนส่งสินค้าของประชาคมอาเซียน ทั้งรัฐบาลและเอกชนก็ได้ดำเนินการไปแล้วหลายฝ่าย คณะรัฐมนตรีมีคำสั่งแถลงนโยบาย เมื่อวันที่ 23 สิงหาคม 2554 ให้พัฒนาระบบคมนาคมขนส่งทางรางของประเทศ ซึ่งเป็นที่ยอมรับกันโดยทั่วไปว่าการขนส่งทางรางประหยัดพลังงานได้มากกว่าระบบการขนส่งทางบกแบบอื่นเมื่อขนส่งในปริมาณที่เท่ากัน คือ รถไฟขนส่งสินค้าประหยัดพลังงานกว่าการขนส่งด้วยรถบรรทุก 3.5 ถึง 4.5 เท่า รถไฟขนส่งผู้โดยสารประหยัดพลังงานมากกว่ารถโดยสารสาธารณะ 1.7 ถึง 2.0 เท่า และประหยัดพลังงานกว่ารถโดยสารส่วนบุคคล ถึง 5.0 เท่า ดังนั้นตามนโยบายดังกล่าวการพัฒนาและพัฒนาระบบคมนาคมขนส่งทางรางเพื่อการบริหารจัดการขนส่งผู้โดยสาร สินค้าและบริการที่สะดวกและปลอดภัยทั้งในพื้นที่ชนบท พื้นที่เมือง และระหว่างประเทศ ซึ่งความปลอดภัยขั้นพื้นฐานของการขนส่งทางรถไฟ คือไม่ควรมีการตกรางเกิดขึ้นในระหว่างการวิ่งของขบวนรถไฟ จากข้อมูลของการรถไฟแห่งประเทศไทย พบว่าสถิติของรถไฟตกราง มีความถี่เกิดขึ้นสูง ดังแสดงในตารางที่ 1.1 พบว่าการตกรางระหว่างปีงบประมาณ พ.ศ. 2551 – 2555 มีค่าเฉลี่ยประมาณ 100 ครั้งต่อปี อุบัติเหตุจากการตกรางของรถไฟหลายครั้งทำให้สูญเสียชีวิตและทรัพย์สิน ขาดความเชื่อมั่นจากผู้ใช้บริการ โดยสาเหตุของการตกรางของรถไฟนั้นมีปัจจัยหลักที่เกี่ยวข้องดังนี้ สภาพของทางรถไฟชำรุดส่งผลต่อการสั่นสะเทือนของตัวรถไฟ ความเสถียรภาพในแนวขวางของตัวรถไฟและจากการควบคุมการเดินรถไฟ ซึ่งปฏิสัมพันธ์ระหว่างล้อและราง (Wheel/rail interaction) เป็นผลต่อสาเหตุดังที่กล่าวข้างต้น โดยเกิดจากการใช้งานจริงของการสัมผัสระหว่างล้อและราง เช่น ความเสียดทานระหว่างล้อและราง รูปร่างล้อ (Wheel profile) และมุมบังใบล้อ (Flange angle) จะส่งผลโดยตรงต่อแรงการป็นรางของล้อ จนเป็นเหตุให้รถไฟตกรางในที่สุด การทดลองเพื่อศึกษาปฏิสัมพันธ์ระหว่างล้อและรางจึงมีความจำเป็นอย่างยิ่งต่อความปลอดภัยจากการตกราง แต่อย่างไรก็ตามการทดลองเพื่อศึกษาดังกล่าวในประเทศไทยยังไม่ได้ให้ความสำคัญเท่าที่ควรโดยส่วนใหญ่จะเป็นการบำรุงรักษาตามระยะการปฏิบัติงานที่ถูกออกแบบและกำหนดจากต่างประเทศ และยังไม่มีการศึกษาในเชิงวิจัยมากนัก

จากการศึกษางานวิจัยที่ผ่านมาพบว่าการวิเคราะห์การตกรางจะแบ่งเป็นสองกรณีตามหลักของกลศาสตร์วิศวกรรม คือ กรณีที่หนึ่งการตกรางเนื่องจากบังใบล้อป็นราง เป็นการประเมินโดยวิธีสูตรคลาสสิกอล (Classical formula) และวิธีการประมาณจากสูตรเชิงวิเคราะห์ (Approximate analytical formula) ซึ่งเป็นการวิเคราะห์แบบกระบวนการสถิตเสมือน (Quasi-static) กรณีที่สองการตกรางเนื่องจากล้อกระแทกราง เป็นการวิเคราะห์การตกรางแบบพลศาสตร์ (Dynamic derailment) การศึกษาการป็นของบังใบล้อเป็นการศึกษาขั้นพื้นฐานของการตกรางของรถไฟ ซึ่งสาเหตุอาจเกิดจากแรงด้านข้างของล้อและรางมีค่ามาก และภาระน้ำหนักกดล้อมีค่าน้อย กระบวนการป็นรางของบังใบล้อจะถูกพิจารณาเป็นสภาวะคงตัว (Steady state) โดยไม่นำผลความเฉื่อยของชุดล้อมาพิจารณา พิกัดความปลอดภัยของนาดาล (Nadal's safety limit) จะเป็นพิกัดการประเมินการเอกสารนี้เป็นเอกสารที่สงวนไว้สำหรับการทำงานเพื่อการศึกษาเท่านั้น ไม่อนุญาตให้นำไปใช้ประโยชน์ด้านการค้าไม่ว่ากรณีใดๆทั้งสิ้น อีกทั้งห้ามมิให้ดัดแปลงเนื้อหา และต้องอ้างอิงถึงเจ้าของเอกสารทุกครั้งที่มีการนำไปใช้

ตกรางเนื่องจากบั้งใบล้อป็นรางซึ่งจะพิจารณาถึงความสัมพันธ์ของมุมบั้งใบล้อสัมผัสและสัมประสิทธิ์ความเสียดทานเท่านั้น

จากการศึกษางานวิจัยในประเทศไทย การประยุกต์ระเบียบวิธีไฟไนต์เอลิเมนต์มาใช้ในการจำลองการตกรางเนื่องจากล้อป็นรางพบว่ายังไม่มียานวิจัยที่เคยทำมาก่อน ดังนั้นงานวิจัยนี้เป็นงานวิจัยแรกของประเทศไทยที่นำผลของกลไกการสัมผัสระหว่างล้อและรางมาประยุกต์ใช้กับระเบียบวิธีไฟไนต์เอลิเมนต์ ตามทฤษฎีการสัมผัสของเฮิร์ตซ์ (Hertz's contact theory) ระหว่างล้อและราง ซึ่งตัวแปรที่สำคัญต่อพิกัดการตกรางเนื่องจากล้อป็นราง และนำมาใช้ในการวิเคราะห์ประกอบไปด้วยมุมของบั้งใบล้อสัมผัส ค่าสัมประสิทธิ์ความเสียดทานระหว่างล้อและราง และมุมปะทะของล้อ (Wheel attack angle) เพื่อเปรียบเทียบกับพิกัดการตกรางที่ได้จากการวิเคราะห์สมมูลสองมิติ และวิธีการประมาณจากสูตรเชิงวิเคราะห์ (Approximate analytical formula) ในสามมิติ มาประยุกต์ใช้ร่วมกับโปรแกรม Altair HyperWorks 11.0 และ LS-Dyna 971 เพื่อช่วยจำลองการป็นราง ด้วยระเบียบวิธีไฟไนต์เอลิเมนต์ของชุดล้อ เพื่อเป็นพื้นฐานการศึกษาปฏิสัมพันธ์ระหว่างล้อและราง รวมถึงการปรับปรุงรูปร่างของล้อและรางให้เหมาะสม และหลีกเลี่ยงการตกรางของระบบการขนส่งทางรางในอนาคตต่อไป



รูปที่ 1.1 แสดงการวิ่งของการรถไฟแห่งประเทศไทย

ตารางที่ 1.1 แสดงสถิติขบวนรถตกรางระหว่างปีงบประมาณ พ.ศ. 2551 – 2555^{***}

| ปีงบประมาณ | จำนวนที่ตกราง (ครั้ง) |
|---------------------|-----------------------|
| 2551 | 131 |
| 2552 | 94 |
| 2553 | 96 |
| 2554 | 113 |
| 2555 (ต.ค. – มิ.ย.) | 60 |

เอกสารนี้เป็นเอกสารที่สงวนลิขสิทธิ์ภายใต้การดูแลของสำนักงานส่งเสริมการค้าในต่างประเทศ ณ นครเชียงใหม่ โดยเอกสารนี้ถูกเผยแพร่โดยไม่หวังผลตอบแทนใด ๆ ภายใต้งานวิจัยที่สนับสนุนโดยสำนักงานส่งเสริมการค้าในต่างประเทศ ณ นครเชียงใหม่ อย่างไรก็ตามหากมีการนำเอกสารนี้ไปใช้โดยไม่ได้รับอนุญาตให้เข้าไปใช้ประโยชน์ด้านการค้าไม่ว่ากรณีใดๆทั้งสิ้น อีกทั้งห้ามมิให้ดัดแปลงเนื้อหา และต้องอ้างอิงถึงเจ้าของเอกสารทุกครั้งที่มีการนำไปใช้

1.2 วัตถุประสงค์ของการศึกษา

1. เพื่อศึกษาปฏิสัมพันธ์ระหว่างล้อและรางรถไฟ
2. เพื่อศึกษาพิกัดความปลอดภัยของการตกรางเนื่องจากล้อป็นราง
3. เพื่อศึกษาการจำลองการตกราง เนื่องจากล้อป็นรางด้วยระเบียบวิธีไฟไนต์เอลิเมนต์
4. เพื่อศึกษาผลการจำลองการตกราง เนื่องจากล้อป็นรางด้วยระเบียบวิธีไฟไนต์เอลิเมนต์เปรียบเทียบกับ พิกัดความปลอดภัยของนาดาล (Nadal's safety derailment)
5. เพื่อศึกษาผลของค่าสัมประสิทธิ์ความเสียดทาน มุมบังใบล้อ และมุมปะทะของล้อต่อพิกัดความปลอดภัยของการตกราง เนื่องจากล้อป็นราง

1.3 ขอบเขตของการวิจัย

งานวิจัยนี้ เป็นการศึกษาการประเมินการตกรางเนื่องจากล้อป็นราง ของชุดล้อที่ใช้ในการรถไฟแห่งประเทศไทย (รฟท.) ภายใต้กระบวนการสถิติเสมือน ด้วยระเบียบวิธีไฟไนต์เอลิเมนต์ เพื่อเปรียบเทียบกับพิกัดการป็นรางของนาดาลที่ได้จากการวิเคราะห์จากสูตรสมดุสองมิติ จากนั้นนำทฤษฎีการสัมผัสของเฮิร์ตซ์ ที่พิจารณาให้มีความสำคัญต่อกลไกการสัมผัส ในสามมิติมาประยุกต์ใช้ร่วมกับโปรแกรม Altair HyperWorks 11.0 และ LS-Dyna 971 เพื่อช่วยจำลองการตกรางเนื่องจากล้อป็นรางด้วยระเบียบวิธีไฟไนต์เอลิเมนต์ ดังนั้นจึงกำหนดขอบเขตของงานวิจัยไว้ดังนี้

1. การศึกษาเฉพาะรูปร่างล้อของรถไฟโดยสาร ตามมาตรฐานของ รฟท.
2. การศึกษาการประเมินการตกรางของล้อ ภายใต้ข้อสมมุติว่าล้อและรางอยู่ในสภาวะสมบูรณ์ ไม่มีการสึกหรอและบิดตัวเนื่องจากการใช้งาน
3. การศึกษาการประเมินการตกรางเนื่องจากล้อป็นรางภายใต้กระบวนการสถิติเท่านั้น ล้อไม่มีการหมุนกลิ้งระหว่างการจำลอง
4. ประยุกต์ใช้โปรแกรม UG NX7.5 ออกแบบสามมิติของชุดล้อ
5. ประยุกต์ใช้โปรแกรม Altair HyperWorks 11.0 และ LS-Dyna 971 เพื่อการจำลองการป็นรางภายใต้กระบวนการสถิติเสมือน ด้วยระเบียบวิธีไฟไนต์เอลิเมนต์
6. ค่ามุมบังใบล้อสัมผัสมีค่า 60° 65° และ 70° ค่าสัมประสิทธิ์ความเสียดทานระหว่างล้อและรางมีค่า 0.15 0.25 และ 0.35 มุมปะทะของล้อมีค่า 0° 0.25° 0.50° 0.75° 1.0° 1.25° และ 1.50° ตามลำดับ

1.4 ระเบียบวิธีการวิจัย

1. ศึกษาและรวบรวมงานวิจัยที่เกี่ยวข้องจากหนังสือ วารสาร และหน่วยงานที่เกี่ยวข้อง โดยจัดเป็นหมวดหมู่ ดังต่อไปนี้

- 1.1 ความรู้พื้นฐานของงานวิศวกรรมรถไฟ
- 1.2 ทฤษฎีกลศาสตร์การสัมผัสระหว่างวัตถุและปฏิสัมพันธ์ระหว่างล้อและราง
- 1.3 สูตรพิกัดความปลอดภัยของตกรางเนื่องจากล้อป็นราง
- 1.4 ความรู้พื้นฐานของระเบียบวิธีไฟไนต์เอลิเมนต์

เอกสารนี้เป็นเอกสารที่สงวนไว้สำหรับการใช้งานเพื่อการศึกษาเท่านั้น ไม่อนุญาตให้นำไปใช้ประโยชน์ด้านการค้า ไม่ว่าจะกรณีใดๆทั้งสิ้น อีกทั้งห้ามมิให้ดัดแปลงเนื้อหา และต้องอ้างอิงถึงเจ้าของเอกสารทุกครั้งที่มีการนำไปใช้

1.5 การประยุกต์ใช้ระเบียบวิธีไฟไนต์เอลิเมนต์ จากโปรแกรม Altair HyperWork 11.0 และ Ls-Dyna 971

2. ศึกษาทฤษฎีการสัมผัสในแนวตั้งฉาก และแนวสัมผัสที่มีผลต่อแรงในการป็นร่างซึ่งเกิดขึ้นจากการสัมผัสระหว่างล้อและราง

3. ศึกษาการใช้ระเบียบวิธีไฟไนต์เอลิเมนต์กับแบบจำลองการสัมผัสอย่างง่ายของล้อเดี่ยวและทำการเปรียบเทียบผลของแรงสัมผัสในแนวตั้งฉาก ระหว่างการจำลองด้วยระเบียบวิธีไฟไนต์เอลิเมนต์กับทฤษฎีการสัมผัสของเฮิร์ตซ์

4. ศึกษาพิกัดความปลอดภัยของการตกรางเนื่องจากล้อป็นร่าง ตามหลักสมดุอย่างง่ายในสองมิติ และจากสูตรประมาณการของระบบพิกัดสามมิติ

5. ศึกษาพิกัดการตกรางเนื่องจากล้อป็นร่างสามมิติ ด้วยระเบียบวิธีไฟไนต์เอลิเมนต์

1.5 ประโยชน์ที่คาดว่าจะได้รับ

การวิจัยนี้มุ่งเป้าตอบสนองความปลอดภัยของการตกรางเนื่องจากล้อป็นร่าง ด้วยการนำเทคโนโลยีด้าน CAE (Computer Aided Engineering) ซึ่งเป็นที่นิยมใช้อย่างกว้างขวางในอุตสาหกรรม งานวิศวกรรมต่างๆ มาประยุกต์ใช้กับปฏิสัมพันธ์ระหว่างล้อและราง เพื่อหาพิกัดความปลอดภัยของการตกรางเนื่องจากล้อป็นร่าง และเป็นข้อมูลการพัฒนาาระบบขนส่งทางรางของประเทศต่อไป โดยถือเป็นงานวิจัยแรกในประเทศไทย

1. สามารถถ่ายทอดเทคโนโลยีการจำลองการตกรางเนื่องจากล้อป็นร่าง ด้วยระเบียบวิธีไฟไนต์เอลิเมนต์จากผลงานวิจัย

2. ได้แบบจำลองทางไฟไนต์เอลิเมนต์เพื่อเป็นต้นแบบ และสามารถวิเคราะห์สาเหตุการตกรางเนื่องจากล้อป็นร่าง

3. ได้พิกัดความปลอดภัยของการตกรางเนื่องจากล้อป็นร่าง จากการศึกษาวิเคราะห์ด้วยระเบียบวิธีไฟไนต์เอลิเมนต์ และแนวทางการหลีกเลี่ยงการตกรางเนื่องจากล้อป็นร่าง เพื่อเป็นแนวทางในการพัฒนาระบบการขนส่งทางรางในอนาคต

เอกสารนี้เป็นเอกสารที่สงวนไว้สำหรับการใช้งานเพื่อการศึกษาเท่านั้น ไม่อนุญาตให้นำไปใช้ประโยชน์ด้านการค้า ไม่ว่าจะกรณีใดๆทั้งสิ้น อีกทั้งห้ามมิให้ดัดแปลงเนื้อหา และต้องอ้างอิงถึงเจ้าของเอกสารทุกครั้งที่มีการนำไปใช้

บทที่ 2

ทบทวนวรรณกรรมและงานวิจัยที่เกี่ยวข้อง

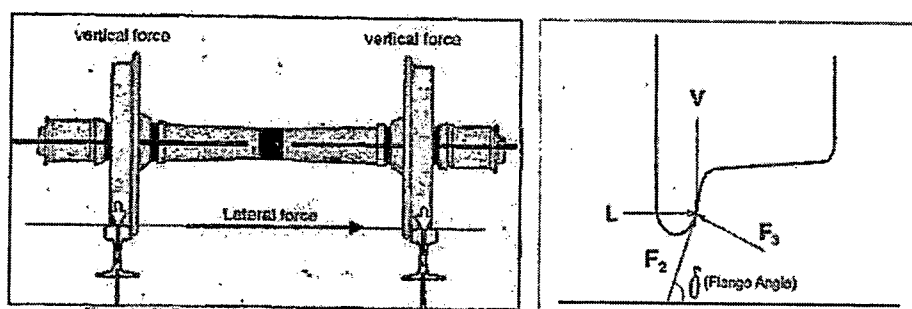
2.1 บทนำ

การศึกษาปฏิสัมพันธ์ระหว่างล้อและราง และการตรวงเนื่องจากล้อป็นรางที่นักวิจัยท่านอื่นได้ศึกษาหรือทำการวิจัยมาก่อนถือเป็นองค์ความรู้ที่สำคัญก่อนเริ่มดำเนินการวิจัย ซึ่งวิธีการศึกษาวิเคราะห์นั้นมีการปรับปรุงอย่างต่อเนื่อง โดยเริ่มจากการวิเคราะห์จากสูตรอย่างง่ายในสองและสามมิติ การนำเทคโนโลยีด้านคอมพิวเตอร์มาช่วยจำลอง และเปรียบเทียบผลกับการทดลองจริง เพื่อความถูกต้องต่อการวิจัย และหลีกเลี่ยงการตรวงของรถไฟ ดังนั้นบทนี้จะเป็นการทบทวนวรรณกรรม และการวิจัยที่เกี่ยวข้องของการศึกษาการตรวงเนื่องจากล้อป็นราง

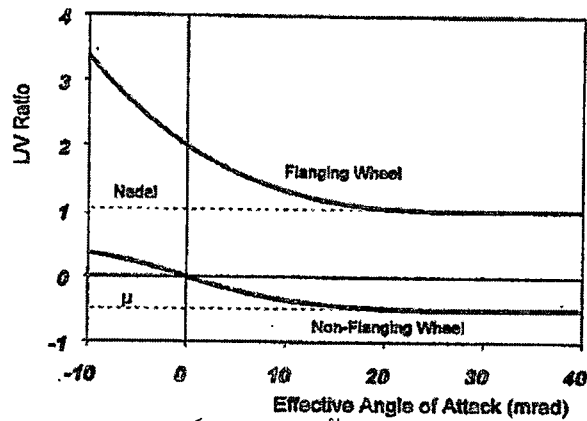
2.2 งานวิจัยที่เกี่ยวข้อง

ในปี ค.ศ. 2005 Aleksander Sladkowski และ Marek Sitarz [1] ได้ศึกษาปฏิสัมพันธ์ระหว่างล้อและรางจากการกระจายของความเค้นบริเวณจุดสัมผัสของแบบจำลองสามมิติ ด้วยระเบียบวิธีไฟไนต์เอลิเมนต์ โดยการปรับเปลี่ยนรูปร่างของล้อเพื่อวิเคราะห์การสัมผัสระหว่างล้อและรางรถไฟ การกระจายตัวของแรงตั้งฉากของเฮิร์ตซ์สำหรับสองจุดจะเกิดขึ้นบริเวณพื้นล้อและบังใบล้อเมื่อล้อเคลื่อนที่ไปในตำแหน่งแนวด้านข้างก่อให้เกิดแรงในแนวด้านข้างเกิดขึ้นที่บังใบล้อสัมผัส ผลจากการจำลองจากการกระจายของความเค้นสัมผัสของเฮิร์ตซ์เหล่านี้ถูกนำมาใช้เป็นพื้นฐานสำหรับการพัฒนาปรับปรุงรูปร่างของล้อและรางรถไฟ

ในปี ค.ศ. 2005 Xinggao Shu และคณะ [2] ได้มีการพัฒนาเกณฑ์การตรวงเนื่องจากบังใบล้อป็นรางต่อเพิ่มจากเกณฑ์ของนาดาล ซึ่งได้พิจารณาเป็นสองตัวแปร คือระยะการป็นของบังใบล้อในแนวด้านข้าง ตัวแปรที่สอง และมุมปะทะของล้อ เพื่อดูผลของอัตราส่วนแรงในแนวด้านข้างต่อแรงในแนวตั้ง (L/V) จากการจำลองของโปรแกรม NUCARSTM และทำการเปรียบกับผลการทดลองจริง ผลจากการศึกษาพบว่าอัตราส่วนแรงที่ได้มีความใกล้เคียงกับการทดลองจริงและมีผลสอดคล้องกับพิกัดความปลอดภัยของนาดาลเมื่อมุมปะทะของล้อเพิ่มขึ้น เนื่องจากนาดาลพิจารณาเฉพาะการป็นรางของบังใบล้อเดียวซึ่งไม่นำผลจากการสั่นไถลที่พื้นล้ออีกด้าน (Non-flanging wheel) มาพิจารณาร่วมด้วย



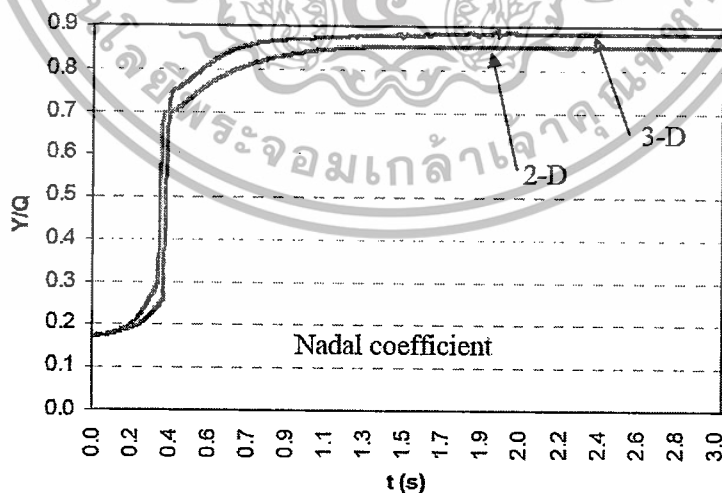
รูปที่ 2.1 แสดงชุดล้อและแรงในการป็นรางที่บังใบล้อ [2] นำไปใช้ประโยชน์ด้านการค้า
เอกสารนี้เป็นเอกสารที่สงวนลิขสิทธิ์ไว้สำหรับใช้เฉพาะในโครงการวิจัยนี้
ไม่ว่ากรณีใดๆทั้งสิ้น อีกทั้งห้ามมิให้ตัดแปลงเนื้อหา และต้องอ้างอิงถึงเจ้าของเอกสารทุกครั้งที่มีการนำไปใช้



รูปที่ 2.2 ค่าสัมประสิทธิ์การทรงทั้งสองล้อกับมุมปะทะของล้อ [2]

อัตราส่วนของแรงในแนวด้านข้างต่อแรงในแนวตั้ง (L/V) ของเกณฑ์ปกติจะมีค่ามากกว่า อัตราส่วนที่ได้จากการพิจารณามุมปะทะของล้อร่วมด้วย โดยมีค่าสอดคล้องกับค่าของนาตาลเมื่อมุมปะทะของล้อมากกว่า 10 มิลลิเรเดียน (mrad) ซึ่งการทรงจะเกิดขึ้นเมื่อค่าอัตราส่วนของแรงในแนวด้านข้างต่อแรงในแนวตั้ง (L/V) ดังกล่าวมีค่ามากกว่าการพิกัดที่กำหนด

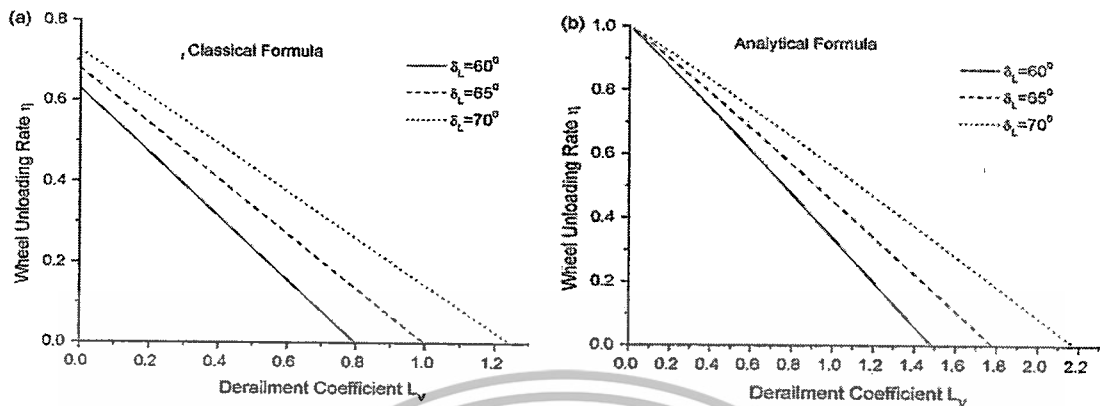
ในปี ค.ศ. 2006 J Santamaria, E.G. Vadillo และ J Gomez [3] ได้ศึกษาถึงวิธีการแก้ปัญหาการสัมผัสของล้อและรางแบบสองและสามมิติของแบบจำลองยึดหยุน รวมทั้งศึกษาอิทธิพลของมุมปะทะของล้อด้วยการจำลองพลศาสตร์จากโปรแกรมคอมพิวเตอร์ สมมติฐานการสัมผัสยึดหยุนจะคำนึงถึงพื้นที่ของการสัมผัสระหว่างล้อและรางเนื่องจากการยุบตัว องค์การอิสระตามสมมติฐานจะเป็นเงื่อนไขการวิเคราะห์การสัมผัสระหว่างล้อและรางรถไฟ และอยู่บนพื้นฐานของทฤษฎีแรงดึงดูดของเฮิร์ตซ์ จากการคำนวณระหว่างล้อและรางเวลาที่ใช้ในการวิเคราะห์แบบสองมิติจะเร็วกว่าการวิเคราะห์แบบสามมิติ และผลที่ได้จากการจำลองแบบสองมิติจะมีค่าพิกัดความปลอดภัยของนาตาลน้อยกว่าแบบสามมิติ ดังรูปที่ 2.3



รูปที่ 2.3 ค่าสัมประสิทธิ์การทรงแบบสองมิติ และสามมิติ [3]

ในปี ค.ศ. 2008 Jing Zeng และ Pingbo Wu [4] ได้ศึกษาการทรงโดยสามารถแบ่งเป็นสองชนิด คือการศึกษาการทรงเนื่องจากบังใบล้อปืนราง และการทรงเนื่องจากล้อกระแทกราง โดยเอกซันต์แรกยังแบ่งการพิจารณาเป็นสองวิธีดังนี้ วิธีที่หนึ่งสูตรการตั้งรางแบบคลาสสิก ซึ่งจะสมมติให้มีการคำนวณว่ากรณีใดๆทั้งสิ้น อีกทั้งห้ามมิให้ตัดแปลงเนื้อหา และต้องอ้างอิงถึงเจ้าของเอกสารทุกครั้งที่มีการนำไปใช้

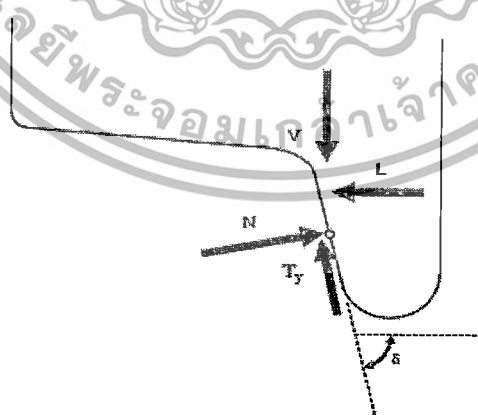
แรงเสียดทานของการลื่นไถลเกิดขึ้นระหว่างล้อและราง ส่วนวิธีที่สองการประมาณจากสูตร ซึ่งจะพิจารณาถึงผลจากแรงค้ำระหว่างล้อและราง



รูปที่ 2.4 ค่าสัมประสิทธิ์การตกราง L_v ที่มุมสัมผัสบั้งไปล้อต่างๆ [4]

จากเงื่อนไขการตกรางของชุดล้อแบบวิเศษคลาสสิกนั้นจะเป็นความสัมพันธ์ระหว่างค่าสัมประสิทธิ์ความเสียดทานกับมุมสัมผัสของล้อและราง ผลจากการคำนวณเชิงตัวเลขแสดงในรูปที่ 2.4 – 2.5 โอกาสของการตกรางเนื่องจากล้อป็นรางจะเพิ่มขึ้นเมื่อความเสียดทานเพิ่มขึ้น การเพิ่มมุมสัมผัสของบั้งไปล้อจะช่วยหลีกเลี่ยงการตกรางได้ และผลจากสูตรคลาสสิกจะให้ค่าพิกัดความปลอดภัยน้อยกว่าผลจากสูตรวิเคราะห์ประมาณการ

ในปี ค.ศ. 2009 J Santamaria, E.G. Vadillo และ J Gomez [5] ได้ศึกษาทฤษฎีอุบัติเหตุรถไฟตกรางบนพื้นฐานของทฤษฎีสถิติ โดยพิจารณาผลของแรงค้ำที่เกิดขึ้นจากการสัมผัสระหว่างล้อและรางด้วยสูตรวิเคราะห์ ผลที่ได้จากการวิเคราะห์จะให้ค่าของเกณฑ์การตกรางมีค่ามากกว่าสูตรของนาดาล และได้เสนอเกณฑ์การตกรางใหม่ที่มีค่ามากกว่าเกณฑ์ของนาดาล เนื่องจากพิจารณามุมปะทะของล้อชุดรวมด้วย



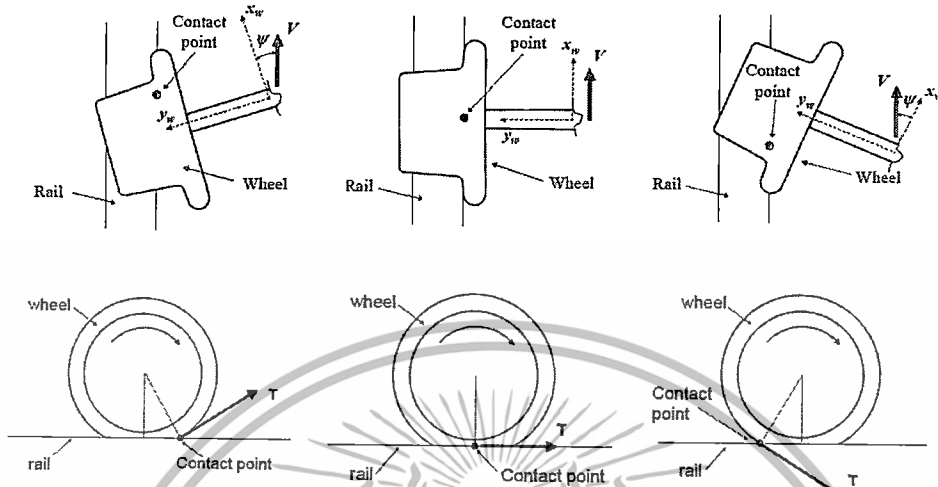
รูปที่ 2.5 แสดงที่มาของเกณฑ์การตกรางจากการวิเคราะห์แบบสองมิติของนาดาล [5]

จากรูปสูตรของของนาดาลสามารถเขียนได้ดังนี้

$$\frac{L}{V} = \frac{\tan \delta - \mu}{1 + \mu \tan \delta} \quad (2.1)$$

เอกสารนี้เป็นเอกสารที่สงวนไว้สำหรับครูใช้ และครูศึกษาเท่านั้น ไม่อนุญาตให้นำไปใช้ประโยชน์ด้านการค้าไม่ว่ากรณีใดๆทั้งสิ้น อีกทั้งห้ามมิให้ตัดแปลงเนื้อหา และต้องอ้างอิงถึงเจ้าของเอกสารทุกครั้งที่มีการนำไปใช้

เขาได้อธิบายสูตรของนาตาลเป็นการพิจารณาการตกรางจากสภาวะที่แรงแรงเสียดทานมีค่าอิมตัวสูงสุด ตามหลักทฤษฎีของคูลอมบ์ (Coulomb's theory) ซึ่งไม่ได้นำผลของแรงคืบมาพิจารณาร่วมด้วยตามหลักของความเป็นจริง ดังนั้นเขาจึงได้เสนอที่มาของสูตรทางเลือกอื่น ดังรูปที่ 2.6

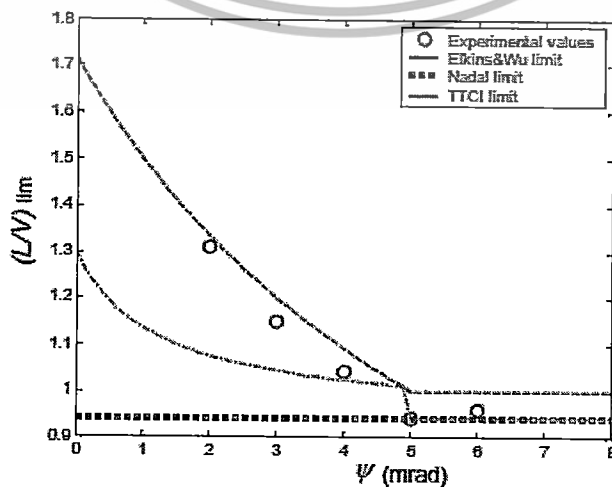


รูปที่ 2.6 แสดงที่มาของเกณฑ์การตกรางจากสูตรการวิเคราะห์แบบสามมิติ [5]

จากการวิเคราะห์เขาได้สรุปสูตรการประมาณการจากการวิเคราะห์ จากการปรับปรุงสูตรของนาตาล โดยค่าสัมประสิทธิ์ปรับแก้ (Corresponding coefficient; f_y) จากสมการที่ (2.1) สามารถเขียนใหม่ได้ดังนี้

$$\frac{L}{V} = \frac{\tan \delta - f_y \mu}{1 + f_y \mu \tan \delta} \tag{2.2}$$

โดยค่าสัมประสิทธิ์ปรับแก้ (f_y) มีค่าอยู่ในช่วง $-1 \leq f_y \leq 1$ ผลที่ได้จากการวิเคราะห์การตกรางแบบสามมิติ จะมีใกล้เคียงกับการทดลองมากกว่าสูตรของนาตาล และมีค่าสอดคล้องกันเมื่อมุมปะทะของล้อมีค่าเพิ่มมากขึ้น



เอกสารนี้รูปที่ 2.7 แสดงผลเปรียบเทียบของเกณฑ์การตกรางจากสูตรวิเคราะห์ที่แก้การทดลอง [5] จนด้านการค้าไม่ว่ากรณีใดๆทั้งสิ้น อีกทั้งห้ามมิให้ตัดแปลงเนื้อหา และต้องอ้างอิงถึงเจ้าของเอกสารทุกครั้งที่มีการนำไปใช้

ในปี ค.ศ. 2010 Mehmet Ali Arslan และ Oguz Kayabasi [6] ได้ประยุกต์ใช้ระเบียบวิธีไฟไนต์เอลิเมนต์จากโปรแกรม ANSYS กับกลศาสตร์การสัมผัสระหว่างล้อและรางเพื่อวิเคราะห์ผลของแรงสัมผัสที่เกิดขึ้นเพื่อเป็นพื้นฐานในการศึกษาการสัมผัสระหว่างล้อและรางในสามมิติที่มีความใกล้เคียงกับปัญหาจริงมากขึ้น ขนาดเส้นผ่านศูนย์กลางล้อที่ใช้คือ 1,000 มิลลิเมตร การกำหนดคุณสมบัติของวัสดุและเงื่อนไขขอบเขตแบบสมมาตร ดังนี้ เอลิเมนต์ที่ใช้จะเป็นแบบ SOLID 45 ชนิดของการจัดการสัมผัส (Contact card) คือ Contact 173 จำนวนเอลิเมนต์ทั้งหมดของแบบจำลอง 116,871 เอลิเมนต์ และ 126,393 โหนด ภายใต้ภาระน้ำหนักรวมในแนวตั้ง 80 ตัน ค่าสัมประสิทธิ์แรงเสียดทานระหว่างล้อและรางที่ใช้คือ 0.3 จากนั้นศึกษาผลแรงสัมผัสที่เกิดขึ้นระหว่างล้อและราง

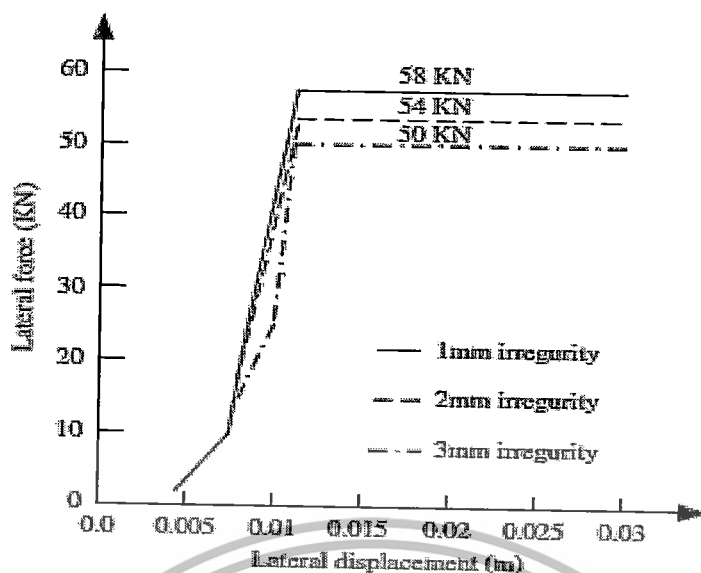


รูปที่ 2.8 แสดงผลจากการจำลองด้วยระเบียบวิธีไฟไนต์เอลิเมนต์ของล้อสัมผัส [6]

ผลจากการจำลองเมื่อเพิ่มภาระน้ำหนักมากขึ้น ความเค้นสัมผัสก็จะมีค่ามากขึ้นด้วย โดยมีค่าสูงสุดที่ 1360 MPa ตรงบริเวณจุดศูนย์กลางของวงรีสัมผัส และบริเวณดังกล่าวจะมีโอกาสเกิดการสึกหรอมากที่สุด

ในปี ค.ศ. 2011 Brian Marquis และ Robert Greif [7] ได้นำพิกัดความปลอดภัยของขนาดมาประยุกต์ใช้เพื่อหาค่าพิกัดความปลอดภัยของการตกรางเนื่องล้อป็นราง โดยให้ความสำคัญกับรูปร่างและค่าวัสดุของล้อและราง มุมปะทะของล้อ การป็นรางของบังโบล้อจะมีแรงในแนวสัมผัสของการเสียดทาน และแรงตั้งฉากเกิดขึ้น ซึ่งแรงทั้งสองจะส่งผลโดยตรงต่ออัตราส่วนของแรงในแนวต้านข้างต่อแรงในแนวตั้ง (L/V) ผลจากการศึกษาพบว่าแรงสัมผัสจากล้อป็นรางจะไม่เป็นการเลื่อนไถล (Sliding) เพียงอย่างเดียวแต่จะเกิดแรงเสียดทานหมุนกลิ้ง (Rolling friction) เกิดขึ้นด้วย ซึ่งส่งผลให้พิกัดความปลอดภัยของการตกรางมีค่ามากกว่าพิกัดความปลอดภัยของขนาด

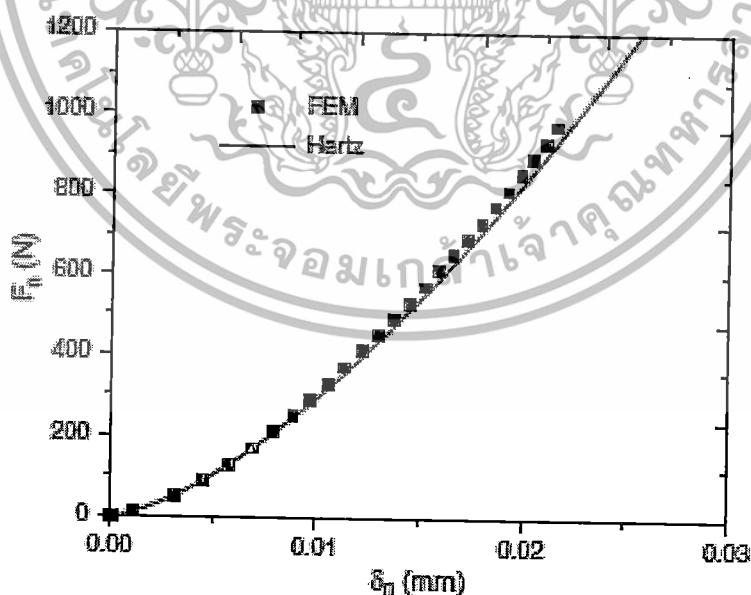
ในปี ค.ศ. 2012 Wei Wang และ Gui-xian [8] ได้ศึกษาการจำลองการตกรางเนื่องจากล้อป็นรางโดยใช้โปรแกรม MATLAB โดยพิจารณาถึงความสำคัญของแรงในแนวต้านข้างมีผลต่อพิกัดความปลอดภัยของการตกราง จากผลการศึกษาพบว่าแรงในแนวต้านข้างของการป็นรางจะมีค่าเพิ่มมากขึ้นเมื่อล้อเคลื่อนที่ไปแนวต้านข้างจนกระทั่งบังโบล้อเริ่มป็นราง ไม่นานญาติให้นำไปใช้ประโยชน์ด้านการค้าไม่ว่ากรณีใดๆทั้งสิ้น อีกทั้งห้ามมิให้ดัดแปลงเนื้อหา และต้องอ้างอิงถึงเจ้าของเอกสารทุกครั้งที่มีการนำไปใช้



รูปที่ 2.9 แสดงผลของแรงในแนวด้านข้างกับระยะการป็นรางที่สภาพทางต่างๆ [8]

จากรูปที่ 2.9 แรงในแนวด้านข้างการป็นรางเพิ่มขึ้นเมื่อขบวนรถไฟวิ่งผ่านบริเวณทางโค้ง และส่งผลให้แรงการป็นรางในแนวด้านข้างเพิ่มขึ้นจนเป็นสาเหตุให้รถไฟตกราง

ในปี ค.ศ. 2012 Q.J. Zheng และคณะ [9] ได้ศึกษาผลของแรงสัมผัสตามหลักกลศาสตร์สัมผัสที่เกิดขึ้นระหว่างวัตถุทรงกลมยืดหยุ่นกับแผ่นบางแข็งเกรง (Rigid plane) ด้วยวิธีไฟไนต์เอลิเมนต์ ผลจากการศึกษาเมื่อภาระในการกดเพิ่มขึ้นจะส่งผลให้วัสดุเกิดการยุบตัวมากขึ้นและแรงสัมผัสที่เกิดขึ้นก็จะมีค่ามากขึ้นด้วยตามทฤษฎีการสัมผัสของเฮิร์ตซ์



รูปที่ 2.10 แสดงผลของแรงสัมผัสตั้งฉากกับระยะการยุบตัวของวัตถุทรงกลมยืดหยุ่น [9]

เอกสารนี้เป็นเอกสารที่สงวนไว้สำหรับการใช้งานเพื่อการศึกษาเท่านั้น ไม่อนุญาตให้นำไปใช้ประโยชน์ด้านการค้า ไม่ว่าจะกรณีใดๆทั้งสิ้น อีกทั้งห้ามมิให้ดัดแปลงเนื้อหา และต้องอ้างอิงถึงเจ้าของเอกสารทุกครั้งที่มีการนำไปใช้

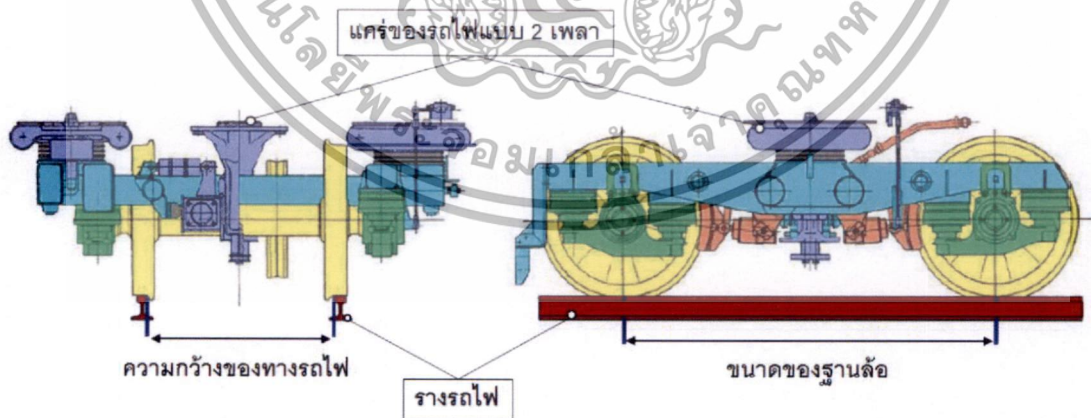
บทที่ 3 ทฤษฎีที่เกี่ยวข้อง

3.1 บทนำ

การศึกษาทฤษฎีที่เกี่ยวข้องกับการตรกรางของรถไฟและการจำลองด้วยระเบียบวิธีไฟไนต์เอลิเมนต์ถือเป็นองค์ความรู้ที่สำคัญก่อนเริ่มดำเนินงานวิจัย สำหรับบทนี้จะกล่าวถึงทฤษฎีด้านปฏิสัมพันธ์ระหว่างล้อและราง และเกณฑ์การตรกรางของรถไฟ ทฤษฎีกลศาสตร์ของแข็ง (Solid mechanics) กลศาสตร์สัมผัส ระหว่างวัตถุสองก้อนซึ่งก่อให้เกิดความเค้น และแรงสัมผัสเกิดขึ้น รวมถึงหลักการพื้นฐานของระเบียบวิธีไฟไนต์เอลิเมนต์และการประยุกต์ใช้กับโปรแกรมสำเร็จรูป Altair HyperWorks 11.0 และ LS-dyna 971

3.2 ปฏิสัมพันธ์ระหว่างล้อและราง

การศึกษาด้านปฏิสัมพันธ์ระหว่างล้อและราง เป็นส่วนหนึ่งในการปรับปรุงสมรรถนะให้ตู้รถไฟสามารถวิ่งด้วยความเร็วสูงมีความสบายต่อผู้โดยสาร และปลอดภัยจากการตรกราง หัวข้อนี้จะแยกเป็นสองส่วนหลัก นั่นคือ ส่วนของล้อซึ่งเป็นส่วนประกอบของตัวรถไฟ และส่วนรางซึ่งเป็นส่วนประกอบทางรถไฟโดยส่วนแรกคือทางรถไฟประกอบด้วย รางรถไฟ ที่วางบนหมอนรองราง อาศัยตัวยึดเหนี่ยวราง ทำหน้าที่ยึดรางเหล็กเข้ากับหมอนรองรางซึ่งวางอยู่บนหินโรยทางทำหน้าที่ยึดหมอนรองไว้กับที่และถ่ายน้ำหนักรถไฟลงบนดินซึ่งอยู่ด้านล่างสุดจนถึงพื้นดินเดิม ส่วนที่สอง คือส่วนของตัวรถไฟประกอบด้วยตัวรถซึ่งวางอยู่บนแคร่ หรือโบกี้ (Bogie)



รูปที่ 3.1 แสดงรูปแคร่ด้านหน้าและด้านข้างของรถไฟแบบ 2 เพลา

แคร่มีหลายแบบตั้งแต่แคร่แบบ 1 เพลา มี 2 ล้อ แคร่แบบ 2 เพลา มี 4 ล้อ ซึ่งเป็นที่มาของคำว่า “แคร่หรือโบกี้” ซึ่งนิยมใช้มากที่สุด มีหน้าที่รับน้ำหนักของตัวรถไฟ ตู้รถไฟที่สร้างขึ้นในระยะแรก ยังไม่มีแคร่ ตัวรถจะวางอยู่บนล้อ 4 ล้อ โดยมีสปริงรับน้ำหนักวางคั่นอยู่ตรงกลาง ซึ่งโดยทั่วไปไม่สามารถวิ่งได้เร็วกว่าตู้รถไฟ 4 ล้อ ที่พัฒนาขึ้นในสมัยใหม่ที่สามารถวิ่งได้เร็วกว่าเดิมแต่ก็ไม่ใช่ เอกสารนี้เป็นเอกสารที่สงวนลิขสิทธิ์เพื่อการเรียนเพื่อการศึกษาเท่านั้น ไม่อนุญาตให้นำไปใช้ประโยชน์ทางการค้า ไม่ว่าจะกรณีใดๆทั้งสิ้น อีกทั้งห้ามมิให้ดัดแปลงเนื้อหา และต้องอ้างอิงถึงเจ้าของเอกสารทุกครั้งที่มีการนำไปใช้

นิยมใช้มากนัก การมีแครงจะช่วยให้อุณหภูมิคงนุ่มนวลทั้งในทางตรงและทางโค้งโดยแครงจะรับการสั่นสะเทือนที่เกิดจากการวิ่งของรถไฟทำให้ผู้โดยสารรู้สึกสบาย ในการออกแบบแครงนั้นวิศวกรจะพยายามลดการสั่นสะเทือนจากล้อให้ขึ้นมาถึงตัวรถน้อยลงโดยจัดให้มีอุปกรณ์รับน้ำหนักกดเพลลาชุดแรก (Primary Suspension) อยู่ระหว่างเพลลาล้อกับแครงและอุปกรณ์รับน้ำหนักตัวรถไฟชุดที่สอง (Secondary Suspension) อยู่ระหว่างแครงกับตัวรถไฟ นอกจากออกแบบการรับน้ำหนักเป็นสองชั้นแล้วยังต้องติดตั้งโช้คอัพ (Shock Absorber) เพื่อระงับการสั่นสะเทือนที่ผิดปกติให้หายไปโดยเร็วที่สุด ส่วนการออกแบบแครงสำหรับรถไฟที่วิ่งด้วยความเร็วต่ำก็อาจจะเป็นโช้คอัพแบบง่ายๆ เช่น รถสินค้า 4 ล้อ หรือรถแครงโดยสารในสมัยเริ่มต้นซึ่งใช้สปริงแบบเหล็กแผ่น (Leaf Spring) ไม่ติดตั้งโช้คอัพอาศัยแรงเสียดสีระหว่างแผ่นเหล็กสปริงเมื่อเกิดการกั้นในแนวตั้งเพื่อช่วยระงับการสั่นสะเทือนไปพร้อมกับการทำหน้าที่เป็นระบบรับน้ำหนักชั้นแรก รถเหล่านี้สามารถวิ่งได้ด้วยความเร็ว 50-70 กิโลเมตรต่อชั่วโมงเท่านั้นเพราะแรงเสียดสีระหว่างแผ่นแหนบมีค่าไม่แน่นอนจึงไม่สามารถควบคุมการสั่นได้ตามความต้องการ



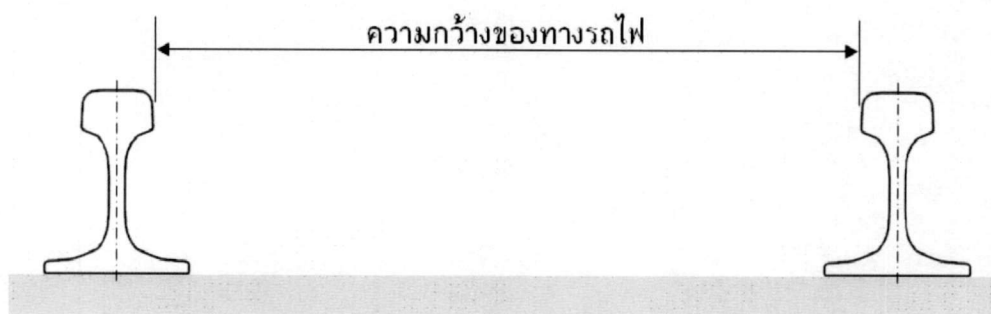
รูปที่ 3.2 แสดงส่วนประกอบและการรับน้ำหนักของแครงรถไฟแบบ 2 เพลลา

การสั่นสะเทือนที่ไม่พึงประสงค์จะลดลงโดยใส่แครงเข้าไป เพื่อให้การสั่นสะเทือนพื้นฐานของรถ 4 ล้อให้ไปปรากฏอยู่ที่ตัวแครง แต่การสั่นสะเทือนที่ไม่ตรงกัน (Out of phase) ระหว่างแครงหน้าและหลังก็ยังเป็นเหตุให้ตัวรถเกิดการหมุนรอบจุดศูนย์กลาง (Center of Gravity; CG) เพียงแต่มีระดับความรุนแรงลดลง ในทำนองเดียวกันการสั่นสะเทือนในแนวแกนอื่นของตัวรถก็ยังคงอยู่ จากรูปแครงรถไฟแบบ 2 เพลลา มีส่วนประกอบหลักๆด้วยกัน 7 ส่วน ดังแสดงในตารางต่อไปนี้

ตารางที่ 3.1 แสดงรายละเอียดของส่วนประกอบของแครงรถไฟแบบ 2 เพลลา

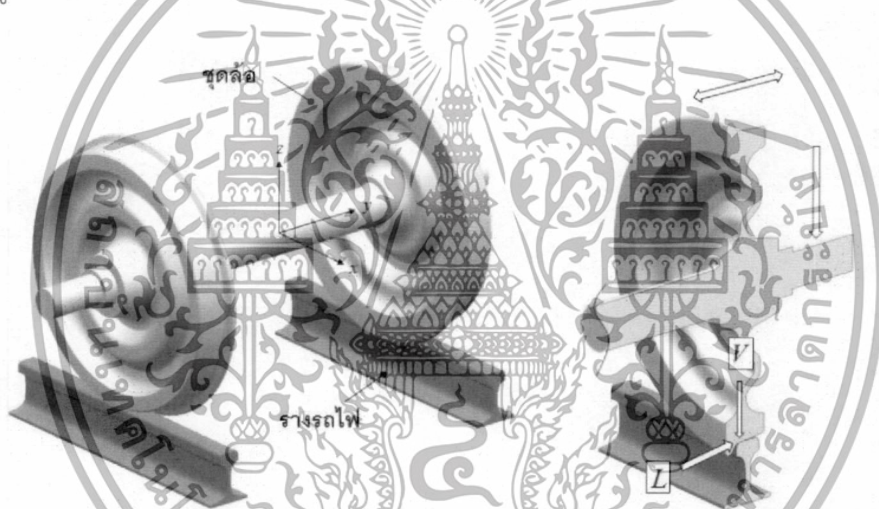
| รายการ | ส่วนประกอบของแครงรถไฟแบบ 2 เพลลา |
|--------|---|
| ① | โครงแครง (Bogie frame) |
| ② | ชุดรองรับน้ำหนักตัวรถ (Car body suspension) |
| ③ | ชุดขับเคลื่อน (Driving device) |
| ④ | ชุดล้อ (Wheelset) |
| ⑤ | ชุดรองรับน้ำหนักกดเพลลา (Axle box suspension) |
| ⑥ | ชุดเบรค (Brake equipment) |
| ⑦ | ชุดของมอเตอร์ (Traction motor) |

เอกสารนี้เป็นเอกสารที่สงวนไว้สำหรับการใช้งานเพื่อการศึกษานี้เท่านั้น ไม่อนุญาตให้นำไปใช้ประโยชน์ด้านการค้าไม่ว่ากรณีใดๆทั้งสิ้น อีกทั้งห้ามมิให้ดัดแปลงเนื้อหา และต้องอ้างอิงถึงเจ้าของเอกสารทุกครั้งที่มีการนำไปใช้



รูปที่ 3.4 แสดงความกว้างของทางรถไฟ

การสร้างทางรถไฟสำหรับรถความเร็วสูงโดยทั่วไปจะกำหนดน้ำหนักดเพลลาไว้ที่ 17-19 ตัน แต่หากมีการปรับปรุงขนาดใหญ่ (Rehabilitation) จะสามารถกำหนดคอกแบบให้สามารถรับน้ำหนักดเพลลาได้สูงสุดถึง 20 ตัน และสามารถทำความเร็วได้สูงถึง 130 กิโลเมตรต่อชั่วโมง ส่วนหน้าที่ในการกำหนดทิศทางในการวิ่งของรางรถไฟจะมีล้อและรางทำงานสัมพันธ์กันเพื่อกำหนดให้ขบวนรถไฟวิ่งไปตามรางดังรูปที่ 3.5

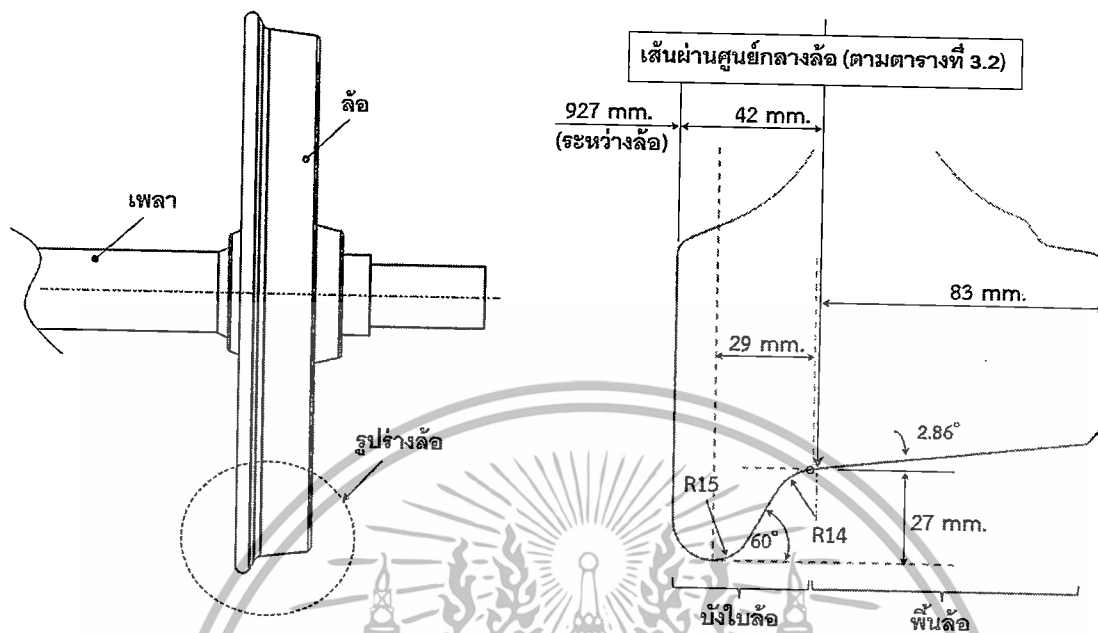


รูปที่ 3.5 แสดงการรับน้ำหนักบั้งไปล้อและรางบังคับให้ขบวนรถไฟวิ่งไปตามราง

3.2.2 ชุดล้อ

ส่วนประกอบหลักของชุดล้อซึ่งทำหน้าที่ประคองตัวรถให้วิ่งไปตามรางและบังคับไม่ให้ตกรางคือ บั้งใบ (Flange) ซึ่งอยู่ด้านในล้อ พื้นล้อตรงส่วนที่สัมผัสหัวรางเรียกว่าเทรต (Thread) และเส้นผ่านศูนย์กลางล้อที่วัดตรงจุดสัมผัสเรียกว่าเส้นผ่านศูนย์กลาง ณ จุดสัมผัส (Diameter on thread) ระยะห่างจากจุดที่พื้นล้อด้านบนสัมผัสหัวรางถึงจุดที่บั้งใบล้อสัมผัสหัวรางด้านข้างเรียกว่า ระยะสายตัว (Wheel Flange Play) ซึ่งการรถไฟแห่งประเทศไทยกำหนดระยะสายตัวออกด้านข้างล้อไว้ข้างละ 6.75 มิลลิเมตร การศึกษาและปรับปรุงล้อรถไฟได้กระทำอย่างต่อเนื่อง ล้อรถไฟในปัจจุบันมีรูปร่างเป็นรูปทรงกรวย (Truncated-cone Shape) พื้นล้อเป็นระนาบเอียงเนื่องจากต้องการให้ชุดล้อมีคุณสมบัติคัตตัวตัวเอง (Self Steering) กล่าวคือเมื่อผลึกให้ชุดล้อเคลื่อนที่ไปบนราง ล้อด้านที่วิ่งด้วยเส้นผ่าศูนย์กลางโตกว่าจะวิ่งนำหน้าล้อที่วิ่งด้วยเส้นผ่าศูนย์กลางเล็กกว่าเพลลาล้อก็จะเอียงไปในทางที่จะคัตตัวให้ชุดล้อเคลื่อนกลับไปในทางตรงกันข้ามซึ่งล้อด้านที่เคยวิ่งด้วยเส้นผ่าศูนย์กลางเล็กกว่าก็จะเปลี่ยนเป็นวิ่งด้วยเส้นผ่าศูนย์กลางโตกว่าและวิ่งอีกหน้าล้อด้านตรงข้ามเป็นกักริตตัดท้ายให้เกิดการค้ำไม่ว่ากรณีใดๆทั้งสิ้น อีกทั้งห้ามมิให้ตัดแปลงเนื้อหา และต้องอ้างอิงถึงเจ้าของเอกสารทุกครั้งที่มีการนำไปใช้

การถ่ายตัวกลับสลับกันไปมา ดังนั้นหากเป็นการเคลื่อนที่ในสภาพปกติแล้วแรงกระทำระหว่างบังใบ ล้อกับหัวรางก็จะมี ความรุนแรงน้อยกว่าล้อรถไฟที่พื้นล้อเป็นรูปทรงกระบอก



รูปที่ 3.6 แสดงรูปร่างของชุดล้อตามมาตรฐานของ รฟท.

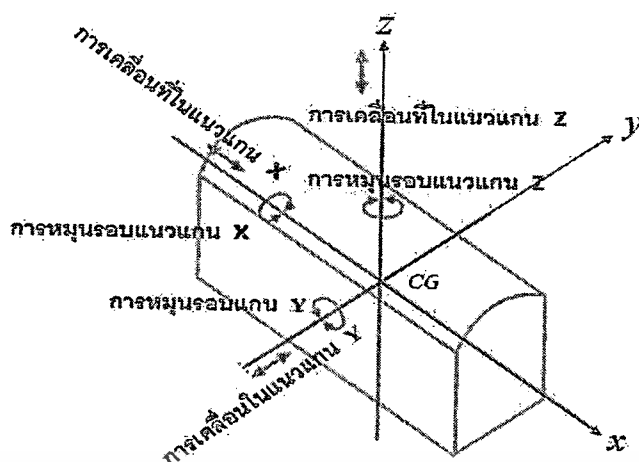
ตารางที่ 3.2 แสดงเส้นผ่านศูนย์กลางตามมาตรฐานของ รฟท. [15]

| ประเภทของรถไฟ | เส้นผ่านศูนย์กลางล้อใหม่ (mm.) | พิกัดการกึ่งสุดท้าย (mm.) | พิกัดการสึกหรอสุดท้าย (mm.) |
|----------------|--------------------------------|---------------------------|-----------------------------|
| รถจักรดีเซล | 914 | 914 | 914 |
| รถโดยสาร | 851 | 805 | 799 |
| รถดีเซลราง DMU | | | |

3.2.3 การเคลื่อนที่ของรถไฟและองศาอิสระของชุดล้อ

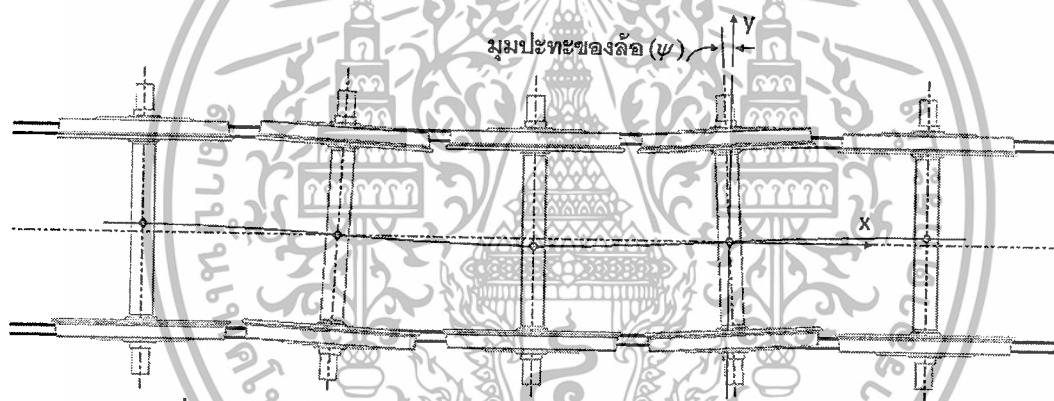
การศึกษากลไกสัมพันธของล้อและราง และความปลอดภัยจากการตรวงจากการวิ่งของ ขบวนรถไฟจำเป็นต้องทราบการทิศทางการเคลื่อนและประเภทของการตรวงของรถไฟ โดยส่วน ใหญ่จะแบ่งประเภทการตรวงเป็นสองกรณีตามหลักของกลศาสตร์วิศวกรรม คือการตรวงเนื่องจาก บังใบล้อป็นราง ซึ่งพิจารณาเป็นกระบวนการสถิตย์เสมือน (Quasi-static process) และการตรวง เนื่องจากล้อกระแทกราง โดยงานวิจัยจะกล่าวถึงเฉพาะประเภทแรก ส่วนประเภทหลังจะไม่กล่าวถึง รายละเอียดแต่เพียงนำมาเป็นพื้นฐานเพื่อใช้อ้างอิงทิศทางการเคลื่อนที่ของชุดล้อตามหลักของ พลศาสตร์เท่านั้น พิจารณาในขณะที่ล้อวิ่งไปบนรางก็จะรับเอาการเคลื่อนที่ของเพลาล้อโดยตรง ทำให้เกิดการเคลื่อนที่รอบจุดศูนย์กลาง (Center of gravity; CG) ของตัวรถขึ้นรอบสามแนวแกน คือ แกนนอนตามความยาวของรถ (x) แกนแนวด้านข้างของตัวรถ (y) และแกนตามความสูงของตัวรถ (z) ซึ่งมีแต่ละแกนจะมีการเคลื่อนที่ในแกน และหมุนรอบแกน ตามลำดับดังนี้

เอกสารนี้เป็นเอกสารที่สงวนไว้สำหรับการใช้งานเพื่อการศึกษาเท่านั้น ไม่อนุญาตให้นำไปใช้ประโยชน์ด้านการค้า ไม่ว่ากรณีใดๆทั้งสิ้น อีกทั้งห้ามมิให้ดัดแปลงเนื้อหา และต้องอ้างอิงถึงเจ้าของเอกสารทุกครั้งที่มีการนำไปใช้



รูปที่ 3.7 แสดงทิศทางการเคลื่อนที่ต่างๆ ของตัวรถไฟ

การเคลื่อนที่ในแนวแกน x (Jerking) และการหมุนรอบแกน x (Rolling) การเคลื่อนที่ในแนวแกน y (Swaying) และการหมุนรอบแกน y (Pitching) การเคลื่อนที่ในแนว z (Bouncing) และการหมุนรอบแกน z (Yawing)



รูปที่ 3.8 แสดงการเคลื่อนที่แบบสายตัวของชุดล้อ และมุมปะทะของล้อ

การเคลื่อนที่ของรถไฟดังกล่าว ประกอบกับรูปร่างของล้อที่ลาดเอียงเป็นรูปทรงกรวยตัดจะทำให้เพลาล้อสายตัวไปมารอบศูนย์กลาง ในขณะที่เดียวกันศูนย์กลางของเพลาล้อจะเคลื่อนที่ออกทางด้านข้างซ้ายขวาสลับกันศูนย์กลางของเพลาล้อในขณะที่ล้อเคลื่อนที่จึงสายสลับไปมา (Sinusoidal movement) และเป็นที่มาของมุมการป็นราง หรือมุมปะทะของล้อ (Wheel attack angle) ดังนั้นชุดล้อของรถไฟเมืองศาอิสระ 2 องศาด้วยกัน คือ การหันเหตามมุมปะทะของล้อหรือการเคลื่อนที่รอบแกน z และการเคลื่อนที่ในแนวด้านข้าง y ซึ่งการเคลื่อนที่ดังกล่าวจะต้องอยู่ในพิสัย เพื่อหลีกเลี่ยงการตกรางเนื่องจากล้อป็นราง

3.2.4 กลไกการสัมผัสและแรงที่กระทำระหว่างล้อและราง

กลศาสตร์สัมผัส คือ การศึกษาผลของการเสียรูปของของแข็งที่สัมผัสกัน สูตรทางกายภาพและทางคณิตศาสตร์ถูกสร้างจากหลักของกลศาสตร์ของวัตถุและกลศาสตร์ต่อเนื่องจากการคำนวณความยืดหยุ่นของวัสดุทั้งในสถานะกรณีคงที่และเคลื่อนที่ โดยมีแรงสัมผัสเกิดขึ้นทั้งในทิศตั้งฉากของผิวสัมผัส และแรงเสียดทานในทิศแนวสัมผัส การสัมผัสกันระหว่างล้อและรางจะมีพื้นที่สัมผัสวางรีเอกทีฟเป็นอีกสิ่งหนึ่งที่ต้องคำนึงถึงในการคำนวณการนำพาไปใช้

ไม่ว่ากรณีใดๆทั้งสิ้น อีกทั้งห้ามมิให้ตัดแปลงเนื้อหา และต้องอ้างอิงถึงเจ้าของเอกสารทุกครั้งที่มีการนำไปใช้

ขนาดเล็กเกิดขึ้นซึ่งเป็นจุดรวมของความเค้นสัมผัส (Contact stress) ผิวสัมผัสจะมีแรงกระทำในแนวสัมผัสเกิดขึ้นจากการขับเคลื่อน หรือเบรค โดยสามารถแยกออกเป็น 2 ปัญหา คือ ปัญหาในแนวตั้งฉาก (Normal problem) พิจารณาตามหลักทฤษฎีของเฮิร์ตซ์ (Hertz's theory) และปัญหาในแนวสัมผัส (Tangential problem) พิจารณาตามหลักทฤษฎีของคาลเคอร์ (Kalker's theory)

3.2.4.1 ปัญหาในแนวตั้งฉาก

กลศาสตร์สัมผัสเป็นพื้นฐานของวิศวกรรมเครื่องกลซึ่งมีความสำคัญต่อการออกแบบ การศึกษา กลศาสตร์สัมผัสเกิดขึ้นครั้งแรกเมื่อปี ค.ศ. 1882 โดยเฮิร์ตซ์ (Hertz) ได้ศึกษาการสัมผัสของของแข็ง ยืดหยุ่น ซึ่งได้อธิบายคุณสมบัติการสัมผัสกันของเลนส์ โดยความเค้นสัมผัสของเฮิร์ตซ์ (Hertzian Stress contact) คือความเค้นที่เกิดจากการสัมผัสกันระหว่างพื้นผิวโค้งของเลนส์ภายใต้แรงกระทำตั้งฉาก การยุบตัวระหว่างเลนส์จะขึ้นอยู่กับโมดูลัสของความยืดหยุ่นของวัตถุทั้งสอง ความเค้นสัมผัสของเฮิร์ตซ์เป็นพื้นฐานในการประยุกต์ใช้กับงานวิศวกรรมต่างๆที่มีการสัมผัสกัน เช่นการสัมผัสกันในระบบเบรค ระบบแบริ่ง การสัมผัสกันระหว่างยางกับพื้นถนน การสัมผัสกันระหว่างแม่พิมพ์กับแผ่นโลหะของการขึ้นรูป รวมถึงการสัมผัสระหว่างล้อและรางรถไฟ ของงานวิจัยนี้



รูปที่ 3.9 แสดงรูปทั่วไปของกลไกการสัมผัสของเฮิร์ตซ์ [10]

การสัมผัสกันของวัตถุทรงกลมทั้งสองที่มีความยืดหยุ่น ดังรูปที่ 3.9 รูปร่างความโค้งหลักของวัตถุทรงกลมทั้งสองมีความสำคัญต่อการคำนวณขนาดของพื้นผิวและแรงสัมผัส ฟังก์ชันรูปร่าง (Shape function ; z_1, z_2) ของวัตถุทั้งสอง สามารถเขียนได้ดังนี้ ตามลำดับ

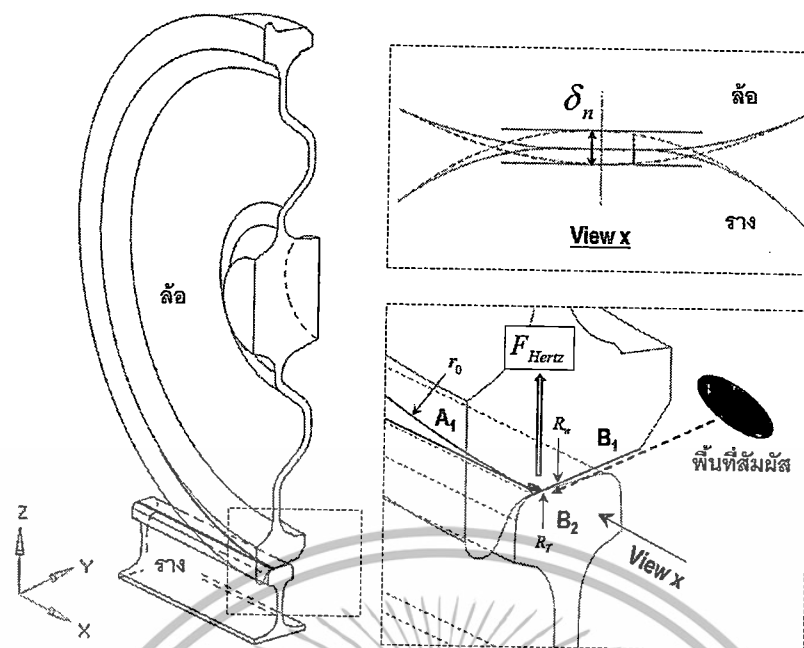
$$z_1 = A_1x^2 + B_1y^2 \quad (3.1)$$

$$z_2 = A_2x^2 + B_2y^2 \quad (3.2)$$

กำหนดให้ A และ B คือ ค่าสัมประสิทธิ์ของฟังก์ชันรูปร่างตามแนวยาว และแนวด้านข้างที่ตัดผ่านจุดสัมผัส ตามลำดับ

กรณีที่เป็นารสัมผัสระหว่างล้อและรางรูปร่างความโค้งนั้นสามารถพิจารณาในระนาบตั้งฉากของผิวสัมผัสได้ ดังนี้

เอกสารนี้เป็นเอกสารที่สงวนไว้สำหรับการใช้งานเพื่อการศึกษาเท่านั้น ไม่อนุญาตให้นำไปใช้ประโยชน์ด้านการค้า ไม่ว่ากรณีใดๆทั้งสิ้น อีกทั้งห้ามมิให้ดัดแปลงเนื้อหา และต้องอ้างอิงถึงเจ้าของเอกสารทุกครั้งที่มีการนำไปใช้



รูปที่ 3.10 แสดงกลไกการสัมผัสระหว่างล้อและราง

แรงตั้งฉากสัมผัสของเฮิร์ตซ์ระหว่างล้อและราง สามารถเขียนได้ดังนี้

$$F_{Hertz} = \frac{2}{3} E^* \sqrt{\frac{(\delta_n / \hbar)^3}{A + B}} \tag{3.3}$$

กำหนดให้ $E^* = E/(1-\nu^2)$, \hbar คือ ค่าสัมประสิทธิ์ของเฮิร์ตซ์ (Hertz coefficient) [10]

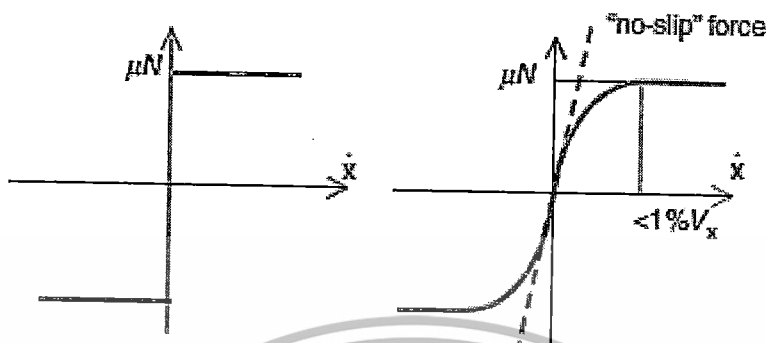
$$A = A_1 = \frac{1}{2r_0}, \quad B = B_1 + B_2 = \frac{1}{2} \left(\frac{1}{R_w} + \frac{1}{R_T} \right) \tag{3.4}$$

- เมื่อ E คือ ค่าความยืดหยุ่นของวัสดุ (MPa)
- \hbar คือ ค่าสัมประสิทธิ์ของเฮิร์ตซ์ (Hertz coefficient) [10]
- ν คือ ค่าอัตราส่วนปัวซอง (Poisson's ratio)
- δ_n คือ ระยะยุบตัวของสัมผัสในแนวตั้งฉาก (mm)
- r_0 คือ รัศมีล้อที่จุดสัมผัส (mm)
- R_w คือ รัศมีความโค้งหลักตามแนวขวางของล้อ (mm)
- R_T คือ รัศมีเส้นขอบของรางตามแนวขวาง (mm)

3.2.4.2 ปัญหาในแนวสัมผัส

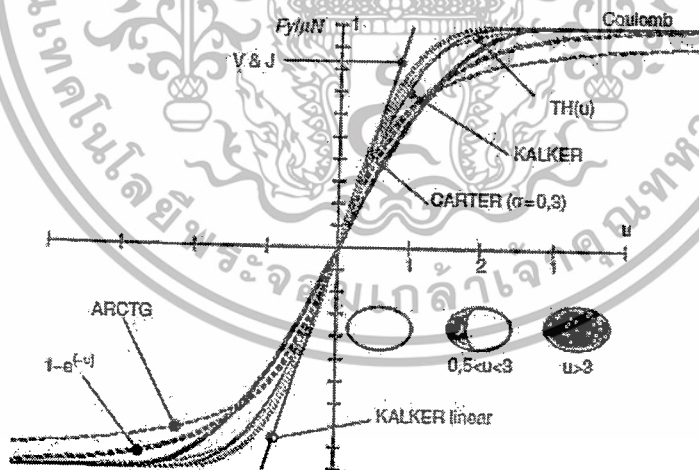
จากหลักจลนศาสตร์ของชุดล้อยูกนำมาใช้เป็นพื้นฐานในการอธิบายพฤติกรรมของการเคลื่อนที่ในสามมิติ ซึ่งหลักความเป็นจริงชุดล้อย่อมมีส่วนประกอบการเชื่อมโยงต่างๆ ของแคร่ เพื่อลดการส่ายตัว ในขณะที่รถไฟเข้าโค้ง แรงจากระบบรองรับน้ำหนักจะส่งผลต่อแรงสัมผัสระหว่างล้อและรางตรง เอกสารนี้เป็นเอกสารที่สงวนไว้สำหรับครูใช้งานเพื่อการศึกษาเท่านั้น เมื่อนำไปใช้ประโยชน์ด้านการค้า ไม่ว่าจะกรณีใดๆทั้งสิ้น อีกทั้งห้ามมิให้ดัดแปลงเนื้อหา และต้องอ้างอิงถึงเจ้าของเอกสารทุกครั้งที่มีการนำไปใช้

บริเวณพื้นที่สัมผัส ประกอบไปด้วยแรงตั้งฉากสัมผัส และแรงคืบ (Creep force) ซึ่งเป็นแรงในแนวสัมผัสตามยาว และแรงในแนวสัมผัสด้านข้าง โดยแรงนี้จะส่งผลให้เกิดความเร็วสัมพัทธ์ระหว่างล้อและราง ซึ่งเรียกว่า การคืบ (Creepages)



รูปที่ 3.11 แสดงรูปแบบการสัมผัสเสียดทานของคูลอมป์กับการสัมผัสเสียดทานกลิ้ง [10]

การสัมผัสกันระหว่างล้อและรางเป็นการสัมผัสเสียดทานกลิ้ง (Rolling friction contact) ซึ่งจะมีความแตกต่างจากการสัมผัสเสียดทานของคูลอมป์ที่สามารถพบได้ทั่วไป เช่น การสัมผัสของพื้นรองเท้ากับถนน แต่การสัมผัสเสียดทานกลิ้งจะพิจารณาผลจากพื้นที่ของการสัมผัสด้วย ซึ่งหากเกิดการเลื่อนไถลที่มีการกลิ้งด้วย แรงเสียดทานที่เกิดขึ้นจะไม่ได้เกิดสูงสุดตลอดการสัมผัสตามแบบสัมผัสเสียดทานของคูลอมป์ แต่จะค่อยๆเปลี่ยนแปลงสัมประสิทธิ์ความเสียดทานลักษณะเป็นโค้งก่อนเข้าสู่การสัมผัสเสียดทานของคูลอมป์



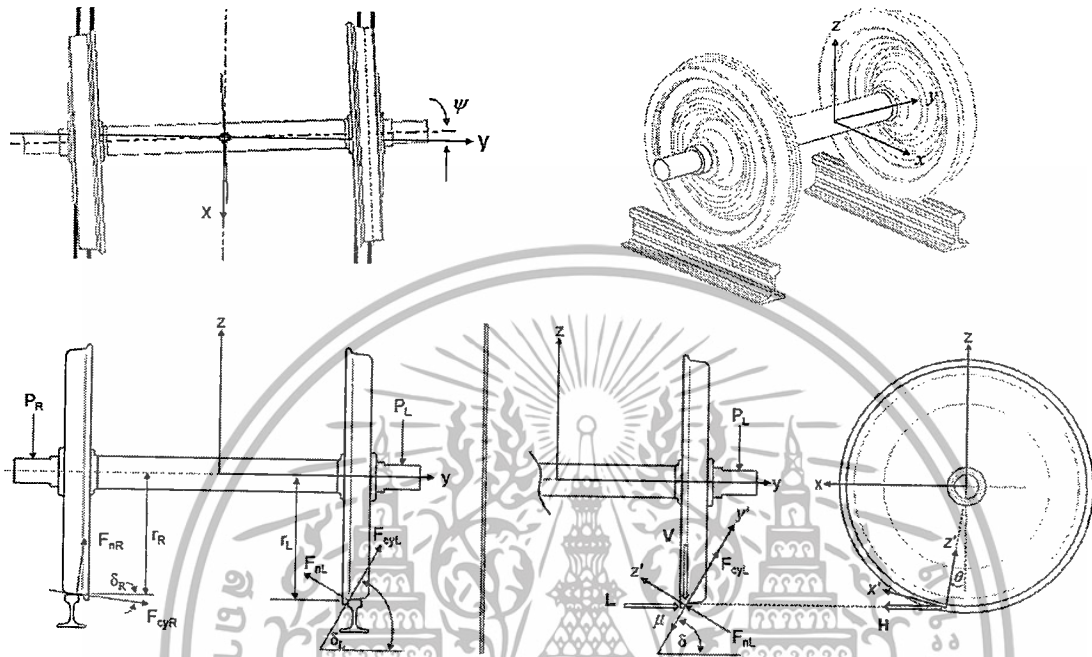
รูปที่ 3.12 แสดงรูปแบบต่างๆ ของการสัมผัสเสียดทานกลิ้ง [10]

หลังจากเฮิร์ตซ์ได้เสนอการสัมผัสในแนวตั้งฉากขึ้นจึงได้มีการศึกษาการสัมผัสระหว่างล้อและราง ซึ่งนอกจากจะพิจารณาผลในแนวตั้งฉากของการสัมผัสแล้ว เขายังได้ศึกษาผลจากแรงในแนวสัมผัสของพื้นที่สัมผัสระหว่างล้อและรางด้วย คาร์เตอร์ได้อธิบายผิวสัมผัสโดยเริ่มจากสองมิติอย่างง่าย และเขาเป็นคนแรกที่แสดงถึงผลของแรงคืบในทิศทางตามยาว ซึ่งวิธีการของเขาจะอธิบายผลของแรงจากความเครียดในพื้นที่สัมผัส และถูกนำมาประยุกต์ใช้ และเป็นที่ยอมรับใช้อธิบายการสัมผัสระหว่างล้อและรางจนถึงปัจจุบัน

เอกสารนี้เป็นเอกสารที่สงวนไว้สำหรับการใช้งานเพื่อการศึกษาเท่านั้น ไม่อนุญาตให้นำไปใช้ประโยชน์ด้านการค้า ไม่ว่าจะกรณีใดๆทั้งสิ้น อีกทั้งห้ามมิให้ตัดแปลงเนื้อหา และต้องอ้างอิงถึงเจ้าของเอกสารทุกครั้งที่มีการนำไปใช้

3.2.5 การป็นรางของบังใบล้อภายใต้สภาวะคงที่ของชุดล้อ

กระบวนการป็นรางเกิดขึ้นจากบังใบล้อสัมผัสเลื่อนขึ้นบนหัวรางซึ่งอาจเกิดจากการเพิ่มขึ้นของแรงต้านข้าง สามารถพิจารณาให้อยู่ในสภาวะคงที่ ซึ่งไม่นำผลจากความเฉื่อยของชุดล้อมาพิจารณา สมมุติให้มีการป็นรางที่ล้อซ้ายและเกิดการลื่นไถลเกิดขึ้นระหว่างบังใบล้อและราง



รูปที่ 3.13 ปฏิสัมพันธ์ระหว่างล้อและราง แรงกระทำบนชุดล้อ

จากรูปที่ 3.13 เป็นการแสดงแรงที่กระทำกับชุดล้อที่ใช้ในการจำลองและแสดงการป็นรางของบังใบที่ล้อซ้าย ตัวแปรต่างๆจะแสดงด้านข้างและขวา ตามอักษร L และ R ตามลำดับ

- H, L, V คือ แรงในแนวยาว ด้านข้าง และแนวตั้งที่จุดสัมผัสระหว่างล้อและราง
- P_L, P_R คือ แรงจากน้ำหนักในแนวตั้งกระทำบนชุดล้อ
- F_n, F_{cy} คือ แรงตั้งฉากและแรงสัมผัสในแนวด้านข้างระหว่างล้อและราง
- r_L, r_R คือ รัศมีการกลิ้งที่จุดสัมผัสล้อซ้ายและขวา
- δ_L, δ_R คือ มุมสัมผัสที่จุดสัมผัสที่ล้อซ้ายและขวา
- ψ, θ คือ มุมปะทะและมุมการกลิ้งของล้อ

3.2.6 พิกัดความปลอดภัยของการตรวงของรถไฟเนื่องจากล้อป็นราง

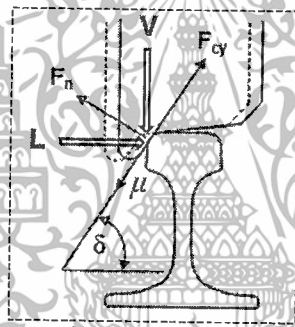
ประเภทของการตรวงจะแบ่งเป็นสองประเภท คือการตรวงเนื่องจากล้อป็นราง และการตรวงเนื่องจากล้อกระแทกราง ดังที่ได้กล่าวมานั้น ในหัวข้อนี้จะกล่าวถึงพิกัดความปลอดภัยของการตรวงเนื่องจากบังใบล้อป็นรางภายใต้กระบวนการสถิตย์เสมือน พิกัดความปลอดภัยของการตรวงเนื่องจากบังใบล้อป็นรางได้จากการวิเคราะห์แรงที่กระทำต่อบังใบล้อ โดยพิกัดแรกสามารถวิเคราะห์อย่างง่ายตามหลักสมมูลในสองมิติ ซึ่งจะสมมุติให้มีแรงเสียดทานเกิดขึ้นระหว่างล้อและราง ส่วนพิกัดที่สองคือวิธีการประมาณจากสูตร ซึ่งจะพิจารณาถึงผลจากแรงคืบ ระหว่างล้อและรางในสามมิติ เพื่อหาอัตราส่วนสูงสุดของแรงต้านข้างต่อแนวตั้ง ปรัชญาการันต์จากอุบัติเหตุรถไฟตกรางเนื่องจากล้อป็นราง ไม่ว่าจะกรณีใดๆทั้งสิ้น อีกทั้งห้ามมิให้ตัดแปลงเนื้อหา และต้องอ้างอิงถึงเจ้าของเอกสารทุกครั้งที่มีการนำไปใช้

รางได้รับการศึกษามากกว่า 100 ปี และเกณฑ์ในการพิจารณาต่างๆจะถูกเสนอและนำมาใช้โดยวิศวกรรถไฟในแต่ละประเทศเพื่อเป็นแนวทางในการทดสอบรองรับความปลอดภัยของรถไฟ โดยเกณฑ์ตัวอย่างที่ได้รับความนิยมในการประเมินค่าพิกัดแรงในแนวด้านข้างต่อแรงในแนวตั้ง มีดังต่อไปนี้

3.2.6.1 พิกัดความปลอดภัยของนาตาล

พิกัดความปลอดภัยของการทรงล้อเดี่ยวของนาตาลได้ถูกเสนอตามหลักพื้นฐานสมดุลอย่างง่ายของแรงในแนวด้านข้างต่อแรงในแนวตั้ง ซึ่งต่อไปจะเรียกว่าอัตราส่วนของ L/V โดยการทรงรางเนื่องจากล้อปืนรางจะเกิดขึ้นเมื่ออัตราส่วนแรงดังกล่าวเกินกว่าพิกัดที่กำหนด กำหนดให้ L คือแรงในแนวด้านข้าง และ V คือแรงในแนวตั้ง พิจารณาตามกฎแรงเสียดทานของคูลอมบ์ ความสัมพันธ์ระหว่างแรงค้ำด้านข้างและแรงตั้งฉาก โดยกำหนดให้ μ คือ ค่าสัมประสิทธิ์ความเสียดทานของบังใบล้อและหัวราง จากความสัมพันธ์ของคูลอมบ์ สามารถเขียนได้ดังนี้

$$F_{cy} = \mu F_n \quad (3.5)$$



รูปที่ 3.14 แสดงแรงกระทำที่บังใบล้อของพิกัดความปลอดภัยของนาตาล

จากความสมดุลแรงในทางด้านข้าง และแนวตั้งสามารถเขียนได้ดังนี้

$$L = -F_n \sin \delta + F_{cy} \cos \delta \quad (3.6)$$

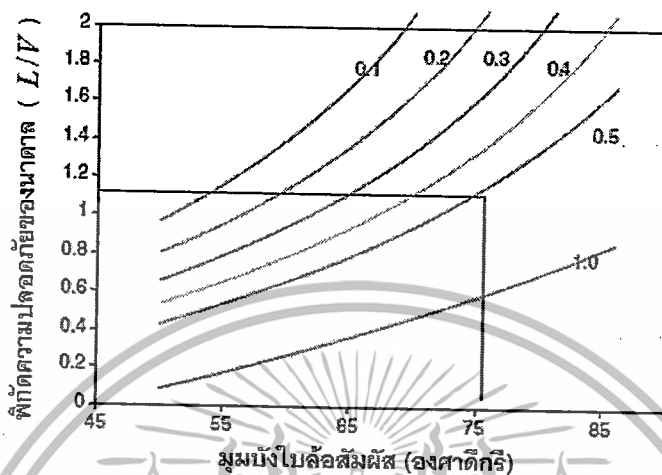
$$V = -F_n \cos \delta - F_{cy} \sin \delta \quad (3.7)$$

จากสมการ (3.6) หาดด้วยสมการ (3.7) จะได้สูตรของการกำหนดพิกัดความปลอดภัยของนาตาลสามารถเขียนได้ดังนี้

$$\frac{L}{V} = \frac{\tan \delta - \mu}{1 + \mu \tan \delta} \quad (3.8)$$

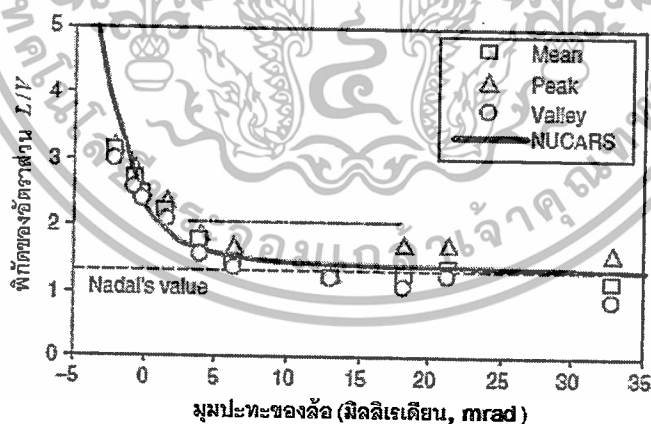
จากสมการถ้ามุมสัมผัสมากที่สุดจะส่งผลให้พิกัดอัตราส่วนของ L/V น้อยสุด ดังนั้นที่มุมสัมผัสและแรงเสียดทานใดๆ ที่เกิดขึ้นระหว่างล้อและราง และส่งผลให้อัตราส่วน L/V เกินค่าพิกัดดังกล่าว การตกเอกสาร์นี้เป็นเอกสารที่สงวนไว้สำหรับการใช้งานเพื่อการศึกษาเท่านั้น ไม่อนุญาตให้นำไปใช้ประโยชน์ด้านการค้าไม่ว่ากรณีใดๆทั้งสิ้น อีกทั้งห้ามมิให้ดัดแปลงเนื้อหา และต้องอ้างอิงถึงเจ้าของเอกสารทุกครั้งที่มีการนำไปใช้

เนื่องจากล้อยานจะเกิดขึ้นซึ่งจากสมการสามารถเขียนกราฟได้ดังรูปที่ 3.15 ซึ่งแสดงให้เห็นว่าที่มุมบังใบล้อยานมากขึ้น ค่าสัมประสิทธิ์แรงเสียดทานที่ลดลงจะส่งผลให้พิกัดอัตราส่วนของ L/V มากขึ้นจะเห็นว่าเป็นความสัมพันธ์เฉพาะมุมล้อยานบังใบล้อยานและสัมประสิทธิ์ความเสียดทานในสองมิติเท่านั้น ส่วนแรงเฉือนตามยาว และมุมปะทะของล้อยานจะไม่ถูกนำมาพิจารณา



รูปที่ 3.15 แสดงพิกัดความปลอดภัยของขนาดล้อยานที่มุมบังใบ ค่าสัมประสิทธิ์ความเสียดทานต่างๆ [11]

จากที่กล่าวมาข้างต้นเพื่ออธิบายผลของมุมปะทะของล้อยานจากรูปที่ 3.8 ที่ส่งผลต่อพิกัดอัตราส่วนของ L/V จากการป็นรางของล้อยาน โดยผลที่ได้เป็นการจำลองจากโปรแกรม NUCARS™ ของ ที่มุมบังใบล้อยาน 75° ในการทดสอบนี้การตกวางจะไม่เกิดขึ้นในกรณีอัตราส่วนของ L/V น้อยกว่าเส้นทึบ ดังรูปต่อไปนี้



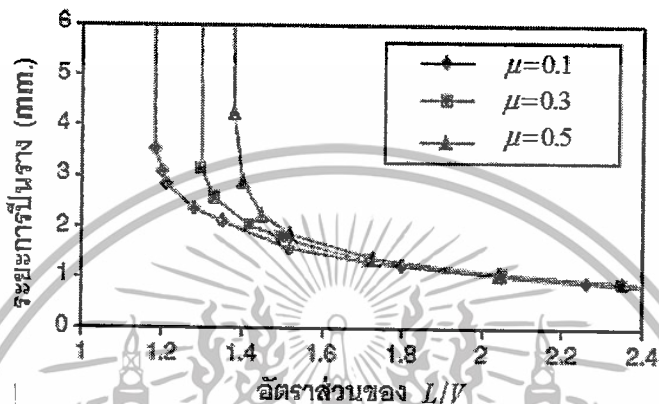
รูปที่ 3.16 แสดงผลของมุมปะทะของล้อยานต่อพิกัดอัตราส่วนของ L/V [2]

จากรูปที่ 3.16 แสดงให้เห็นว่าถ้ามุมปะทะของล้อยานเพิ่มขึ้นถึงประมาณ 10 มิลลิเรเดียน (mrad) ค่าพิกัดอัตราส่วนของ L/V จะสอดคล้องกับพิกัดความปลอดภัยของขนาดล้อยาน แต่สำหรับมุมปะทะของล้อยานที่มีขนาดเล็กและน้อยกว่าศูนย์ พิกัดอัตราส่วนของ L/V จะมีค่ามากกว่าพิกัดความปลอดภัยของขนาดล้อยานโดยสรุปพิกัดความปลอดภัยของขนาดล้อยานจะให้ค่าน้อยกว่าการจำลองในกรณีที่มุมปะทะของล้อยานมีค่าน้อย และจะมีความสอดคล้องเมื่อมุมปะทะของล้อยานมีค่าเพิ่มขึ้น ดังนั้นการตกวางเนื่องจากบังใบล้อยานจะเกิดขึ้นเมื่ออัตราส่วนของ L/V เกินค่าพิกัดที่กำหนด

เอกสารนี้เป็นเอกสารที่สงวนไว้สำหรับการใช้งานเพื่อการศึกษเท่านั้น ไม่อนุญาตให้นำไปใช้ประโยชน์ด้านการค้าไม่ว่ากรณีใดๆทั้งสิ้น อีกทั้งห้ามมิให้ดัดแปลงเนื้อหา และต้องอ้างอิงถึงเจ้าของเอกสารทุกครั้งที่มีการนำไปใช้

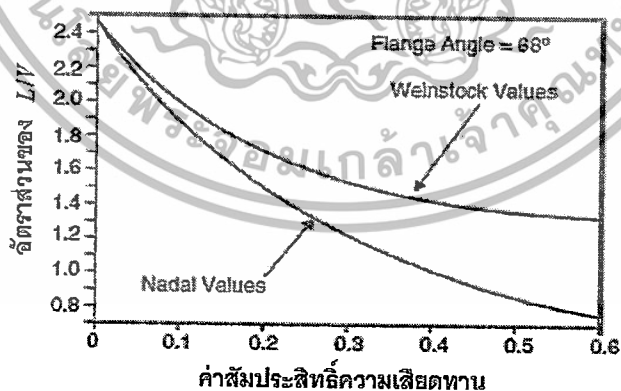
3.2.6.2 พิกัดความปลอดภัยของไวน์สต็อก (Weinstock's safety limit)

ในปี ค.ศ. 1984 ไวน์สต็อก (Weinstock) ได้เสนอพิกัดความปลอดภัยของการตรวงเนื่องจากบังใบล้อปืนรางที่มีค่าพิกัดเพิ่มขึ้น [11] โดยพิจารณาจากการตรวงของชุดล้อ หรือที่ทราบกันในชื่อ “ผลรวมของอัตราส่วน L/V ของชุดล้อ (Axle sum L/V ratio)” เป็นการพิจารณาจากพื้นฐานของสมการนาตาล ซึ่งอัตราส่วนของ L/V จะมีผลจากความเสียหายการสัมผัสที่พื้นล้ออีกด้านของมุมสัมผัสจากความกรวยของพื้นล้อโดยทั่วไปจะมีค่า 0 ถึง 3°



รูปที่ 3.17 แสดงผลของระยะการปืนรางที่พื้นล้อกับอัตราส่วนของ L/V ที่มุมบังใบล้อ 75° [11]

การศึกษาการตรวงเนื่องจากบังใบล้อปืนรางแสดงให้เห็นว่าค่าสัมประสิทธิ์ความเสียหายที่พื้นล้ออีกข้าง (Nonflanging) เพิ่มขึ้นจะส่งผลให้พิกัดอัตราส่วนของ L/V เพิ่มขึ้นตามไปด้วย การตรวงเนื่องจากล้อปืนรางจะไม่เกิดขึ้นเมื่อระดับพิกัดอัตราส่วนของ L/V มีค่าน้อยกว่าเส้นกราฟในแต่ละค่าสัมประสิทธิ์แรงเสียดทานพื้นล้อ



รูปที่ 3.18 แสดงผลเปรียบเทียบพิกัดของนาตาลกับไวน์สต็อก [11]

จากรูปที่ 3.18 เป็นการเปรียบเทียบพิกัดความปลอดภัยของนาตาลและไวน์สต็อก ที่มีค่าสัมประสิทธิ์ความเสียหายต่างๆ จากการสัมผัสกันระหว่างล้อและราง ซึ่งหากค่าสัมประสิทธิ์ของความเสียหายพื้นล้อเป็นศูนย์ พิกัดของไวน์สต็อก จะเข้าสู่พิกัดของนาตาลเนื่องจากไม่มีการปืนรางที่พื้นล้อซึ่งเป็นการปืนรางที่บังใบล้อเดี่ยวนั้นเอง ข้อดีของเกณฑ์ ไวน์สต็อก คือสามารถวัดค่าอัตราส่วนของ L/V ได้ง่ายบนชุดล้อ และส่งผลให้มีความแม่นยำมากกว่าเกณฑ์ของนาตาลที่วัดเพียงล้อเดียวมีโอกาสนำค่าเอกล้อที่มีขนาดต่างกันมาเปรียบเทียบกันไม่ได้เหมือนเกณฑ์ของนาตาลที่วัดเพียงล้อเดียวมีโอกาสนำค่าไม่ว่ากรณีใดๆทั้งสิ้น อีกทั้งห้ามมิให้ดัดแปลงเนื้อหา และต้องอ้างอิงถึงเจ้าของเอกสารทุกครั้งที่มีการนำไปใช้

ผิวดินสูง เช่น ข้อผิวดินที่อาจเกิดจากการไม่สามารถควบคุมการเปลี่ยนแปลงค่าสัมประสิทธิ์ของแรงเสียดทาน

3.2.6.3 พิกัดความปลอดภัยจากการประมาณจากสูตร

พิจารณาระบบพิกัดรวม (Global coordinate system) โดยมีแกน x, y, z เป็นแกนตามแนวยาว แนวด้านข้าง และแนวตั้ง ตามลำดับ ดังแสดงในรูปที่ 3.13 ระบบพิกัดที่ตำแหน่งสัมผัส (Contact coordinate system) ระหว่างล้อและรางรถ x', y', z' โดยระบบนี้แกน z' ตั้งฉากกับระนาบสัมผัส x' เป็นแกนสัมผัสกับวงการกลิ้ง และแกน y' จะขนานกับแกนอีกสองตามเข็มนาฬิกา การศึกษาการสัมผัสระหว่างล้อและรางในสามมิติจะกล่าวถึงแรงปฏิกิริยาของสัมผัสโดยกำหนดให้ H, L และ V เป็นส่วนประกอบของแรงแนวยาว ด้านข้างและแนวตั้งตามลำดับ ซึ่งจะมีความสัมพันธ์กับแรงคืบ ดังนี้

$$\begin{Bmatrix} H \\ L \\ V \end{Bmatrix} = [A]^T \begin{Bmatrix} F_{cx} \\ F_{cy} \\ F_n \end{Bmatrix} \quad (3.9)$$

เมื่อ $[A] = [A_z][A_x][A_y]$ คือ เมทริกซ์การแปลงรูปจากระบบพิกัดรวมไปยังพิกัดจุดสัมผัส

$$[A_z] = \begin{bmatrix} \cos \psi & -\sin \psi & 0 \\ \sin \psi & \cos \psi & 0 \\ 0 & 0 & 1 \end{bmatrix}, [A_x] = \begin{bmatrix} 1 & 0 & 0 \\ 0 & \cos \delta & -\sin \delta \\ 0 & \sin \delta & \cos \delta \end{bmatrix}, [A_y] = \begin{bmatrix} \cos \theta & 0 & \sin \theta \\ 0 & 1 & 0 \\ -\sin \theta & 0 & \cos \theta \end{bmatrix} \quad (3.10)$$

กำหนดให้ v และ v' คือเวกเตอร์ของระบบพิกัดรวม และระบบพิกัดที่จุดสัมผัส ตามลำดับ สามารถเขียนความสัมพันธ์ของเวกเตอร์ทั้งสองระบบได้ดังนี้

$$\{v\} = [A]^T \{v'\} \quad (3.11)$$

แรงปฏิกิริยาที่เกิดขึ้นที่จุดสัมผัสระหว่างล้อและราง ประกอบด้วยสองส่วนประกอบด้วยกัน คือแรงในแนวตั้งฉาก (F_n) โดยมีทิศทางตั้งฉากกับระนาบ z' และแรงในแนวสัมผัส (F_{cx}, F_{cy}) โดยมีทิศทางตามแนว x' และ y' ตามลำดับ ดังนั้นแรงปฏิกิริยาที่จุดสัมผัส (r'_e) สามารถเขียนได้ดังนี้

$$r'_e = F_{cx}x' + F_{cy}y' + F_nz' \quad (3.12)$$

จากความสัมพันธ์ของระบบพิกัดรวม และระบบพิกัดที่จุดสัมผัส สามารถเขียนแรงปฏิกิริยาที่จุดสัมผัสได้ดังนี้

$$r_e = [A]^T r'_e \quad (3.13)$$

เอกสารนี้เป็นเอกสารที่สงวนไว้สำหรับการใช้งานเพื่อการศึกษาเท่านั้น ไม่อนุญาตให้นำไปใช้ประโยชน์ด้านการค้า ไม่ว่าจะกรณีใดๆทั้งสิ้น อีกทั้งห้ามมิให้ตัดแปลงเนื้อหา และต้องอ้างอิงถึงเจ้าของเอกสารทุกครั้งที่มีการนำไปใช้

พิจารณาความสมดุลของล้อยแรงปฏิกริยา (r_e) สามารถเขียนอยู่ในพิกัดรวมของส่วนประกอบตามแนวยาว (H) แนวด้านข้าง (L) และแนวตั้ง (V) ดังนี้

$$r_e = Hx + Ly + Vz \quad (3.14)$$

ดังนั้น สามารถเขียนแสดงส่วนประกอบของแรงตามพิกัดรวมได้ดังนี้

$$\begin{aligned} H &= -F_{\alpha}(\sin \psi \cos \theta) + F_{\gamma}(\cos \psi \sin \theta \sin \delta + \sin \psi \cos \delta) + F_n(\cos \psi \sin \theta \cos \delta - \sin \psi \sin \delta) \\ L &= -F_{\alpha}(\sin \psi \cos \theta) - F_{\gamma}(\cos \psi \cos \delta - \sin \psi \sin \theta \sin \delta) + F_n(\cos \psi \sin \delta + \sin \psi \sin \theta \cos \delta) \\ V &= F_{\alpha}(\sin \theta) + F_{\gamma}(\cos \theta \sin \delta) + F_n(\cos \theta \cos \delta) \end{aligned} \quad (3.15)$$

จากส่วนประกอบของแรงของสมการข้างต้นเพื่อหาพิกัดการทรงทางที่ได้จะไม่ขึ้นเพียงเฉพาะมุมบังใบล้อยสัมพันธ์ (δ) เท่านั้น แต่ยังขึ้นกับมุมปะทะของล้อยของชุดล้อยตามตำแหน่งของจุดสัมพันธ์ด้วย พิจารณามุมการกลิ้ง (θ) มีค่าน้อย ดังนั้นเพื่อแสดงให้เห็นถึงผลการเปลี่ยนแปลงของค่าพิกัดความปลอดภัยการทรงทางของอัตราส่วน L/V อย่างชัดเจน จากสมการที่ (3.15) ส่วนประกอบของแรงในแนวด้านข้าง และแนวตั้ง สามารถเขียนได้ดังนี้

$$L = -F_{\alpha} \sin \psi - F_{\gamma} \cos \psi \cos \delta + F_n \cos \psi \sin \delta \quad (3.16)$$

$$V = -F_{\gamma} \sin \delta + F_n \cos \delta \quad (3.17)$$

จากสมการที่ (3.16) และ (3.17) ดังนั้น อัตราส่วนแรงในแนวด้านข้างต่อแนวตั้ง (L/V) สามารถเขียนความสัมพันธ์ ได้ดังนี้

$$\frac{L}{V} = \frac{\tan \delta \cos \psi - t_y \mu \cos \psi - \frac{t_x \mu \sin \psi}{\cos \delta}}{1 + t_y \mu \tan \delta} \quad (3.18)$$

จากสมการที่ (3.18) แสดงให้เห็นว่า มุมปะทะของล้อยและแรงคืบมีผลต่อแรงลัพท์สัมพันธ์ระหว่างล้อยและราง กำหนดให้ F คือมอดูลัสของแรงสัมพันธ์ทั้งหมด [5] และ t_x, t_y คือค่าสัมประสิทธิ์ของแรงคืบต่อหนึ่งหน่วยในทิศทาง x', y' ตามลำดับซึ่งกำหนดได้ดังนี้

$$t_x = \frac{F_{\alpha}}{F}, \quad t_y = \frac{F_{\gamma}}{F}, \quad \sqrt{t_x^2 + t_y^2} = 1 \quad (3.19)$$

จากสมการที่ (3.18) อัตราส่วนของแนวแรงด้านข้างต่อแนวตั้ง สามารถเขียนโดยอาศัยค่าสัมประสิทธิ์ปรับแก้ (f_y) [5] ได้ดังนี้

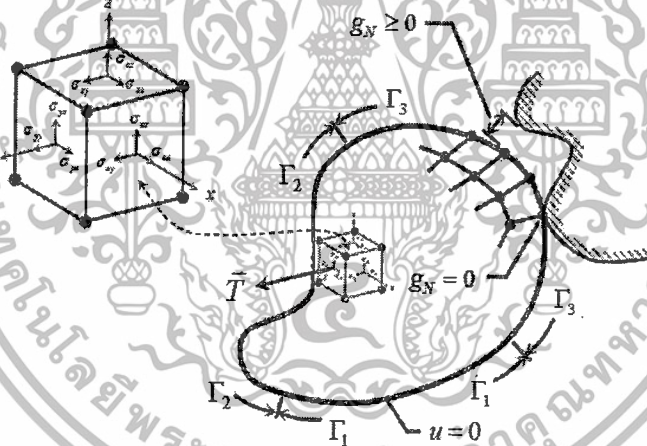
$$\frac{L}{V} = \frac{\tan \delta - f_y \mu}{1 + f_y \mu \tan \delta} \quad (3.20)$$

เอกสารนี้เป็นเอกสารที่สงวนไว้สำหรับกริใช้งานภายในมหาวิทยาลัยเท่านั้น ไม่อนุญาตให้นำไปใช้ประโยชน์ทางการค้าไม่ว่ากรณีใดๆทั้งสิ้น อีกทั้งห้ามมิให้ตัดแปลงเนื้อหา และต้องอ้างอิงถึงเจ้าของเอกสารทุกครั้งที่มีการนำไปใช้

อัตราส่วนแรงในแนวต้านข้างต่อแนวตั้งดังกล่าวจะเป็นพิกัดความปลอดภัยของนาตาลเมื่อเกิดการลื่นไถลสมบูรณ์เกิดขึ้น นั่นคือ มุมปะทะของล้อยเป็นศูนย์ ส่งผลให้แรงเสียดทานในแนวต้านข้างจะอิ่มตัว (Saturated) ตามกฎแรงเสียดทานของคูลอมบ์ ($t_y = 1$) แต่ในทางตรงกันข้ามตามหลักทฤษฎีการคืบเชิงเส้นของคาลเคอร์ (Kalker's linear creep theory) แรงคืบในแนวยาวและแนวต้านข้างจะไม่อิ่มตัวซึ่งจะเป็นรูปแบบของแรงเสียดทานการหมุนกลิ้ง โดยค่าสัมประสิทธิ์ปรับแก้ (f_y) มีค่าอยู่ในช่วง $-1 \leq f_y \leq 1$ ดังที่ได้กล่าวในหัวข้อที่ผ่านมา

3.3 ทฤษฎีพื้นฐานกลศาสตร์ของแข็ง

การวิเคราะห์ปัญหาทางวิศวกรรมส่วนใหญ่ สามารถอธิบายได้ด้วยรูปแบบสมการเชิงอนุพันธ์ (Differential equation) หรือรูปแบบของสมการเชิงปริพันธ์ (Integral equation) ในรูปแบบต่างๆ การสร้างสมการทางคณิตศาสตร์เพื่ออธิบายปัญหาหรือกระบวนการทางกายภาพดังกล่าวจำเป็นต้องมีความรู้ในทฤษฎีพื้นฐานที่เกี่ยวข้องตามสมการทางคณิตศาสตร์ที่ถูกสร้างขึ้นตามแบบจำลองของปัญหา โดยแบบจำลองจะถูกสร้างภายใต้ข้อสมมติซึ่งพิจารณาเฉพาะข้อมูลที่เกี่ยวข้องกับกระบวนการวิเคราะห์เพื่อลดความซับซ้อนของปัญหา



รูปที่ 3.19 แสดงความสัมพันธ์ตำแหน่งใดๆ ในของแข็งและเงื่อนไขขอบเขต

การวิเคราะห์ปัญหาทางด้านกลศาสตร์ของแข็ง ที่มีการยืดหยุ่น ซึ่งพิจารณาวัตถุสามมิติสองก้อนวางสัมผัสกันในระบบพิกัดคาร์ทีเซียน (Cartesian coordinate system) ซึ่งมีเงื่อนไขขอบเขต (Boundary conditions) ดังแสดงในรูปที่ 3.19 สมการควบคุมระบบ (Governing equation) ที่เกี่ยวข้องตามหลักสมมูลประกอบด้วยดังนี้

3.3.1 สมการเงื่อนไขขอบเขต

เงื่อนไขขอบเขตของการวิเคราะห์ปัญหากลศาสตร์ของแข็งที่มีลักษณะที่ไม่เชิงเส้น (Nonlinearity) เนื่องจากมีการเปลี่ยนแปลงการเคลื่อนที่ระหว่างการสัมผัสกัน เช่น การสัมผัสกันของพื้นผิว การสัมผัสกันระหว่างแผ่นวัสดุกับแม่พิมพ์ และการสัมผัสระหว่างล้อและราง เป็นต้น สามารถกำหนดเงื่อนไขดังกล่าวเป็น 3 ขอบเขต [12] ดังแสดงในรูปที่ 3.19 ญาติให้นำไปใช้ประโยชน์ด้านการค้าไม่ว่ากรณีใดๆทั้งสิ้น อีกทั้งห้ามมิให้ตัดแปลงเนื้อหา และต้องอ้างอิงถึงเจ้าของเอกสารทุกครั้งที่มีการนำไปใช้

3.3.1.1. เงื่อนไขขอบเขตการเคลื่อนที่ (displacement boundary conditions) หรือเงื่อนไขของ DIRICHLET ซึ่งแสดงถึงการกำหนดค่าตำแหน่งของการเคลื่อนที่ของขอบเขต Γ_1 ดังนี้

$$u = 0 \quad (3.21)$$

3.3.1.2. เงื่อนไขขอบเขตแรงกระทำที่ผิว \bar{T}_S (Surface traction) หรือเงื่อนไขของ NEUMANN แสดงตามขอบเขต Γ_2 ซึ่งมีสภาวะความเค้น (Stress state) เกิดขึ้น สามารถเขียนในรูปแบบทั่วไป ดังนี้

$$\bar{T}_S = \{\sigma\} \hat{n} \quad (3.22)$$

เมื่อ $\bar{T}_S = T_x \hat{i} + T_y \hat{j} + T_z \hat{k}$ โดย T_x, T_y, T_z แรงที่ผิวในแนวแกน x, y, z ตามลำดับ สามารถเขียนให้อยู่ในรูปแบบของส่วนประกอบความเค้นต่างๆ ได้ดังนี้

$$\begin{Bmatrix} T_x \\ T_y \\ T_z \end{Bmatrix} = \begin{bmatrix} \sigma_x & \tau_{xy} & \tau_{xz} \\ \tau_{xy} & \sigma_y & \tau_{yz} \\ \tau_{xz} & \tau_{yz} & \sigma_z \end{bmatrix} \begin{Bmatrix} n_x \\ n_y \\ n_z \end{Bmatrix} \quad (3.23)$$

เมื่อ n_x, n_y, n_z เป็นทิศทางโคไซน์ (Direction cosines) ของเวกเตอร์ และ $\hat{n} = n_x \hat{i} + n_y \hat{j} + n_z \hat{k}$ เป็นเวกเตอร์ที่ตั้งฉากกับขอบเขต Γ_2 ณ จุดที่กำลังพิจารณา

3.3.1.3. เงื่อนไขขอบเขตการสัมผัส หรือเงื่อนไขของ KUHN – TUCKER เมื่อวัตถุมีการสัมผัสกัน ช่องว่างสัมผัส (Gap contact) จะเป็นศูนย์ และเกิดความเค้นสัมผัส (Contact stress) ตามขอบเขต Γ_3 สามารถเขียนเงื่อนไขการสัมผัสได้ดังนี้

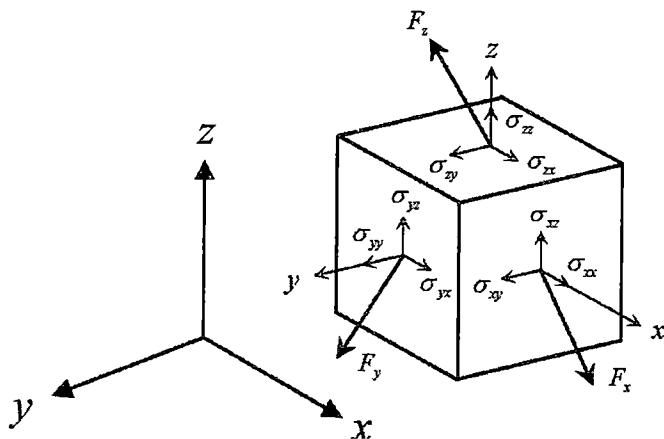
$$g_N \geq 0, \quad p_N \leq 0, \quad g_N p_N = 0 \quad (3.24)$$

โดย g_N คือ ช่องว่างการสัมผัสตั้งฉาก (Normal gap contact) p_N คือ ความเค้นสัมผัสตั้งฉาก ซึ่งเกิดจากส่วนประกอบของแรงตั้งฉากกระทำที่ผิว $p_N = \bar{T}_S \cdot \hat{n}$ ที่ขอบเขต Γ_3 และที่จุดสัมผัสเดียวกันจะมีค่าเท่ากัน

3.3.2 สมการสมดุลเชิงอนุพันธ์

การแก้ปัญหาเชิงอนุพันธ์ของสมการสมดุลของแข็งในสามมิติจะเริ่มต้นจากการพิจารณาความสมดุลของเอลิเมนต์ที่มีปริมาตร dV_e ดังรูปที่ 3.20 ที่มีแรงกระทำบนเอลิเมนต์แสดงดังต่อไปนี้ สามารถเขียนสมการเชิงอนุพันธ์ย่อยของความสมดุลในแนวแกน x, y และ z ของเอลิเมนต์ได้ดังนี้

เอกสารนี้เป็นเอกสารที่สงวนไว้สำหรับการใช้งานเพื่อการศึกษาเท่านั้น ไม่อนุญาตให้นำไปใช้ประโยชน์ด้านการค้าไม่ว่ากรณีใดๆทั้งสิ้น อีกทั้งห้ามมิให้ดัดแปลงเนื้อหา และต้องอ้างอิงถึงเจ้าของเอกสารทุกครั้งที่มีการนำไปใช้



รูปที่ 3.20 แสดงส่วนประกอบความเค้นในสามมิติ

โดย $\sigma_x, \sigma_y, \sigma_z$ แทนส่วนประกอบความเค้นในแนวแกน x, y, z ตามลำดับ $\tau_{xy}, \tau_{xz}, \tau_{yz}$ แทนความเค้นเฉือน และ F_x, F_y, F_z แทนแรงกระทำวัตถุ (Body force) ในแกน x, y, z ตามลำดับ

$$\begin{aligned} \frac{\partial \sigma_x}{\partial x} + \frac{\partial \tau_{xy}}{\partial y} + \frac{\partial \tau_{xz}}{\partial z} + F_x &= 0 \\ \frac{\partial \tau_{xy}}{\partial x} + \frac{\partial \sigma_y}{\partial y} + \frac{\partial \tau_{yz}}{\partial z} + F_y &= 0 \\ \frac{\partial \tau_{xz}}{\partial x} + \frac{\partial \tau_{yz}}{\partial y} + \frac{\partial \sigma_z}{\partial z} + F_z &= 0 \end{aligned} \tag{3.25}$$

ดังนั้นสถานะความเค้น ณ จุดใดๆ เขียนได้ดังนี้

$$\{\sigma\} = \begin{Bmatrix} \sigma_x \\ \sigma_y \\ \sigma_z \\ \tau_{yz} \\ \tau_{xz} \\ \tau_{xy} \end{Bmatrix} \tag{3.26}$$

เมื่อ $\tau_{xy} = \tau_{yx}, \tau_{xz} = \tau_{zx}, \tau_{yz} = \tau_{zy}$ จากความสัมพันธ์ระหว่างความเค้นกับความเครียด เขียนได้ดังนี้

$$\{\sigma\} = [D]\{\epsilon\} \tag{3.27}$$

เมื่อ $[D]$ คือ เมทริกซ์ความสัมพันธ์ของความเค้นกับความเครียด (Stress strain relationship) สามารถหาได้ดังนี้ เอกสารนี้เป็นเอกสารที่สงวนไว้สำหรับการใช้งานเพื่อการศึกษาเท่านั้น ไม่อนุญาตให้นำไปใช้ประโยชน์ด้านการค้า ไม่ว่ากรณีใดๆทั้งสิ้น อีกทั้งห้ามมิให้ดัดแปลงเนื้อหา และต้องอ้างอิงถึงเจ้าของเอกสารทุกครั้งที่มีการนำไปใช้

$$[D] = \frac{E}{(1+\nu)(1-2\nu)} \begin{bmatrix} 1-\nu & 0 & 0 & 0 & 0 & 0 \\ & 1-\nu & 0 & 0 & 0 & 0 \\ & & 1-\nu & 0 & 0 & 0 \\ & & & \left(\frac{1-2\nu}{2}\right) & 0 & 0 \\ & & & & \left(\frac{1-2\nu}{2}\right) & 0 \\ & & & & & \left(\frac{1-2\nu}{2}\right) \end{bmatrix} \quad (3.28)$$

Symmetry

โดยค่าคงที่ทั้งสองของวัสดุ E และ ν มีความสัมพันธ์ดังนี้

$$G = \frac{E}{2(1+\nu)} \quad (3.29)$$

โดย G คือค่ามอดูลัสความเค้นเฉือน และ E คือ มอดูลัสความยืดหยุ่น และ ν คือ อัตราส่วนปัวซองของวัสดุ

3.4 หลักการพื้นฐานของระเบียบวิธีไฟไนต์เอลิเมนต์ (Finite Element Method)

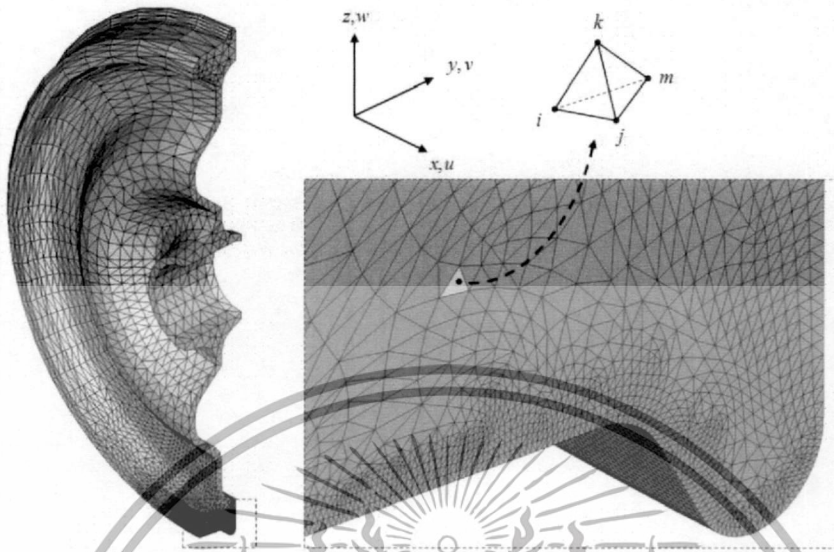
โดยทั่วไปการประดิษฐ์สมการเชิงอนุพันธ์ที่สอดคล้องกับปัญหา สามารถสร้างได้จากความรู้พื้นฐานของทฤษฎีที่เกี่ยวข้อง แต่ผลเฉลยแม่นยำตรง (Exact solution) ที่ต้องการจำเป็นต้องประดิษฐ์ขึ้นด้วยระเบียบวิเคราะห์ (Analytical method) ของการแก้สมการเชิงอนุพันธ์ดังกล่าวจะทำได้โดยลำบากหรือไม่สามารถทำได้เลย ดังนั้นวิธีการหาผลเฉลยโดยประมาณ (Approximate solution) ด้วยระเบียบวิธีไฟไนต์เอลิเมนต์จึงเป็นที่นิยมกันอย่างกว้างขวางในอดีตจนกระทั่งปัจจุบัน ระเบียบวิธีไฟไนต์เอลิเมนต์ เป็นวิธีการคำนวณเชิงตัวเลขชนิดหนึ่งสำหรับแก้สมการเชิงอนุพันธ์ของสมการควบคุมระบบ และใช้เงื่อนไขขอบเขต แก้สมการหาผลเฉลยโดยประมาณ และสามารถใช้กับปัญหาที่มีรูปร่างซับซ้อนได้อย่างดี ดังนั้นผู้ใช้ระเบียบวิธีไฟไนต์เอลิเมนต์จำเป็นต้องมีความรู้ทฤษฎีที่เกี่ยวข้องกับซอฟต์แวร์นั้นจึงจะสามารถใช้ได้ถูกต้องอย่างมั่นใจ สมการไฟไนต์เอลิเมนต์จะถูกประดิษฐ์จากสมการอนุพันธ์ย่อย (Partial differential equation) ที่สอดคล้องกับสถานะความจริงของปัญหา โดยสมการเชิงอนุพันธ์ย่อยเหล่านี้เป็นหัวใจหลักของระเบียบวิธีไฟไนต์เอลิเมนต์

3.4.1 การวิเคราะห์กลศาสตร์ของแข็งด้วยระเบียบวิธีไฟไนต์เอลิเมนต์

การวิเคราะห์กลศาสตร์ของแข็งด้วยระเบียบวิธีไฟไนต์เอลิเมนต์นั้น จะแบ่งโครงสร้างออกเป็นส่วนย่อยๆ ให้มีความเหมาะสมกับลักษณะของรูปร่างของโครงสร้าง ดังรูปที่ 3.21 ฟังก์ชันการกระจัด (Displacement function) ซึ่งเป็นฟังก์ชันต่อเนื่อง จะสามารถหาค่าการกระจัด ความเครียด ความเค้น แรงกระทำที่จุดต่อต่างๆของแต่ละเอลิเมนต์ และแรงสัมผัส (Contact forces) ระหว่างโครงสร้างของปัญหาการสัมผัสกัน ที่มีลักษณะเงื่อนไขขอบเขตเปลี่ยนแปลง (Changing boundary

เอกสารนี้เป็นเอกสารที่สงวนไว้สำหรับการใช้งานเพื่อการศึกษาเท่านั้น ไม่อนุญาตให้นำไปใช้ประโยชน์ด้านการค้า ไม่ว่าจะกรณีใดๆทั้งสิ้น อีกทั้งห้ามมิให้ตัดแปลงเนื้อหา และต้องอ้างอิงถึงเจ้าของเอกสารทุกครั้งที่มีการนำไปใช้

condition) การแก้ปัญหาทางกลศาสตร์ต่อเนื่องด้วยระเบียบวิธีไฟไนต์เอลิเมนต์ โดยใช้โปรแกรมคอมพิวเตอร์ช่วยในการคำนวณมีหลักการทั่วไปตามขั้นตอน ดังต่อไปนี้



รูปที่ 3.21 แสดงแบบจำลองไฟไนต์เอลิเมนต์ออกเป็นสวณย่อยด้วยเอลิเมนต์สามมิติทรงสี่หน้า

ขั้นตอนที่ 1 การแบ่งโครงสร้างเป็นเอลิเมนต์ย่อยและการเลือกชนิดของเอลิเมนต์ การแบ่งโครงสร้างของปัญหาออกเป็นเอลิเมนต์ย่อยหลายชิ้น เรียกว่าเอลิเมนต์ (Element) ซึ่งเชื่อมกันด้วยจุดต่อ (Node) จะต้องคำนึงถึงรูปร่างของชิ้นส่วนให้มีลักษณะสอดคล้องกับรูปร่างเดิมให้มากที่สุด เพื่อผลของคำตอบที่มีค่าความผิดพลาดอยู่ในเกณฑ์ที่ยอมรับได้ โดยแบ่งเอลิเมนต์ออกเป็นส่วนใหญ่ๆ ก่อนแล้วค่อยแบ่งย่อยเพื่อความเป็นระเบียบของเอลิเมนต์ ควรคำนึงถึงบริเวณที่สนใจ เช่น เจ็อนไขขอบเขตของการสัมผัสกันควรแบ่งเอลิเมนต์ให้มีขนาดเล็ก ส่วนบริเวณถัดออกไปควรมีขนาดใหญ่ขึ้นเพื่อลดเวลาการคำนวณ งานวิจัยในครั้งนี้กำหนดเป็นปัญหาระบบสามมิติ และเลือกใช้เอลิเมนต์แบบทรงสี่หน้า (Four-node tetrahedral element) โดยแต่ละจุดต่อมีองศาความอิสระ (Degree of freedom) เป็น 3 ดังนั้นในหนึ่งเอลิเมนต์จึงมีองศาความอิสระทั้งหมดเท่ากับ 12 องศาความอิสระ การวิเคราะห์ปัญหาด้านกลศาสตร์ของแข็งด้วยระเบียบวิธีไฟไนต์เอลิเมนต์ ตัวแปรพื้นฐานของการประเมินค่าความแข็ง (Stiffness approach) คือ การกระจัดของจุดต่อ กำหนดให้ $\{d\}$ แทนค่าการกระจัดจุดต่อไม่ทราบค่า (Nodal unknowns) โดยที่ u, v และ w คือการกระจัดตามแนว x, y และ z ตามลำดับ ที่จุดต่อใดๆดังนี้

$$\{d\} = \begin{Bmatrix} d_i \\ d_j \\ d_k \\ d_m \end{Bmatrix} = \begin{Bmatrix} u_i \\ v_i \\ w_i \\ \vdots \\ u_m \\ v_m \\ w_m \end{Bmatrix} \quad (3.30)$$

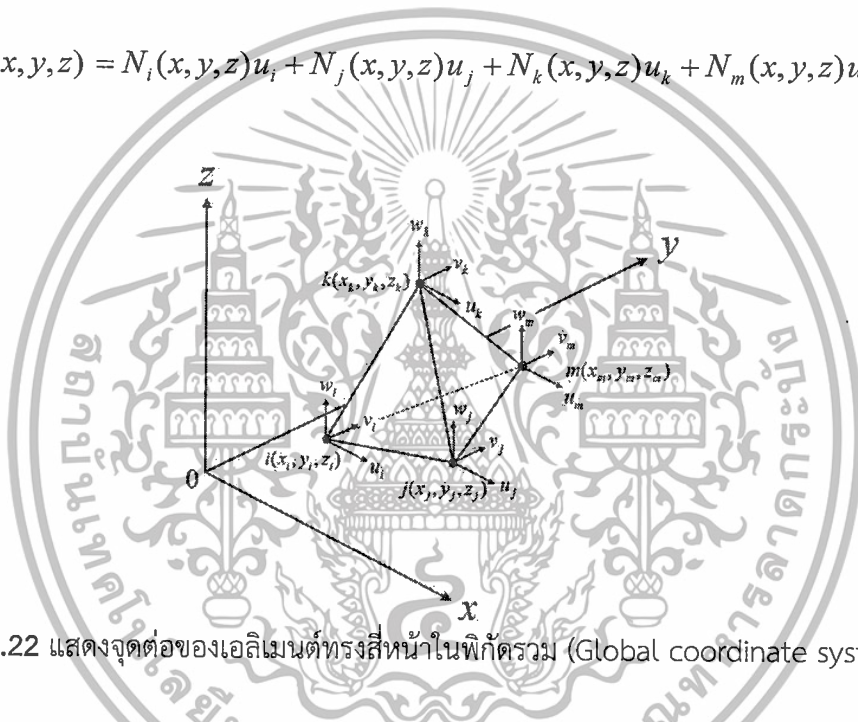
เอกสารนี้เป็นเอกสารที่สงวนไว้สำหรับการใช้งานเพื่อการศึกษาเท่านั้น ไม่อนุญาตให้นำไปใช้ประโยชน์ด้านการค้า ไม่ว่าจะกรณีใดๆทั้งสิ้น อีกทั้งห้ามมิให้ตัดแปลงเนื้อหา และต้องอ้างอิงถึงเจ้าของเอกสารทุกครั้งที่มีการนำไปใช้

ขั้นตอนที่ 2 การเลือกฟังก์ชันประมาณภายในเอลิเมนต์ (Element Interpolation Functions) เป็นขั้นตอนการกำหนดเลือกฟังก์ชันทางคณิตศาสตร์เพื่อนำมาอธิบายการเสีรูปร่างของเอลิเมนต์ นั่นคือการกระจัดจุดต่อของเอลิเมนต์ที่กล่าวในขั้นตอนที่ 1 โดยส่วนใหญ่เป็นฟังก์ชันโพลิโนเมียล (Polynomials function) ดังนั้นรูปแบบทั่วไปของส่วนประกอบการกระจัด u ในแนวแกน x เขียนได้ดังนี้

$$u = a_1 + a_2x + a_3y + a_4z \quad (3.31)$$

พิจารณาเอลิเมนต์สามมิติทรงสี่หน้าดังรูปที่ 3.22 ฟังก์ชันการกระจัดสำหรับแนวแกน x สามารถเขียนได้ดังนี้

$$u(x, y, z) = N_i(x, y, z)u_i + N_j(x, y, z)u_j + N_k(x, y, z)u_k + N_m(x, y, z)u_m \quad (3.32)$$



รูปที่ 3.22 แสดงจุดต่อของเอลิเมนต์ทรงสี่หน้าในพิกัดรวม (Global coordinate system)

เมื่อ u_i, u_j, u_k , และ u_m เป็นส่วนประกอบการกระจัดจุดต่อในแนวแกน x และ N_i, N_j, N_k และ N_m คือสี่ฟังก์ชันรูปร่าง (Four Shape Function) โดยการวิเคราะห์ปัญหาด้วยวิธีไอโซพาราเมตริกซ์ (Isoparametric) [13] ที่จุดต่อใดๆ ฟังก์ชันรูปร่างมีค่าเท่ากับหนึ่ง และที่จุดต่ออื่นๆ มีค่าเท่ากับศูนย์ สามารถเขียนความสัมพันธ์ดังกล่าว ได้ดังนี้

$$\begin{aligned} N_i(x_i, y_i, z_i) &= 1 & N_j(x_i, y_i, z_i) &= 0 & N_k(x_i, y_i, z_i) &= 0 & N_m(x_i, y_i, z_i) &= 0 \\ N_i(x_j, y_j, z_j) &= 0 & N_j(x_j, y_j, z_j) &= 1 & N_k(x_j, y_j, z_j) &= 0 & N_m(x_j, y_j, z_j) &= 0 \\ N_i(x_k, y_k, z_k) &= 0 & N_j(x_k, y_k, z_k) &= 0 & N_k(x_k, y_k, z_k) &= 1 & N_m(x_k, y_k, z_k) &= 0 \\ N_i(x_m, y_m, z_m) &= 0 & N_j(x_m, y_m, z_m) &= 0 & N_k(x_m, y_m, z_m) &= 0 & N_m(x_m, y_m, z_m) &= 1 \end{aligned} \quad (3.33)$$

ในทำนองเดียวกันฟังก์ชันการกระจัดสำหรับแนวแกน y และ z สามารถเขียนได้ดังนี้

เอกสารนี้เป็นเอกสารที่สงวนไว้สำหรับ $v = a_5 + a_6x + a_7y + a_8z$ นั้น ไม่อนุญาตให้นำไปใช้ประโยชน์ (3.34) การค้า
ไม่ว่ากรณีใดๆทั้งสิ้น อีกทั้งห้ามมิให้ตัดแปลงเนื้อหา และต้องอ้างอิงถึงเจ้าของเอกสารทุกครั้งที่มีการนำไปใช้

$$w = a_0 + a_{10}x + a_{11}y + a_{12}z \quad (3.35)$$

ดังนั้น

$$v(x, y, z) = N_i(x, y, z)u_i + N_j(x, y, z)u_j + N_k(x, y, z)u_k + N_m(x, y, z)u_m \quad (3.36)$$

และ

$$w(x, y, z) = N_i(x, y, z)u_i + N_j(x, y, z)u_j + N_k(x, y, z)u_k + N_m(x, y, z)u_m \quad (3.37)$$

เมื่อ v_i, v_j, v_k , และ v_m เป็นส่วนประกอบการกระจัดจุดต่อในแนวแกน y และ w_i, w_j, w_k , และ w_m เป็นส่วนประกอบการกระจัดจุดต่อในแนวแกน z จากฟังก์ชันการกระจัดของสมการที่ (3.32) (3.36) และ (3.37) สามารถเขียนให้อยู่ในรูปเมทริกซ์ฟังก์ชันรูปร่าง และการกระจัดจุดต่อไม่ทราบค่า (Unknown nodal displacements) ของสมการที่ (3.30) ได้ดังนี้

$$\begin{Bmatrix} u(x, y, z) \\ v(x, y, z) \\ w(x, y, z) \end{Bmatrix} = \begin{bmatrix} N_i & 0 & 0 & N_j & 0 & 0 & N_k & 0 & 0 & N_m & 0 & 0 \\ 0 & N_i & 0 & 0 & N_j & 0 & 0 & N_k & 0 & 0 & N_m & 0 \\ 0 & 0 & N_i & 0 & 0 & N_j & 0 & 0 & N_k & 0 & 0 & N_m \end{bmatrix} \begin{Bmatrix} u_i \\ v_i \\ w_i \\ \vdots \\ u_m \\ v_m \\ w_m \end{Bmatrix} \quad (3.38)$$

เมื่อ N_i, N_j, N_k และ N_m คือฟังก์ชันรูปร่าง โดยสามารถหาตามความสัมพันธ์ตามระบบพิกัดรวม เขียนฟังก์ชันพารามิเตอร์ให้อยู่ในรูปทั่วไปได้ดังนี้

$$\phi = c_1 + c_2x + c_3y + c_4z \quad (3.39)$$

เมื่อ $x = x_i, y = y_i$ และ $z = z_i$ ดังนั้น ฟังก์ชันพารามิเตอร์ $\phi = \phi_i$

$$\phi_i = c_1 + c_2x_i + c_3y_i + c_4z_i \quad (3.40)$$

$$\phi_j = c_1 + c_2x_j + c_3y_j + c_4z_j \quad (3.41)$$

$$\phi_k = c_1 + c_2x_k + c_3y_k + c_4z_k \quad (3.42)$$

$$\phi_m = c_1 + c_2x_m + c_3y_m + c_4z_m \quad (3.43)$$

เอกสารนี้เป็นเอกสารที่สงวนไว้สำหรับการใช้งานเพื่อการศึกษาเท่านั้น ไม่อนุญาตให้นำไปใช้ประโยชน์ด้านการค้า ไม่ว่าจะกรณีใดๆทั้งสิ้น อีกทั้งห้ามมิให้ดัดแปลงเนื้อหา และต้องอ้างอิงถึงเจ้าของเอกสารทุกครั้งที่มีการนำไปใช้

จากสมการที่ (3.40) – (3.43) สามารถเขียนให้อยู่ในรูปเมทริกซ์ ดังนี้

$$\begin{bmatrix} \phi_i \\ \phi_j \\ \phi_k \\ \phi_m \end{bmatrix} = \begin{bmatrix} 1 & x_i & y_i & z_i \\ 1 & x_j & y_j & z_j \\ 1 & x_k & y_k & z_k \\ 1 & x_m & y_m & z_m \end{bmatrix} \begin{bmatrix} c_1 \\ c_2 \\ c_3 \\ c_4 \end{bmatrix} \quad (3.44)$$

หาเวกเตอร์ค่าคงที่ และแทนค่ากลับในสมการที่ (3.24) จะได้

$$\phi = [1 \quad x \quad y \quad z] \begin{bmatrix} 1 & x_i & y_i & z_i \\ 1 & x_j & y_j & z_j \\ 1 & x_k & y_k & z_k \\ 1 & x_m & y_m & z_m \end{bmatrix}^{-1} \begin{bmatrix} \phi_i \\ \phi_j \\ \phi_k \\ \phi_m \end{bmatrix} \quad (3.45)$$

สามารถจัดฟอร์ม ได้ดังนี้

$$\phi = N_i(x, y, z)\phi_i + N_j(x, y, z)\phi_j + N_k(x, y, z)\phi_k + N_m(x, y, z)\phi_m \quad (3.46)$$

ดังนั้น ฟังก์ชันรูปร่าง คือ

$$N_i(x, y, z) = \frac{1}{6V_e} (\alpha_i + \beta_i x + \gamma_i y + \delta_i z) \quad (3.47)$$

$$N_j(x, y, z) = \frac{1}{6V_e} (\alpha_j + \beta_j x + \gamma_j y + \delta_j z) \quad (3.48)$$

$$N_k(x, y, z) = \frac{1}{6V_e} (\alpha_k + \beta_k x + \gamma_k y + \delta_k z) \quad (3.49)$$

$$N_m(x, y, z) = \frac{1}{6V_e} (\alpha_m + \beta_m x + \gamma_m y + \delta_m z) \quad (3.50)$$

เมื่อ V_e คือปริมาตรของเอลิเมนต์แบบทรงสี่หน้า และหาจากค่าดีเทอร์มิแนนต์ดังนี้

$$V_e = \frac{1}{6} \begin{vmatrix} 1 & x_i & y_i & z_i \\ 1 & x_j & y_j & z_j \\ 1 & x_k & y_k & z_k \\ 1 & x_m & y_m & z_m \end{vmatrix} \quad (3.51)$$

เอกสารนี้เป็นเอกสารที่สงวนไว้สำหรับการใช้งานเพื่อการศึกษาเท่านั้น ไม่อนุญาตให้นำไปใช้ประโยชน์ด้านการค้า ไม่ว่าจะกรณีใดๆทั้งสิ้น อีกทั้งห้ามมิให้ตัดแปลงเนื้อหา และต้องอ้างอิงถึงเจ้าของเอกสารทุกครั้งที่มีการนำไปใช้

ค่าสัมประสิทธิ์ฟังก์ชันรูปร่าง α_i , β_i , γ_i และ δ_i ของสมการ (3.47) – (3.50) เขียนโดยวิธีการวนสลับเปลี่ยนตัวเลข (Cyclic permutation) ได้ดังนี้

$$\begin{aligned} \alpha_i &= \begin{vmatrix} x_j & y_j & z_j \\ x_k & y_k & z_k \\ x_m & y_m & z_m \end{vmatrix}, & \beta_i &= - \begin{vmatrix} 1 & y_j & z_j \\ 1 & y_k & z_k \\ 1 & y_m & z_m \end{vmatrix} \\ \gamma_i &= \begin{vmatrix} 1 & x_j & z_j \\ 1 & x_k & z_k \\ 1 & x_m & z_m \end{vmatrix}, & \delta_i &= - \begin{vmatrix} 1 & x_j & z_j \\ 1 & x_k & z_k \\ 1 & x_m & z_m \end{vmatrix} \end{aligned} \quad (3.52)$$

และ

$$\begin{aligned} \alpha_j &= \begin{vmatrix} x_i & y_i & z_i \\ x_k & y_k & z_k \\ x_m & y_m & z_m \end{vmatrix}, & \beta_j &= - \begin{vmatrix} 1 & y_i & z_i \\ 1 & y_k & z_k \\ 1 & y_m & z_m \end{vmatrix} \\ \gamma_j &= \begin{vmatrix} 1 & x_i & z_i \\ 1 & x_k & z_k \\ 1 & x_m & z_m \end{vmatrix}, & \delta_j &= - \begin{vmatrix} 1 & x_i & z_i \\ 1 & x_k & z_k \\ 1 & x_m & z_m \end{vmatrix} \end{aligned} \quad (3.53)$$

และ

$$\begin{aligned} \alpha_k &= \begin{vmatrix} x_i & y_i & z_i \\ x_j & y_j & z_j \\ x_m & y_m & z_m \end{vmatrix}, & \beta_k &= - \begin{vmatrix} 1 & y_i & z_i \\ 1 & y_j & z_j \\ 1 & y_m & z_m \end{vmatrix} \\ \gamma_k &= \begin{vmatrix} 1 & x_i & z_i \\ 1 & x_j & z_j \\ 1 & x_m & z_m \end{vmatrix}, & \delta_k &= - \begin{vmatrix} 1 & x_i & z_i \\ 1 & x_j & z_j \\ 1 & x_m & z_m \end{vmatrix} \end{aligned} \quad (3.54)$$

และ

$$\begin{aligned} \alpha_m &= \begin{vmatrix} x_i & y_i & z_i \\ x_j & y_j & z_j \\ x_k & y_k & z_k \end{vmatrix}, & \beta_m &= - \begin{vmatrix} 1 & y_i & z_i \\ 1 & y_j & z_j \\ 1 & y_k & z_k \end{vmatrix} \\ \gamma_m &= \begin{vmatrix} 1 & x_i & z_i \\ 1 & x_j & z_j \\ 1 & x_k & z_k \end{vmatrix}, & \delta_m &= - \begin{vmatrix} 1 & x_i & z_i \\ 1 & x_j & z_j \\ 1 & x_k & z_k \end{vmatrix} \end{aligned} \quad (3.55)$$

เอกสารนี้เป็นเอกสารที่สงวนไว้สำหรับการใช้งานเพื่อการศึกษาเท่านั้น ไม่อนุญาตให้นำไปใช้ประโยชน์ด้านการค้าไม่ว่ากรณีใดๆทั้งสิ้น อีกทั้งห้ามมิให้ดัดแปลงเนื้อหา และต้องอ้างอิงถึงเจ้าของเอกสารทุกครั้งที่มีการนำไปใช้

ขั้นตอนที่ 3 การกำหนดความสัมพันธ์ระหว่างความเครียดกับการกระจัด และความเค้นกับความเครียด การพิจารณาความเครียดของเอลิเมนต์สามมิติของระบบพิกัดคาร์ทีเซียน กำหนดได้ดังนี้

$$\{\varepsilon\} = \begin{Bmatrix} \varepsilon_x \\ \varepsilon_y \\ \varepsilon_z \\ \gamma_{xy} \\ \gamma_{yz} \\ \gamma_{zx} \end{Bmatrix} = \begin{Bmatrix} \frac{\partial u}{\partial x} \\ \frac{\partial v}{\partial y} \\ \frac{\partial w}{\partial z} \\ \frac{\partial u}{\partial y} + \frac{\partial v}{\partial x} \\ \frac{\partial v}{\partial z} + \frac{\partial w}{\partial y} \\ \frac{\partial w}{\partial x} + \frac{\partial u}{\partial z} \end{Bmatrix} \quad (3.56)$$

จากสมการที่ (3.56) สามารถเขียนให้อยู่ในความสัมพันธ์ของฟังก์ชันรูปร่าง ได้ดังนี้

$$\{\varepsilon\} = [B]\{d\} \quad (3.57)$$

เมื่อ

$$[B] = [B_1 \ B_2 \ B_3 \ B_4] \quad (3.58)$$

และ เมทริกซ์ย่อย (Submatrix) B ในความสัมพันธ์ของฟังก์ชันรูปร่าง กำหนดได้ดังนี้

$$B_i = \begin{bmatrix} N_{i,x} & 0 & 0 \\ 0 & N_{i,y} & 0 \\ 0 & 0 & N_{i,z} \\ N_{i,y} & N_{i,x} & 0 \\ 0 & N_{i,y} & N_{i,x} \\ N_{i,z} & 0 & N_{i,x} \end{bmatrix}, \quad B_j = \begin{bmatrix} N_{j,x} & 0 & 0 \\ 0 & N_{j,y} & 0 \\ 0 & 0 & N_{j,z} \\ N_{j,y} & N_{j,x} & 0 \\ 0 & N_{j,y} & N_{j,y} \\ N_{j,z} & 0 & N_{j,x} \end{bmatrix} \quad (3.59)$$

$$B_k = \begin{bmatrix} N_{k,x} & 0 & 0 \\ 0 & N_{k,y} & 0 \\ 0 & 0 & N_{k,z} \\ N_{k,y} & N_{k,x} & 0 \\ 0 & N_{k,y} & N_{k,y} \\ N_{k,z} & 0 & N_{k,x} \end{bmatrix}, \quad B_m = \begin{bmatrix} N_{m,x} & 0 & 0 \\ 0 & N_{m,y} & 0 \\ 0 & 0 & N_{m,z} \\ N_{m,y} & N_{m,x} & 0 \\ 0 & N_{m,y} & N_{m,y} \\ N_{m,z} & 0 & N_{m,x} \end{bmatrix} \quad (3.60)$$

เอกสารนี้เป็นเอกสารที่สงวนไว้สำหรับการใช้งานเพื่อการศึกษาเท่านั้น ไม่อนุญาตให้นำไปใช้ประโยชน์ด้านการค้า ไม่ว่ากรณีใดๆทั้งสิ้น อีกทั้งห้ามมิให้ตัดแปลงเนื้อหา และต้องอ้างอิงถึงเจ้าของเอกสารทุกครั้งที่มีการนำไปใช้

แทนค่าฟังก์ชันรูปร่างจากสมการที่ (3.47) – (3.50) ในสมการที่ (3.59) – (3.60) ดังนั้น เมทริกซ์ย่อย B เขียนได้ ดังนี้

$$\underline{B}_i = \frac{1}{6V_e} \begin{bmatrix} \beta_i & 0 & 0 \\ 0 & \gamma_i & 0 \\ 0 & 0 & \delta_i \\ \gamma_i & \beta_i & 0 \\ 0 & \delta_i & \gamma_i \\ \delta_i & 0 & \beta_i \end{bmatrix}, \quad \underline{B}_j = \frac{1}{6V_e} \begin{bmatrix} \beta_j & 0 & 0 \\ 0 & \gamma_j & 0 \\ 0 & 0 & \delta_j \\ \gamma_j & \beta_j & 0 \\ 0 & \delta_j & \gamma_j \\ \delta_j & 0 & \beta_j \end{bmatrix} \quad (3.61)$$

$$\underline{B}_k = \frac{1}{6V_e} \begin{bmatrix} \beta_k & 0 & 0 \\ 0 & \gamma_k & 0 \\ 0 & 0 & \delta_k \\ \gamma_k & \beta_k & 0 \\ 0 & \delta_k & \gamma_k \\ \delta_k & 0 & \beta_k \end{bmatrix}, \quad \underline{B}_m = \frac{1}{6V_e} \begin{bmatrix} \beta_m & 0 & 0 \\ 0 & \gamma_m & 0 \\ 0 & 0 & \delta_m \\ \gamma_m & \beta_m & 0 \\ 0 & \delta_m & \gamma_m \\ \delta_m & 0 & \beta_m \end{bmatrix} \quad (3.62)$$

เมื่อ α , β , γ และ δ หาจากสมการที่ (3.52) – (3.55) จากความสัมพันธ์ระหว่างความเค้นกับความเครียดของสมการที่ (3.27) แทนค่าความเครียดจากสมการที่ (3.57) ดังนั้นความสัมพันธ์ระหว่างความเค้นกับความเครียดของเอลิเมนต์ดังนี้

$$\{\sigma\} = [D]\{\varepsilon\} = [D][B]\{d\} \quad (3.63)$$

ขั้นตอนที่ 4 การหาสทิงเฟนสมเมทริกซ์ เวกเตอร์แรง และสมการของเอลิเมนต์ เพื่อสร้างสมการควบคุมในแต่ละเอลิเมนต์ โดยอาศัยหลักการของพลังงานศักย์ต่ำสุด กล่าวคือ “ถ้าการกระจัดของระบบสอดคล้องกับเงื่อนไขการต่อเนื่อง (Continuity) เงื่อนไขขอบเขต ของระบบ และระบบอยู่ในสภาวะสมดุล (Stable equilibrium) พลังงานศักย์ที่เกิดขึ้นจะมีค่าน้อยที่สุด” จากหลักการดังกล่าว พิจารณาความสมดุลของเอลิเมนต์ที่มีปริมาตร dV_e ค่าพลังงานศักย์รวมสำหรับวัตถุยึดหยุ่นประกอบด้วย พลังงานศักย์ความเครียดภายในเนื้อวัสดุ (Internal strain energy) และพลังงานศักย์จากแรงภายนอกที่กระทำกับวัตถุ (External potential energy of loading) สามารถเขียนแสดงความสัมพันธ์ได้ดังนี้

$$\begin{aligned} \Pi &= \text{Internal strain energy} + \text{External potential energy of loading} \\ &= (U) + (\Omega_b + \Omega_p + \Omega_s) \end{aligned} \quad (3.64)$$

เมื่อ U คือ พลังงานศักย์ความเครียดภายในเนื้อวัสดุ กำหนดได้ดังนี้

$$U = -\frac{1}{2} \iiint_V \{\varepsilon\}^T \{\sigma\} dV_e \quad (3.65)$$

เอกสารนี้เป็นเอกสารที่สงวนไว้สำหรับกรใช้งานเพื่อการศึกษาเท่านั้น ไม่อนุญาตให้นำไปใช้ประโยชน์ด้านการค้าไม่ว่ากรณีใดๆทั้งสิ้น อีกทั้งห้ามมิให้ตัดแปลงเนื้อหา และต้องอ้างอิงถึงเจ้าของเอกสารทุกครั้งที่มีการนำไปใช้

โดยที่ $\{\varepsilon\}$ คือ เมทริกซ์ความเครียด และ $\{\sigma\}$ คือ เมทริกซ์ความเค้น
 Ω_b คือ พลังงานศักย์ของแรงต่อหนึ่งหน่วยปริมาตรที่กระทำวัตถุ (Body force)

$$\Omega_b = - \iiint_{V_e} \{\varphi\}^T [\rho] dV_e \quad (3.66)$$

โดยที่ $\{\varphi\}$ คือ ฟังก์ชันการกระจัด และ $\{\rho\}$ คือ เมทริกซ์ความหนาแน่นจำเพาะของวัตถุ
 Ω_p คือ พลังงานศักย์ของแรงกระทำเป็นจุด (Concentrated force)

$$\Omega_p = -\{d\}^T \{P\} \quad (3.67)$$

โดยที่ $\{d\}$ คือ การกระจัดที่จุดต่อของเอลิเมนต์ และ $\{P\}$ แรงภายนอกที่กระทำที่จุดต่อ
 Ω_s คือ พลังงานศักย์ของแรงกระทำที่พื้นผิว (Surface tractions)

$$\Omega_s = - \iint_S \{\varphi\}^T [T_s] ds \quad (3.68)$$

โดยที่ $\{\varphi\}$ คือ ฟังก์ชันการกระจัด และ $\{T_s\}$ คือ แรงกระทำที่ผิว จากความสัมพันธ์ในสมการที่ (3.63) และหลักการของพลังงานศักย์รวมต่ำสุด ดังนั้นสมการที่ (3.64) เขียนใหม่ได้ดังนี้

$$\begin{aligned} \Pi = & \frac{1}{2} \{d\}^T \iiint_{V_e} [B]^T [D] [B] dV_e \{d\} - \{d\}^T \iiint_{V_e} [N]^T [\rho] dV_e \\ & - \{d\}^T \{P\} - \{d\}^T \iint_S [N]^T \{T\} ds \end{aligned} \quad (3.69)$$

เมื่อสามพจน์สุดท้ายคือพลังที่เกิดจากแรงภายนอกคูณด้วยการกระจัด ดังนั้นพลังงานศักย์รวม เขียนใหม่ได้ดังนี้

$$\Pi = \frac{1}{2} \{d\}^T \iiint_{V_e} [B]^T [D] [B] dV_e \{d\} - \{d\}^T \{f\} \quad (3.70)$$

เมื่อ $\{f\}$ คือแรงภายนอกทั้งหมด

$$\{f\} = \iiint_{V_e} [N]^T [\rho] dV_e - \{P\} - \iint_S [N]^T \{T\} ds \quad (3.71)$$

การหาพลังงานศักย์ต่ำสุด สามารถกำหนดได้โดย $\partial\Pi/\partial\{d\}=0$ นั่นคือ

เอกสารนี้เป็นเอกสารที่สงวนไว้สำหรับการใช้งานเพื่อการศึกษาเท่านั้น ไม่อนุญาตให้นำไปใช้ประโยชน์ด้านการค้า
 ไม่ว่ากรณีใดๆทั้งสิ้น อีกทั้งห้ามมิให้ตัดแปลงเนื้อหา และต้องอ้างอิงถึงเจ้าของเอกสารทุกครั้งที่มีการนำไปใช้

$$\frac{\partial \Pi}{\partial \{d\}} = \left[\iiint_{V_e} [B]^T [D] [B] dV_e \right] \{d\} - \{f\} = 0 \quad (3.72)$$

จัดความสัมพันธ์ใหม่ ดังนี้

$$\left[\iiint_{V_e} [B]^T [D] [B] dV_e \right] \{d\} = \{f\} \quad (3.73)$$

ขั้นตอนที่ 5 การนำสมการที่เขียนขึ้นได้จากทุกๆ เอลิเมนต์จากขั้นตอนดังกล่าวมาประกอบรวมกันด้วยวิธีซ้อนทับ (Superposition method) หรือเรียกว่าวิธีสทิฟเนสโดยตรง (Direct stiffness method) โดยอาศัยหลักของการสมดุลแรงที่จุดต่อเอลิเมนต์ และการต่อเนื่อง (Continuity) ของโครงสร้างก่อให้เกิดระบบสมการขนาดใหญ่ ดังนั้นสมการที่ (3.73) สามารถเขียนอยู่ในรูปทั่วไปได้ดังนี้

$$[K] \{d\} = \{f\} \quad (3.74)$$

เนื่องจากเมทริกซ์ $[K]$ เป็นเมทริกซ์เอกฐาน (Singular matrix) ทั้งนี้เพราะตัวกำหนด (Determinant) เท่ากับศูนย์ จึงไม่สามารถหาค่าการกระจัดของระบบ $\{d\}$ โดยตรงจากสมการที่ (3.74) ได้ จึงจำเป็นต้องประยุกต์เงื่อนไขขอบเขต หรือเงื่อนไขบังคับ (Constraints) หรือจุดรองรับ (Support) เพื่อช่วยทำให้ เมทริกซ์ $[K]$ ไม่เป็นเมทริกซ์เอกฐาน และสามารถหาค่าการกระจัดที่จุดต่อ

ขั้นตอนที่ 6 การคำนวณค่าที่ต่อเนื่องอื่นๆ หลังจากคำนวณค่าการเคลื่อนตัวของการเสียรูปในของแข็งที่จุดต่อจากขั้นตอนที่ผ่านมาออกมาได้ก็สามารถคำนวณหาค่าความเครียด ความเค้น รวมถึงแรงที่เกิดขึ้นได้ ซึ่งค่าต่างๆเหล่านี้สามารถคำนวณหาได้โดยอาศัยทฤษฎีพื้นฐานความรู้ทางด้านกลศาสตร์ของแข็ง ดังที่ได้กล่าวในหัวข้อที่ผ่านมา

3.4.2 การวิเคราะห์แบบวิธีปริยายสถิตย์ (Static implicit method) ด้วยโปรแกรม Ls-Dyna 971

สำหรับปัญหาโดยทั่วไปของวัตถุภายใต้สภาวะสถิตย์เสมือนจะส่งผลก่อให้เกิดแรงและความเค้นภายในวัตถุเปลี่ยนแปลงไปตามตามช่วงเวลา (Time step) การเคลื่อนที่หรือเปลี่ยนแปลงของวัตถุตามสภาวะดังกล่าวจะอธิบายด้วยวิธีการปรับเวลา (Time integration) จากโปรแกรม Ls-Dyna 971 ซึ่งมีหลายวิธีที่นำมาใช้ในการคำนวณ เช่น วิธีแบบชัดแจ้ง (Explicit method) วิธีแบบปริยาย (Implicit method) วิธีแบบโหมดซ้อนทับ (Mode superposition method) และวิธีขั้นตอนเดียว (One step method) ซึ่งไม่มีวิธีไหนที่สมบูรณ์แบบ ขึ้นอยู่กับลักษณะของปัญหา สำหรับงานวิจัยนี้จะนำวิธีแบบปริยายมาใช้ในการคำนวณซึ่งเป็นระเบียบวิธีการหาผลตอบสนองแบบชั่วคราวของการเคลื่อนที่วิธีหนึ่งที่นิยมใช้กันอย่างแพร่หลาย เนื่องจากเป็นระเบียบวิธีที่ไม่ก่อให้เกิดผลลัพธ์แบบลู่ออก (Diverged solution) ระเบียบวิธีนี้พิจารณาค่าต่างๆที่ช่วงเวลาปัจจุบัน t และช่วงเวลาลัดไป $t + \Delta t$ เท่านั้น การตัดสินใจเลือกใช้ช่วงเวลานั้นมีความสำคัญมาก การใช้ช่วงเวลาที่สูงมากเกินไปจะทำให้ผลลัพธ์ที่ได้ไม่เที่ยงตรง เนื่องจากกระบวนการนี้เป็นกระบวนการทำซ้ำซึ่งผลลัพธ์ที่เวลาใหม่ถูกเอกสารนี้เป็นเอกสารที่สงวนไว้สำหรับการใช้งานเพื่อการศึกษาเท่านั้น ไม่อนุญาตให้นำไปใช้ประโยชน์ด้านการค้าไม่ว่ากรณีใดๆทั้งสิ้น อีกทั้งห้ามมิให้ดัดแปลงเนื้อหา และต้องอ้างอิงถึงเจ้าของเอกสารทุกครั้งที่มีการนำไปใช้

คำนวณจากผลลัพธ์ที่เวลาก่อนหน้านั้น ดังนั้นข้อควรระวังของวิธีนี้คือการใช้ช่วงเวลาที่ต่ำมากเกินไปจะทำให้ใช้เวลาในการคำนวณมาก สำหรับปัญหาในทางปฏิบัติทั่วไปมักเริ่มจากการลองใช้ช่วงเวลาที่ต่าง ๆ กันแต่คำนวณในระยะที่สั้น ๆ ก่อนแล้วจึงพิจารณาผลลัพธ์ที่เกิดขึ้น จากนั้นค่อยตัดสินใจเลือกใช้ช่วงเวลาที่เหมาะสมที่สุดในการคำนวณตลอดระยะเวลาทั้งหมดเพื่อผลลัพธ์ที่สมบูรณ์ของปัญหานั้น

การจำลองด้วยระเบียบวิธีไฟไนต์เอลิเมนต์ด้วยจากโปรแกรมคอมพิวเตอร์ Ls-Dyna 971 แบบวิธีปริยายสถิตย์ เป็นวิธีการแก้ปัญหาเชิงตัวเลขของสมการเชิงอนุพันธ์ย่อยที่ไม่สามารถแก้สมการด้วยผลเฉลยแม่นยำตรง ซึ่งถูกนำมาแก้ปัญหาทั้งแบบคงที่และแบบพลศาสตร์ความถี่ต่ำ เช่น ปัญหาสถิตย์เสมือนของการออกแบบโครงสร้าง การวิเคราะห์การขึ้นรูปโลหะ การวิเคราะห์ไหลตแรงโน้มถ่วงของโครงสร้างยานยนต์ การวิเคราะห์การโค้งงอของเส้น และการวิเคราะห์การสั่นสะเทือน เป็นต้น ข้อดีจากการแก้ปัญหาของวิธีการดังกล่าว คือสามารถปรับช่วงเวลาได้และลดเวลาในการคำนวณลง ส่วนข้อเสียที่สำคัญคือใช้ทรัพยากรในการคำนวณเยอะซึ่งขึ้นอยู่กับแบบจำลองในแต่ละปัญหา อัลกอริทึม (Algorithm) การวิเคราะห์แบบวิธีปริยายสถิตย์ของโปรแกรม Ls-Dyna 971 คือ การทำซ้ำเชิงตัวเลข (Incremental-iterative numerical) โดยพยายามรักษาสภาพความสมดุลจากการเพิ่มระยะการเคลื่อนที่อย่างต่อเนื่องของปัญหาไม่เชิงเส้น ซึ่งไม่สามารถคำนวณหาระยะการเคลื่อนที่ได้เพียงครั้งเดียว ค่าพิกัดของความแม่นยำมักจะพิจารณาจากการช่วงค่าภาระ (Load increment) หรือขนาดของช่วงเวลาการคำนวณหากกำหนดไม่เหมาะสมอาจทำให้ผลคำตอบเป็นแบบลู่ออกตามที่กล่าวข้างต้น การศึกษาการวิเคราะห์ปัญหาที่ขึ้นกับช่วงเวลาด้วยระเบียบวิธีไฟไนต์เอลิเมนต์ของปัญหาดังกล่าวจะเริ่มจากพื้นฐานของปัญหาที่วัดอยู่ภายใต้สภาวะคงตัว ดังนั้นสมการไฟไนต์เอลิเมนต์ที่กล่าวในหัวข้อที่ผ่านมาสามารถประยุกต์ใช้ได้โดยตรง จากสมการ (3.74) เราสามารถสร้างสมการทั่วไปเพื่อจะคำนวณหาการเคลื่อนที่ที่จุดต่อที่เวลา $t + \Delta t$ ได้ดังนี้

$$[K]\{d\}_{t+\Delta t} = \{f\} \quad (3.75)$$

สำหรับการแก้ปัญหาแบบปริยาย กำหนดให้เวกเตอร์ของฟังก์ชัน x^{n+1} สามารถเขียนได้ดังนี้

$$Q(x^{n+1}) = 0 \quad (3.76)$$

สมมติให้การประมาณค่าจาก x_k^{n+1} ถึง x^{n+1} เมื่อ $k = 1, 2, 3, \dots$ สามารถประมาณการเชิงเส้นของ $Q(x^{n+1}) = 0$ ได้ดังนี้

$$Q(x^{n+1}) = Q(x_{k-1}^{n+1}) + J(x_{k-1}^{n+1})\Delta x_k \quad (3.77)$$

และ การทำซ้ำเพื่อแก้ปัญหา ดังนี้

$$x^{n+1} = x_{k-1}^{n+1} + \Delta x_k \quad (3.78)$$

$$J(x_{k-1}^{n+1}) = \frac{\partial Q}{\partial x} \Big|_{x_{k-1}^{n+1}} \quad (3.79)$$

เอกสารนี้เป็นเอกสารที่สงวนไว้สำหรับการใช้งานเพื่อการศึกษาเท่านั้น ไม่อนุญาตให้นำไปใช้ประโยชน์ด้านการค้าไม่ว่ากรณีใดๆทั้งสิ้น อีกทั้งห้ามมิให้ดัดแปลงเนื้อหา และต้องอ้างอิงถึงเจ้าของเอกสารทุกครั้งที่มีการนำไปใช้

เมื่อ J คือ เมทริกซ์จาโคเบียน (Jacobian matrix) ในกรณีการเพิ่มช่วงค่าภาระ (Load increment) $n+1$ รูปแบบสมการเชิงเส้น สามารถเขียนได้ดังนี้

$$K_i(x^n)\Delta u_0 = P(x^n)^{n+1} - F(x^n) \quad (3.80)$$

เมื่อ K_i คือ เมทริกซ์ความแข็ง (Stiffness matrix)

Δu_0 คือ ช่วงการเพิ่มของการกระจัด (Increment in displacement)

$P(x^n)^{n+1}$ คือ เวกเตอร์ของภาระภายนอกที่ $n+1$

$F(x^n)$ คือ เวกเตอร์ความเค้นที่ n

เวกเตอร์การกระจัด สามารถเขียนใหม่ได้ดังนี้

$$x_1^{n+1} = x^n + s_0 \Delta u_0 \quad (3.81)$$

และ สมดุลของการทำซ้ำที่จุดเริ่มต้น ดังนี้

$$K_i \Delta u_i = P(x_i^{n+1})^{n+1} - F(x_i^{n+1}) = Q_i^{n+1} \quad (3.82)$$

เมื่อตัวห้อย i คือจำนวนครั้งของการทำซ้ำ s_0 ตัวแปรนี้มีค่าอยู่ในช่วง 0 ถึง 1 ของเส้นตรง โดยในแต่ละครั้งของการทำซ้ำ จะสามารถตรวจสอบการลู่เข้าของคำตอบ ตามเงื่อนไข

$$\frac{|\Delta u_i|}{u_{\max}} < \varepsilon_a \quad (3.83)$$

และ

$$\frac{|\Delta u_i' Q_i|}{|\Delta u_0' Q_0|} < \varepsilon_e \quad (3.84)$$

ถ้าผลการตรวจสอบไม่ลู่เข้า เวกเตอร์การกระจัดจากสมการที่ (3.81) จะถูกปรับปรุงเป็น ดังนี้

$$x_{i+1}^{n+1} = x_i^{n+1} + s_i \Delta u_i \quad (3.85)$$

โดยมีเงื่อนไขการเช็คผลลู่เข้าของคำตอบ จากการทำซ้ำครั้งถัดไป ดังนี้

$$|Q_0^{n+1}| < |Q_{i+1}^{n+1}| \quad (3.86)$$

เอกสารนี้เป็นเอกสารที่สงวนไว้สำหรับการใช้งานเพื่อการศึกษาเท่านั้น ไม่อนุญาตให้นำไปใช้ประโยชน์ด้านการค้า ไม่ว่าจะกรณีใดๆทั้งสิ้น อีกทั้งห้ามมิให้ตัดแปลงเนื้อหา และต้องอ้างอิงถึงเจ้าของเอกสารทุกครั้งที่มีการนำไปใช้

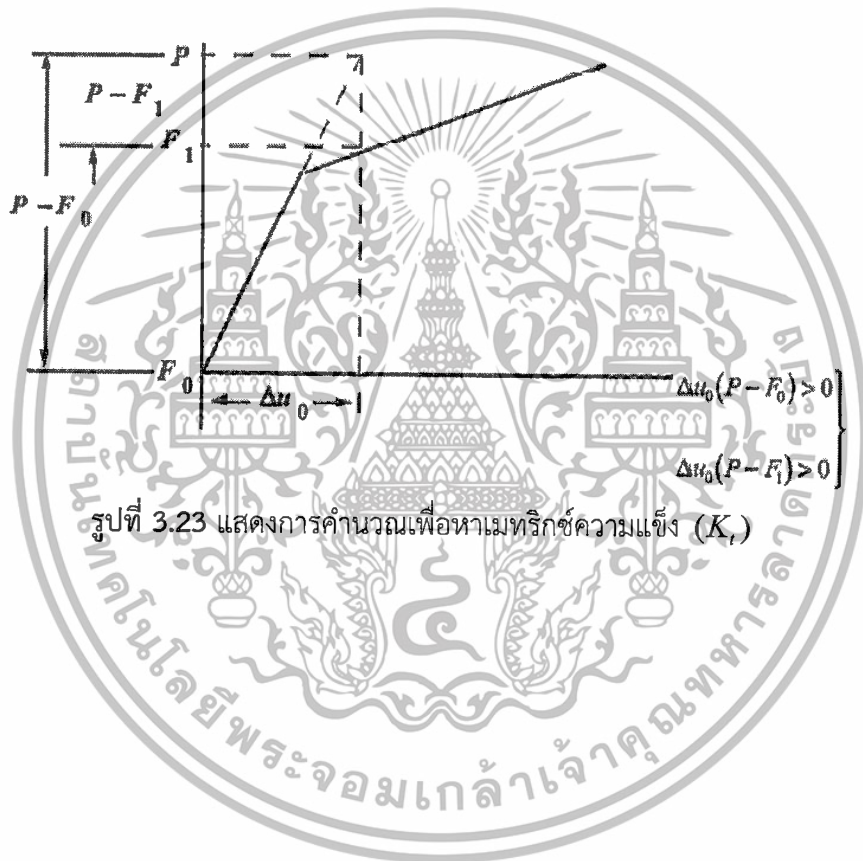
ดังนั้น เมทริกซ์ความแข็ง (K_i) จะถูกปรับเปลี่ยนรูป (Reformation) ของแต่ละครั้งการทำซ้ำเพื่อสร้างสมการการคำนวณตามสมการที่ (3.82) โดยอาศัยวิธีการของการปรับแก้นิวตัน (Modified-Newton method) ซึ่งอธิบายได้จากสมการเสมือนของนิวตัน (Quasi-Newton equations) ดังนี้

$$K_i \Delta u_{i-1} = \Delta Q_i \quad (3.87)$$

เมื่อ

$$\Delta Q_i = Q_{i-1} - Q_i = (P_{i-1} - F_{i-1}) - (P_i - F_i) \quad (3.88)$$

โดยสามารถดูการคำนวณ ได้ดังนี้

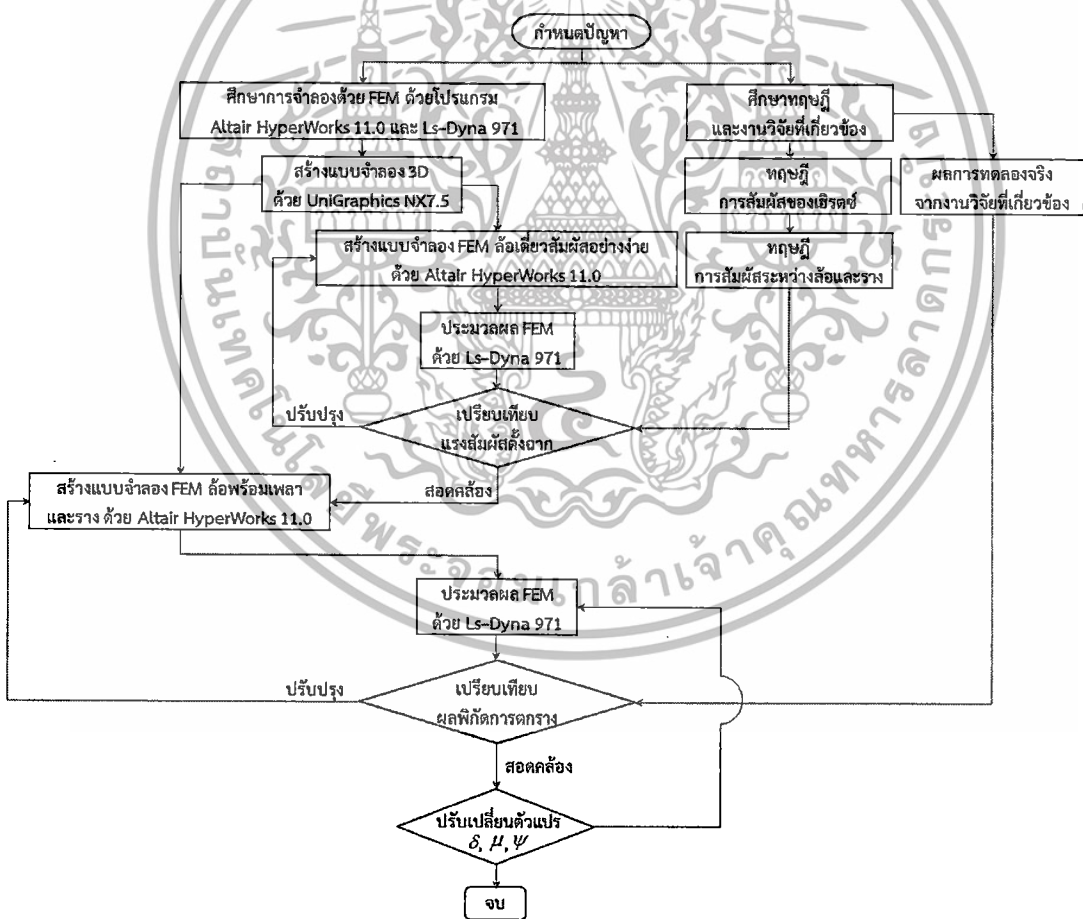


เอกสารนี้เป็นเอกสารที่สงวนไว้สำหรับการใช้งานเพื่อการศึกษาเท่านั้น ไม่อนุญาตให้นำไปใช้ประโยชน์ด้านการค้าไม่ว่ากรณีใดๆทั้งสิ้น อีกทั้งห้ามมิให้ดัดแปลงเนื้อหา และต้องอ้างอิงถึงเจ้าของเอกสารทุกครั้งที่มีการนำไปใช้

บทที่ 4 วิธีการดำเนินงานวิจัย

4.1 บทนำ

บทนี้จะกล่าวถึงรายละเอียดที่เกี่ยวข้องกับวิธีการจำลองด้วยระเบียบวิธีไฟไนต์เอลิเมนต์ จากโปรแกรม Altair HyperWorks 11.0 และ Ls-Dyna 971 ซึ่งจะเริ่มจากการสร้างแบบจำลองสามมิติ จากโปรแกรม UniGraphics NX7.5 การกำหนดเงื่อนไขขอบเขตและภาระโหลดที่กระทำ การเลือกแบบจำลองวัสดุ การเลือกชนิดเอลิเมนต์และปริมาณจำนวนเอลิเมนต์ที่เหมาะสม เพื่อหาค่าแรงที่เกิดขึ้นจากการสัมผัสระหว่างล้อและราง โดยก่อนที่จะทำการประเมินการจำลองการตรกรางเนื่องจากล้อปืนรางของชุดล้อจะทำการตรวจสอบแบบจำลองของการสัมผัสระหว่างล้อและรางล้อเดี่ยวเทียบกับผลเฉลยแม่นยำตรง จากทฤษฎีการสัมผัสของเฮิร์ตซ์ เพื่อประเมินความถูกต้องและแม่นยำของผลคำตอบ ก่อนการจำลองการตรกรางเนื่องจากล้อปืนรางของแบบจำลองชุดล้อ



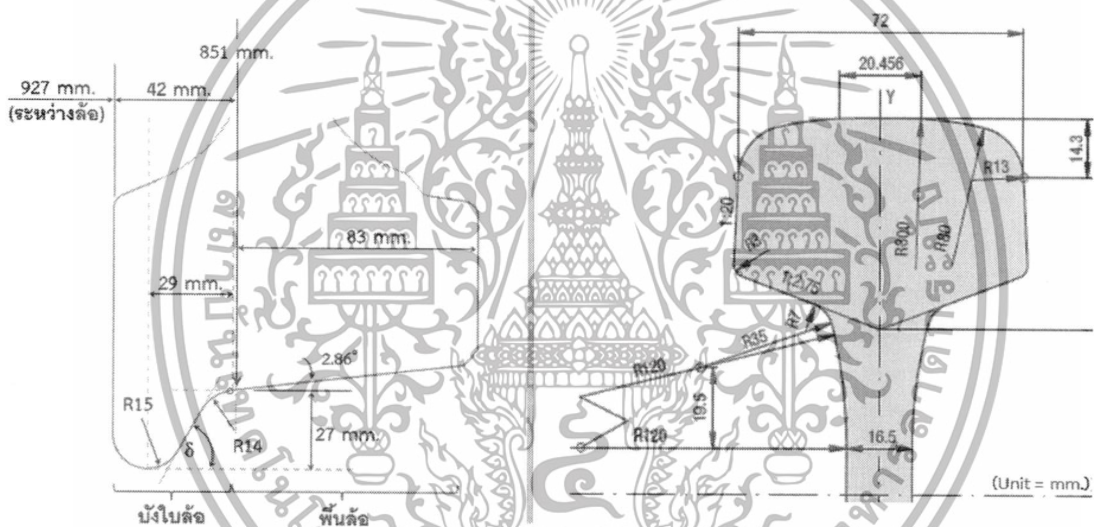
รูปที่ 4.1 แสดงแผนภูมิของงานวิจัย

จากนั้นนำผลของแรงสัมผัสที่ได้มาหาพิกัดความปลอดภัยของการตรกรางตามอัตราส่วนของแรงในแนวข้างต่อแรงในแนวตั้ง หรืออัตราส่วน L/V เพื่อหาพิกัดความปลอดภัยของการตรกราง เอกสารนี้เป็นเอกสารที่สงวนไว้สำหรับการใช้งานเพื่อการศึกษาเท่านั้น ไม่อนุญาตให้นำไปใช้ประโยชน์ด้านการค้า ไม่ว่าจะกรณีใดๆทั้งสิ้น อีกทั้งห้ามมิให้ดัดแปลงเนื้อหา และต้องอ้างอิงถึงเจ้าของเอกสารทุกครั้งที่มีการนำไปใช้

เนื่องจากล้อยี่ป็นรางที่มีมุมบังใบล้อสัมผัส (δ) 60° 65° และ 70° ค่าสัมประสิทธิ์ความเสียดทาน (μ) 0.15 0.25 และ 0.35 มุมปะทะของล้อ (ψ) 0° 0.25° 0.50° 0.75° 1.0° 1.25° และ 1.50° พร้อมทั้งเปรียบเทียบกับผลการทดลองของงานวิจัยปฏิสัมพันธ์ระหว่างล้อและรางที่เกี่ยวข้อง ดังรูปที่ 4.1 แสดงแผนภูมิของงานวิจัย

4.2 แบบจำลองของล้อและราง

สำหรับแบบจำลองของล้อที่นำมาศึกษาการจำลองการตกรางเนื่องจากล้อยี่ป็นรางจะถูกสร้างด้วยโปรแกรมคอมพิวเตอร์ โดยมีขนาดและรูปร่างที่ใช้ในรถโดยสารตามมาตรฐานของ รฟท. ส่วนขนาดและรูปร่างของรางจะอ้างอิงตามมาตรฐาน UIC 60 จากงานวิจัยที่ผ่านมาพบว่ารูปร่างของล้อและรางที่แตกต่างกันจะทำให้แรงสัมผัสระหว่างล้อและรางแตกต่างกันด้วย ซึ่งส่งผลให้ค่าพิกัดความปลอดภัยของการตกรางเนื่องจากล้อยี่ป็นรางแตกต่างกัน



รูปที่ 4.2 แสดงรูปร่างหน้าตัดของล้อตามมาตรฐาน รฟท. และรางตามมาตรฐาน UIC 60

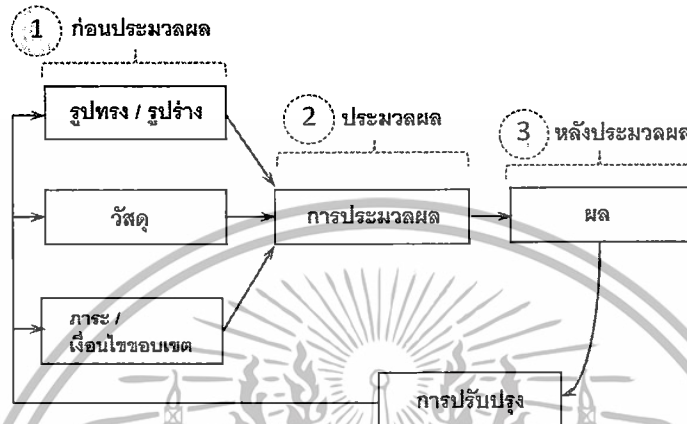
4.3 วิธีการจำลองการป็นรางด้วยระเบียบวิธีไฟไนต์เอลิเมนต์

งานวิจัยนี้จะนำมาประยุกต์ใช้กับปัญหาการสัมผัสกันระหว่างล้อและราง ด้วยโปรแกรม Altair HyperWorks 11.0 และ Ls-Dyna 971 กระบวนการแรกก่อนประมวลผลจะเริ่มต้นด้วยโปรแกรม UniGraphics NX7.5 เพื่อสร้างแบบจำลองของล้อและรางสามมิติ จากนั้นนำแบบจำลองเข้าสู่โปรแกรม Altair HyperWorks 11.0 เพื่อสร้างเอลิเมนต์ให้แบบจำลอง กำหนดวัสดุจำลอง ภาวะโหด และเงื่อนไขขอบเขต ซึ่งกระบวนการนี้มีความสำคัญอย่างมากในงานวิจัยนี้ เนื่องจากการสร้างแบบจำลองที่มีความซับซ้อน การกำหนดคาร์ดสัมผัส ระหว่างล้อและราง การเลือกใช้ชนิดของเอลิเมนต์ ซึ่งประสบการณ์ในการใช้โปรแกรมไฟไนต์เอลิเมนต์ของผู้ใช้นั้นจะมีความสำคัญมากต่อการจำลองแบบจำลองที่มีความซับซ้อนดังกล่าว จากนั้นนำแบบจำลองออกจากโปรแกรมเป็นชนิดไฟล์ *.k เพื่อนำไปทำการประมวลผลซึ่งเป็นกระบวนการแก้ปัญหาด้วยระเบียบวิธีเชิงตัวเลขด้วยโปรแกรม Ls-Dyna 971 และวิเคราะห์ผลลัพธ์ต่อไป

เอกสารนี้เป็นเอกสารที่สงวนลิขสิทธิ์สำหรับใช้งานเพื่อการศึกษาเท่านั้น ไม่อนุญาตให้นำไปใช้ประโยชน์ด้านการค้าไม่ว่ากรณีใดๆทั้งสิ้น อีกทั้งห้ามมิให้ตัดแปลงเนื้อหา และต้องอ้างอิงถึงเจ้าของเอกสารทุกครั้งที่มีการนำไปใช้

4.3.1 กระบวนการจำลองด้วยโปรแกรมสำเร็จรูป

การแก้ปัญหาของระเบียบวิธีไฟไนต์เอลิเมนต์เพื่อความแม่นยำของผลคำตอบ ผู้ใช้จะต้องมีความรู้พื้นฐานในระเบียบวิธีไฟไนต์เอลิเมนต์ กระบวนการจำลอง ประสบการณ์การใช้โปรแกรมเพื่อวิเคราะห์ปัญหา โดยการจำลองการตรวงเนื่องจากล้าป็นร่างด้วยโปรแกรม Altair HyperWorks 11.0 และ Ls-Dyna 971 สามารถแบ่งออกเป็น 3 กระบวนการ ดังนี้



รูปที่ 4.3 แสดงกระบวนการวิเคราะห์ปัญหาด้วยโปรแกรมสำเร็จรูป

4.3.1.1 กระบวนการก่อนการประมวลผล (Pre Processing)

ขั้นตอนการเตรียมการประมวลผลเป็นขั้นตอนการจำลองปัญหาทางกายภาพ (Modeling) โดยเริ่มจากหาเอกลักษณ์ของปัญหาทางกายภาพที่จะวิเคราะห์ (Identify Problem) คำตอบที่ได้เหล่านี้จะนำไปสู่การสร้างแบบจำลองไฟไนต์เอลิเมนต์ของปัญหาอันประกอบไปด้วย ลักษณะรูปร่างของแบบจำลอง การกำหนดเงื่อนไขขอบเขตและโหนดที่กระทำ (Boundary Condition) การเลือกแบบจำลองของวัสดุ (Constitutive Equation) การเลือกสมการเชิงอนุพันธ์ที่อธิบายปรากฏการณ์ที่เกิดขึ้นให้สอดคล้องกับปัญหาที่วิเคราะห์ การเลือกชนิดของเอลิเมนต์ และกระบวนการเมช (Meshing) ที่จะแบ่งรูปร่างของแบบจำลองออกเป็นเอลิเมนต์เล็กๆ (Discretization) โดยการสร้างแบบจำลองไฟไนต์เอลิเมนต์ต้องสอดคล้องกับเอกลักษณ์ของปัญหาทางกายภาพที่วิเคราะห์ด้วย

4.3.1.2 กระบวนการประมวลผล (Processing)

กระบวนการนี้จะเป็นการสร้างสมการไฟไนต์เอลิเมนต์ของปัญหาดังที่กล่าวมาในบทที่ 3 โดยอาศัยข้อมูลและข้อกำหนดจากขั้นตอนก่อนการประมวลผลจากโปรแกรม Altair HyperWorks 11.0 และทำการแก้ระบบสมการด้วยระเบียบวิธีเชิงตัวเลขจากโปรแกรม Ls-Dyna 971 เพื่อหาคำตอบที่ต้องการ

4.3.1.3 กระบวนการหลังการประมวลผล (Post Processing)

กระบวนการหลังการประมวลผลเป็นการแสดงผลที่ได้จากการคำนวณ จากเทคนิคของโปรแกรม Ls-Dyna 971 จะสามารถกำหนดให้แสดงในรูปแบบของกราฟฟิกหรือเป็นข้อมูลที่เป็นตัวเลขก็ได้ โดยในการวิจัยนี้จะกำหนดให้ผลลัพธ์ (Output) เป็นทั้งสองแบบเพื่อความสะดวกในการแสดงผล เอกสารที่ส่งวนไว้สำหรับการทำงานเพื่อการศึกษาเท่านั้น ไม่อนุญาตให้นำไปใช้ประโยชน์ด้านการค้า ไม่ว่ากรณีใดๆทั้งสิ้น อีกทั้งห้ามมิให้ดัดแปลงเนื้อหา และต้องอ้างอิงถึงเจ้าของเอกสารทุกครั้งที่มีการนำไปใช้

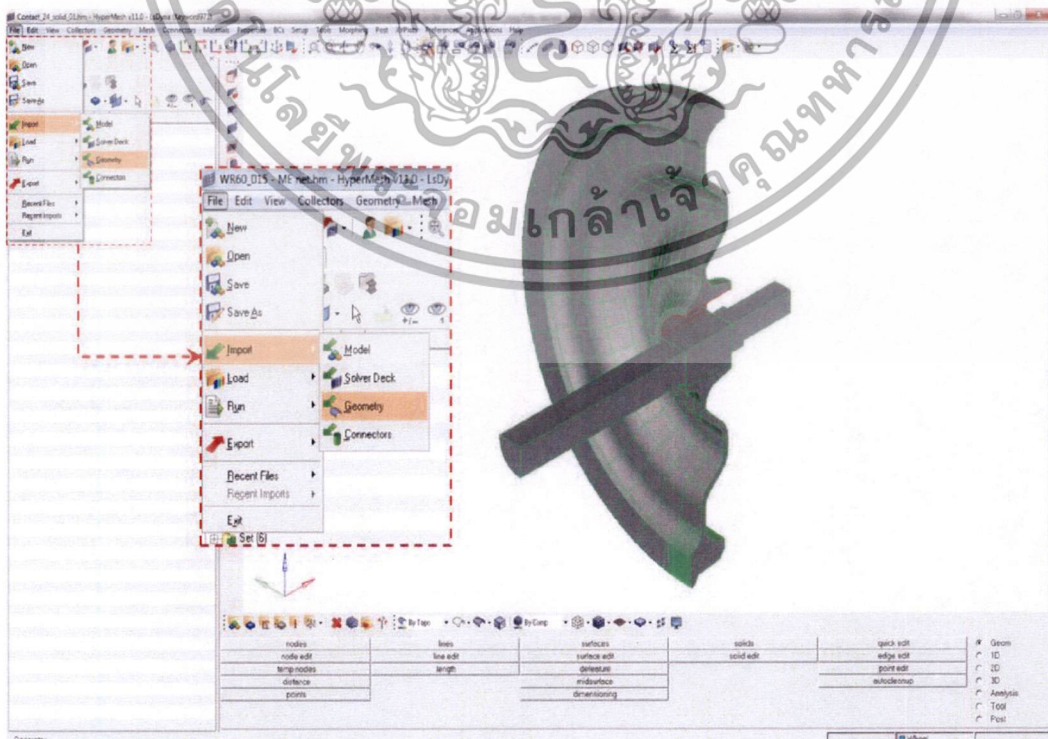
4.3.2 การสร้างแบบจำลองสามมิติของล้อและราง

การสร้างแบบจำลองด้วยระเบียบวิธีไฟไนต์เอลิเมนต์จะสร้างแบบจำลองของล้อและรางเป็นสามมิติด้วยโปรแกรม UniGraphics NX7.5 โดยมีแกน x เป็นแนวตามหน้าของรถไฟที่เพิ่มขึ้นอีกหนึ่งแกนซึ่งจากเดิมที่พิจารณาภาวะคงตัวสองมิติที่มีเพียงแกน y และ z เป็นแนวด้านข้างและแนวความสูงของรถไฟ ตามลำดับ การสร้างแบบจำลองของล้อและราง เนื่องจากแบบจำลองทั้งสามรายการมีความสมมาตรกันในแนวแกน x โดยเริ่มทำการสร้างรูปร่างหน้าตัดสองมิติของแบบจำลองก่อน จากนั้นใช้คำสั่ง Revolve หน้าตัด 360° รอบแกน y ส่วนรางจะใช้คำสั่ง Extrude หน้าตัดในแนว x ยาว 295 มิลลิเมตร



รูปที่ 4.4 แสดงแบบจำลองของชุดล้อและรางจากโปรแกรม UniGraphics NX7.5

4.3.3 การนำแบบจำลองล้อและรางเข้าสู่โปรแกรม Altair HyperWorks 11.0

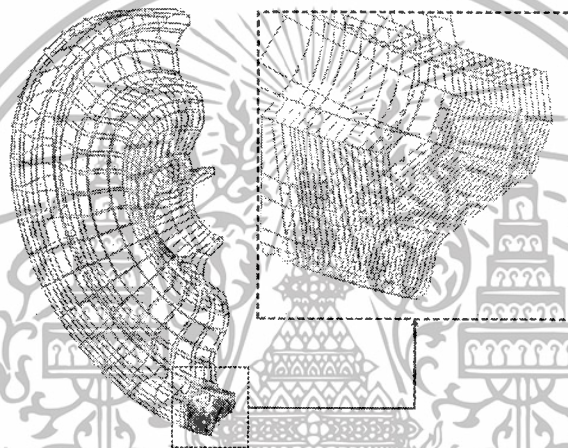


เอกสารนี้เป็นเอกสารที่ 4.5 แสดงการนำแบบจำลองสามมิติเข้าสู่โปรแกรม Altair HyperWorks 11.0 ระเบียบขั้นตอนการดำเนินการ
ไม่ว่ากรณีใดๆทั้งสิ้น อีกทั้งห้ามมิให้ตัดแปลงเนื้อหา และต้องอ้างอิงถึงเจ้าของเอกสารทุกครั้งที่มีการนำไปใช้

แบบจำลองจากโปรแกรม UniGraphics NX7.5 สามารถนำเข้าสู่โปรแกรม Altair HyperWorks 11.0 ด้วยนามสกุลกลาง *.igs จำนวนสามรายการประกอบด้วย ล้อ เฟลา และราง เนื่องจากรูปร่างทั้งสามรายการมีความสมมาตรกันในแนวแกน x ดังรูปที่ 4.4 ซึ่งสามารถสร้างแบบจำลอง ให้มีความสมมาตร ดังแสดงในรูปที่ 4.5 ซึ่งจะช่วยให้สะดวกในการสร้างเอลิเมนต์ จากนั้นค่อยทำการคัดลอกแบบจำลองในส่วนที่เหลือเพื่อลดเวลาในการสร้างแบบจำลอง

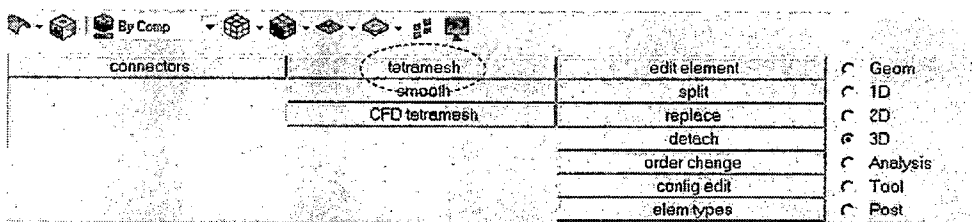
4.3.4 การสร้างเอลิเมนต์ให้แบบจำลอง

การสร้างเอลิเมนต์จะทำการเริ่มจากการเตรียมผิวของล้อและรางเพื่อทำการสร้างเม็ช (Meshing) ครอบแบบจำลองก่อนก่อนปิดด้วยเอลิเมนต์ทรงตัน (Solid element) อีกครั้ง เนื่องจากการเตรียมเอลิเมนต์ที่มีขนาด จำนวนที่เหมาะสมจะช่วยลดเวลาในการคำนวณ และมีความแม่นยำของผลคำตอบ ซึ่งจะเริ่มการสร้างเม็ชจากจุดสำคัญของปัญหาที่ทำการวิเคราะห์ก่อนเสมอ



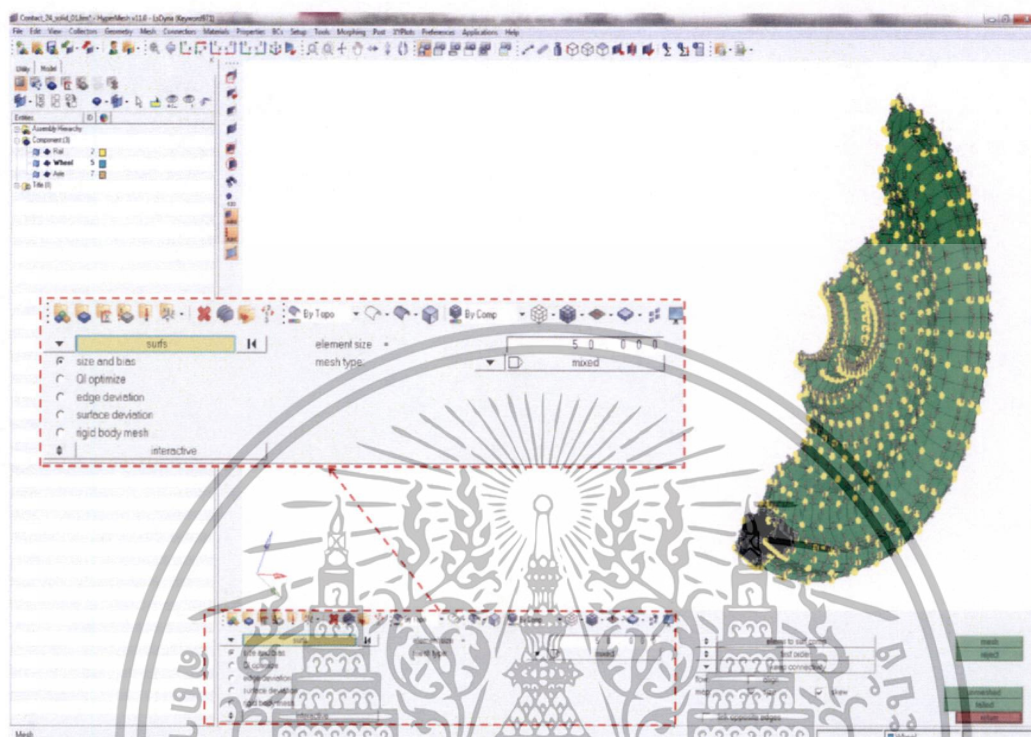
รูปที่ 4.6 แสดงการเตรียมผิวตรงบริเวณจุดสัมผัสของล้อเพื่อการสร้างเม็ช (Meshing)

งานวิจัยนี้เป็นการศึกษาปฏิสัมพันธ์ระหว่างล้อและราง ดังนั้นบริเวณที่มีความสำคัญของปัญหาก็คือ บริเวณล้อและรางสัมผัสกันซึ่งจะเตรียมผิวให้บริเวณดังกล่าวมีเส้นขอบผิวละเอียดกว่าบริเวณอื่นเพื่อความเรียบของผิวสัมผัส การสร้างเม็ช (Meshing) ให้กับแบบจำลอง ซึ่งผิวไหนที่ไม่สามารถสร้างเป็นเม็ชสี่เหลี่ยมได้จะกำหนดให้สร้างเป็นเม็ชสามเหลี่ยมแทน โดยวิธีการสร้างแบบอัตโนมัติกับแบบจำลองเพื่อดูความเป็นไปได้ในการสร้างเม็ชจากแบบจำลองที่ซับซ้อนของโปรแกรม Altair HyperWorks 11.0 บริเวณที่ห่างจากจุดสัมผัสของแบบจำลองจะกำหนดให้มีขนาดเม็ชเท่ากับ 50 เนื่องจากมีผลกระทบต่อแรงระหว่างจุดสัมผัสน้อย และจะช่วยลดเวลาในกระบวนการจำลอง ส่วนบริเวณที่ใกล้จุดสัมผัสก็จะมีขนาดเล็กจนกระทั่งมีขนาดเล็กสุดเท่ากับ 1 ที่จุดกลางสัมผัสตามเส้นขอบที่ได้แบ่งไว้



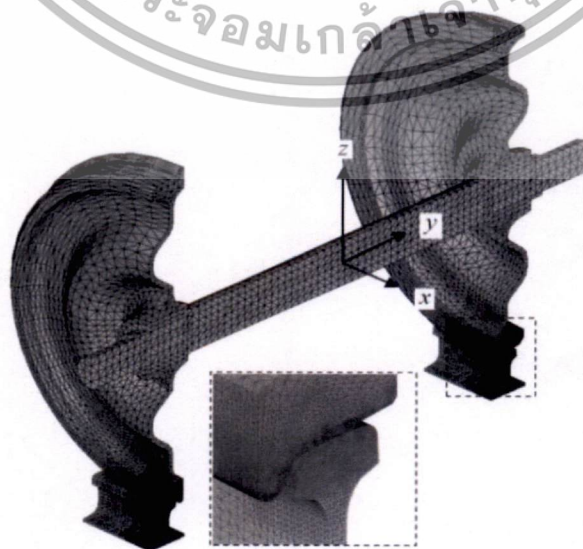
เอกสารนี้เป็นเอกสารที่สงวนรูปที่ 4.7 แสดงการสร้างเอลิเมนต์แบบทรงสี่เหลี่ยมให้นำไปใช้ประโยชน์ด้านการค้า ไม่ว่าจะกรณีใดๆทั้งสิ้น อีกทั้งห้ามมิให้ดัดแปลงเนื้อหา และต้องอ้างอิงถึงเจ้าของเอกสารทุกครั้งที่มีการนำไปใช้

งานวิจัยนี้จะเลือกใช้เอลิเมนต์แบบทรงสี่หน้า (Four-node tetrahedral element) เนื่องจากแบบจำลองเป็นแบบทรงตันสามมิติ ซึ่งจำเป็นต้องสร้างเอลิเมนต์ให้สอดคล้องกับแบบจำลอง เพื่อตอบสนองต่อผลการยุบตัวจากกลไกการสัมผัสระหว่างล้อและราง



รูปที่ 4.8 แสดงการสร้างเมช (Meshing) ของล้อด้วยโปรแกรม Altair HyperWorks 11.0

สำหรับส่วนประกอบของเพลาลำรางสามารถสร้างเมชได้ในลักษณะเดียวกันกับล้อ โดยแต่ละรายการจะต้องแยกเป็นชิ้นส่วนประกอบ (Component) ดังแสดงในรูปที่ 4.9 เพื่อความสะดวกในการกำหนดคุณสมบัติของวัสดุ และการดัดสัมผัสระหว่างล้อและราง การสร้างเอลิเมนต์เข้าไปปิดภายในทรงตันของแบบจำลองในแต่ละรายการ



เอกสารรูปที่ 4.9 แสดงแบบจำลองไฟไนต์เอลิเมนต์ด้วยการแบ่งออกเป็นส่วนย่อยๆ (Discretization) ด้านการคำนวณว่ากรณีใดๆทั้งสิ้น อีกทั้งห้ามมิให้ดัดแปลงเนื้อหา และต้องอ้างอิงถึงเจ้าของเอกสารทุกครั้งที่มีการนำไปใช้

ตารางที่ 4.1 แสดงจำนวนเอลิเมนต์ในแต่ละรายการ

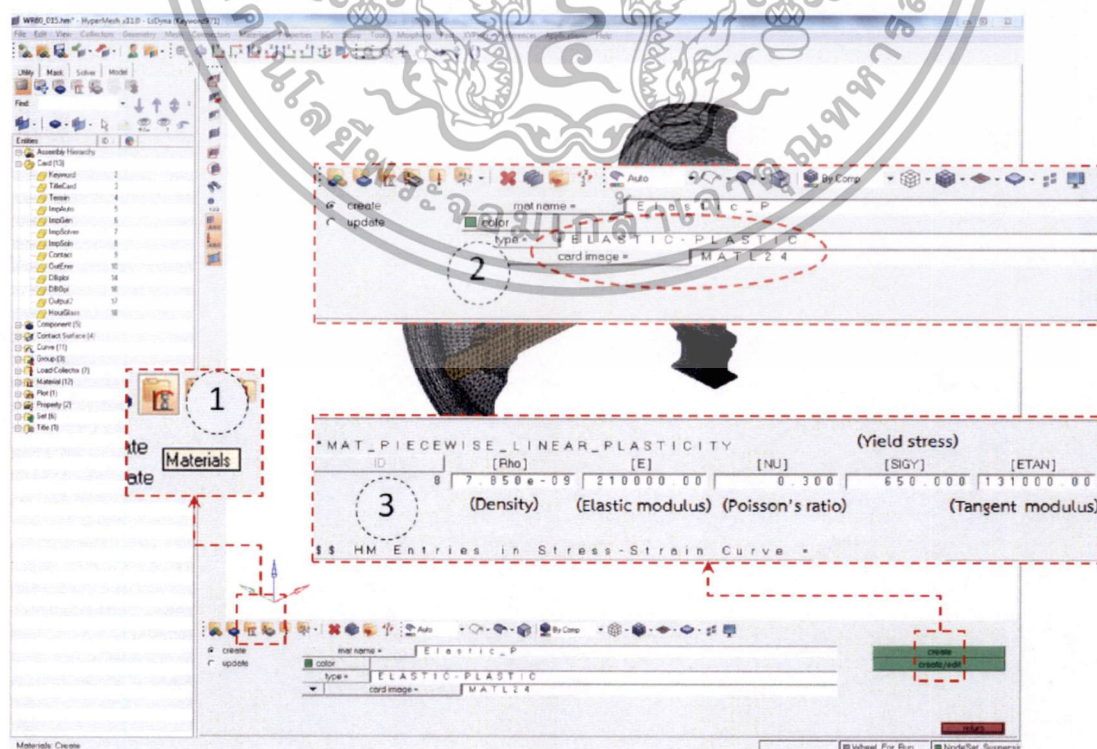
| รายการแบบจำลอง | เอลิเมนต์เชิงเส้นสามมิติแบบทรงสี่หน้า | |
|----------------|---------------------------------------|----------------|
| | จำนวนโหนด | จำนวนเอลิเมนต์ |
| เพลลา | 2,332 | 8,343 |
| ล้อ | 62,635 | 269,933 |
| ราง | 48,096 | 215,402 |
| รวมทั้งหมด | 113,063 | 493,678 |

4.3.5 การกำหนดวัสดุให้แบบจำลอง

การกำหนดวัสดุจำลองจะพิจารณาให้เพลลาเป็นวัสดุแข็งเกร็ง ส่วนล้อและรางเป็นวัสดุที่มีความยืดหยุ่นเพื่อศึกษากลไกการสัมผัสระหว่างล้อและราง ซึ่งวัสดุจากโปรแกรม Ls-Dyna 971 ที่มีสมบัติดังกล่าวคือ *MAT_RIGID (*MAT20) และ *MAT_ELASTIC-PLASTIC (*MAT24) ตามลำดับ

ตารางที่ 4.2 แสดงค่าสมบัติเชิงกลของวัสดุจำลองของล้อและราง

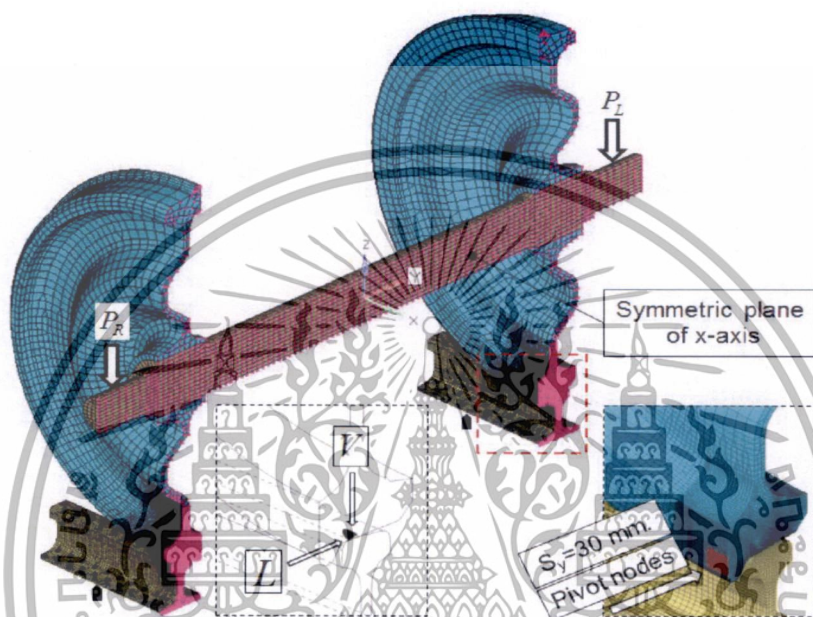
| รายการสมบัติของวัสดุ | ค่าสมบัติของวัสดุ |
|--------------------------|-----------------------|
| Elastic modulus; E | 210×10^3 MPa |
| Tangent modulus; E_t | 131×10^3 Mpa |
| Yield stress; σ_y | 650 Mpa |
| Density; ρ | 7850 kg/m^3 |
| Poisson's ratio; ν | 0,3 |



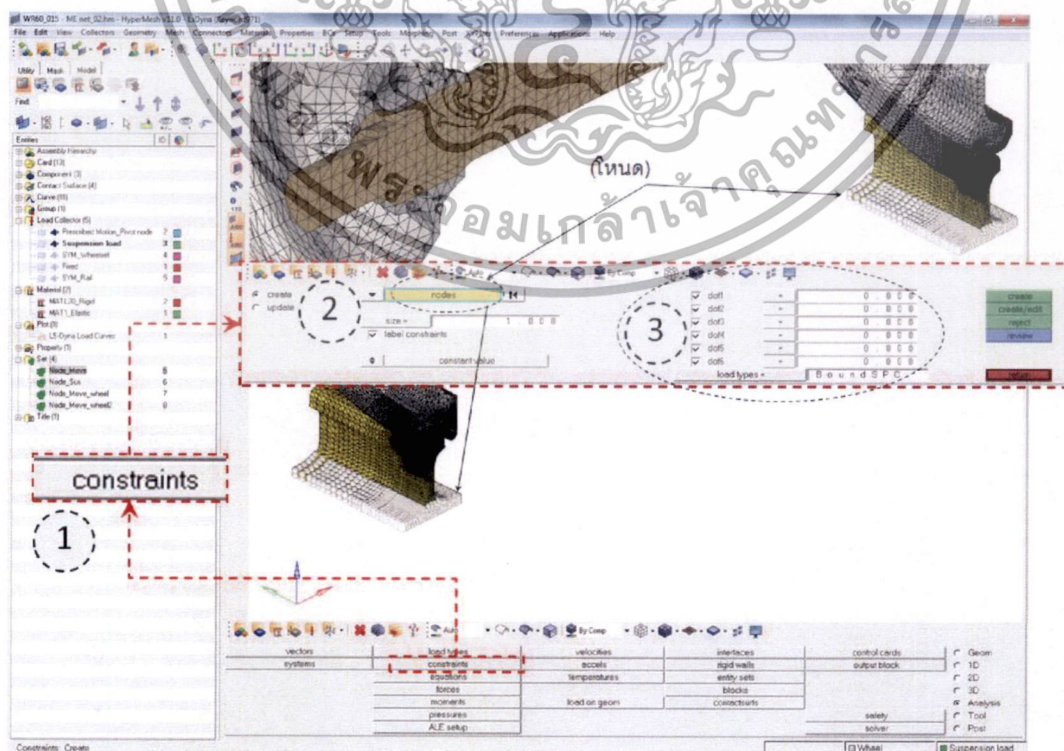
เอกสารนี้เป็นเอกสารที่สงวนลิขสิทธิ์โดยบริษัท 4.10 แสดงการกำหนดวัสดุให้แบบจำลองล้อและรางนำไปใช้ประโยชน์ด้านการค้า
ไม่ว่ากรณีใดๆทั้งสิ้น อีกทั้งห้ามมิให้ตัดแปลงเนื้อหา และต้องอ้างอิงถึงเจ้าของเอกสารทุกครั้งที่มีการนำไปใช้

4.3.6 การกำหนดเงื่อนไขขอบเขตให้แบบจำลอง

การวิเคราะห์ปัญหาของเงื่อนไขขอบเขตชิ้นส่วนที่มีการสัมผัสกันระหว่างล้อและรางจะเป็นลักษณะที่ไม่เชิงเส้นของเงื่อนไขขอบเขต (Boundary Nonlinearities) โดยจะกำหนดให้ชุดล้อเริ่มเคลื่อนที่และป็นรางในด้านซ้ายจากสภาวะปกติจนกระทั่งบังใบล้อป็นขึ้นไปบนหัวรางด้วยระยะทางในแนวด้านข้าง (S_y) 30 มิลลิเมตร (mm) ด้วยโหนดนำ (Pivot node) จากการค้ด *BOUNDARY PRESCRIBED MOTION รางทั้งสองข้างกำหนดให้ถูกยึดอยู่กับที่

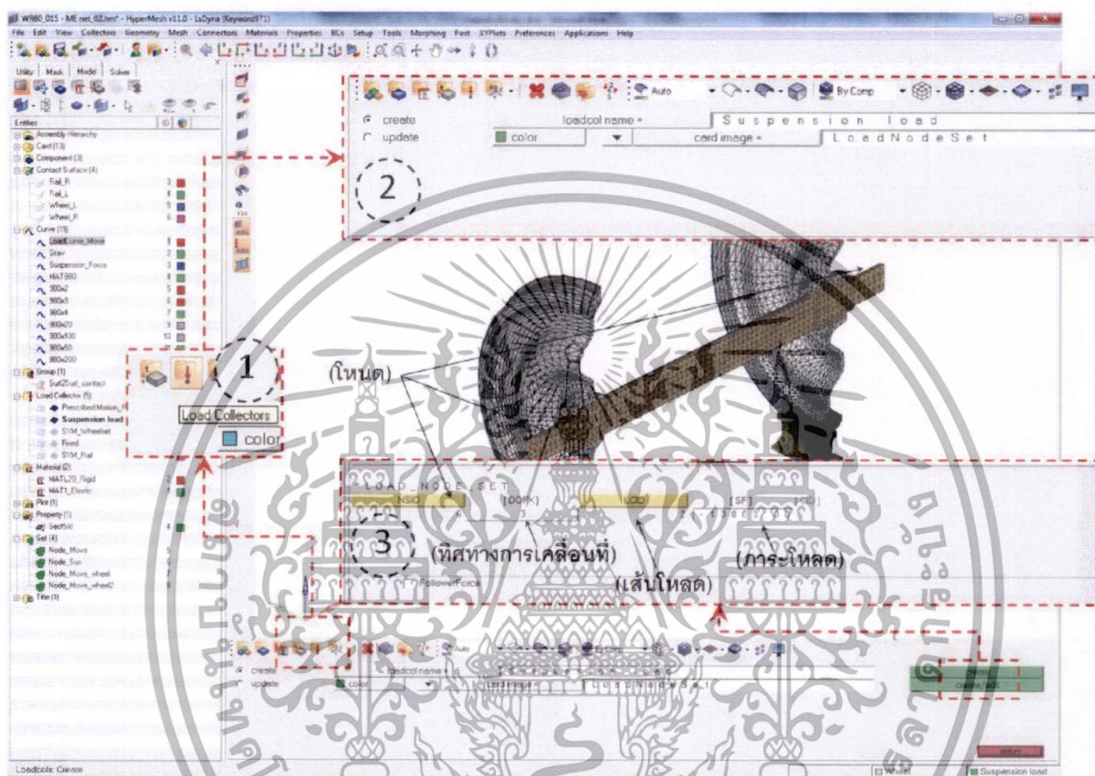


รูปที่ 4.11 แสดงเงื่อนไขขอบเขตของแบบจำลองการป็นราง



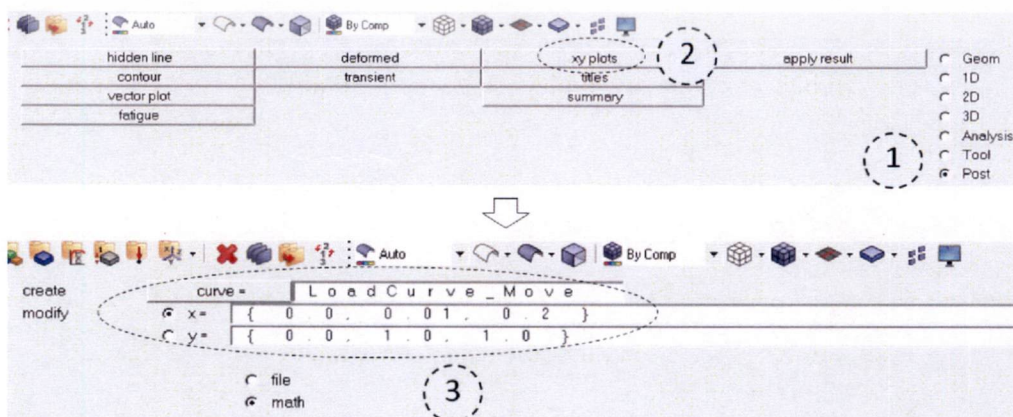
เอกสารนี้เป็นเอกสารรูปที่ 4.12 แสดงการกำหนดเงื่อนไขขอบเขตให้รางถูกยึดอยู่กับที่ไปใช้ประโยชน์ด้านการค้าไม่ว่ากรณีใดๆทั้งสิ้น อีกทั้งห้ามมิให้ดัดแปลงเนื้อหา และต้องอ้างอิงถึงเจ้าของเอกสารทุกครั้งที่มีการนำไปใช้

ภาระโหลดที่กระทำจากน้ำหนักกดเพลลา (P_R, P_L) ทั้งสองข้างๆละ 10 กิโลนิวตัน (kN) การสัมผัสระหว่างล้อและรางจะกำหนดด้วยการสัมผัสชนิด *CONTACT_SURFACE_TO_SURFACE โดยวิธีการ Penalty method [14] เพื่อคำนวณระหว่างการสัมผัส ซึ่งจะเป็นการสำคัญในการเก็บข้อมูลของแรงสัมผัสระหว่างล้อและราง เพื่อนำไปวิเคราะห์หาอัตราส่วนของ L/V ที่เกิดขึ้น และเงื่อนไขขอบเขตสุดท้าย คือ การกำหนดความสมมาตร (Symmetry) ตามแกน x ของแบบจำลองดังแสดงในรูปที่ 4.11 ซึ่งสามารถดูรายละเอียดแต่ละเงื่อนไขได้ดังรูปต่อไปนี้

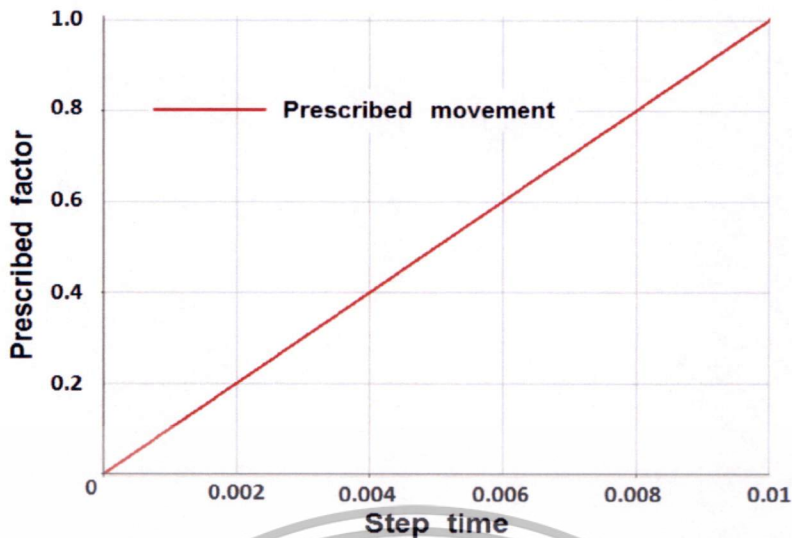


รูปที่ 4.13 แสดงเงื่อนไขขอบเขตการกำหนดน้ำหนักกดเพลลาทั้งสองด้านให้แบบจำลอง

เนื่องจากการจำลองเป็นการคำนวณแบบปริยายของกระบวนการสถิตย์เสมือน (Quasi-static) จึงต้องมีการกำหนดให้การเคลื่อนที่ของโหนดนำ (Pivot node) ตามช่วงเวลา (Step time) ที่เหมาะสม ซึ่งมีค่าเท่ากับ 0.0001 ดังภาคผนวก ข. และสามารถกำหนดได้ดังนี้



เอกสารนี้รูปที่ 4.14 แสดงการสร้างเส้นโหนดเพื่อกำหนดการเคลื่อนที่ในแนวด้านข้างของโหนดนำขั้นตอนการคำนวณว่ากรณีใดๆทั้งสิ้น อีกทั้งห้ามมิให้ตัดแปลงเนื้อหา และต้องอ้างอิงถึงเจ้าของเอกสารทุกครั้งที่มีการนำไปใช้



รูปที่ 4.15 แสดงเส้นโหลด (Load curve) ของการเคลื่อนที่ในแนวด้านข้างกับช่วงเวลา (Step time)

การกำหนดเส้นโหลด (Load curve) จากโปรแกรม Ls-dyna 971 จะมีความสำคัญต่อการแก้ปัญหา สติตย์เสมือน (Quasi-static) เนื่องจากมีความเกี่ยวข้องกับกระบวนการรวมเวลา (Time integration) ของช่วงเวลาซึ่งต้องการทราบผลการคำนวณอย่างต่อเนื่องของแรงสัมผัสจากเริ่มป็นราง ที่พื้นลื่นไปจนสิ้นสุดของบังใบล้อที่ห้วงการเคลื่อนที่จาก 0 ถึง 30 มิลลิเมตรด้วยตัวคูณการนำ (Prescribed factor) สูงสุดเท่ากับ 1 ดังแสดงในรูปที่ 4.14 และ รูปที่ 4.15

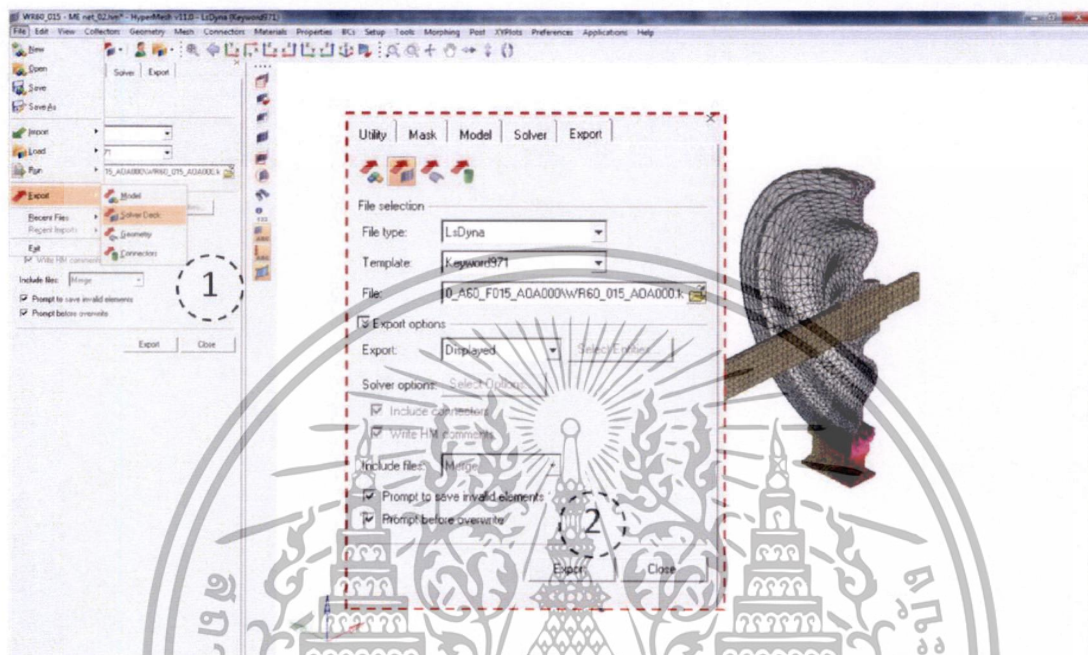


รูปที่ 4.16 แสดงการกำหนดให้โหนดนำ (Pivot node) เคลื่อนที่ในแนวด้านข้าง 30 มิลลิเมตร

การกำหนดเงื่อนไขขอบเขตการสัมผัสกันระหว่างล้อและรางจะถูกกำหนดด้วยการ์ดสัมผัสของ *CONTACT_SURFACE_TO_SURFACE ซึ่งจะต้องกำหนดสองส่วนประกอบหลัก คือผิวหลัก (Master surface) และผิวรอง (Slave surface) เป็นรางและล้อ ตามลำดับให้นำไปใช้ประโยชน์ด้านการคำนวณ ไม่ว่าจะเป็นกรณีใดๆทั้งสิ้น อีกทั้งห้ามมิให้ตัดแปลงเนื้อหา และต้องอ้างอิงถึงเจ้าของเอกสารทุกครั้งที่มีการนำไปใช้

4.3.7 การนำแบบจำลองไฟไนต์เอลิเมนต์ออกจากโปรแกรม Altair HyperWorks 11.0

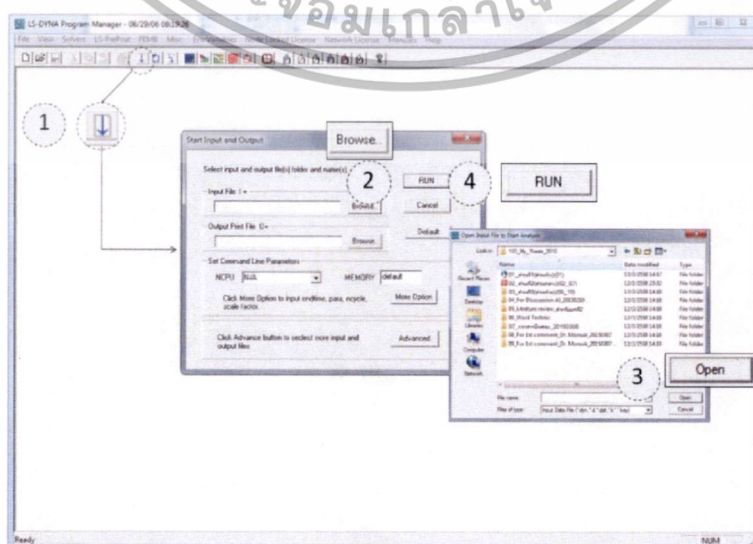
หลังจากสร้างแบบจำลอง และกำหนดเงื่อนไขขอบเขตเสร็จแล้วขั้นตอนต่อไปคือการนำแบบจำลองไฟไนต์เอลิเมนต์ออกจากโปรแกรม Altair HyperWorks 11.0 ไปสู่กระบวนการประมวลผลด้วยโปรแกรม Ls-Dyna 971 ด้วยไฟล์ *.k ซึ่งจะแสดงได้ดังรูปต่อไปนี้



รูปที่ 4.17 แสดงการนำแบบจำลองไฟไนต์เอลิเมนต์ออกจากโปรแกรม Altair HyperWorks 11.0

4.3.8 การประมวลผลแบบจำลองด้วยโปรแกรม Ls-Dyna 971

กระบวนการประมวลผลด้วยโปรแกรม Ls-Dyna 971 จากตัวจัดการโปรแกรม เพื่อเรียกไฟล์ของแบบจำลองไฟไนต์เอลิเมนต์ *.k จากนั้นก็เริ่มการประมวลผลด้วยการกดคำสั่ง RUN ดังแสดงในรูปที่ 4.18 เพื่อเริ่มประมวลผลแบบจำลองไฟไนต์เอลิเมนต์



รูปที่ 4.18 แสดงการนำแบบจำลองไฟไนต์เอลิเมนต์เข้าสู่การประมวลผลด้วยโปรแกรม Ls-Dyna 971
ไม่ว่ากรณีใดๆทั้งสิ้น อีกทั้งห้ามมิให้ตัดแปลงเนื้อหา และต้องอ้างอิงถึงเจ้าของเอกสารทุกครั้งที่มีการนำไปใช้

การประมวลผลของโปรแกรม Ls-Dyna 971 ใช้เวลาดำเนินการ (CPU time) ประมาณ 2 ชั่วโมงต่อการจำลอง เนื่องจากแบบจำลองไฟไนต์เอลิเมนต์มีขนาดใหญ่และมีความซับซ้อนของปัญหาตามเงื่อนไขขอบเขตที่ได้กล่าวข้างต้น

```

I=DA104_AL-1501_F0-1\wk O=DA104_AL-1501_F0-1\d3hsp NCPU=4 MEMORY=33850000

*** Mapping 60303 (IMP=302)
Using IGBP=1 may result in zero contact forces.
If this occurs set IGBP=2.
Number of uses of IGBP=1 is 3

input of data is completed

initial kinetic energy = 0.0000000E+00

The LS-DYNA time step size should not exceed 4.410E-08
to avoid contact instabilities. If the step size is
higher then scale the penalty of the offending surface.

Memory required to begin solution      : 43463723
Linearly dynamically allocated memory: 1457116
Additional dynamically allocated      : 16428923
Total: 55341762

initialization completed

dt of cycle      1 is controlled by solid      2143588 of part      6

time..... 0.00000E+00
time step..... 1.00000E-04
kinetic energy..... 0.00000E+00
internal energy..... 1.00000E-20
spring and damper energy..... 1.00000E-20
system damping energy..... 0.00000E+00
sliding interface energy..... 0.00000E+00
external work..... 0.00000E+00
eroded kinetic energy..... 0.00000E+00
eroded internal energy..... 0.00000E+00
eroded hourglass energy..... 0.00000E+00
total energy..... 1.00000E-20
energy ratio w/o eroded energy..... 1.00000E+00
global x velocity..... 0.00000E+00
global y velocity..... 0.00000E+00
global z velocity..... 0.00000E+00
1 t 0.00000E+00 dt 1.00E-04 write d3plot file      08/01/15 13:37:53
1 t 0.00000E+00 dt 1.00E-04 write d3plot file      08/01/15 13:37:53

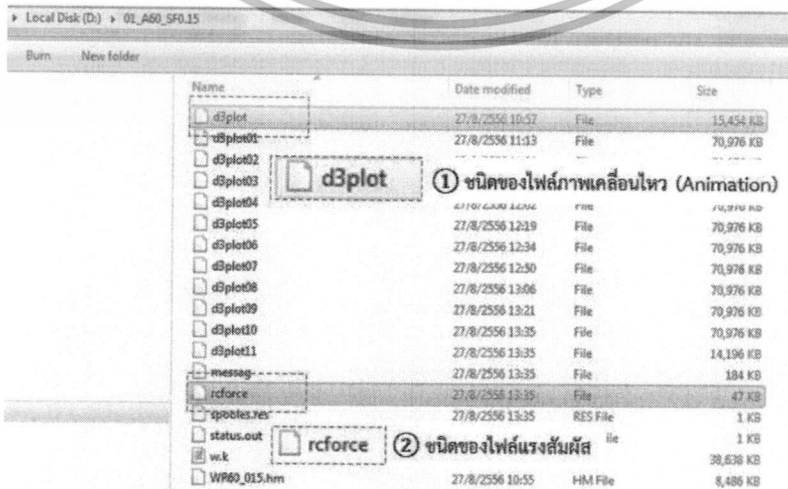
BEGIN implicit static step      1 t= 1.0000E-04
time = 1.00000E-04
current step size = 1.00000E-04
min. memory for in-core stiffness factorization= 1.00E+00
Iteration 1      width/initial = 1.00000E+00      rE1/EB1 = 5.4295945E-01
absolute tol 1.000E-03      1.000E-02      1.000E-03      1.000E-03      3.162E-02      3.162E-02
DIVERGENCE (increasing translational residual norm) detected:
curved norm 2.335E-06 exceeds preset maximum 2.213E-04

automatically REFORMING stiffness matrix...
Iteration 2      width/initial = 1.00000E+00      rE1/EB1 = 4.4240012E-01
absolute tol 1.000E-03      1.000E-02      1.000E-03      1.000E-03      3.162E-02      3.162E-02
Iteration 3      width/initial = 1.5727103E-01      rE1/EB1 = 5.0145214E-03
absolute tol 1.000E-03      1.000E-02      1.000E-03      1.000E-03      3.162E-02      3.162E-02
Equilibrium established after 3 iterations      08/01/15 13:37:53
    
```

รูปที่ 4.19 แสดงการประมวลผลด้วยโปรแกรม Ls-Dyna 971

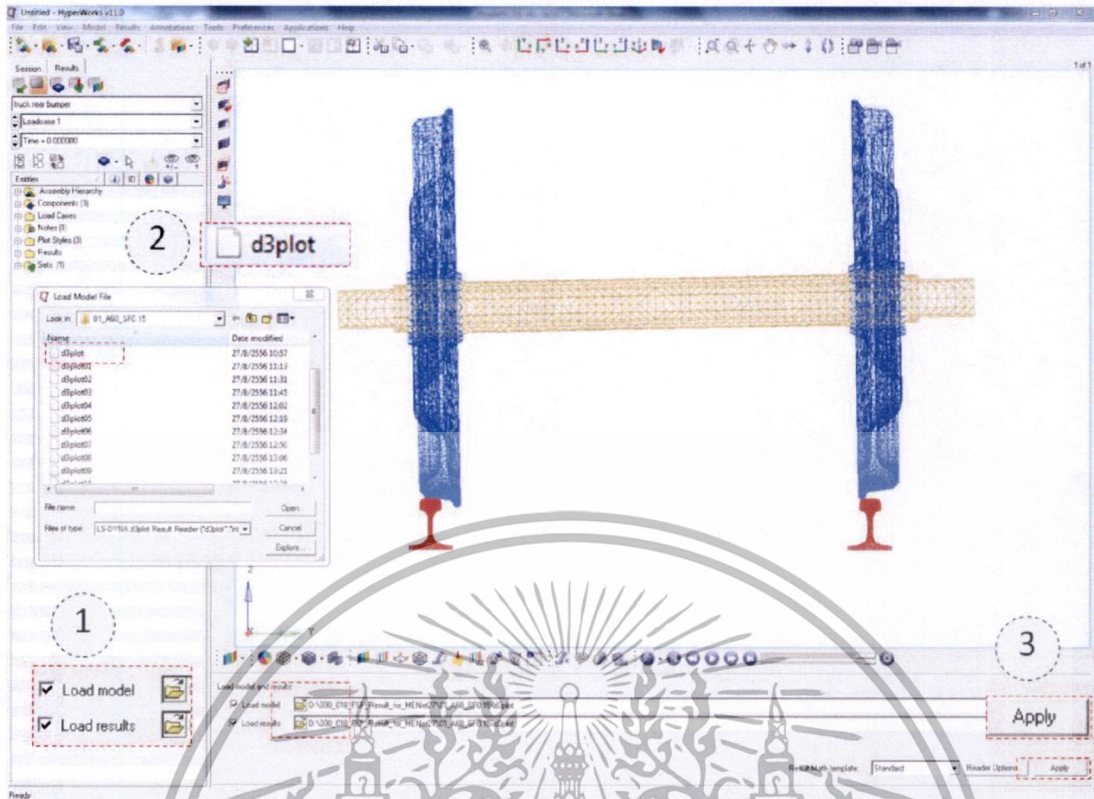
4.3.9 การแสดงผลการจำลองด้วยโปรแกรม Altair HyperWorks 11.0

การแสดงผลการจำลองเป็นขั้นตอนสุดท้ายหลังจากการประมวลผลจาก Ls-Dyna 971 ผลที่ได้สามารถแสดงเป็นภาพเคลื่อนไหว (Animation) การมีนร่างของชุดล้อโดยเลือกไฟล์ชื่อ d3plot จากโปรแกรม HyperView ตั้งแสดงในรูปต่อไปนี้



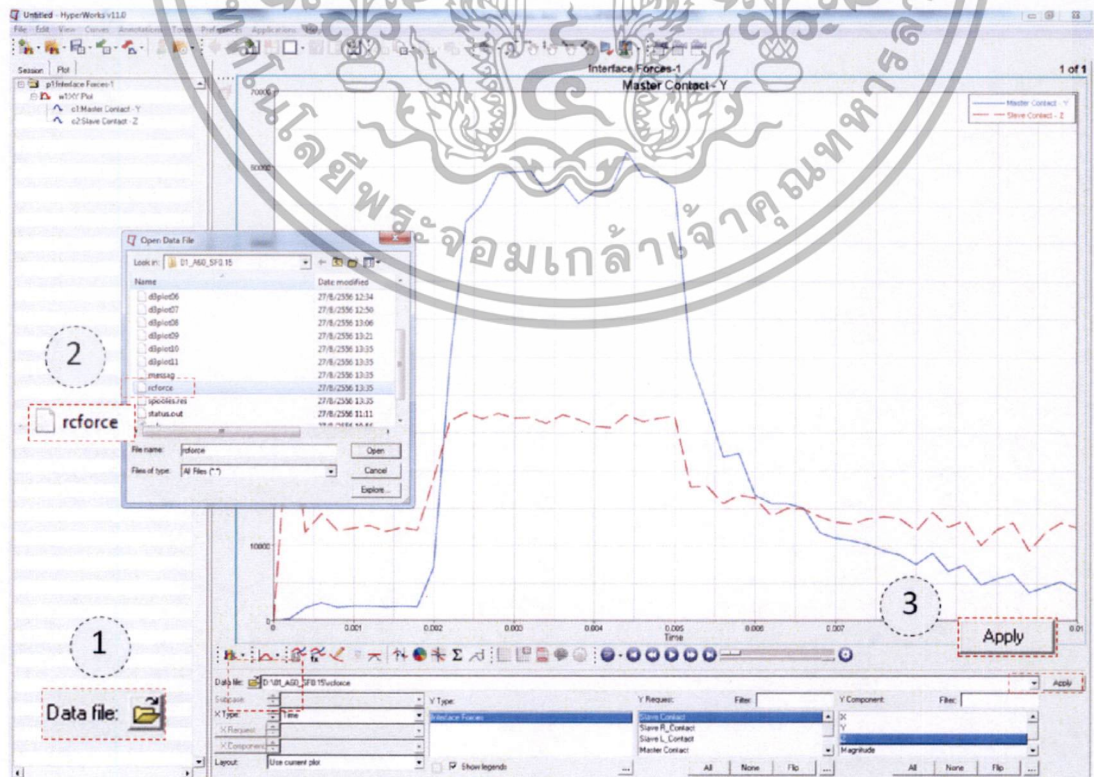
รูปที่ 4.20 แสดงชนิดของไฟล์ที่ได้จากการประมวลผล

เอกสารนี้เป็นเอกสารที่สงวนลิขสิทธิ์การเขียนเพื่อใช้ศึกษาเท่านั้น ไม่ควรเผยแพร่ให้ผู้อื่นได้โดยไม่ได้รับอนุญาตให้นำไปใช้ประโยชน์ด้านการค้าไม่ว่ากรณีใดๆทั้งสิ้น อีกทั้งห้ามมิให้ตัดแปลงเนื้อหา และต้องอ้างอิงถึงเจ้าของเอกสารทุกครั้งที่มีการนำไปใช้



รูปที่ 4.21 แสดงการแสดงผลจากภาพเคลื่อนไหวด้วยโปรแกรม HyperView

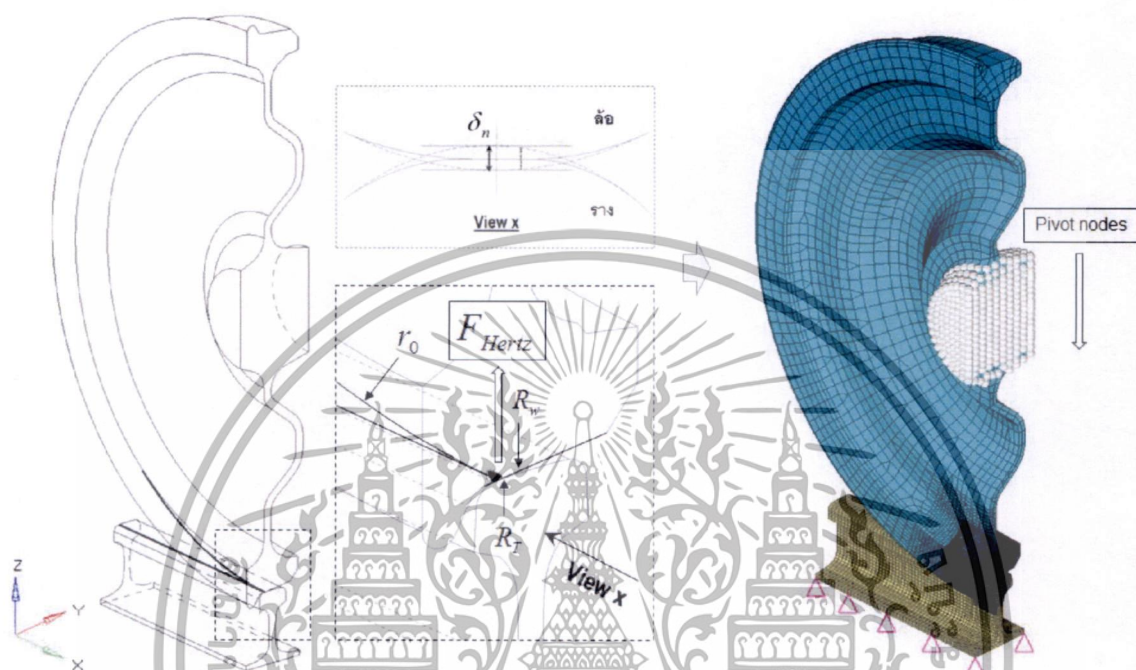
ส่วนข้อมูลกราฟของแรงสัมผัสจะถูกเก็บไว้ที่ชื่อไฟล์ rcfrcse ที่ตำแหน่งเดียวกัน และสามารถเปิดด้วยโปรแกรม HyperGraph ดังแสดงในรูปต่อไปนี้



เอกสารนี้เป็นเอกสารที่ 4.22 แสดงการแสดงผลกราฟของแรงสัมผัสด้วยโปรแกรม HyperGraph ระโยชน์ด้านการค้า
ไม่ว่ากรณีใดๆทั้งสิ้น อีกทั้งห้ามมิให้ดัดแปลงเนื้อหา และต้องอ้างอิงถึงเจ้าของเอกสารทุกครั้งที่มีการนำไปใช้

4.4 การพิสูจน์ความถูกต้อง

การพิสูจน์ความถูกต้องของแบบจำลองเป็นสิ่งสำคัญในการวิจัยนี้เพื่อประเมินแบบจำลองเทียบกับผลเฉลยแม่นยำตรงตามทฤษฎีการสัมผัสของเฮิร์ตซ์ โดยสร้างแบบจำลองไฟไนต์เอลิเมนต์ล้อเดี่ยวสัมผัสเพื่อจำลองหาแรงสัมผัสตั้งฉากระหว่างล้อและรางที่เกิดขึ้น



รูปที่ 4.23 แสดงแบบจำลองการตรวจสอบของล้อเดี่ยวสัมผัส

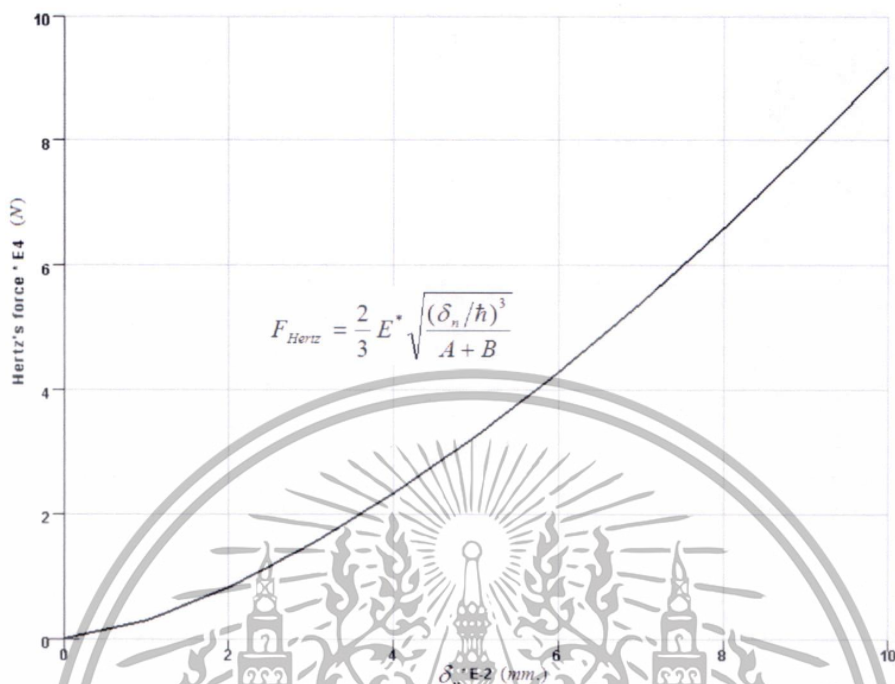
การคำนวณหารผลเฉลยแม่นยำตรงตามทฤษฎีการสัมผัสของเฮิร์ตซ์ เพื่อหาแรงสัมผัสของเฮิร์ตซ์ ดังสมการที่ (3.3) สามารถคำนวณ ซึ่งวิธีการคำนวณได้จากภาคผนวก ค.

ตารางที่ 4.3 แสดงผลการคำนวณแรงสัมผัสของเฮิร์ตซ์กับการยุบตัวระหว่างล้อและราง

| ระยะยุบตัวระหว่างล้อและราง δ_n (mm) | แรงสัมผัสของเฮิร์ตซ์ (N) |
|--|--------------------------|
| 0 | 0 |
| 0.01 | 2,910.55 |
| 0.02 | 8,232.29 |
| 0.03 | 15,123.68 |
| 0.04 | 23,284.42 |
| 0.05 | 32,540.97 |
| 0.06 | 42,776.22 |
| 0.07 | 53,904.19 |
| 0.08 | 65,858.29 |
| 0.09 | 78,584.93 |
| 0.10 | 92,039.76 |

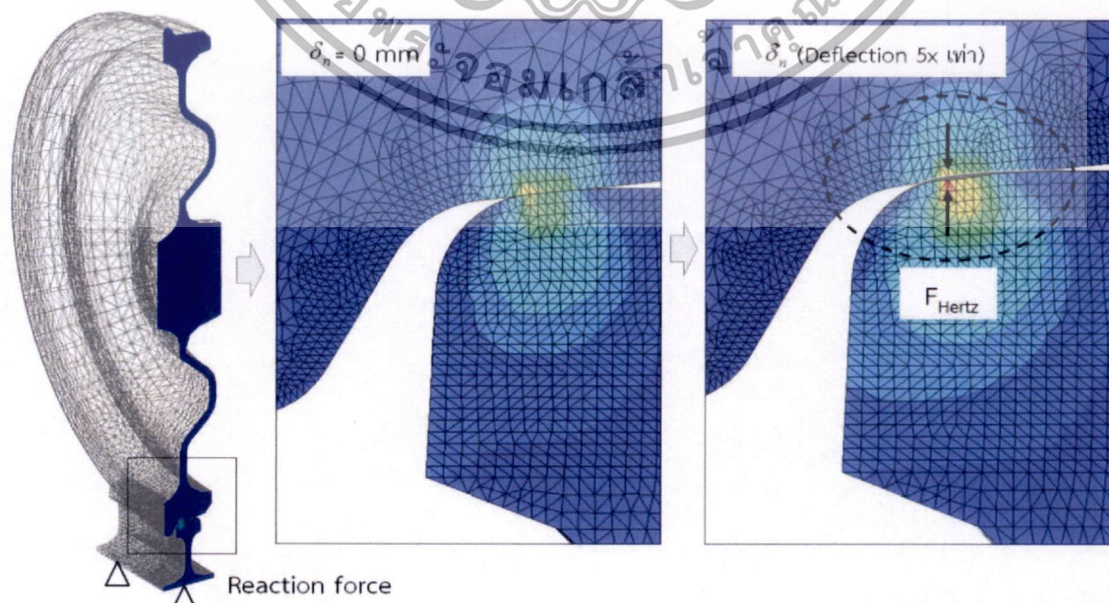
เอกสารนี้เป็นเอกสารที่สงวนไว้สำหรับการใช้งานเพื่อการศึกษาเท่านั้น ไม่อนุญาตให้นำไปใช้ประโยชน์ด้านการค้าไม่ว่ากรณีใดๆทั้งสิ้น อีกทั้งห้ามมิให้ดัดแปลงเนื้อหา และต้องอ้างอิงถึงเจ้าของเอกสารทุกครั้งที่มีการนำไปใช้

จากตารางที่ 4.3 สามารถนำมาเขียนกราฟโดยมีแกนตั้งเป็นแรงสัมผัสของเฮิร์ตซ์ มีหน่วยเป็นนิวตัน (N) แกนนอนเป็นระยะการยุบตัวของราง (δ_n) มีหน่วยเป็นมิลลิเมตร (mm) ได้ดังนี้



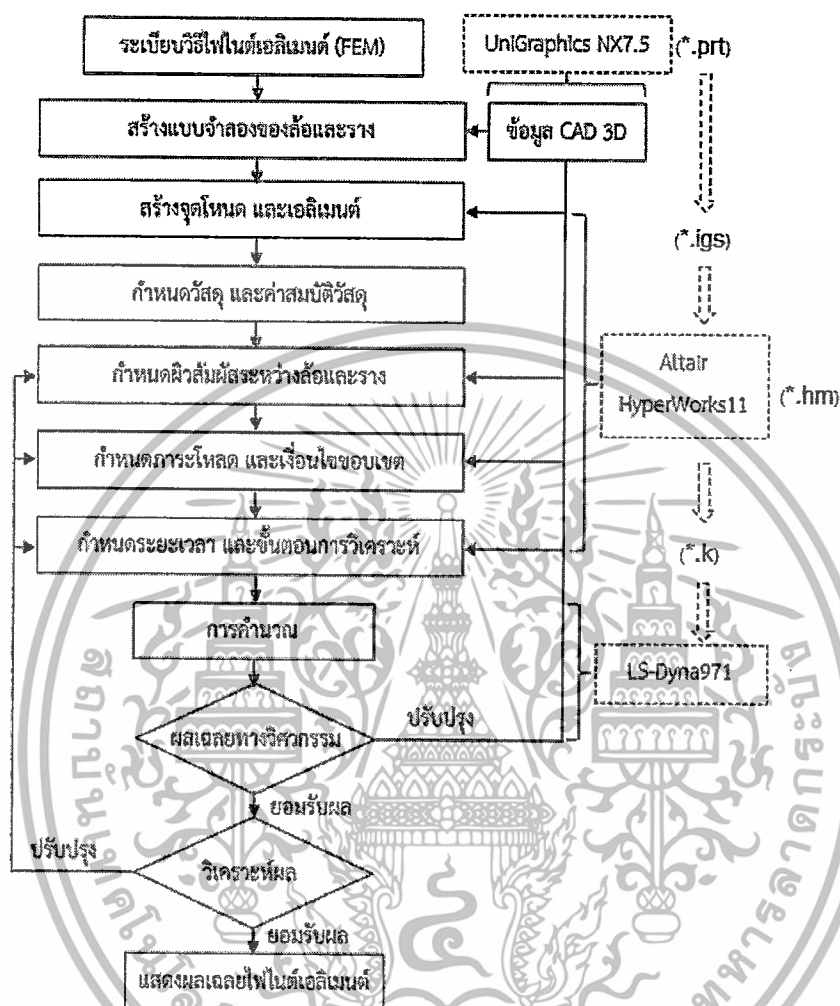
รูปที่ 4.24 กราฟแสดงแรงสัมผัสของเฮิร์ตซ์กับระยะยุบตัวระหว่างล้อและราง

การสร้างแบบจำลองล้อเดียวอย่างง่ายจะเป็นการเลือกเฉพาะล้อและรางเพียงด้านเดียวจากหัวข้อที่ผ่านมาทำการจำลอง เนื่องจากการตรวจสอบแบบจำลองจะเป็นการจำลองหาแรงตั้งฉากที่เกิดขึ้นระหว่างล้อและราง ดังนั้นขั้นตอนการจำลองต่างๆสามารถอ้างอิงจากหัวข้อที่ผ่านมาได้ การกำหนดเงื่อนไขขอบเขต โดยจะกำหนดให้ล้อเดียวเคลื่อนที่ลงในแนวตั้งด้วยโหนดนำ จากสภาวะสัมผัสปกติจนเกิดการยุบตัวจากกลไกการสัมผัส เพื่อหาแรงตั้งฉากที่จุดสัมผัสที่เกิดขึ้น



เอกสารนี้เป็นรูปที่ 4.25 แสดงการจำลองแรงสัมผัสของเฮิร์ตซ์กับระยะยุบตัวระหว่างล้อและราง โยชน์ด้านการค้า ไม่ว่ากรณีใดๆทั้งสิ้น อีกทั้งห้ามมิให้ดัดแปลงเนื้อหา และต้องอ้างอิงถึงเจ้าของเอกสารทุกครั้งที่มีการนำไปใช้

จากการจำลองด้วยระเบียบวิธีไฟไนต์เอลิเมนต์ดังกล่าวมาในงานวิจัยนี้ สามารถเขียนเป็นแผนภูมิ ตั้งแต่เริ่มสร้างแบบจำลองจนกระทั่งแสดงผลเฉลยไฟไนต์เอลิเมนต์ด้วยโปรแกรมคอมพิวเตอร์ UniGraphics NX7.5, Altair HyperWorks 11.0 และ Ls-Dyna 971 ได้ดังนี้



รูปที่ 4.26 แสดงแผนภูมิการจำลองด้วยระเบียบวิธีไฟไนต์เอลิเมนต์

เอกสารนี้เป็นเอกสารที่สงวนไว้สำหรับการใช้งานเพื่อการศึกษาเท่านั้น ไม่อนุญาตให้นำไปใช้ประโยชน์ด้านการค้า ไม่ว่ากรณีใดๆทั้งสิ้น อีกทั้งห้ามมิให้ตัดแปลงเนื้อหา และต้องอ้างอิงถึงเจ้าของเอกสารทุกครั้งที่มีการนำไปใช้

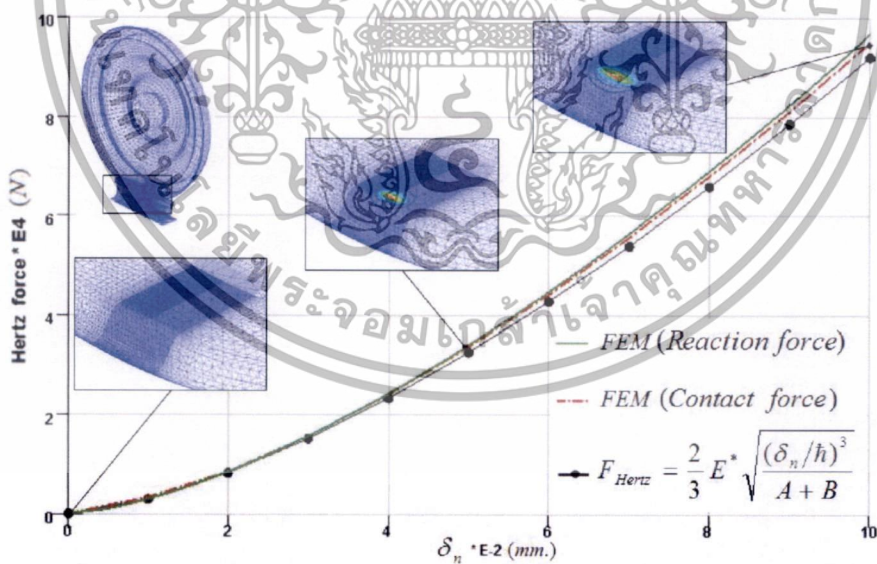
บทที่ 5

ผลการวิจัยและการวิเคราะห์ผล

บทนี้จะกล่าวถึงผลลัพธ์ที่ได้จากการจำลองการตรึงจากระเบียบวิธีไฟไนต์เอลิเมนต์ โดยแบ่งออกเป็น สองส่วนหลักๆ คือ ผลการพิสูจน์ความถูกต้องของแบบจำลองล้อเดี่ยวสัมผัสของแรงตั้งฉากของเฮิร์ตซ์ และผลพิกัดความปลอดภัยของการตรึงจากผลการจำลองของอัตราส่วนแรงสัมผัสในแนวด้านข้างต่อแรงในแนวตั้งหรืออัตราส่วน L/V ส่วนการปรับเปลี่ยนค่าตัวแปรของมุมบังใบล้อสัมผัส ค่าสัมประสิทธิ์ความเสียดทานระหว่างล้อและราง และมุมปะทะของล้อจะส่งผลต่อพิกัดความปลอดภัยของการตรึงซึ่งจะกล่าวรายละเอียดไว้ในบทนี้

5.1 การศึกษาผลการพิสูจน์ความถูกต้องของแบบจำลองล้อเดี่ยวสัมผัส

ผลการพิสูจน์ความถูกต้องของแบบจำลองจากแรงสัมผัสที่เกิดขึ้นระหว่างล้อและรางจากการจำลองด้วยโปรแกรมคอมพิวเตอร์เป็นข้อมูลสำคัญ เนื่องจากได้ผ่านการลองผิดลองถูกกับแบบจำลองอย่างง่ายหลายๆครั้ง ทั้งวิธีการคำนวณ การสร้างแบบจำลอง การเลือกใช้วัสดุจำลองการเลือกจำนวนและชนิดของเอลิเมนต์ เพื่อให้ได้ผลที่สอดคล้องกับผลทางทฤษฎีก่อนนำไปประยุกต์ใช้กับแบบจำลองที่ซับซ้อน จากผลของแบบจำลองดังกล่าวสามารถเปรียบเทียบกับผลการคำนวณด้วยสูตรจากสมการที่ (3.3) และนำมาเขียนกราฟ ได้ดังนี้

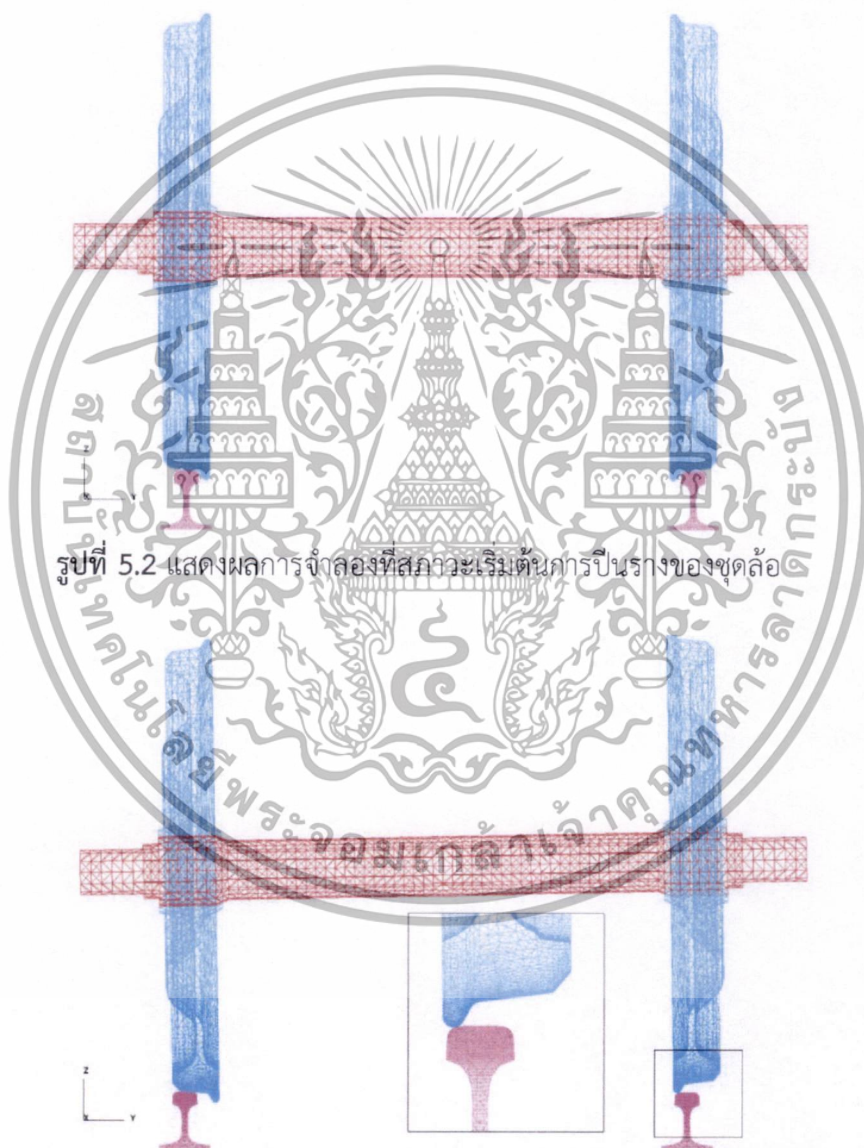


รูปที่ 5.1 กราฟแสดงการเปรียบเทียบแรงสัมผัสกับระยะยุบตัวของล้อเดี่ยว

จากกราฟจะเห็นว่าผลการจำลองมีค่าสอดคล้องและยอมรับได้เมื่อเทียบกับผลจากการคำนวณจากทฤษฎีดังแสดงในรูปที่ 5.1 และแบบจำลองการสัมผัสล้อเดี่ยวดังกล่าวจะมีความซับซ้อนน้อยกว่าแบบจำลองล้อการป็นรางของล้อพร้อมเพลลา แต่ขั้นตอนจำลอง ชนิดเอลิเมนต์ เงื่อนไขขอบเขต วัสดุจำลองจะคล้ายกันซึ่งสามารถนำแบบจำลองไฟไนต์เอลิเมนต์ดังกล่าวมาประยุกต์ใช้ในการจำลองการป็นรางของล้อซึ่งมีความซับซ้อนมากกว่างานเพื่อการศึกษาเท่านั้น ไม่อนุญาตให้นำไปใช้ประโยชน์ด้านการค้าไม่ว่ากรณีใดๆทั้งสิ้น อีกทั้งห้ามมิให้ดัดแปลงเนื้อหา และต้องอ้างอิงถึงเจ้าของเอกสารทุกครั้งที่มีการนำไปใช้

5.2 การศึกษาพิกัดความปลอดภัยของการตรึงจากอิทธิพลของมุมบังใบล้อยัมผัส ค่าสัมประสิทธิ์ความเสียดทานระหว่างล้อและราง

ผลจากการจำลองการตรึงเนื่องจากล้อยัมผัสรางด้วยระเบียบวิธีไฟไนต์เอลิเมนต์ของชุดล้อ ภายใต้กระบวนการสถิตย์เสมือนซึ่งสามารถตรวจสอบสถานะดังกล่าวได้ที่ภาคผนวก ง. ค่าพิกัดความปลอดภัยของการตรึงจากอิทธิพลของมุมบังใบล้อยัมผัสที่ 60° 65° และ 70° โดยแต่ละแบบจำลอง จะมีการปรับเปลี่ยนค่าสัมประสิทธิ์ความเสียดทานระหว่างล้อและรางเป็น 0.15 0.25 และ 0.35 ซึ่งทุกแบบจำลองจะกำหนดชนิดเอลิเมนต์ วัสดุ เงื่อนไขขอบเขต น้ำหนักกดเพลลาเป็นแบบเดียวกัน



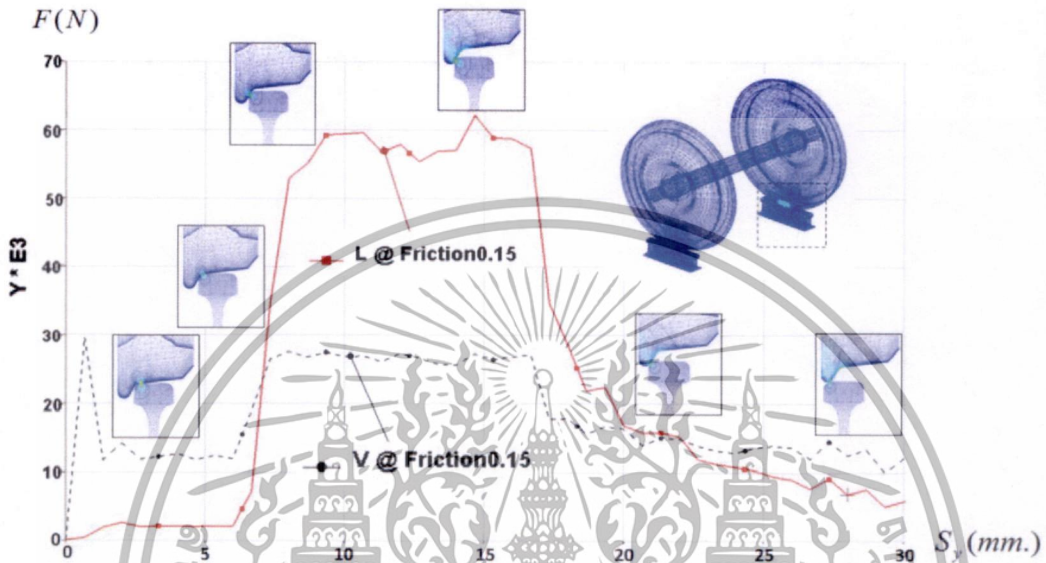
รูปที่ 5.2 แสดงผลการจำลองที่สถานะเริ่มต้นการป็นรางของชุดล้อ

รูปที่ 5.3 แสดงผลการจำลองที่สภาวะสุดท้ายการป็นรางของชุดล้อ

5.2.1 ผลการวิเคราะห์แรงสัมผัสระหว่างล้อและรางจากการจำลอง

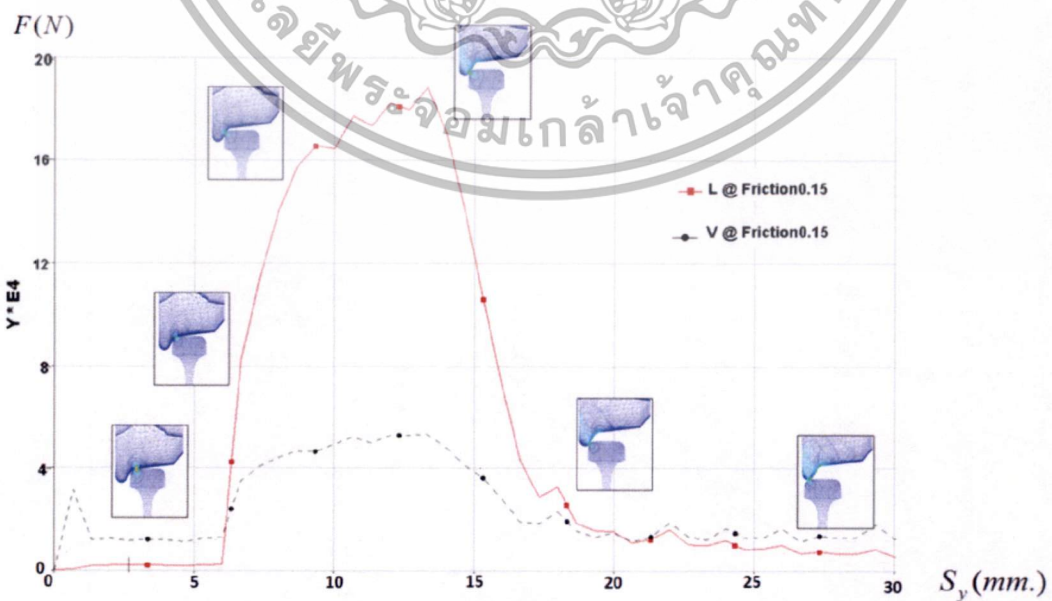
ผลจากการจำลองการป็นรางด้วยระเบียบวิธีไฟไนต์เอลิเมนต์ของชุดล้อพร้อมเพลลาดังรูปที่ 5.4 เป็นกรัฟแสดงควมสัมพันธ์ระหว่างแรงสัมผัสในแนวตั้ง F_z และแนวูดันข้าง F_y กับระยะการค้ำไม่ว่ากรณีใดๆทั้งสิ้น อีกทั้งห้ามมิให้ตัดแปลงเนื้อหา และต้องอ้างอิงถึงเจ้าของเอกสารทุกครั้งที่มีการนำไปใช้

เคลื่อนที่ในแนวด้านข้าง S_y โดยมีแกนแนวตั้งกับแนวนอนเป็นแกนของแรง F มีหน่วยเป็นนิวตัน และระยะการเคลื่อนที่ในแนวด้านข้างมีหน่วยเป็นมิลลิเมตร ตามลำดับ แรงที่ได้จากการจำลองการป็นรางด้วยระเบียบวิธีไฟไนต์เอลิเมนต์ของบั้งใบล้อยจะแสดงผลตั้งแต่เริ่มการป็นที่พื้นล้อยจนกระทั่งสิ้นสุดที่หัวราง ซึ่งจะเห็นแรงที่กระทำระหว่างล้อยและรางเป็นสภาวะต่อเนื่องจากเริ่มต้นจนสิ้นสุดของการป็นตามระยะการเคลื่อนที่ของล้อยในแนวด้านข้าง S_y



รูปที่ 5.4 กราฟแสดงผลการจำลองของแรงกับระยะการเคลื่อนที่ในแนวด้านข้าง ที่มุม $\delta = 60^\circ$

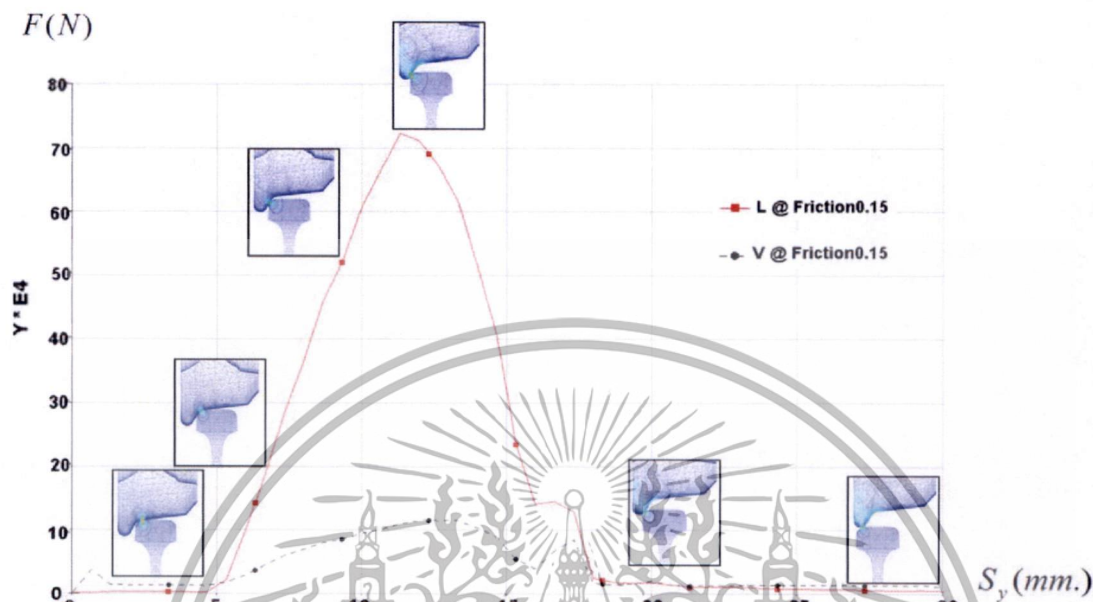
กราฟของแรงสัมผัสที่เกิดขึ้นแนวตั้ง V และแนวด้านข้าง L ในช่วงแรกที่ระยะ 0 ถึง 6 มิลลิเมตร ของการป็นเป็นแรงจากการสัมผัสที่บริเวณพื้นล้อย โดยแรงทั้งสองแนวจะมีค่าคงที่ และแรงแนวตั้ง V จะมีค่ามากกว่าแรงแนวด้านข้าง L อันเนื่องมาจากผลของน้ำหนักกดเพลลาทั้งสองข้าง



รูปที่ 5.5 กราฟแสดงผลการจำลองของแรงกับระยะการเคลื่อนที่ในแนวด้านข้าง ที่มุม $\delta = 65^\circ$

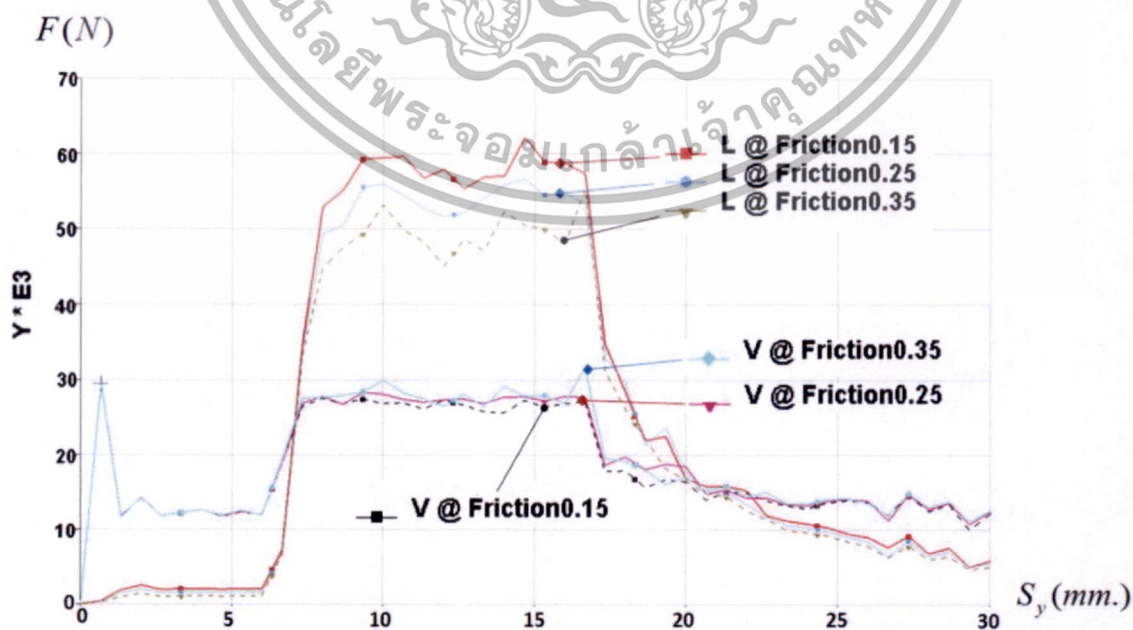
เอกสารนี้เป็นเอกสารที่สงวนไว้สำหรับการใช้งานเพื่อการศึกษาเท่านั้น ไม่อนุญาตให้นำไปใช้ประโยชน์ด้านการค้า ไม่ว่ากรณีใดๆทั้งสิ้น อีกทั้งห้ามมิให้ดัดแปลงเนื้อหา และต้องอ้างอิงถึงเจ้าของเอกสารทุกครั้งที่มีการนำไปใช้

แรงแนวด้านข้าง L ในช่วงแรกจะมีค่าน้อย เนื่องจากการเคลื่อนไถล ระหว่างพื้นลื้อและราง และจะเริ่มมีค่ามากขึ้นจนกระทั่งสูงสุด เมื่อรัศมีส่วนปลายของบังใบลื้อถึงหัวราง จากนั้นจะมีค่าลดลงเมื่อส่วนปลายของบังใบลื้อเคลื่อนที่เริ่มเข้าใกล้บริเวณรัศมีความโค้งหัวราง



รูปที่ 5.6 กราฟแสดงผลการจำลองของแรงกับระยะการเคลื่อนที่ในแนวด้านข้าง ที่มุม $\delta = 70^\circ$

ค่าของมุมบังใบลื้อสัมผัสที่เพิ่มขึ้นจากมุม 60° 65° และ 70° แรงที่ต้องใช้ในการปีนรางในแต่ละแนวก็จะมีค่าเพิ่มมากขึ้นอย่างเห็นได้ชัด ดังแสดงในรูปที่ 5.4 - 5.6 ตามลำดับ สำหรับค่าสัมประสิทธิ์ความเสียดทานที่เพิ่มขึ้น แรงแนวตั้ง V จะมีค่าลดลง ส่วนแรงในแนวด้านข้าง L จะมีค่าใกล้เคียงกันดังแสดงในรูปที่ 5.7

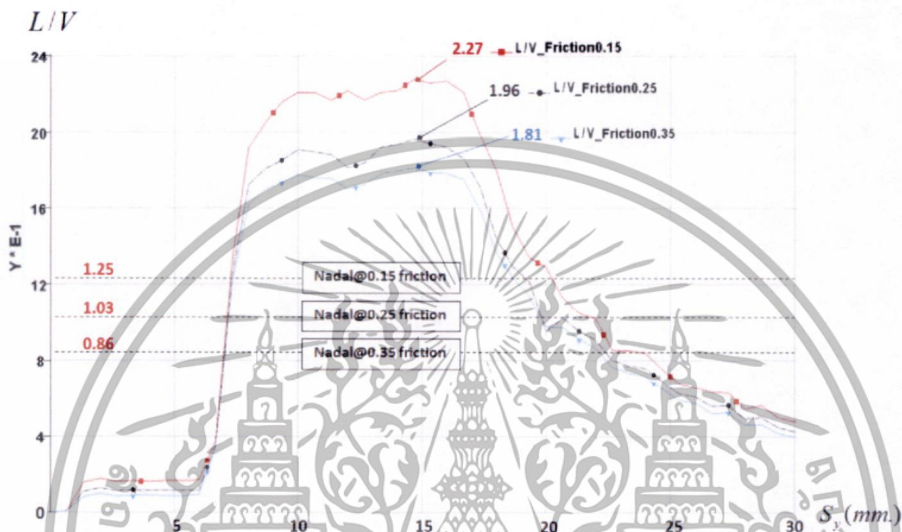


รูปที่ 5.7 กราฟเปรียบเทียบผลการจำลองของแรง L และ V กับระยะการเคลื่อนที่ในแนวด้านข้าง

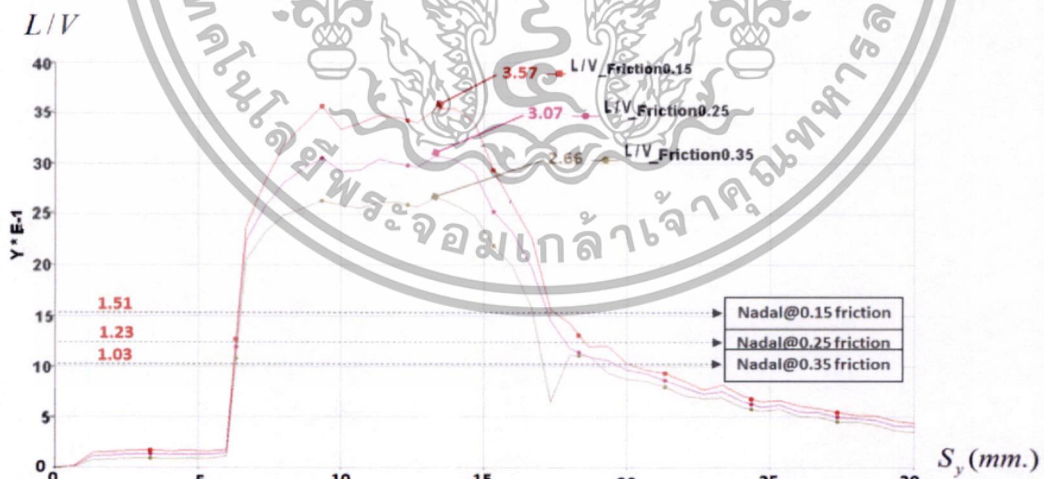
เอกสารนี้เป็นเอกสารที่สงวนลิขสิทธิ์ความเสียดทาน 0.15, 0.25 และ 0.35 ให้นำไปใช้ประโยชน์ด้านการค้าไม่ว่ากรณีใดๆทั้งสิ้น อีกทั้งห้ามมิให้ดัดแปลงเนื้อหา และต้องอ้างอิงถึงเจ้าของเอกสารทุกครั้งที่มีการนำไปใช้

5.2.2 ผลการวิเคราะห์ที่กักความปลอดภัยของการตรวงจากการจำลอง

อัตราส่วนแรงในแนวด้านข้างต่อแนวตั้ง L/V ที่เกิดขึ้นสูงสุด คือค่าที่กักความปลอดภัยของการตรวงเนื่องจากล้อยปืนราง ค่าที่กักที่มุมบังใบล้อสัมผัส 60° 65° และ 70° สามารถทำได้ โดยการนำข้อมูลกราฟในแนวด้านข้างและแนวตั้งทั้งสองเส้น ดังแสดงในรูปที่ 5.4 - 5.6 ตามลำดับ ไปหารกันด้วยค่าสั่งของโปรแกรมคอมพิวเตอร์ จากนั้นนำผลที่ได้มาเขียนกราฟใหม่โดยแกนตั้งคือที่กักความปลอดภัยของการตรวง ส่วนแกนนอนคือระยะการปืนราง S_y ที่มุมบังใบล้อสัมผัสต่างๆ ดังนี้



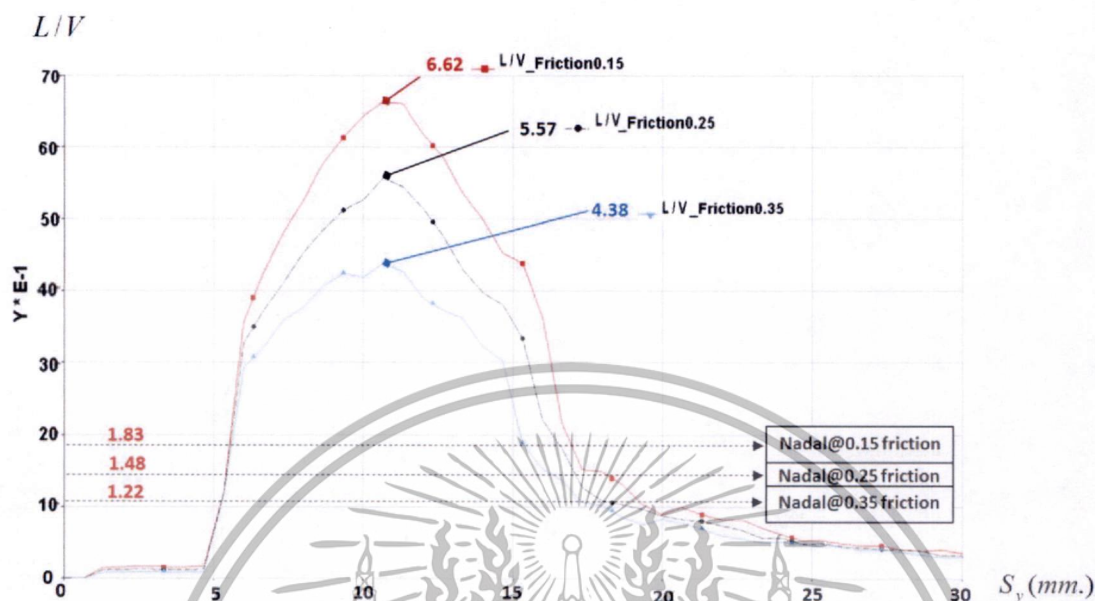
รูปที่ 5.8 กราฟเปรียบเทียบที่กักความปลอดภัยของการตรวง L/V กับที่กักความปลอดภัยของนาดาล ที่ค่าสัมประสิทธิ์ความเสียดทาน 0.15 0.25 และ 0.35 ของมุม $\delta = 60^\circ$



รูปที่ 5.9 กราฟเปรียบเทียบที่กักความปลอดภัยของการตรวง L/V กับที่กักความปลอดภัยของนาดาล ที่ค่าสัมประสิทธิ์ความเสียดทาน 0.15 0.25 และ 0.35 ของมุม $\delta = 65^\circ$

เส้นโค้งด้านบนทั้งสามเส้น คือเส้นของที่กักการตรวงจากการจำลองที่ค่าสัมประสิทธิ์ความเสียดทานต่างๆ ซึ่งมีค่าสูงสุดตรงบริเวณ 15 13 11 มิลลิเมตร ตามระยะการปืนรางของมุมบังใบล้อสัมผัส 60° 65° และ 70° ตามลำดับ ซึ่งจะเห็นว่ายิ่งมุมบังใบล้อมีความชันมากขึ้นค่าที่กักความปลอดภัยของการตรวงนี้เป็นเอกสารที่สงวนไว้สำหรับการใช้งานเพื่อการศึกษาเท่านั้น ไม่อนุญาตให้นำไปใช้ประโยชน์ด้านการค้าไม่ว่ากรณีใดๆทั้งสิ้น อีกทั้งห้ามมิให้ดัดแปลงเนื้อหา และต้องอ้างอิงถึงเจ้าของเอกสารทุกครั้งที่มีการนำไปใช้

ตกรางก็จะสูงขึ้น ที่ระยะการปั่นลดลง นั้นแสดงว่าความชันของมุมบังใบล้อสัมผัสที่มากขึ้นจะทำให้การตกรางเนื่องจากล้อปั่นรางยากขึ้น



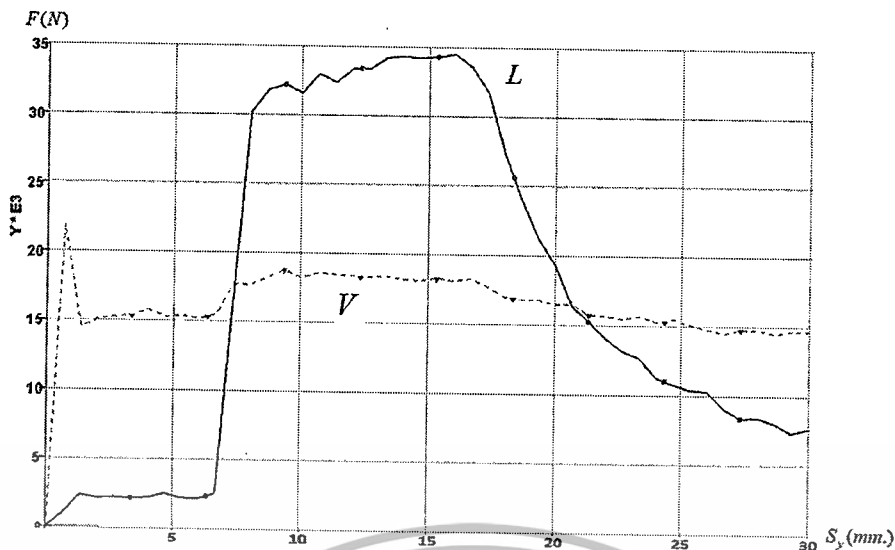
รูปที่ 5.10 กราฟเปรียบเทียบพิกัดความปลอดภัยของการตกราง L/V กับพิกัดความปลอดภัยของขนาดล ที่ค่าสัมประสิทธิ์ความเสียดทาน 0.15 0.25 และ 0.35 ของมุม $\delta = 70^\circ$

เส้นตรงด้านล่างทั้งสามเส้นในรูปที่ 5.8 – 5.10 คือค่าพิกัดความปลอดภัยของขนาดล ที่ค่าสัมประสิทธิ์ความเสียดทานต่างๆ จากรูปแสดงให้เห็นว่าพิกัดความปลอดภัยของการตกรางที่ได้จากการจำลองด้วยระเบียบวิธีไฟไนต์เอลิเมนต์มีความสอดคล้องกับพิกัดความปลอดภัยของขนาดล คือค่าสัมประสิทธิ์ความเสียดทานที่ลดลง มุมบังใบล้อที่เพิ่มขึ้นจะส่งผลให้ค่าพิกัดความปลอดภัยของการตกรางเนื่องจากล้อปั่นรางสูงขึ้น ซึ่งเป็นกรช่วยหลีกเลี่ยงการตกรางได้มากขึ้น แต่พิกัดความปลอดภัยของการตกรางที่ได้จากการจำลองด้วยระเบียบวิธีไฟไนต์เอลิเมนต์จะมีความมากกว่าพิกัดความปลอดภัยของขนาดล เนื่องจากพิกัดความปลอดภัยของขนาดลจะเป็นการพิจารณาการปั่นรางของบังใบล้อสัมผัสด้านเดียวที่พิจารณาความสัมพันธ์เฉพาะมุมบังใบล้อสัมผัส และค่าสัมประสิทธิ์ความเสียดทาน ดังนั้นพิกัดความปลอดภัยของขนาดลจึงให้ค่าน้อยกว่าพิกัดความปลอดภัยของการตกรางจากการจำลองด้วยระเบียบวิธีไฟไนต์เอลิเมนต์

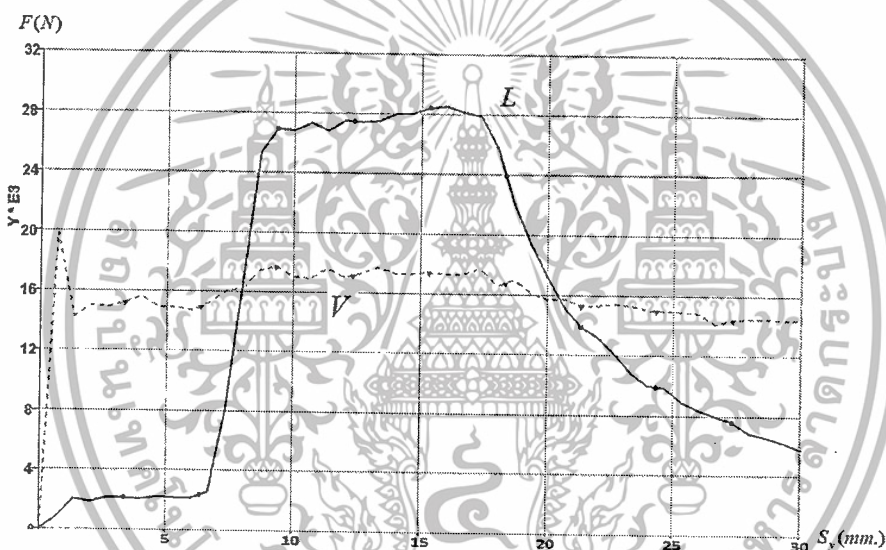
5.3 การศึกษาพิกัดความปลอดภัยของการตกรางจากอิทธิพลของมุมปะทะของล้อ

จากหัวข้อที่ผ่านมาเป็นการพิจารณาพิกัดความปลอดภัยของการตกรางเนื่องจากล้อปั่นรางที่มุมปะทะของล้อเป็นศูนย์ ($\psi = 0$) หัวข้อนี้จะศึกษาของมุมปะทะของล้อที่ส่งผลต่อพิกัดการปั่นราง ซึ่งเป็นตัวแปรที่สำคัญของการปั่นรางเนื่องจากสอดคล้องกับการวิ่งของขบวนรถไฟ มุมปะทะของล้อ (ψ) ที่ใช้ในการศึกษา คือ 0° 0.25° 0.50° 0.75° 1.0° 1.25° และ 1.50° ส่วนมุมบังใบล้อสัมผัส ค่าสัมประสิทธิ์ความเสียดทานที่ใช้ คือ 60° และ 0.15 ตามลำดับ สำหรับกราฟของแรงที่มุมปะทะของล้อ $\psi = 0^\circ$ สามารถดูได้จาก รูปที่ 5.4 และมุมที่เหลือแสดงได้ ดังต่อไปนี้

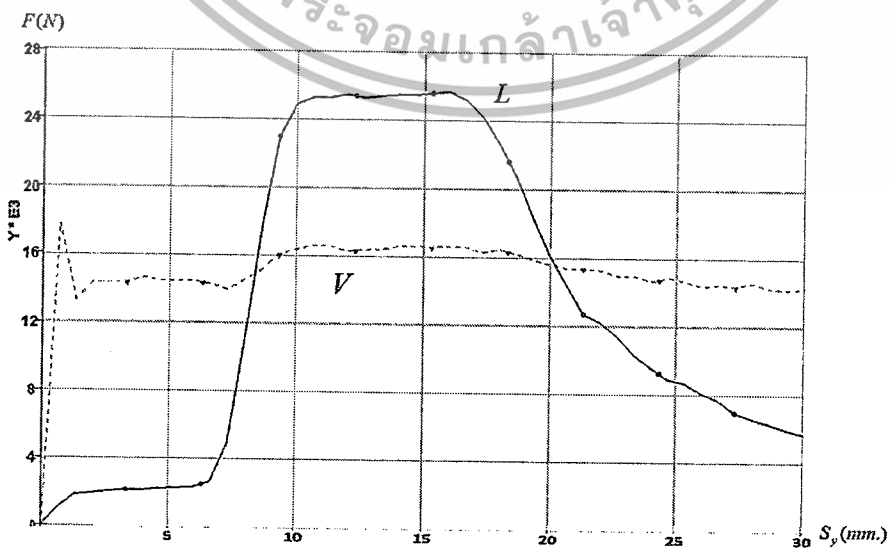
เอกสารนี้เป็นเอกสารที่สงวนไว้สำหรับการใช้งานเพื่อการศึกษาดูเท่านั้น ไม่อนุญาตให้นำไปใช้ประโยชน์ด้านการค้า ไม่ว่าจะกรณีใดๆทั้งสิ้น อีกทั้งห้ามมิให้ดัดแปลงเนื้อหา และต้องอ้างอิงถึงเจ้าของเอกสารทุกครั้งที่มีการนำไปใช้



รูปที่ 5.11 กราฟแสดงผลของแรงสัมผัสกับระยะการเคลื่อนที่ในแนวด้านข้างที่มุม $\psi = 0.25^\circ$

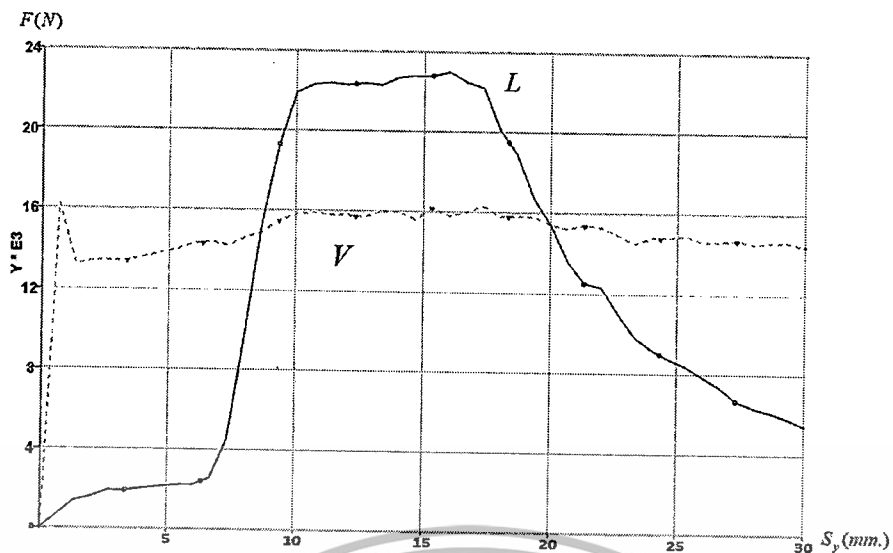


รูปที่ 5.12 กราฟแสดงผลของแรงสัมผัสกับระยะการเคลื่อนที่ในแนวด้านข้างที่มุม $\psi = 0.50^\circ$

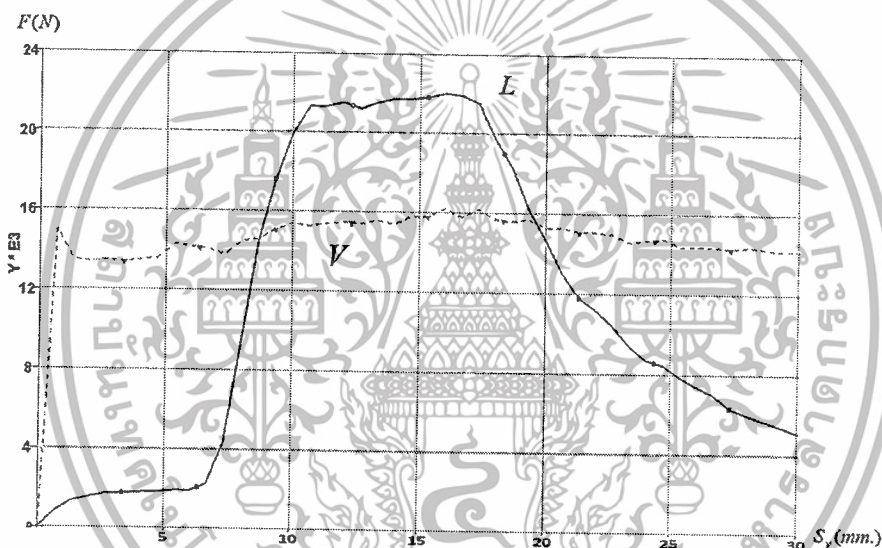


รูปที่ 5.13 กราฟแสดงผลของแรงสัมผัสกับระยะการเคลื่อนที่ในแนวด้านข้างที่มุม $\psi = 0.75^\circ$

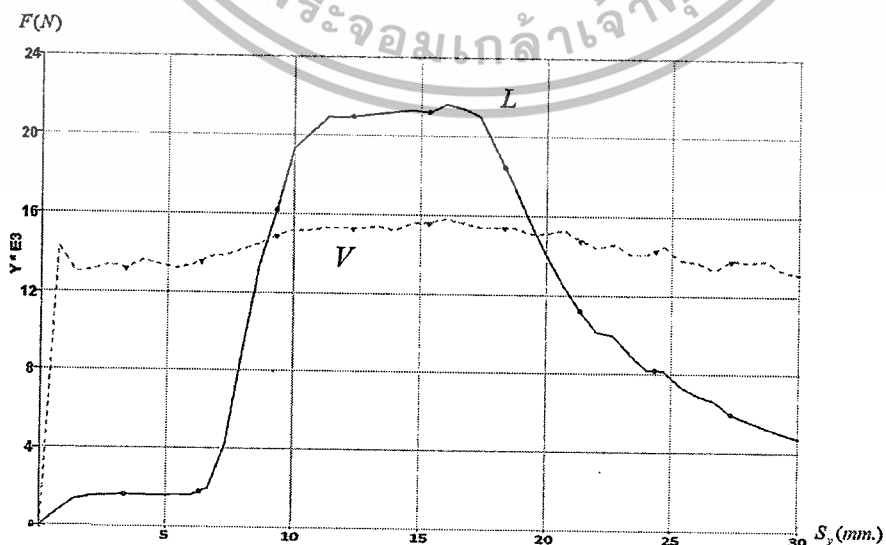
เอกสารนี้เป็นเอกสารที่สงวนไว้สำหรับการใช้งานเพื่อการศึกษาเท่านั้น ไม่อนุญาตให้นำไปใช้ประโยชน์ด้านการค้า
ไม่ว่ากรณีใดๆทั้งสิ้น อีกทั้งห้ามมิให้ตัดแปลงเนื้อหา และต้องอ้างอิงถึงเจ้าของเอกสารทุกครั้งที่มีการนำไปใช้



รูปที่ 5.14 กราฟแสดงผลของแรงสัมผัสกับระยะการเคลื่อนที่ในแนวด้านข้างที่มุม $\psi = 1.0^\circ$



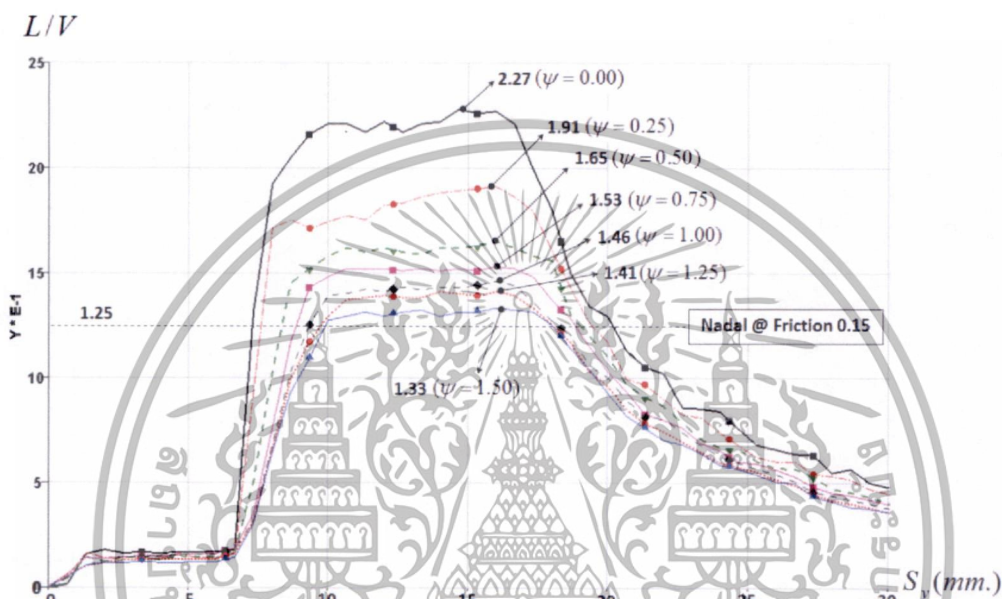
รูปที่ 5.15 กราฟแสดงผลของแรงสัมผัสกับระยะการเคลื่อนที่ในแนวด้านข้างที่มุม $\psi = 1.25^\circ$



รูปที่ 5.16 กราฟแสดงผลของแรงสัมผัสกับระยะการเคลื่อนที่ในแนวด้านข้างที่มุม $\psi = 1.50^\circ$

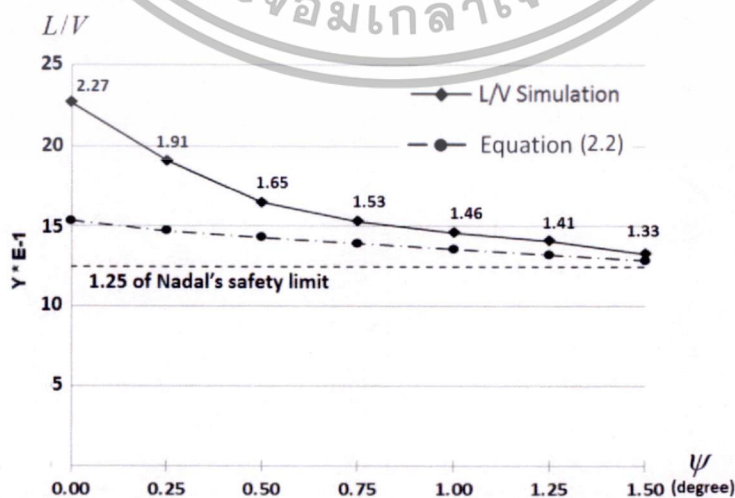
เอกสารนี้เป็นเอกสารที่สงวนไว้สำหรับการใช้งานเพื่อการศึกษาเท่านั้น ไม่นิยมนำไปใช้ประโยชน์ด้านการค้า
ไม่ว่ากรณีใดๆทั้งสิ้น อีกทั้งห้ามมิให้ดัดแปลงเนื้อหา และต้องอ้างอิงถึงเจ้าของเอกสารทุกครั้งที่มีการนำไปใช้

จากรูปที่ 5.11 – 5.16 แสดงผลของแรงสัมผัสในแนวด้านข้าง L และแรงในแนวตั้ง V ของการจำลองที่มุมปะทะของล้อย่างต่างๆ กราฟแรงสัมผัสสูงสุดจะมีค่าลดลงเรื่อยๆเมื่อมุมปะทะของล้อเพิ่มขึ้น นั่นคือมุมปะทะของล้อที่เพิ่มขึ้นจะส่งผลให้ใช้แรงในการปีนรางน้อยลง การหาพิกัดความปลอดภัยของการตรวงเนื่องจากล้อปีนรางจากการจำลองที่มุมปะทะของล้อย่างๆ สามารถหาได้จากการหารกันของแรงสัมผัสในแนวด้านข้าง L และแรงในแนวตั้ง V โดยใช้ค่าส่งจากโปรแกรมคอมพิวเตอร์ จากนั้นนำมาเขียนกราฟ โดยกำหนดให้แนวตั้งเป็นพิกัดความปลอดภัยของการตรวง L/V แนวนอนเป็นระยะการปีนรางในแนวด้านข้าง S_y , ซึ่งแสดงผลได้ ดังรูปที่ 5.17



รูปที่ 5.17 กราฟเปรียบเทียบพิกัดการตรวง L/V ที่มุมปะทะของล้อย่างต่างๆ

จากรูปที่ 5.17 เพื่อแสดงถึงอิทธิพลของมุมปะทะของล้อสามารถนำมาเขียนกราฟใหม่ โดยกำหนดให้แกนตั้งเป็นพิกัดความปลอดภัยของการตรวงและแกนอนเป็นมุมปะทะของล้อซึ่งแสดงความสัมพันธ์ได้ดังนี้



รูปที่ 5.18 แสดงความสัมพันธ์ระหว่างพิกัดความปลอดภัยของการตรวง L/V

เอกสารนี้เป็นเอกสารที่สงวนไว้สำหรับการใช้กับมุมปะทะของล้อย่างนั้น ไม่อนุญาตให้นำไปใช้ประโยชน์ด้านการค้า ไม่ว่ากรณีใดๆทั้งสิ้น อีกทั้งห้ามมิให้ตัดแปลงเนื้อหา และต้องอ้างอิงถึงเจ้าของเอกสารทุกครั้งที่มีการนำไปใช้

จากผลพิกัดความปลอดภัยของการตรวงด้วยระเบียบวิธีไฟไนต์เอลิเมนต์เปรียบเทียบกับพิกัดความปลอดภัยของขนาดล และวิธีการประมาณการจากสูตรในสมการที่ (2.2) ผลของค่าพิกัดความปลอดภัยของการตรวงเนื่องจากล้ป็นรางด้วยระเบียบวิธีไฟไนต์เอลิเมนต์จะมีค่าสอดคล้องกัน ดังแสดงในรูปที่ 5.18 ซึ่งมุมปะทะของล้เพิ่มขึ้นจะส่งผลให้ค่าพิกัดความปลอดภัยของการตรวงเนื่องจากล้ป็นรางลดลง นั่นคือโอกาสเสี่ยงการตรวงจะมากขึ้น และจะมีค่าเข้าใกล้กับพิกัดความปลอดภัยของขนาดลเมื่อมุมปะทะของล้เพิ่มขึ้น



เอกสารนี้เป็นเอกสารที่สงวนไว้สำหรับการใช้งานเพื่อการศึกษาเท่านั้น ไม่อนุญาตให้นำไปใช้ประโยชน์ด้านการค้า ไม่ว่ากรณีใดๆทั้งสิ้น อีกทั้งห้ามมิให้ตัดแปลงเนื้อหา และต้องอ้างอิงถึงเจ้าของเอกสารทุกครั้งที่มีการนำไปใช้

บทที่ 6

สรุปผลและข้อเสนอแนะ

งานวิจัยนี้ ได้ทำศึกษาและจำลองการตรวงเนื่องจากล้อยี่นรางด้วยระเบียบวิธีไฟไนต์เอลิเมนต์ และเปรียบเทียบผลที่ได้กับทฤษฎี งานวิจัยที่เกี่ยวข้อง เพื่อเป็นแนวทางในการศึกษาปฏิสัมพันธ์ระหว่างล้อยี่นและราง แรงสัมผัสระหว่างล้อยี่นและรางที่ได้จากการจำลองด้วยระเบียบวิธีไฟไนต์เอลิเมนต์ จะแสดงผลเป็นสภาวะต่อเนื่อง ตั้งแต่เริ่มการป็นที่พื้นล้อยี่นกระทั่งสิ้นสุดที่หัวราง ตามระยะการเคลื่อนที่ของล้อยี่นพร้อมเพลลาในแนวด้านข้าง และผลลัพธ์จากระเบียบวิธีไฟไนต์เอลิเมนต์สามารถนำมาประเมินหาค่าพิกัดความปลอดภัยของการตรวง การปรับเปลี่ยนของมุมบังใบล้อยี่นสัมผัส ค่าสัมประสิทธิ์ความเสียดทานและมุมปะทะของล้อยี่นระหว่างล้อยี่นและรางจะช่วยลดเวลาในการลองผิดลองถูกก่อนการทดลองจริงเพื่อเป็นแบบจำลองไฟไนต์เอลิเมนต์ต้นแบบต่อการศึกษา ดังนั้น งานวิจัยนี้จึงเลือกใช้ระเบียบวิธีไฟไนต์เอลิเมนต์ เพื่อศึกษาพิกัดความปลอดภัยของการตรวงเนื่องจากล้อยี่นราง โดยสรุปผลได้ดังนี้

6.1 บทสรุป

1. การศึกษาปฏิสัมพันธ์ระหว่างล้อยี่นและราง เป็นการศึกษากลไกการสัมผัสระหว่างล้อยี่นและราง โดยพิจารณาแรงค้ำในแนวสัมผัสที่จุดสัมผัสระหว่างล้อยี่นและราง
2. พิกัดความปลอดภัยของการตรวงเนื่องจากล้อยี่นรางเป็นการประเมินจากอัตราส่วนระหว่างแรงในแนวด้านข้างเทียบกับแนวตั้ง และนิยมนำพิกัดความปลอดภัยของนาตาลมาเป็นพื้นฐานในการประเมินการตรวงเนื่องจากล้อยี่นราง
3. การจำลองการตรวงด้วยระเบียบวิธีไฟไนต์เอลิเมนต์เป็นการจำลองในกรณีของการลื่นไถล โดยพิจารณาผลจากกลไกการสัมผัสระหว่างล้อยี่นและรางร่วมด้วย
4. พิกัดความปลอดภัยของการตรวงด้วยระเบียบวิธีไฟไนต์เอลิเมนต์จะให้ค่ามากกว่า พิกัดความปลอดภัยของนาตาลที่มุมปะทะของล้อยี่นเข้าใกล้ศูนย์ เพราะพิกัดความปลอดภัยของนาตาลพิจารณาเฉพาะสมมูลสองมิติของมุมบังใบล้อยี่นและแรงเสียดทานเท่านั้น แต่ไม่พิจารณาของกลไกการสัมผัสในสามมิติ และพิกัดทั้งสองจะมีค่าสอดคล้องกันเมื่อมุมปะทะของล้อยี่นมีค่าเพิ่มขึ้น
5. การเพิ่มมุมของบังใบล้อยี่นสัมผัส การลดค่าสัมประสิทธิ์ความเสียดทาน และมุมปะทะของล้อยี่นจะช่วยลดความเสี่ยงต่อการตรวงเนื่องจากล้อยี่นราง

6.2 ข้อเสนอแนะ

จากงานวิจัยนี้ มีปัจจัยหลายอย่างที่ทำให้ผลการจำลองนั้นมีความคลาดเคลื่อน เนื่องจากการกำหนดสภาวะเงื่อนไขขอบเขต ค่าสัมประสิทธิ์ความเสียดทานระหว่างล้อยี่นและรางนั้นไม่สามารถกำหนดให้เหมือนสภาวะจริงได้ทุกเงื่อนไข การนำเอาวิธีไฟไนต์เอลิเมนต์มาประยุกต์ใช้วิเคราะห์ปัญหาที่มีความซับซ้อน ได้อย่างมีประสิทธิภาพและถูกต้องแม่นยำนั้น จำเป็นต้องเข้าใจถึงหลักการพื้นฐาน และเทคนิคต่างๆ การสร้างแบบจำลอง การกำหนดเงื่อนไขขอบเขต สมบัติเชิงกลของวัสดุ ชนิดและ

เอกลารนเป็นเอกสารที่สงวนไว้สำหรับการศึกษาเท่านั้น ไม่อนุญาตให้เผยแพร่หรือใช้เพื่อการค้า
ไม่ว่ากรณีใดๆทั้งสิ้น อีกทั้งห้ามมิให้ตัดแปลงเนื้อหา และต้องอ้างอิงถึงเจ้าของเอกสารทุกครั้งที่มีการนำไปใช้

ขนาดของเอลิเมนต์ จะต้องระบุให้ชัดเจน ดังนั้นในหัวข้อนี้จึงเป็นการเสนอแนวทางการแก้ไขปัญหา เพื่อให้มีการพัฒนา หรือเสนอแนะปัญหาที่พบเพื่อนำไปประยุกต์ใช้ในงานวิจัยที่เกี่ยวข้อง ดังนี้

1. จากแบบจำลองที่มีขนาดใหญ่ ปัญหาของคอมพิวเตอร์เป็นปัญหาหนึ่งที่เกี่ยวข้องกับการจำลองที่มีเงื่อนไขขอบเขตที่ซับซ้อน ซึ่งต้องการเอลิเมนต์ที่มีความละเอียดสูงในบริเวณการสัมผัสกันระหว่างล้อและราง โดยคอมพิวเตอร์ที่ใช้ในงานวิจัยนี้มีค่าหน่วยความจำสูง แต่ยังใช้เวลาในการคำนวณค่อนข้างนาน ซึ่งเป็นข้อจำกัดของการกำหนดโดเมนที่ใหญ่ขึ้น ดังนั้นในการแก้ปัญหาควรใช้คอมพิวเตอร์ที่มีหน่วยความจำที่สูงขึ้นด้วยจะสามารถลดเวลาในการคำนวณของปัญหาดังกล่าว

2. การกำหนดเงื่อนไขขอบเขต ให้มีสภาวะให้เสมือนจริงครบ 100 % นั้นเป็นสิ่งที่เป็นไปได้ยาก โดยเฉพาะสภาวะที่มีการเปลี่ยนแปลงตลอดเวลาของการสัมผัส ดังนั้นจำเป็นต้องมีการกำหนดเงื่อนไขเพื่อใช้ในการจำลองหลายกรณีที่มีสภาวะต่างกันซึ่งจะทำให้การวิเคราะห์มีความถูกต้องมากขึ้น

3. ความละเอียดของรูปร่างแบบจำลองเป็นสิ่งที่จะต้องคำนึง เนื่องจากแบบจำลองไฟไนต์เอลิเมนต์ที่ใช้ในการจำลองนั้นมีรูปร่างขนาดใหญ่ และซับซ้อนย่อมไม่มีความเสมือนจริงได้ทุกประการ ซึ่งจะทำให้ผลที่ได้มีความคลาดเคลื่อน



เอกสารนี้เป็นเอกสารที่สงวนไว้สำหรับการใช้งานเพื่อการศึกษาเท่านั้น ไม่อนุญาตให้นำไปใช้ประโยชน์ด้านการค้า ไม่ว่ากรณีใดๆทั้งสิ้น อีกทั้งห้ามมิให้ตัดแปลงเนื้อหา และต้องอ้างอิงถึงเจ้าของเอกสารทุกครั้งที่มีการนำไปใช้

เอกสารอ้างอิง

- [1] Aleksander Sladkowski และ Marek Sitarz, 2005, “**Analysis of wheel-rail interaction using FE software**” *Wear* 258 (2005) 1217–1223 Department of Railway Transport, Silesian Technical University, Krasinski Street 8, Katowice 40-019 Poland.
- [2] Xinggao Shu และคณะ, 2005, “**A bi-parameter distance criterion for flange climb derailment**” Transportation Technology Center, Inc.55500 DOT Road, Pueblo, Colorado USA 81001.
- [3] J Santamaria, E.G. Vadillo และ J Gomez, 2006, “**A comprehensive method for the elastic calculation of the two-point wheel-rail contact**” Department of Mechanical Engineering. University of the Basque Country, Alameda Urquijo s.n., 48013 Bilbao, Spain.
- [4] Jing Zeng และ Pingbo Wu, 2008, “**Study on the wheel/rail interaction and derailment safety**” *Wear* 265 (2008) 1452–1459, State Key Laboratory of Traction Power, Southwest Jiaotong University, Chengdu 610031, China.
- [5] J Santamaria, E.G. Vadillo และ J Gomez, 2009, “**Influence of creep forces on the risk of derailment of railway vehicles**” Department of Mechanical Engineering, University of the Basque Country, Alameda Urquijo s.n., 48013 Bilbao, Spain.
- [6] Mehmet Ali Arslan และ Oguz Kayabasi, 2010, “**3-D Rail-Wheel contact analysis using FEA**” *Advances in Engineering Software* 45 (2012) 325–331, Gebze Institute of Technology, Mechanical Engineering Department, P.K. 141, 41400 Gebze, Kocaeli, Turkey.
- [7] Brian Marquis และ Robert Greif, 2011, “**Application of Nadal’s limit in the prediction of wheel climb derailment**” U.S. Department of Transportation Research and Innovative Technology Administration Volpe National Transportation Systems Center Cambridge, Massachusetts, United States.
- [8] Wei Wang และ Gui-xian, 2012, “**Development of high-speed railway vehicle derailment simulation – Part II: Exploring the derailment mechanism**” *Engineering Failure Analysis* 24 (2012) 93–111, University of Electronic Science and Technology of China, Chengdu, Sichuan 611731, China.
- [9] Q.J. Zheng และคณะ, 2012, “**Finite element analysis of the contact forces between a viscoelastic sphere and rigid plane**” *Powder Technology* 226 (2012) 130–142, Laboratory for Simulation and Modelling of Particulate Systems, School of Materials Science and Engineering, The University of New South Wales, Sydney, NSW 2052, Australia.

เอกสารนี้เป็นเอกสารที่สงวนลิขสิทธิ์หรือการใช้งานเพื่อการศึกษาเท่านั้น ไม่อนุญาตให้นำไปใช้ประโยชน์ด้านการค้า
ไม่ว่ากรณีใดๆทั้งสิ้น อีกทั้งห้ามมิให้ตัดแปลงเนื้อหา และต้องอ้างอิงถึงเจ้าของเอกสารทุกครั้งที่มีการนำไปใช้

เอกสารอ้างอิง (ต่อ)

- [10] Jean-Bernard Ayasse and Hugues Chollet, 2006, “**Wheel-Rail Contact**” Chapter 4, Handbook of Railway Vehicle Dynamics (2006) 85–120, Taylor & Francis Group.
- [11] Jean-Bernard Ayasse and Hugues Chollet, 2006, “**Railway Vehicle Derailment and prevention**” Chapter 8, Handbook of Railway Vehicle Dynamics (2006) 209–230, Taylor & Francis Group.
- [12] Peter Wriggers, 2006 “**Computational Contact Mechanics**”, 10 Solution Algorithms (2006) 309-360.
- [13] Singiresu S.Rao, 1985, “**The finite element method in engineering**”, Taylor & Francis Group.
- [14] Livemore Software Technology Corp. (LSTC), 2007, “**LS-DYNA Keyword User’s Manual Version 971**”.
- [15] นคร จันทกร, 2555, “**ช่างรถไฟ ความรู้ทั่วไปด้านวิศวกรรมรถไฟ**”, โครงการพัฒนาระบบขนส่งทางรางและอุตสาหกรรมที่เกี่ยวข้องของประเทศไทย



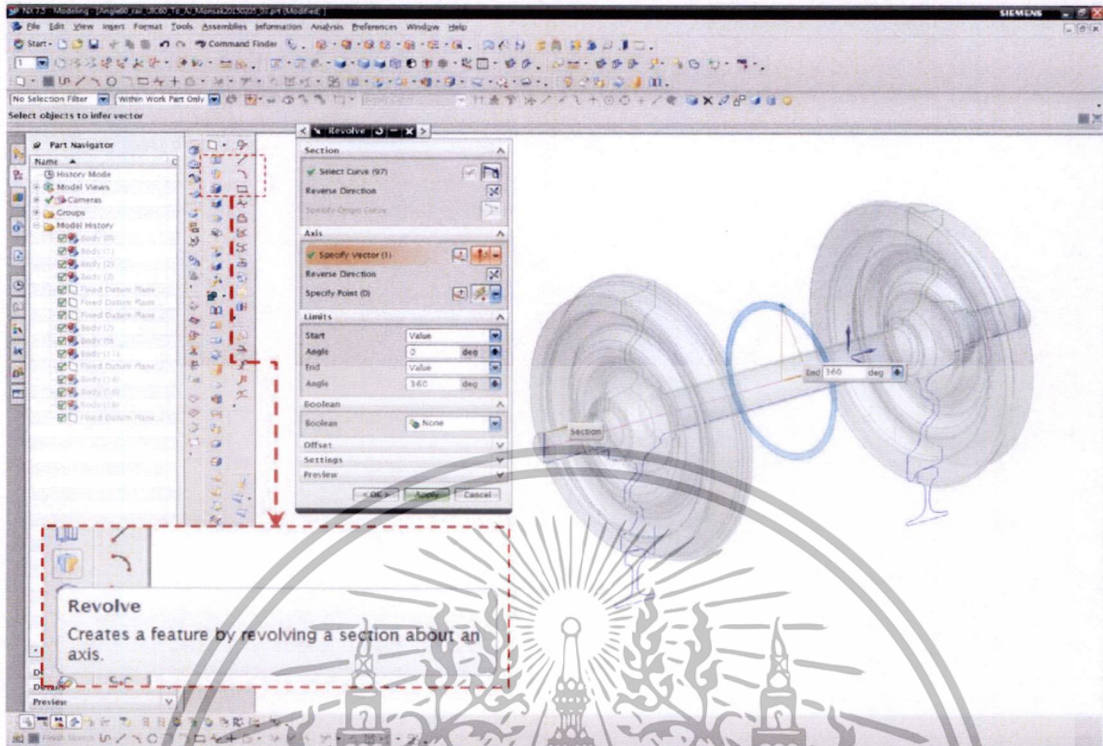
เอกสารนี้เป็นเอกสารที่สงวนไว้สำหรับการใช้งานเพื่อการศึกษาเท่านั้น ไม่อนุญาตให้นำไปใช้ประโยชน์ด้านการค้า
ไม่ว่ากรณีใดๆทั้งสิ้น อีกทั้งห้ามมิให้ตัดแปลงเนื้อหา และต้องอ้างอิงถึงเจ้าของเอกสารทุกครั้งที่มีการนำไปใช้



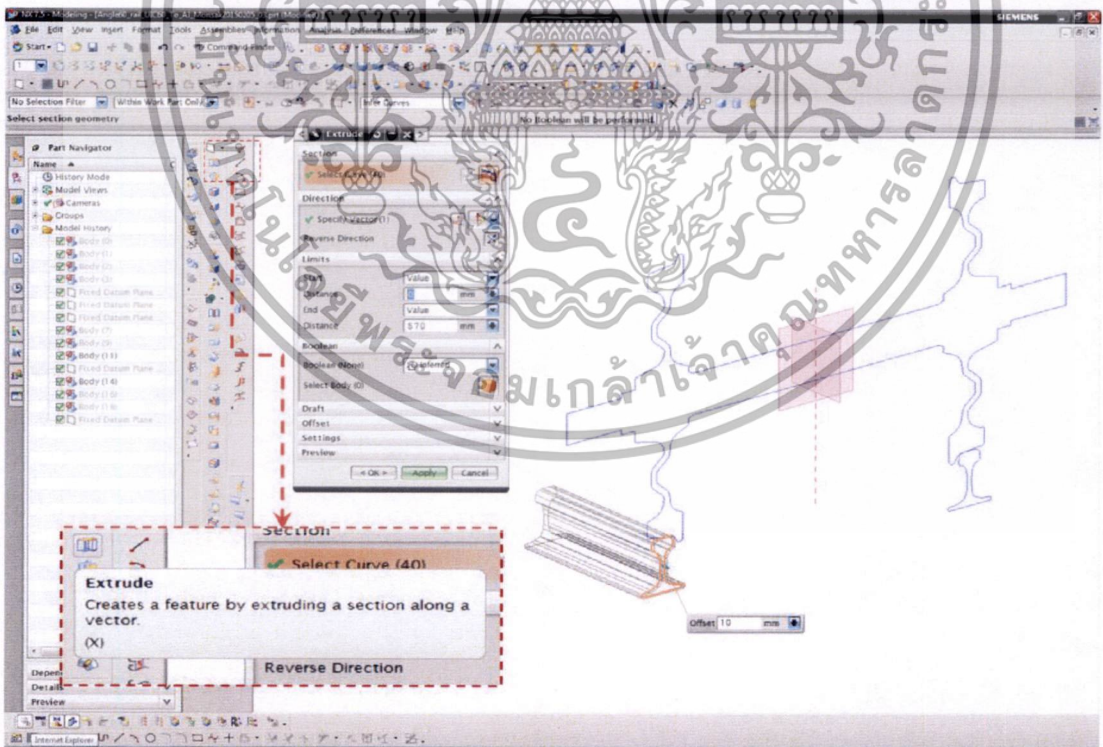
ภาคผนวก

เอกสารนี้เป็นเอกสารที่สงวนไว้สำหรับการใช้งานเพื่อการศึกษาเท่านั้น ไม่อนุญาตให้นำไปใช้ประโยชน์ด้านการค้า
ไม่ว่ากรณีใดๆทั้งสิ้น อีกทั้งห้ามมิให้ตัดแปลงเนื้อหา และต้องอ้างอิงถึงเจ้าของเอกสารทุกครั้งที่มีการนำไปใช้

การสร้างแบบจำลองสามมิติของล้อพร้อมเพลลา ด้วยคำสั่ง Revolve



การสร้างแบบจำลองสามมิติของราง ด้วยคำสั่ง Extrude



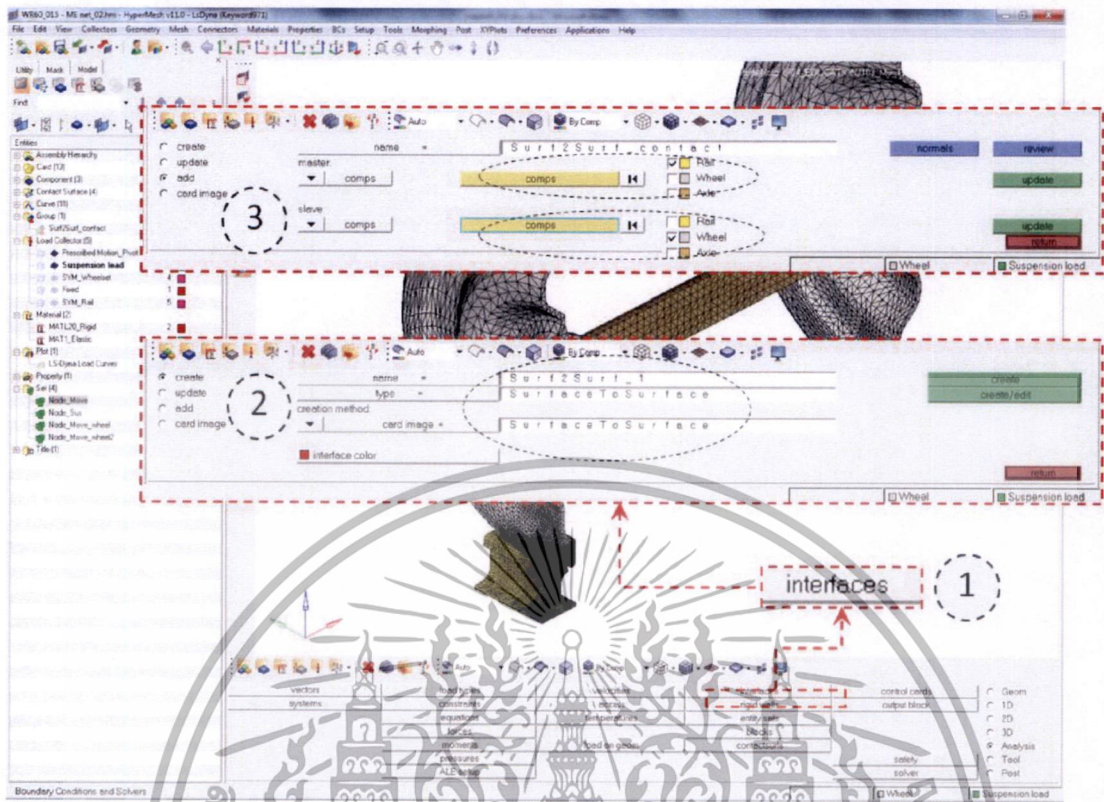
เอกสารนี้เป็นเอกสารที่สงวนไว้สำหรับการใช้งานเพื่อการศึกษาเท่านั้น ไม่อนุญาตให้นำไปใช้ประโยชน์ด้านการค้า
ไม่ว่ากรณีใดๆทั้งสิ้น อีกทั้งห้ามมิให้ตัดแปลงเนื้อหา และต้องอ้างอิงถึงเจ้าของเอกสารทุกครั้งที่มีการนำไปใช้



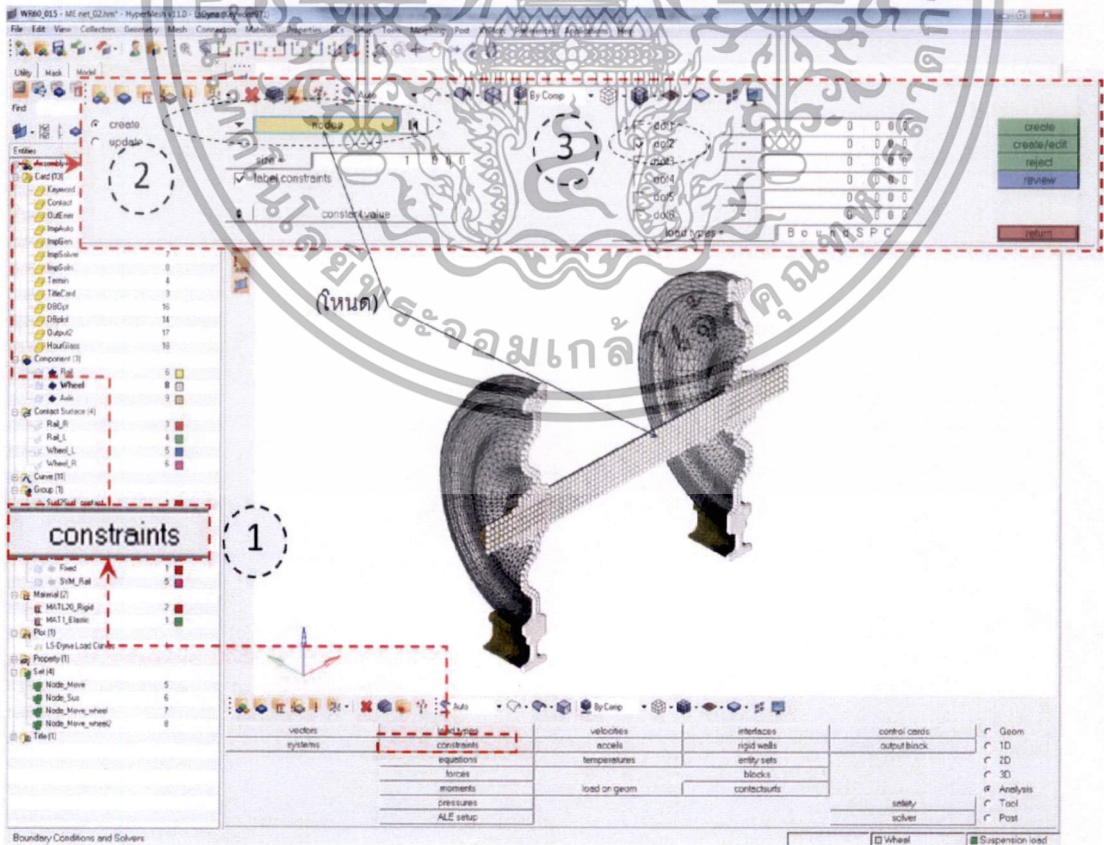
ภาคผนวก ข.
การกำหนดเงื่อนไขขอบเขตของสื่อและราง ด้วยโปรแกรม Altair HyperWork 11.0

เอกสารนี้เป็นเอกสารที่สงวนไว้สำหรับการใช้งานเพื่อการศึกษาเท่านั้น ไม่อนุญาตให้นำไปใช้ประโยชน์ด้านการค้า
ไม่ว่ากรณีใดๆทั้งสิ้น อีกทั้งห้ามมิให้ตัดแปลงเนื้อหา และต้องอ้างอิงถึงเจ้าของเอกสารทุกครั้งที่มีการนำไปใช้

การกำหนดเงื่อนไขขอบเขตของการสัมผัสกันระหว่างล้อและราง



การกำหนดเงื่อนไขขอบเขตของการสมมาตรของแบบจำลองตามแกน x



เอกสารนี้เป็นเอกสารที่สงวนไว้สำหรับการใช้งานเพื่อการศึกษาเท่านั้น ไม่อนุญาตให้นำไปใช้ประโยชน์ด้านการค้า ไม่ว่าจะกรณีใดๆทั้งสิ้น อีกทั้งห้ามมิให้ดัดแปลงเนื้อหา และต้องอ้างอิงถึงเจ้าของเอกสารทุกครั้งที่มีการนำไปใช้

การกำหนดการ์ดควบคุม (Control card) ของการจำลอง

The screenshot displays the ANSYS Workbench interface with the following control cards highlighted:

- Section 1:** Main simulation tree showing various analysis settings.
- Section 2:** \$DATABASE_OPTION -- Control Cards for ASCII output. The [PCFORC] card is highlighted with a value of $2.000e-05$.
- Section 3:** DATABASE_BINARY_D3PLOT. The [LCDDT] card is highlighted with a value of $2.000e-04$.
- Section 4:** CONTROL_IMPLICIT_GENERAL. The [DTM] card is highlighted with a value of $1.000e-04$.
- Section 5:** CONTROL_TERMINATION. The [ENDSYC] card is highlighted with a value of 0.

เอกสารนี้เป็นเอกสารที่สงวนไว้สำหรับการใช้งานเพื่อการศึกษาเท่านั้น ไม่อนุญาตให้นำไปใช้ประโยชน์ด้านการค้า
ไม่ว่ากรณีใดๆทั้งสิ้น อีกทั้งห้ามมิให้ดัดแปลงเนื้อหา และต้องอ้างอิงถึงเจ้าของเอกสารทุกครั้งที่มีการนำไปใช้



เอกสารนี้เป็นเอกสารที่สงวนไว้สำหรับการใช้งานเพื่อการศึกษาเท่านั้น ไม่อนุญาตให้นำไปใช้ประโยชน์ด้านการค้า
ไม่ว่ากรณีใดๆทั้งสิ้น อีกทั้งห้ามมิให้ตัดแปลงเนื้อหา และต้องอ้างอิงถึงเจ้าของเอกสารทุกครั้งที่มีการนำไปใช้

การคำนวณหาแรงสัมผัสของเฮิร์ตซ์

แรงตั้งฉากสัมผัสของเฮิร์ตซ์ระหว่างล้อและราง หน่วยเป็นนิวตัน (N)

$$F_{Hertz} = \frac{2}{3} E^* \sqrt{\frac{(\delta_n / \hbar)^3}{A+B}} \quad (3.3)$$

$$A = A_1 = \frac{1}{2r_0}, \quad B = B_1 + B_2 = \frac{1}{2} \left(\frac{1}{R_w} + \frac{1}{R_T} \right) \quad (3.4)$$

- เมื่อ E คือ ค่าความยืดหยุ่นของวัสดุ = 210×10^3 MPa
 \hbar คือ ค่าสัมประสิทธิ์ของเฮิร์ตซ์ = 0.9932
 ν คือ ค่าอัตราส่วนปัวซอง (Poisson's ratio) = 0.3
 δ_n คือ ระยะยุบตัวของ การสัมผัสในแนวตั้งฉาก (mm)
 r_0 คือ รัศมีล้อที่จุดสัมผัส = 425.5 mm
 R_w คือ รัศมีความโค้งหลักตามแนวขวางของล้อ (mm) กำหนดให้เป็นค่าอนันต์ (Infinity)
 R_T คือ รัศมีเส้นขอบของรางตามแนวขวาง = 300 mm

กำหนดให้ $E^* = E / (1 - \nu^2) = (210 \times 10^3) / (1 - 0.3^2) = 230.77 \times 10^3$

จากสมการที่ (3.4) สามารถคำนวณได้ ดังนี้

$$\begin{aligned} B+A &= \frac{1}{2} \left(\frac{1}{R_w} + \frac{1}{R_T} \right) + \frac{1}{2r_0} \\ &= \frac{1}{2} \left(\frac{1}{\infty} + \frac{1}{300} \right) + \frac{1}{2(425.5)} \\ &= 0.0017 + 0.0012 \\ &= 0.0029 \end{aligned}$$

และในทำนองเดียวกัน

$$\begin{aligned} B-A &= \frac{1}{2} \left(\frac{1}{R_w} + \frac{1}{R_T} \right) - \frac{1}{2r_0} \\ &= \frac{1}{2} \left(\frac{1}{\infty} + \frac{1}{300} \right) - \frac{1}{2(425.5)} \\ &= 0.0017 - 0.0012 \\ &= 0.0005 \end{aligned}$$

$$\text{เมื่อ} \quad \cos \Delta = \frac{|B-A|}{B+A} = \frac{0.0005}{0.0029} = 0.17$$

เอกสารนี้เป็นเอกสารที่สงวนไว้สำหรับการใช้งานเพื่อการศึกษาเท่านั้น ไม่นอนุญาตให้นำไปใช้ประโยชน์ด้านการค้า
 ไม่ว่ากรณีใดๆทั้งสิ้น อีกทั้งห้ามมิให้ตัดแปลงเนื้อหา และต้องอ้างอิงถึงเจ้าของเอกสารทุกครั้งที่มีการนำไปใช้

ดังนั้น

$$\Delta^\circ = 80^\circ$$

จากตารางด้านล่างที่มุม $\Delta^\circ = 80^\circ$ ค่าสัมประสิทธิ์ของเฮิร์ตซ์ (h) = 0.9932

Hertz Coefficients (A/B < 1)

| Δ° | 90 | 80 | 70 | 60 | 50 | 40 | 30 | 20 | 10 | 0 |
|----------------|----|--------|--------|--------|--------|--------|--------|--------|--------|----------|
| $g = n/m$ | 1 | 0.7916 | 0.6225 | 0.4828 | 0.3652 | 0.2656 | 0.1806 | 0.1080 | 0.0470 | 0 |
| m | 1 | 1.128 | 1.285 | 1.486 | 1.754 | 2.136 | 2.731 | 3.816 | 6.612 | ∞ |
| n | 1 | 0.8927 | 0.8000 | 0.7171 | 0.6407 | 0.5673 | 0.4931 | 0.4122 | 0.3110 | 0 |
| h | 1 | 0.9932 | 0.9726 | 0.9376 | 0.8867 | 0.8177 | 0.7263 | 0.6038 | 0.4280 | 0 |

กำหนดให้ δ_n มีค่าตั้งแต่ 0, 0.01, 0.02, 0.03, ..., 0.10 ดังนั้นจากสมการที่ (3.4) จะได้แรงดึงฉากสัมผัสของเฮิร์ตซ์ระหว่างล้อและราง ดังนี้

$$\text{ที่ } \delta_n = 0, \quad F_{Hertz} = \frac{2}{3} (230.77 \times 10^3) \sqrt{\frac{(0/0.9932)^3}{0.0029}} = 0 \text{ (N)}$$

$$\text{ที่ } \delta_n = 0.01, \quad F_{Hertz} = \frac{2}{3} (230.77 \times 10^3) \sqrt{\frac{(0.01/0.9932)^3}{0.0029}} = 2910.55 \text{ (N)}$$

$$\text{ที่ } \delta_n = 0.02, \quad F_{Hertz} = \frac{2}{3} (230.77 \times 10^3) \sqrt{\frac{(0.01/0.9932)^3}{0.0029}} = 8232.29 \text{ (N)}$$

$$\text{ที่ } \delta_n = 0.03, \quad F_{Hertz} = \frac{2}{3} (230.77 \times 10^3) \sqrt{\frac{(0.01/0.9932)^3}{0.0029}} = 15123.68 \text{ (N)}$$

$$\text{ที่ } \delta_n = 0.04, \quad F_{Hertz} = \frac{2}{3} (230.77 \times 10^3) \sqrt{\frac{(0.01/0.9932)^3}{0.0029}} = 23284.42 \text{ (N)}$$

$$\text{ที่ } \delta_n = 0.05, \quad F_{Hertz} = \frac{2}{3} (230.77 \times 10^3) \sqrt{\frac{(0.01/0.9932)^3}{0.0029}} = 32540.97 \text{ (N)}$$

$$\text{ที่ } \delta_n = 0.06, \quad F_{Hertz} = \frac{2}{3} (230.77 \times 10^3) \sqrt{\frac{(0.01/0.9932)^3}{0.0029}} = 42776.22 \text{ (N)}$$

$$\text{ที่ } \delta_n = 0.07, \quad F_{Hertz} = \frac{2}{3} (230.77 \times 10^3) \sqrt{\frac{(0.01/0.9932)^3}{0.0029}} = 53904.19 \text{ (N)}$$

เอกสารนี้เป็นเอกสารที่สงวนไว้สำหรับบริการใช้งานเพื่อการศึกษาเท่านั้น ไม่อนุญาตให้นำไปเผยแพร่ประโยชน์ด้านการค้า
ไม่ว่ากรณีใดๆทั้งสิ้น อีกทั้งห้ามมิให้ตัดแปลงเนื้อหา และต้องอ้างอิงถึงเจ้าของเอกสารทุกครั้งที่มีการนำไปใช้

$$\text{ที่ } \delta_n = 0.08, \quad F_{Hertz} = \frac{2}{3} (230.77 \times 10^3) \sqrt{\frac{(0.01/0.9932)^3}{0.0029}} = 65858.29 \text{ (N)}$$

$$\text{ที่ } \delta_n = 0.09, \quad F_{Hertz} = \frac{2}{3} (230.77 \times 10^3) \sqrt{\frac{(0.01/0.9932)^3}{0.0029}} = 78584.93 \text{ (N)}$$

$$\text{ที่ } \delta_n = 0.10, \quad F_{Hertz} = \frac{2}{3} (230.77 \times 10^3) \sqrt{\frac{(0.01/0.9932)^3}{0.0029}} = 92039.76 \text{ (N)}$$

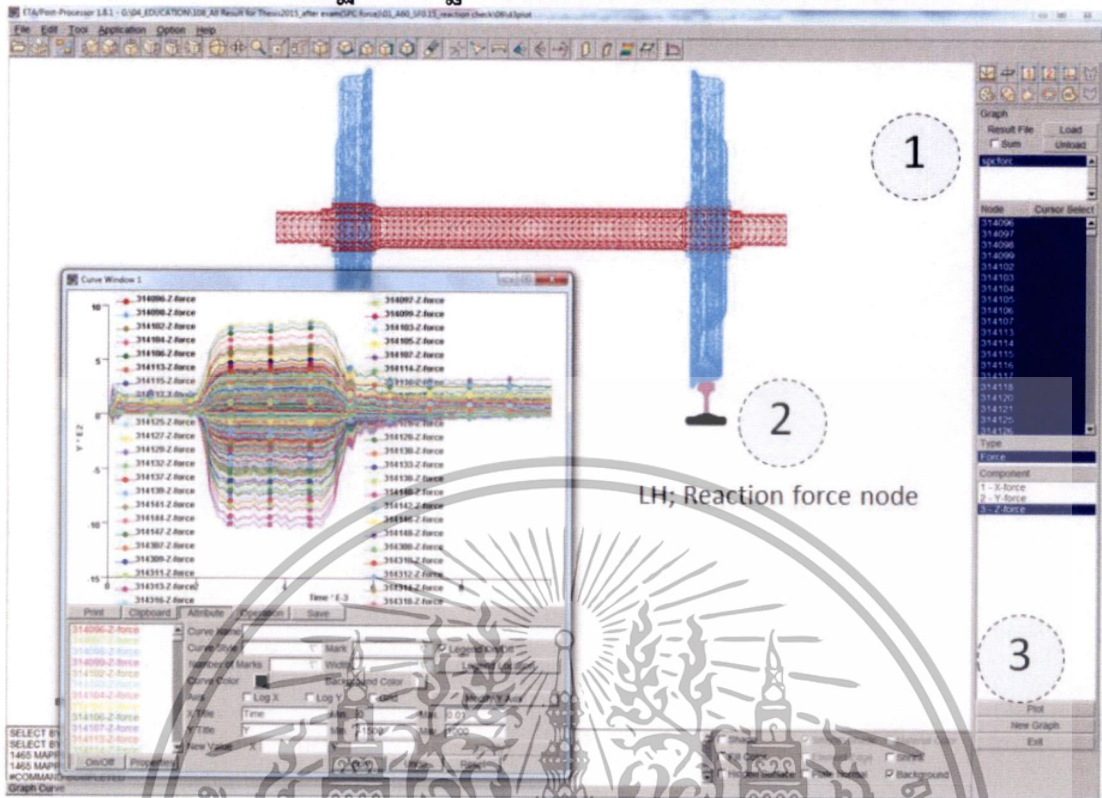


เอกสารนี้เป็นเอกสารที่สงวนไว้สำหรับการใช้งานเพื่อการศึกษาเท่านั้น ไม่อนุญาตให้นำไปใช้ประโยชน์ด้านการค้า
ไม่ว่ากรณีใดๆทั้งสิ้น อีกทั้งห้ามมิให้ตัดแปลงเนื้อหา และต้องอ้างอิงถึงเจ้าของเอกสารทุกครั้งที่มีการนำไปใช้

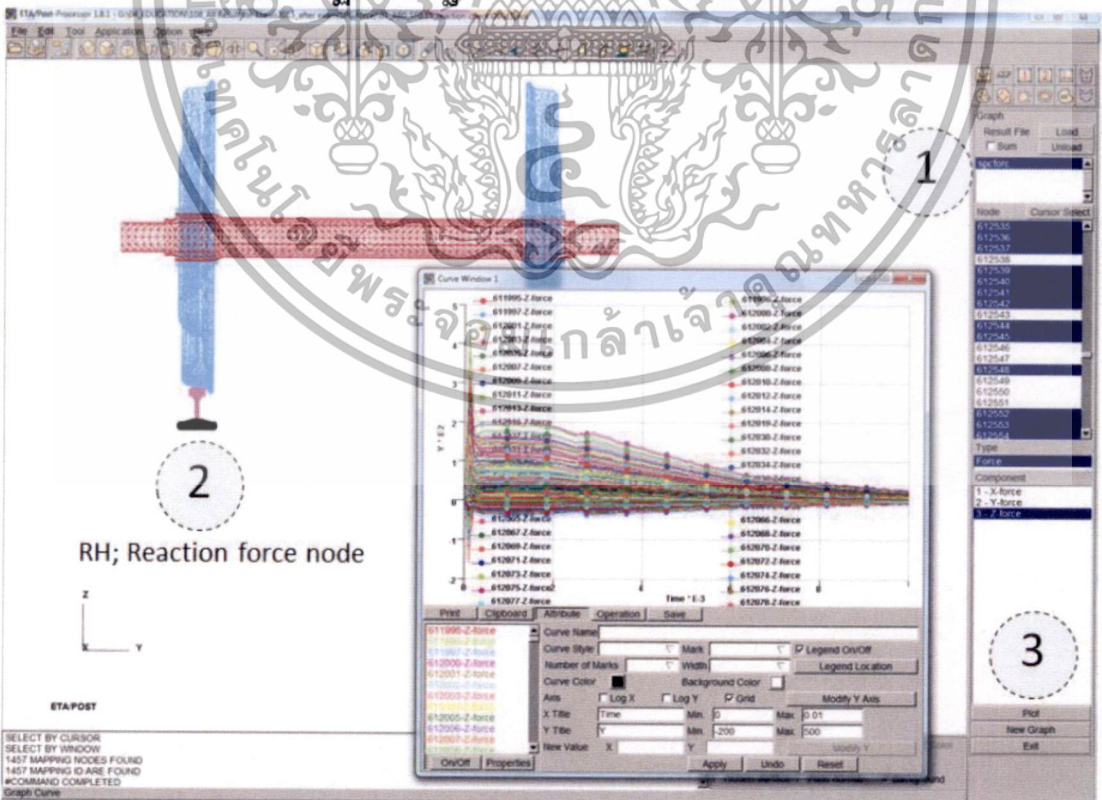


เอกสารนี้เป็นเอกสารที่สงวนไว้สำหรับการใช้งานเพื่อการศึกษาเท่านั้น ไม่อนุญาตให้นำไปใช้ประโยชน์ด้านการค้า
ไม่ว่ากรณีใดๆทั้งสิ้น อีกทั้งห้ามมิให้ตัดแปลงเนื้อหา และต้องอ้างอิงถึงเจ้าของเอกสารทุกครั้งที่มีการนำไปใช้

การตรวจสอบแรงปฏิกิริยาที่ฐานรางของแบบจำลองล้อซ้ายในแต่ละโหนด

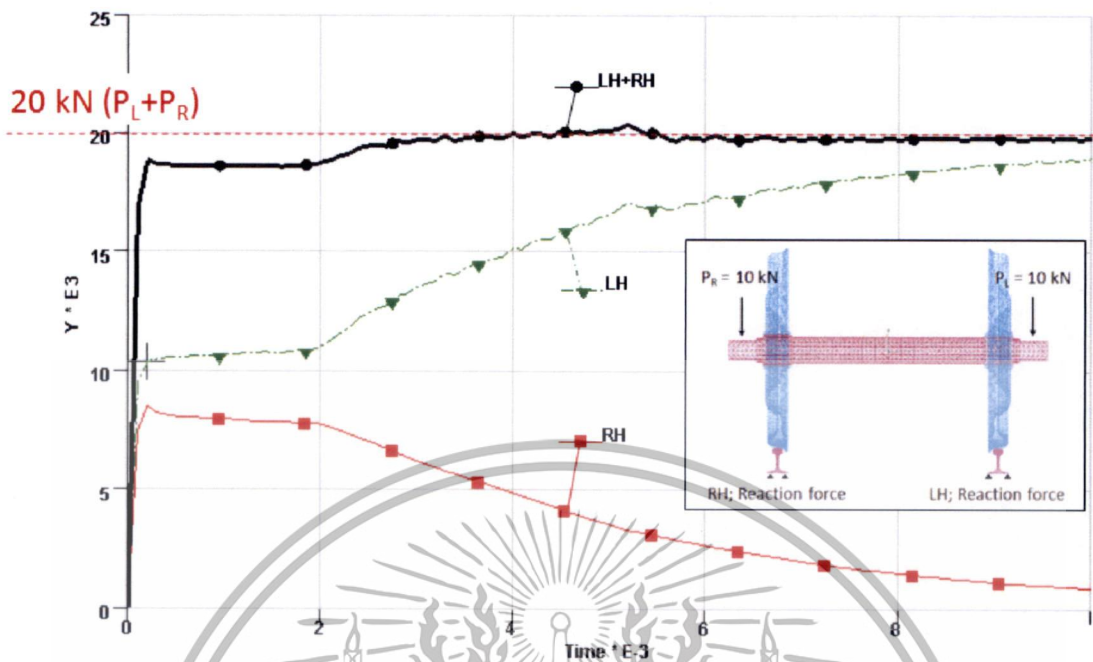


การตรวจสอบแรงปฏิกิริยาที่ฐานรางของแบบจำลองล้อขวาในแต่ละโหนด



เอกสารนี้เป็นเอกสารที่สงวนไว้สำหรับการใช้งานเพื่อการศึกษาเท่านั้น ไม่อนุญาตให้นำไปใช้ประโยชน์ด้านการค้า
ไม่ว่ากรณีใดๆทั้งสิ้น อีกทั้งห้ามมิให้ดัดแปลงเนื้อหา และต้องอ้างอิงถึงเจ้าของเอกสารทุกครั้งที่มีการนำไปใช้

ผลรวมของแรงปฏิกิริยาที่ฐานรากของแบบจำลองทั้งสองล้อ



เอกสารนี้เป็นเอกสารที่สงวนไว้สำหรับการใช้งานเพื่อการศึกษาเท่านั้น ไม่อนุญาตให้นำไปใช้ประโยชน์ด้านการค้า
ไม่ว่ากรณีใดๆทั้งสิ้น อีกทั้งห้ามมิให้ตัดแปลงเนื้อหา และต้องอ้างอิงถึงเจ้าของเอกสารทุกครั้งที่มีการนำไปใช้



เอกสารนี้เป็นเอกสารที่สงวนไว้สำหรับการใช้งานเพื่อการศึกษาเท่านั้น ไม่อนุญาตให้นำไปใช้ประโยชน์ด้านการค้า
ไม่ว่ากรณีใดๆทั้งสิ้น อีกทั้งห้ามมิให้ตัดแปลงเนื้อหา และต้องอ้างอิงถึงเจ้าของเอกสารทุกครั้งที่มีการนำไปใช้

การประชุมวิชาการเครือข่ายวิศวกรรมเครื่องกลแห่งประเทศไทย ครั้งที่ 27
16-18 ตุลาคม 2556 พัทยา จังหวัดชลบุรี

sea of innovation
ME-NETT
2013



เอกสารนี้เป็นเอกสารที่สงวนไว้สำหรับการใช้งานเพื่อการศึกษาเท่านั้น ไม่อนุญาตให้นำไปใช้ประโยชน์ด้านการค้า
ไม่ว่ากรณีใดๆทั้งสิ้น อีกทั้งห้ามมิให้ดัดแปลงเนื้อหา และต้องอ้างอิงถึงเจ้าของเอกสารทุกครั้งที่มีการนำไปใช้

การจำลองการตกรางเนื่องจากล้อปีนราง ด้วยระเบียบวิธีไฟไนต์เอลิเมนต์ Simulation of derailment due to wheel climb using finite element method

มนต์ศักดิ์ พิมสาร¹, และ สุรทัศน์ กองสุข^{2*}

^{1,2} สาขาวิชาวิศวกรรมเครื่องกล คณะวิศวกรรมศาสตร์

สถาบันเทคโนโลยีพระจอมเกล้าเจ้าคุณทหารลาดกระบัง เขตลาดกระบัง กรุงเทพมหานคร 10520

*ติดต่อ: E-mail: surathad@hotmail.com, Tel. 083-1345991

บทคัดย่อ

ความปลอดภัยขั้นพื้นฐานของการขนส่งทางรถไฟ คือการตกรางไม่ควรจะเกิดขึ้นในระหว่างการวิ่งของขบวนรถไฟ การทดลองเพื่อศึกษาปฏิสัมพันธ์ระหว่างล้อ/รางจึงมีความสำคัญอย่างยิ่งต่อความปลอดภัยจากการตกราง แต่ต้องใช้งบประมาณการลงทุนสูง บทความนี้เป็นการศึกษาปฏิสัมพันธ์ระหว่างล้อ/ราง และการตกรางเนื่องจากบังใบล้อปีนราง (wheel flange climb derailment) ด้วยระเบียบวิธีไฟไนต์เอลิเมนต์ โปรแกรม Altair HyperWorks11.0 & LS-Dyna971 ถูกนำมาช่วยในการจำลองการปีนรางของชุดล้อพร้อมเพลลาเดี่ยวภายใต้กระบวนการสถิตย์เสมือน (quasi-static) ซึ่งตัวแปรสำคัญที่ใช้ในการศึกษาการปีนรางประกอบด้วยมุมของบังใบล้อสัมผัส และค่าสัมประสิทธิ์ความเสียดทานระหว่างล้อ/ราง ค่ามุมบังใบล้อสัมผัสที่ใช้ในการศึกษามีค่า 60°, 65° และ 70° ส่วนค่าสัมประสิทธิ์ความเสียดทานระหว่างล้อ/รางที่ใช้ในการศึกษามีค่า 0.15, 0.25 และ 0.35 ตามลำดับ ผลของการจำลองจากโปรแกรมไฟไนต์เอลิเมนต์คือ มุมของบังใบล้อสัมผัสที่มากขึ้น และค่าสัมประสิทธิ์ความเสียดทานระหว่างล้อ/รางที่ลดลงจะช่วยหลีกเลี่ยงการตกรางเนื่องจากล้อปีนราง ซึ่งสอดคล้องกับการวิเคราะห์ด้วยสูตรของนาดาล[1] แต่ผลการจำลองจากระเบียบวิธีไฟไนต์เอลิเมนต์จะให้ค่าพิกัดของการตกรางเนื่องจากล้อปีนรางมีค่าสูงกว่า ซึ่งได้ผลสอดคล้องกับงานวิจัยปฏิสัมพันธ์ระหว่างล้อ/ราง[2] ที่ได้ทำการทดลองเปรียบเทียบกับการใช้สูตรของนาดาล

คำหลัก: การตกราง, ล้อปีนราง, ระเบียบวิธีไฟไนต์เอลิเมนต์

Abstract

The basic requirement for the safety of railway transportation is that derailment during the running of train should be never permitted. An experiment to study on the wheel/rail interaction is important to the derailment safety, but it requires a large investment budget. This article is aimed to investigate on the wheel/rail interaction and wheel flange climb derailment using finite element method. The Altair HyperWorks11 & LS-Dyna971 software were employed in wheel flange climb derailment simulation of a single wheelset based on the quasi-static process. The important parameters of derailment simulation study are flange contact angle and wheel/rail friction coefficient. A flange contact angles used are 60°, 65° and 70° and wheel/rail friction coefficients are 0.15, 0.25, and 0.35, respectively. The simulation results show that the increase of flange contact angle and the reduction of wheel/rail friction coefficient is of advantage to prevent wheel climb derailment. This is consistent with the analysis of Nadal's formula[1]

ไม่ว่ากรณีใดๆทั้งสิ้น อีกทั้งห้ามมิให้ตัดแปลงเนื้อหา และต้องอ้างอิงถึงเจ้าของเอกสารทุกครั้งที่มีการนำไปใช้

but the simulation results by FEM show that of higher the derailment limit as same in research of the wheel/rail interaction[2] by the experiment compare with Nadal's formula.

Keywords: Derailment, Wheel climb, Finite element method.

1. บทนำ

การศึกษาค้นคว้าทางด้านรางรถไฟได้ให้ความสำคัญกับปัญหาของตกรางตั้งแต่เริ่มดำเนินการทางรถไฟครั้งแรกในโลก นักวิทยาศาสตร์จากหลายประเทศได้พยายามศึกษากลไกการตกรางและความปลอดภัยจากการใช้รถไฟ[1-2] แต่อุบัติเหตุของการตกรางของรถไฟยังมีรายงานการเกิดขึ้นอยู่เสมอ ดังนั้นกลไกการเกิดปฏิสัมพันธ์ระหว่างล้อ/รางและการตกรางเป็นสิ่งที่ต้องศึกษาค้นคว้าหาความเหมาะสมเพื่อรองรับความปลอดภัยจากการวิ่งของขบวนรถไฟ

การบิ่นของบั้งไบ้ล้อมีความสำคัญต่อรูปแบบของการตกราง ซึ่งสาเหตุอาจเกิดจากแรงต้านข้างของล้อ/รางมีค่ามาก และภาระน้ำหนักของล้อมีค่าลดลง กระบวนการบิ่นรางของบั้งไบ้ล้อจะถูกพิจารณาเป็นสภาวะคงตัว(steady state)โดยไม่นำผลความเฉื่อยของล้อพร้อมเพลามาพิจารณา สูตรของนาดาล(Nadal's formula)[3], จะใช้เป็นพิกัดการประเมินการตกรางเนื่องจากบั้งไบ้ล้อบิ่นรางซึ่งจะพิจารณาถึงความสัมพันธ์ของมุมบั้งไบ้ล้อสัมผัสและสัมประสิทธิ์ความเสียดทานเท่านั้น ส่วนแรงคืบตามยาว(longitudinal creep force) และมุมกระทกของล้อพร้อมเพลลา(wheel angle of attack) จะไม่ถูกนำมาพิจารณา ดังนั้นเพื่อความถูกต้องและแม่นยำจะต้องผ่านการพิจารณาจากหลายๆเกณฑ์ ทั้งทางทฤษฎีและการศึกษาการทดลอง เช่น พิกัดของอัตราส่วนแรงต้านข้างกับแนวตั้ง(L/V) และพิกัดการกระจัด L/V[4], เกณฑ์ความปลอดภัยของแรงสัมผัสใน 3D[5], วิธีประเมินผลสุ่มพลังงาน(random energy evaluation method)[6] และอื่นๆ

วัตถุประสงค์ของบทความนี้ คือการศึกษาการประเมินการตกรางเนื่องจากล้อบิ่นรางด้วยระเบียบวิธีไฟไนต์เอลิเมนต์ เพื่อเปรียบเทียบกับพิกัดการบิ่นรางของนาดาล และนำทฤษฎีการสัมผัสของเฮิร์ตส์

(Hertz's contact theory) ที่พิจารณาให้มีความสำคัญต่อกลไกการสัมผัสมาประยุกต์ใช้ร่วมกับโปรแกรม Altair HyperWorks 11.0 & LS-Dyna 971 เพื่อช่วยจำลองการบิ่นราง ด้วยระเบียบวิธีไฟไนต์เอลิเมนต์ของชุดล้อพร้อมเพลลาเดี่ยว

2. ปฏิสัมพันธ์ระหว่างล้อ/ราง และแรงที่กระทำ

จากรูปที่ 1 เป็นภาพแสดงแรงที่กระทำกับชุดล้อพร้อมเพลลาที่ใช้ในการจำลองและแสดงการบิ่นรางของบั้งไบ้ที่ล้อซ้าย ตัวแปรต่างๆจะแสดงด้านซ้ายและขวาตามอักษร $j = L, R$ ตามลำดับ ดังนี้

P_L, P_R, F_S : แรงจากน้ำหนักในแนวตั้งและแนวนอนที่กระทำบนล้อพร้อมเพลลา (vertical and lateral suspension forces on wheelset)

P_L, P_R : แรงในแนวตั้งที่กระทำระหว่างล้อ/รางที่ด้านซ้ายและขวา (left and right wheel/rail vertical forces)

Q_L, Q_R : แรงในแนวนอนที่กระทำระหว่างล้อ/รางที่ด้านซ้ายและขวา (left and right wheel/rail lateral forces)

F_n, F_c : แรงตั้งฉากและแรงคืบในแนวต้านข้างระหว่างล้อ/ราง (normal force and lateral creep force on the wheel/rail contact point)

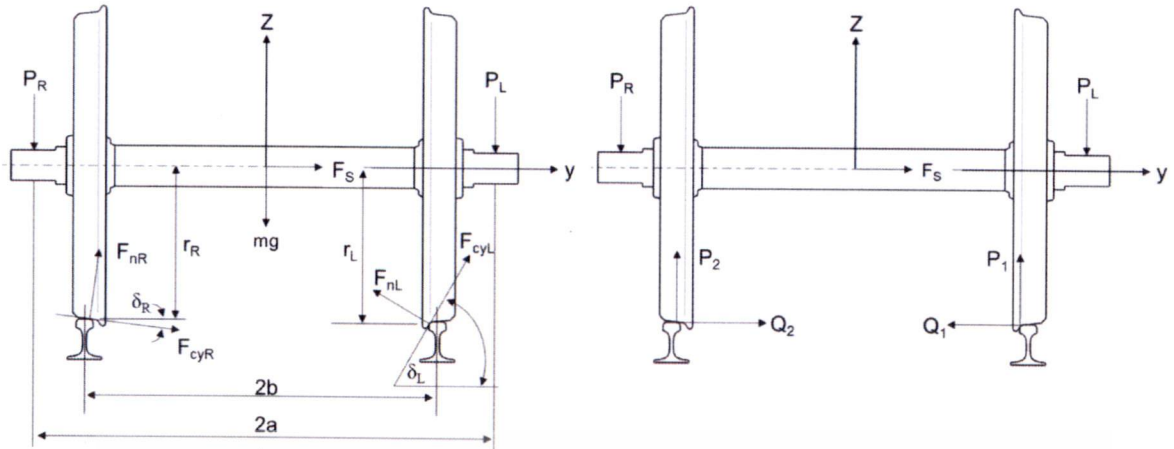
δ_L, δ_R : มุมสัมผัสของจุดสัมผัสที่ล้อซ้ายและขวา (contact angles of left and right wheel contact point)

r_0, r_L, r_R : รัศมีการกลิ้งปกติที่จุดสัมผัสล้อซ้ายและขวา (wheel nominal rolling radius, left and right wheel contact radii)

$2a, 2b$: ระยะห่างในแนวนอนของชุดน้ำหนักกดเพลลาและระยะปกติของจุดสัมผัสระหว่างล้อ/ราง (lateral distances of axle box suspension and wheel/rail nominal contact points)

เอกสารนี้เป็นเอกสารที่สงวนไว้สำหรับการใช้งานเพื่อการศึกษาเท่านั้น ไม่อนุญาตให้นำไปใช้ประโยชน์ด้านการค้า

ไม่ว่ากรณีใดๆทั้งสิ้น อีกทั้งห้ามมิให้ดัดแปลงเนื้อหา และต้องอ้างอิงถึงเจ้าของเอกสารทุกครั้งที่มีการนำไปใช้

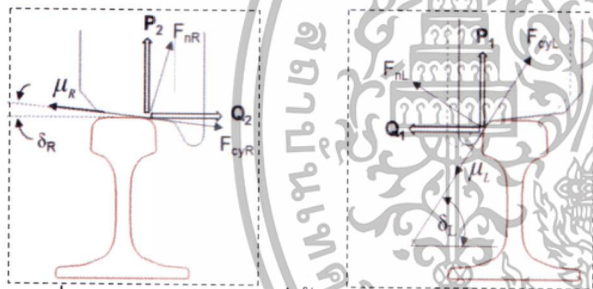


รูปที่ 1 ปฏิสัมพันธ์ระหว่างล้อ/ราง และแรงกระทำบนล้อพร้อมเพลลา

2.1 การป็นรางของบังใบล้อภายใต้สภาวะคงตัว

สมมติให้มีการป็นรางที่ล้อซ้ายและเกิดการลื่นไถลเกิดขึ้นระหว่างปีกสัมผัสของล้อ/ราง กำหนดให้ μ_L และ μ_R คือ ค่าสัมประสิทธิ์ความเสียดทานของบังใบล้อและหัวรางตามลำดับ จากความสัมพันธ์ของคูลอมบ์

$$F_{cyR} = \mu_R F_{nR}, \quad F_{cyL} = \mu_L F_{nL} \quad (1)$$



รูปที่ 2. แสดงแรงกระทำที่พื้นล้อขวาและบังใบล้อซ้าย

พิจารณาสมดุลที่ล้อขวา เป็นการป็นรางของบังใบล้อเดี่ยว ซึ่งเป็นที่มาของสูตรทรงรางของนาตาล และเป็นสูตรการทรงรางแบบดั้งเดิม (Classical formulation) จะได้ความสัมพันธ์ดังนี้

$$\frac{Q_1}{P_1} = \frac{\tan \delta_L - \mu_L}{1 + \mu_L \tan \delta_L}, \quad Q_1 = \frac{\tan \delta_L - \mu_L}{1 + \mu_L \tan \delta_L} P_1 \quad (2)$$

พิจารณาสมดุลที่ล้อขวา จะได้ความสัมพันธ์ดังนี้

$$\frac{Q_2}{P_2} = \frac{\delta_R + \mu_R}{1 - \mu_R \delta_R}, \quad Q_2 = \frac{\delta_R + \mu_R}{1 - \mu_R \delta_R} P_2 \quad (3)$$

พิจารณาสมดุลแรงในแนวด้านข้างของชุดล้อพร้อมเพลลาจะมีความสัมพันธ์ดังนี้

$$F_S - Q_1 + Q_2 = 0 \quad (4)$$

แทนค่าจากสมการที่ (2) และ (3) ในสมการที่ (4) จะได้

$$F_S - \frac{\tan \delta_L - \mu_L}{1 + \mu_L \tan \delta_L} P_1 + \frac{\delta_R + \mu_R}{1 - \mu_R \delta_R} P_2 = 0 \quad (5)$$

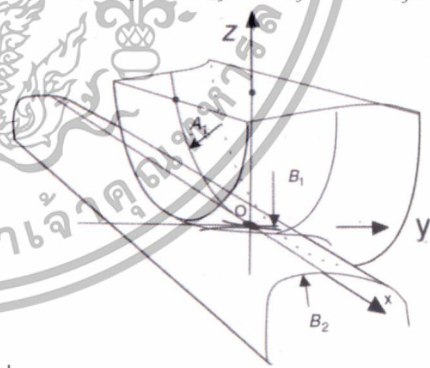
จากสมการสภาวะสมดุลของล้อพร้อมเพลลาที่ (5)

เงื่อนไขการทรงรางของล้อพร้อมเพลลาเนื่องจากบังใบล้อป็นรางจะเป็นความสัมพันธ์ระหว่างค่าสัมประสิทธิ์ความเสียดทานกับมุมสัมผัสระหว่างล้อ/รางเท่านั้น

2.2. กลไกการสัมผัสกันระหว่างล้อ/ราง

กลไกการสัมผัสระหว่างล้อ/รางของวัสดุ ถูกนำมาพิจารณาในกระบวนการป็นราง จากทฤษฎีการสัมผัสของเฮิร์ตซ์ (Hertz's contact theory) [7] รูปรางผิว (Surface shape) z บริเวณจุดสัมผัส O กำหนดให้ดังนี้

$$z_{1j} = A_{1j} x^2 + B_{1j} y^2, \quad z_{2j} = A_{2j} x^2 + B_{2j} y^2 \quad (6)$$



รูปที่ 3. แสดงบริเวณจุดสัมผัส O ระหว่างล้อ/ราง

เมื่อ $\frac{d^2 z_{1j}}{dx^2} = 2A_{1j} = \frac{1}{r_j} \quad (7)$

$$\frac{d^2 z_{1j}}{dy^2} = 2B_{1j} = \frac{1}{R_{wj}} \quad (8)$$

$$\frac{d^2 z_{1j}}{dy^2} = 2B_{2j} = \frac{1}{R_{Tj}} \quad (9)$$

ความดันสูงสุด p_{max} และระยะยุบตัว δ ของการสัมผัสระหว่างล้อ/ราง [8] สามารถคำนวณได้ตามลำดับ โดยไม่ต้องคำนึงถึงเงื่อนไขการป็นราง

ไม่ว่ากรณีใดๆทั้งสิ้น อีกทั้งยังมีให้ตัดแปลงเนื้อหา และต้องอ้างอิงถึงเจ้าของเอกสารทุกครั้งที่มีการนำไปใช้

$$P_{max} = \frac{3P}{2\pi a_j b_j} \quad (10)$$

$$\delta = r_j \left(\left(\frac{3}{2} P \frac{1-\nu^2}{E} \right)^2 (A_j + B_j) \right)^{1/3} \quad (11)$$

a_j และ b_j คือ ระยะครึ่งแกนของวงรีสัมผัสในแนวตามยาว และแนวด้านข้าง ตามลำดับ ดังนี้

$$a_j = m_j \left[\frac{3(1-\nu^2)}{2E(A_j + B_j)} F_{nj} \right]^{1/3} \quad (12)$$

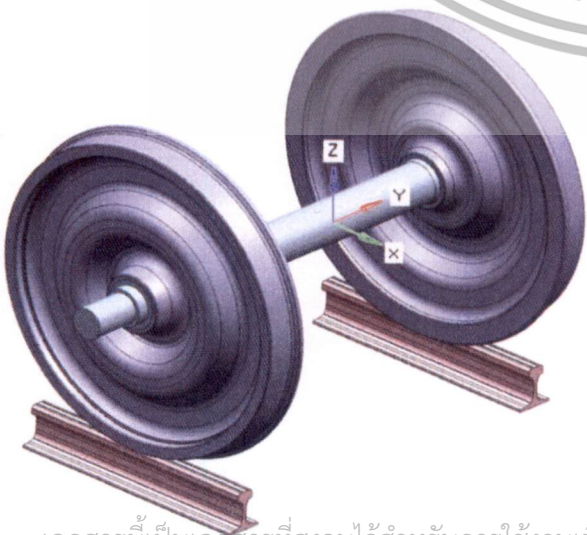
$$b_j = n_j \left[\frac{3(1-\nu^2)}{2E(A_j + B_j)} F_{nj} \right]^{1/3} \quad (13)$$

เมื่อ $A_j = \frac{1}{2r_j}$, $B_j = \frac{1}{2} \left(\frac{1}{R_{wj}} + \frac{1}{R_{Tj}} \right)$ (14)

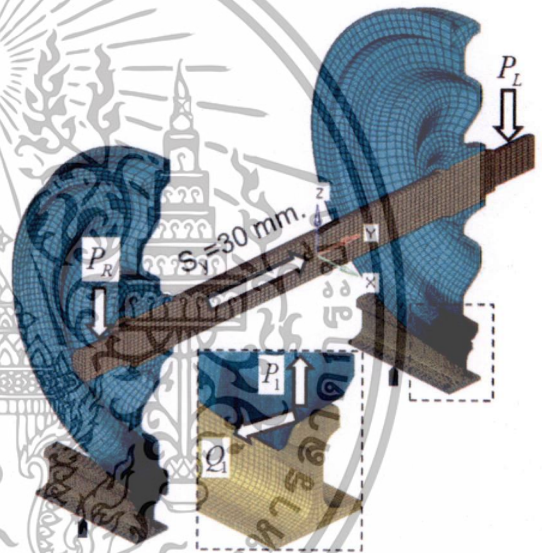
E คือค่ายังมอดุลัสวัสดุของล้อและราง, ν คืออัตราส่วนปัวซอง(Poisson's ratio), A_j คือสัมประสิทธิ์ของรูปร่างผิวสัมผัสตามแนวยาว, B_j คือสัมประสิทธิ์รูปร่างผิวสัมผัสตามแนวขวาง, R_{wj} คือรัศมีความโค้งตามแนวขวางของล้อ, R_{Tj} คือรัศมีเส้นขอบของรางตามแนวขวาง

3. การจำลองด้วยระเบียบวิธีไฟไนต์เอลิเมนต์

ระเบียบวิธีไฟไนต์เอลิเมนต์เป็นวิธีการคำนวณเชิงตัวเลขชนิดหนึ่งสำหรับแก้สมการเชิงอนุพันธ์ที่ต้องมีสมการควบคุมระบบและใช้เงื่อนไขขอบเขตเพื่อแก้สมการ สามารถแก้ปัญหาแบบสัมผัสกัน(Contact Nonlinearities)ระหว่างล้อ/ราง



การจำลองด้วยระเบียบวิธีไฟไนต์เอลิเมนต์จะสร้างแบบจำลองของล้อ/รางเป็น 3 มิติ มีแกน x เป็นแนวตามหน้าของรถไฟที่เพิ่มขึ้นมาอีกหนึ่งแกนซึ่งจากเดิมที่พิจารณาสถานะคงตัวจะมีเพียงแกน y และ z เป็นแนวด้านข้างและแนวความสูงของรถไฟตามลำดับ การสร้างแบบจำลองของล้อ/ราง เริ่มจากโปรแกรม UniGraphicsNX7.5 จากนั้นนำรูปแบบจำลองของล้อ/รางเข้าสู่โปรแกรม Altair HyperWorks11.0 ด้วยไฟล์ lges(*.lgs) เพื่อเตรียมแบบจำลองของล้อ/รางก่อนการประมวลผล(Pre Processing) และเข้าสู่การประมวลผลด้วยโปรแกรม LS-Dyna971 ด้วยระเบียบวิธีไฟไนต์เอลิเมนต์



รูปที่ 5 แสดงแบบจำลอง และเงื่อนไขขอบเขต ตารางที่ 1 ค่าตัวแปรของล้อและรางที่นำมาสร้างแบบจำลองการวิเคราะห์การป็นราง

| | |
|------------|-----------|
| r_0 | 457.5 mm. |
| r_L | 473 mm. |
| r_R | 465.5 mm. |
| r_{WL} | 18 mm. |
| r_{WR} | 22 mm. |
| r_{TR} | 0.8 mm. |
| r_{TL} | 13 mm. |
| μ_L | 0.15 |
| δ_L | 60° |

เอกสารนี้เป็นเอกสารที่สงวนไว้สำหรับการใช้งานเพื่อการศึกษเท่านั้น ไม่อนุญาติให้นำไปใช้ประโยชน์ด้านการค้า
รูปที่ 4 แสดงแบบจำลองของล้อ/ราง 3 มิติ
ไม่วารณิใดๆทั้งสิ้น อีกทั้งห้ามมิให้ดัดแปลงเนื้อหา และต้องอ้างอิงถึงเจ้าของเอกสารทุกครั้งที่มีการนำไปใช้

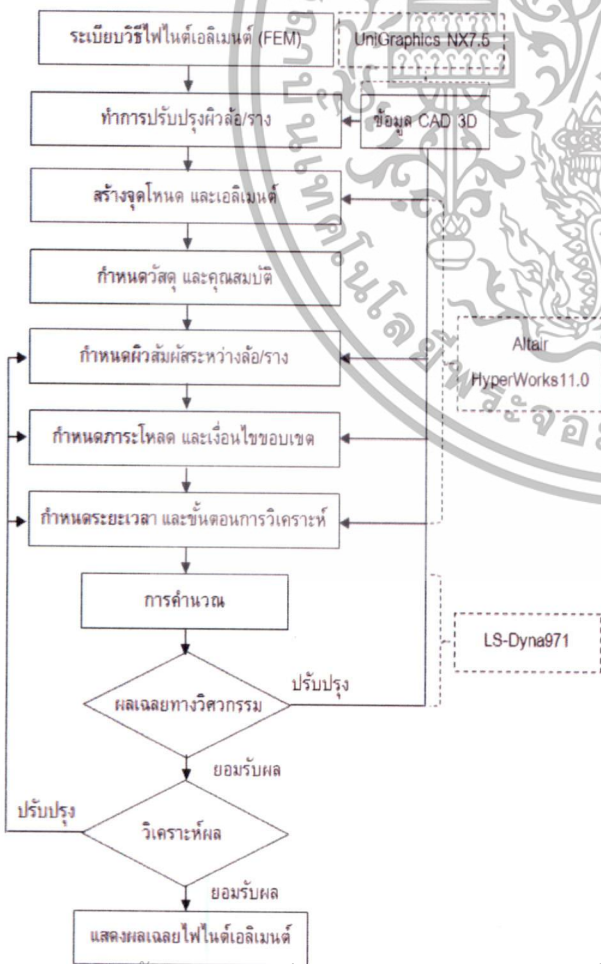
3.1 การสร้างเอลิเมนต์ให้แบบจำลอง

กำหนดชนิดเอลิเมนต์ให้เป็นเอลิเมนต์ชนิดเชิงเส้นสามมิติลักษณะสี่เหลี่ยมกอนตัน(Solid element) ซึ่งส่วนที่ไม่สามารถสร้างเป็นเอลิเมนต์สี่เหลี่ยมได้จะกำหนดให้เป็นเอลิเมนต์สามเหลี่ยม

ตารางที่ 2 จำนวนเอลิเมนต์ในแต่ละรายการ

| รายการ | เอลิเมนต์สามมิติกอนตัน | |
|------------|------------------------|----------------|
| | จำนวนโหนด | จำนวนเอลิเมนต์ |
| เพลลา | 1483 | 4742 |
| ล้อ | 50894 | 232180 |
| ราง | 28704 | 126290 |
| รวมทั้งหมด | 81081 | 363212 |

เนื่องจากรูปร่างของล้อพร้อมเพลลาและราง มีความสมมาตรกันในแนวแกน x ดังแสดงในรูปที่ 4 สามารถสร้างแบบจำลองและกำหนดเงื่อนไขขอบเขตให้มีความสมมาตร ดังแสดงในรูปที่ 5 ซึ่งจะให้ผลเฉลยที่แม่นยำ และช่วยลดเวลาในการคำนวณ



3.2 การกำหนดเงื่อนไขขอบเขตการจำลอง

การวิเคราะห์ปัญหาของเงื่อนไขขอบเขตชิ้นส่วนที่มีการการสัมผัสกันระหว่างล้อ/รางจะเป็นลักษณะที่ไม่เชิงเส้นของเงื่อนไขขอบเขต[9] โดยจะกำหนดให้ล้อซ้ายเริ่มป็นรางจากสภาวะปกติจนกระทั่งบังโบล้อป็นขึ้นไปบนหัวรางด้วยระยะทางในแนวด้านข้าง (S_y) 30 มิลลิเมตร (mm.) ดังแสดงในรูปที่ 5 เพื่อหาอัตราส่วนแรงในแนวด้านข้างต่อแรงแดิ่ง (Q/P) ที่เกิดขึ้น

3.3 การกำหนดคุณสมบัติวัสดุของการจำลอง

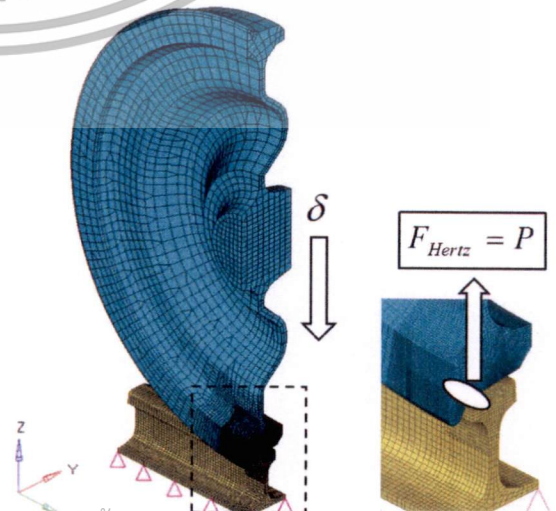
การกำหนดวัสดุจำลอง(Material Model)[10] จะพิจารณาให้เพลลาเป็นวัสดุแข็งเกร็ง ส่วนล้อ/รางเป็นวัสดุที่มีความยืดหยุ่นเพื่อกลไกการสัมผัส ซึ่งวัสดุของ Ls-Dyna971 ที่มีคุณสมบัติดังกล่าวคือ*MAT_RIGID (*MAT20) และ*MAT_ELASTIC(*MAT1) ตามลำดับ ตารางที่ 3 แสดงค่าคุณสมบัติเชิงกลวัสดุ(*MAT1)

| | |
|---------------------------|------------------------|
| Young modulus (E) | 210 GPa |
| Density (ρ) | 7850 kg/m ³ |
| Poisson's ratio (ν) | 0.3 |

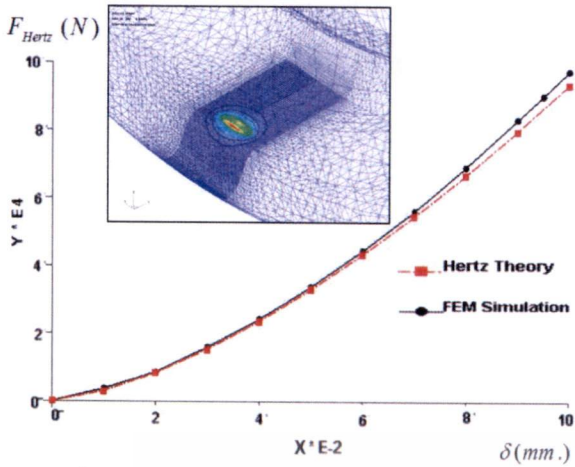
3.4 การตรวจสอบรูปแบบการจำลอง

การตรวจสอบรูปแบบการจำลอง เพื่อหาแรงสัมผัสตั้งฉากระหว่างล้อ/ราง และเปรียบเทียบกับทฤษฎีการสัมผัสของเฮิร์ตซ์[11] จากสมการ (11) กำหนดให้ $E^* = E/(1-\nu^2)$ และจัดรูปใหม่จะได้ความสัมพันธ์ ดังนี้

$$F_{Hertz} = P = \frac{2}{3} E^* \sqrt{\frac{(\delta/r)^3}{A+B}} \quad (15)$$



เอกสารนี้เป็นเอกสารที่สงวนไว้สำหรับการใช้งานเพื่อการศึกษาเท่านั้น ไม่อนุญาตให้拿去ไปใช้ประโยชน์ด้านการค้า รูปที่ 6 การวิเคราะห์ด้วยระเบียบวิธีไฟไนต์เอลิเมนต์ รูปที่ 7 แสดงแบบจำลองการตรวจสอบระหว่างล้อ/ราง ไม่ว่าจะตีพิมพ์ขึ้นอีกทั้งห้ามมิให้ดัดแปลงเนื้อหา และต้องอ้างอิงถึงเจ้าของเอกสารทุกครั้งที่มีการนำไปใช้



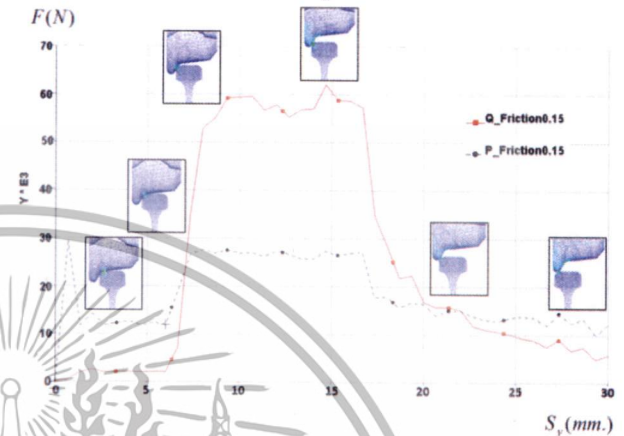
รูปที่ 8 กราฟแสดงผลการตรวจสอบของแรงในแนวตั้งฉากกับระยะยุบตัวของแบบจำลอง

แนวด้านข้าง ค่าของมุมบังโบล้อที่เพิ่มขึ้นจากมุม 60°, 65° และ 70° แรงที่ต้องใช้ในการป็นรางในแต่ละแนวก็จะมีค่าเพิ่มมากขึ้นอย่างเห็นได้ชัด ดังแสดงในรูปที่ 9, 10, และ 11 ตามลำดับ ส่วนค่าสัมประสิทธิ์ความเสียดทานที่เพิ่มขึ้น แรงที่เกิดขึ้นในแต่ละแนวจะมีค่าใกล้เคียงกันดังแสดงในรูปที่ 12

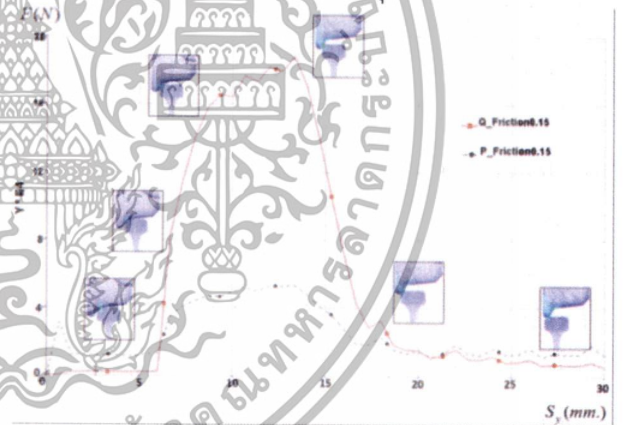
4.การวิเคราะห์การตกรางเนื่องจากล้อยป็นราง

การวิเคราะห์ผลจากการจำลองการป็นรางด้วยระเบียบวิธีไฟไนต์เอลิเมนต์ของชุดล้อพร้อมเพลาดังรูปที่ 9 เป็นกราฟแสดงความสัมพันธ์ระหว่างแรงสัมผัสกับระยะการเคลื่อนที่ในแนวด้านข้าง S_x โดยมีแกนแนวตั้งกับแนวนอนเป็นแกนของแรง F มีหน่วยเป็นนิวตัน (N) และระยะการเคลื่อนที่ในแนวด้านข้างมีหน่วยเป็นมิลลิเมตร (mm.) ตามลำดับ กราฟของแรงสัมผัสที่เกิดขึ้นแนวตั้ง (P) และด้านข้าง (Q) ในช่วงแรกที่ระยะ 0 ถึง 6 มิลลิเมตร (mm.) ของการป็นเป็นแรงจากการสัมผัสที่บริเวณพื้นล้อ โดยแรงทั้งสองจะมีค่าคงที่ และแรงแนวตั้ง (P) จะมีความมากกว่าแรงด้านข้าง (Q) อันเนื่องมาจากผลของน้ำหนักกดเพลาทั้งสองข้าง แรงด้านข้าง (Q) ในช่วงแรกจะมีค่าน้อยเนื่องจากเป็นการลื่นไถล(friction sliding) ระหว่างพื้นล้อ/ราง และจะเริ่มมีค่ามากขึ้น ของการป็นที่บังโบล้อจนกระทั่งสูงสุดเมื่อรัศมีส่วนปลายของบังโบล้อถึงหัวราง จากนั้นแรงด้านข้าง (Q) จะมีค่าลดลงเมื่อส่วนปลายของบังโบล้อเคลื่อนที่เข้าใกล้และผ่านบริเวณรัศมีความโค้งหัวราง

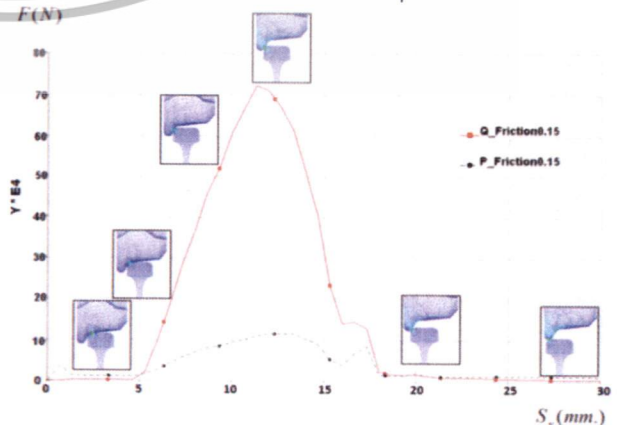
แรงที่ได้จากการจำลองการป็นรางด้วยระเบียบวิธีไฟไนต์เอลิเมนต์ของบังโบล้อจะแสดงผลตั้งแต่เริ่มการป็นที่พื้นล้อจนกระทั่งสิ้นสุดที่หัวราง ซึ่งจะเห็นแรงที่กระทำระหว่างล้อ/รางเป็นสภาวะต่อเนื่องจากเริ่มต้นจนถึงสิ้นสุดของการป็นตามระยะการเคลื่อนที่ของล้อใน



รูปที่ 9 กราฟแสดงผลการจำลองของแรง กับระยะการเคลื่อนที่ในแนวด้านข้าง ที่มุมบังโบล้อ 60°



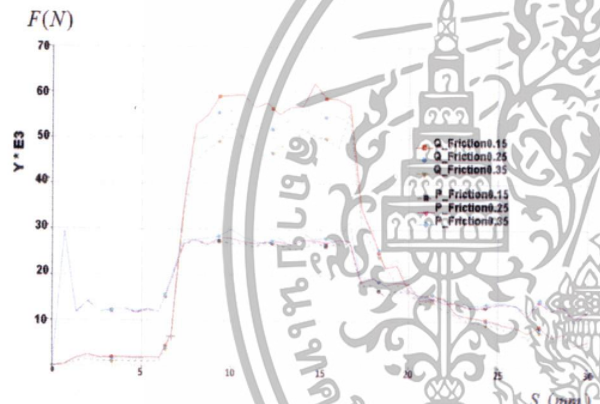
รูปที่ 10 กราฟแสดงผลการจำลองของแรง กับระยะการเคลื่อนที่ในแนวด้านข้าง ที่มุมบังโบล้อ 65°



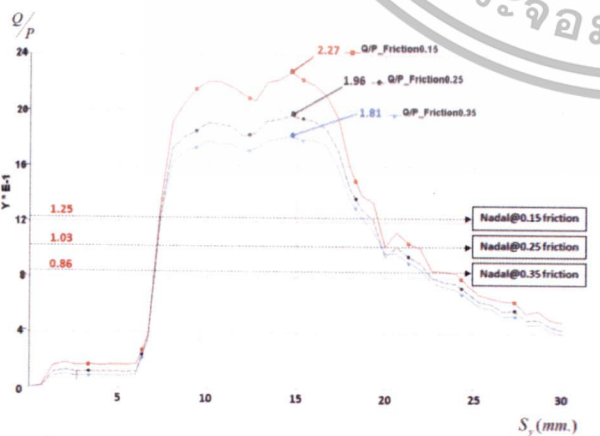
รูปที่ 11 กราฟแสดงผลการจำลองของแรง กับระยะการเคลื่อนที่ในแนวด้านข้าง ที่มุมบังโบล้อ 70°

ไม่ว่าการณีใดๆทั้งสิ้น อีกทั้งห้ามมิให้ดัดแปลงเนื้อหา และต้องอ้างอิงถึงเจ้าของเอกสารทุกครั้งที่มีการนำไปใช้

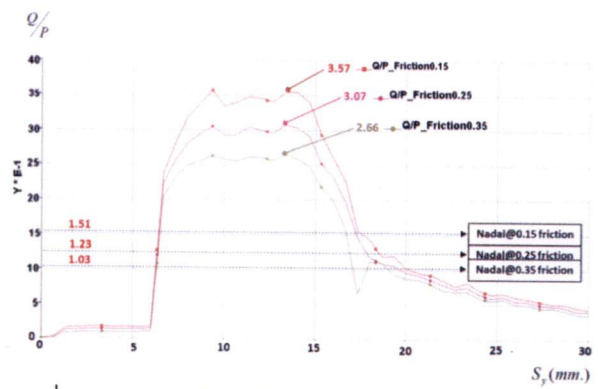
จากรูปที่ 11 เป็นกราฟแสดงแรงที่ใช้ในการป็นรางของมุมบั้งไบล้อย 70° จะเห็นว่าค่ามุมบั้งไบล้อยที่ชันมากขึ้นจะส่งผลให้แรงของการป็นสูงขึ้นเมื่อเทียบกับแรงที่ใช้ในการป็นที่มุมบั้งไบล้อยที่ความชันน้อยกว่า อัตราส่วนแรงในแนวด้านข้างต่อแนวตั้ง (Q/P) ที่เกิดขึ้นสูงสุด คือค่าพิกัดของการตรากของล้อยพร้อมเพลลา ดังแสดงในรูปที่ 13 จะเห็นว่าพิกัดที่ได้จากการจำลองด้วยระเบียบวิธีไฟไนต์เอลิเมนต์จะมีค่ามากกว่าพิกัดของนาตาล เพราะว่าพิกัดของนาตาลจะพิจารณาการป็นรางของบั้งไบล้อยเพียงด้านเดียวซึ่งเป็นกรณีการลื่นไถลระหว่างล้อย/รางที่พิจารณาความสัมพันธ์เฉพาะมุมบั้งไบล้อยสัมผัสและสัมประสิทธิ์ความเสียดทานเท่านั้น แต่ไม่นำผลจากกลไกการสัมผัสระหว่างล้อย/รางมาพิจารณา



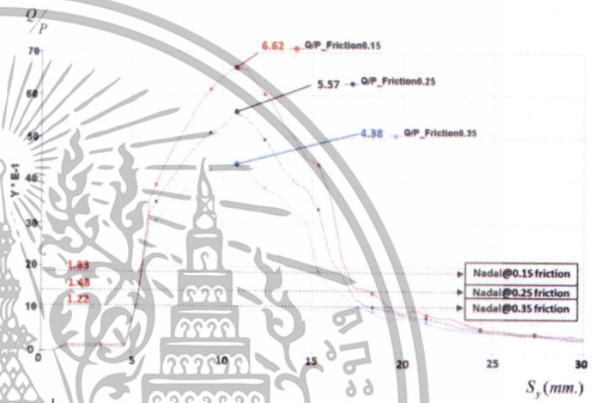
รูปที่ 12 กราฟเปรียบเทียบผลการจำลองของแรง Q และ P กับระยะการเคลื่อนที่ในแนวด้านข้าง S_x ที่มุมบั้งไบล้อย 60° และค่าสัมประสิทธิ์ความเสียดทานต่างๆ



รูปที่ 13 กราฟเปรียบเทียบพิกัดการตราก Q/P กับพิกัดของนาตาล ของมุมบั้งไบล้อย 60° ที่ค่าสัมประสิทธิ์ความเสียดทานต่างๆ



รูปที่ 14 กราฟเปรียบเทียบพิกัดการตราก Q/P กับพิกัดของนาตาล ของมุมบั้งไบล้อย 65° ที่ค่าสัมประสิทธิ์ความเสียดทานต่างๆ



รูปที่ 15 กราฟเปรียบเทียบพิกัดการตราก Q/P กับพิกัดของนาตาล ของมุมบั้งไบล้อย 70° ที่ค่าสัมประสิทธิ์ความเสียดทานต่างๆ

5. สรุปผลการวิจัย

- จากการศึกษาที่ผ่านมาสามารถสรุปผลได้ดังนี้
- 5.1 ผลของการศึกษาการจำลองการตรากเนื่องจากล้อยป็นรางด้วยระเบียบวิธีไฟไนต์เอลิเมนต์เป็นกรณีของการลื่นไถล ที่พิจารณากลไกการสัมผัสระหว่างล้อย/ราง
- 5.2 ค่าพิกัดการตรากของนาตาล จะให้ค่าอนุรักษนิยม(Conservative) มากกว่าพิกัดการตรากของล้อยพร้อมเพลลาจากการจำลองด้วยระเบียบวิธีไฟไนต์เอลิเมนต์ เพราะพิกัดของนาตาลเป็นสูตรดั้งเดิม(Classical formula) ที่พิจารณาจากสมดุล 2 มิติของล้อยเดี่ยว แต่ไม่นำผลของกลไกการสัมผัสของวัสดุระหว่างล้อย/รางใน 3 มิติมาพิจารณา
- 5.3 ผลการจำลองการตรากเนื่องจากบั้งไบล้อยป็นรางด้วยระเบียบวิธีไฟไนต์เอลิเมนต์ คำนึงมุมบั้งไบล้อย

เอกสารนี้เป็นเอกสารที่สงวนไว้สำหรับการใช้งานเพื่อการวิจัยเท่านั้น ไม่ว่ากรณีใดๆทั้งสิ้น อีกทั้งห้ามมิให้ดัดแปลงเนื้อหา และต้องอ้างอิงถึงเจ้าของเอกสารทุกครั้งที่มีการนำไปใช้

ล้อที่เพิ่มมากขึ้นจะทำให้ค่าพิกัดของการดกรางเพิ่มขึ้นอย่างชัดเจนที่ค่าสัมประสิทธิ์ความเสียดทานระหว่างล้อ/รางเท่ากัน

5.4 การลดค่าสัมประสิทธิ์ความเสียดทานระหว่างล้อ/ราง และการเพิ่มมุมของบังใบล้อจะช่วยหลีกเลี่ยงการดกรางเนื่องจากล้อป็นราง

6. กิตติกรรมประกาศ

ผู้เขียนขอขอบคุณ ฝ่ายวิจัยและพัฒนา บริษัท ไทยซัมมิท โอโตพาร์ท อินดัสตรี จำกัด ที่สนับสนุนโปรแกรมสำหรับการทำวิจัยในครั้งนี้ ซึ่งทำให้การวิจัยผ่านพ้นไปได้ด้วยดี

7. เอกสารอ้างอิง

- [1] R. Jalil, Another look at the single wheel derailment criteria, in: Proceedings of the IEEE/ASME Joint Railroad Conference, (1996), pp. 17–22.
- [2] Study on the wheel/rail interaction and derailment Safety, *Wear* 265 (2008) 1452–1459.
- [3] H. Ishida, M. Matsuo, Safety criteria for evaluation of railway vehicle derailment, *Quarterly Report of RTRI* 40 (1) (1999) 18–25.
- [4] J. Elkins, H. Wu, Angle of attack and distance-based criteria for flange climb derailment, in: Proceedings of the IAVSD Symposium, Swets and Zeitlinger, (2000), pp. 293–305.
- [5] R.S. Barbosa, A 3D contact force safety criterion for flange climb derailment of a railway wheel, *Vehicle System Dynamics* 42 (5) (2004) 289–300.
- [6] J. Xiang, Q.Y. Zeng, A study on mechanical mechanism of train derailment and preventive measures for derailment, *Vehicle System Dynamics* 43 (2) (2005) 121–147.

[7] K.L.Johnson, *Contact Mechanics Book*; 4 Normal contact of elastic solids: Hertz theory (1985) 84-105

[8] Jean-Bernard Ayasse and Hugues Chollet, *4 Wheel-Rail Contact; Handbook of Railway Vehicle Dynamics* (2006) 85–120.

[9] Peter Wriggers, *Computational Contact Mechanicals Book*; 10 Solution Algorithms (2006) 309-360

[10] LS-DYNA *Keyword User's Manual Version971; Volume II (Material Model)* May 2007

[11] Finite element analysis of the contact forces between a viscoelastic sphere and rigid plane, *Powder Technology* 226 (2012) 130-142

เอกสารนี้เป็นเอกสารที่สงวนไว้สำหรับการใช้งานเพื่อการศึกษาเท่านั้น ไม่อนุญาตให้นำไปใช้ประโยชน์ด้านการค้า
ไม่ว่ากรณีใดๆทั้งสิ้น อีกทั้งห้ามมิให้ดัดแปลงเนื้อหา และต้องอ้างอิงถึงเจ้าของเอกสารทุกครั้งที่มีการนำไปใช้

ประวัติผู้เขียน

| | |
|-----------------------------|--|
| ชื่อผู้เขียน | นายสุรทัศน์ กองสุข |
| วัน เดือน ปีเกิด | 16 สิงหาคม พ.ศ. 2526 ที่อุบลราชธานี |
| ที่อยู่ | 29/921 หมู่บ้าน เคซี รามอินทรา 1 ถ.หทัยราษฎร์ แขวงสามวาตะวันตก เขตคลองสามวา กรุงเทพฯ 10510 |
| ประวัติการศึกษา | 2548 วิศวกรรมศาสตรบัณฑิต สาขาวิศวกรรมเครื่องกล มหาวิทยาลัยอุบลราชธานี |
| ประสบการณ์ทำงาน | บริษัท ไทยซัมมิท โอโตพาร์ท อินดัสตรี จำกัด ตำแหน่งวิศวกร ฝ่ายวิจัยและพัฒนา |
| ผลงานที่เคยได้รับการตีพิมพ์ | |
| พ.ศ.2556 | “การจำลองการตกรางเนื่องจากล้อป็นราง ด้วยระเบียบวิธีไฟไนต์ เอลิเมนต์” การประชุมวิชาการเครือข่ายวิศวกรรมเครื่องกลแห่ง ประเทศไทย ครั้งที่ 27 |
| พ.ศ.2557 | “Effect of Wheel Attack Angle on Flange Climb Derailment Criteria using Finite Element Method” The 5 th TSME International Conference on Mechanical Engineering. |

เอกสารนี้เป็นเอกสารที่สงวนไว้สำหรับการใช้งานเพื่อการศึกษาเท่านั้น ไม่อนุญาตให้นำไปใช้ประโยชน์ด้านการค้า
ไม่ว่ากรณีใดๆทั้งสิ้น อีกทั้งห้ามมิให้ดัดแปลงเนื้อหา และต้องอ้างอิงถึงเจ้าของเอกสารทุกครั้งที่มีการนำไปใช้